International Seismological Centre

POLISH ACADEMY OF SCIENCES

PUBLICATIONS OF THE INSTITUTE OF GEOPHYSICS

B–1 (113)

part 1

BULLETIN SÉISMOLOGIQUE

1975

JANVIER FÉVRIER MARS

PAŃSTWOWE WYDAWNICTWO NAUKOWE
WARSZAWA 1976

Begining from 1976 the Publications of the Institute of Geophysics, Polish Academy of Sciences (previously Materiały i Prace) are divided into the following series:

A – Physics of the Earth interior
B – Seismology
C – Earth magnetism
D – Atmosphere physics
E – Ionosphere physics
F – Planetary geodesy
G – Numerical methods in geophysics
M – Miscellanea

Starting with the present volume, every volume will have two indices: the first one describing the current number in the series and the second one, in brackets, will denote the general successive number, as it has been previously.

International Seismological Centre

POLISH ACADEMY OF SCIENCES

PUBLICATIONS OF THE INSTITUTE OF GEOPHYSICS

B–1 (113)

part 1

BULLETIN SÉISMOLOGIQUE

1975

JANVIER FÉVRIER MARS

PAŃSTWOWE WYDAWNICTWO NAUKOWE
WARSZAWA 1976

Editorial Committee
Roman TEISSEYRE (Editor), Zdzisław MAŁKOWSKI (Associate Editor), Jan SŁOMKA, Jerzy JANKOWSKI, Maria WERNIK, (Editorial Secretary)

Serial Editor
Roman TEISSEYRE

Editorial Address
Instytut Geofizyki Polskiej Akademii Nauk
ul. Pasteura 3, 02-093 Warszawa, Poland

All inquiries regarding the subscription rate
and the price of each issue should be addressed to:
Export-Import Enterprise „Ruch"
ul. Wronia 23, 00-840 Warszawa, Poland

Printed in Poland

Państwowe Wydawnictwo Naukowe
Oddział w Łodzi 1976

Wydanie I. Nakład 380+90 egz. Arkuszy wyd. 4,00. Ark. druk. 2 14/16.
Papier offset. kl. III, 80 g, 70×100. Podpisano do druku 10. 05. 1976 r.
Druk ukończono w maju 1976 r. Zam. 206/76. Cena zł 20,–

Zakład Graficzny Wydawnictw Naukowych
Łódź, ul. Żwirki 2

International Seismological Centre

INTRODUCTION

Cette publication contient une élaboration des tremblements de terre distants enregistrés par les observatoires séismologiques de l'Institut de Géophysique de l'Académie Polonaise des Sciences. Un relevé des secousses les plus fortes provenant du territoire de la Haute Silésie en 1975, ainsi que des secousses locales dont les épicentres sont situés en dehors de la région de la Haute Silesie, sera présenté séparement dans un cahier du même volume. L'identi - fication des secousses distantes s'appuie sur les données fournies par les centres séismologiques de NEIS (U.S. Department of the Interior), BCIS, ISC et Moskva. Les distances épicentrales Δ sont calculées d'après les coordonnées géocentriques avec une exactitude de $\pm$ 0,01°. Les valeurs des magnitudes des secousses dont les distances épicentrales sont $\geq 5°$ ont été établies à base des ondes volumétriques (m) et des ondes superficielles (M).

CONSTANTES DES SÉISMOGRAPHES

Station	Type séismo-graphe	Comp.	Ts sec	Tg sec	Ds	Dg	σ^2	Vo	Vm	Tm sec	Période de validité
Warszawa (WAR)	GW	N-S	10,1	11,7	0,80	1,00	0,075	1410	1430	6,5-10,5	I - III
φ =52°14´30´´N		E-W	9,80	11,3	1,01	1,00	0,077	1675	1030	4,0-9,7	
λ =21°01´25´´E		Z	8,65	11,2	0,54	1,00	0,057	1130	1110	5,6-8,0	
h=110 m	SKD	N-S	25	80,0	1,0	0,4	0,114	645	700	18-60	I - III
		E-W	25	83,8	1,0	0,4	0,091	583	620	17-52	
		Z	25	83,2	1,1	0,5	0,137	723	790	17-60	
Kraków (KRA)	Ch	N-S	1,27	0,281	0,50	2,0	0,132	10500	11200	0,15-1,05	I - III
φ =50°03´22´´N		E-W	1,27	0,280	0,50	2,0	0,139	10500	11200	0,15-1,05	
λ =19°56´23´´E		Z	1,27	0,282	0,50	2,0	0,155	10500	11570	0,15-1,05	
h=223 m	SKM-3	N-S	1,28	0,580	0,50	0,49	0,013	21670	23670	0,47-0,78	I - III
		E-W	1,30	0,575	0,50	0,47	0,012	21440	23490	0,48-0,77	
		Z	1,45	0,580	0,60	0,49	0,014	24840	25790	0,47-0,75	
	GW	N-S	9,7	1,01	0,49	5,0	0,1	1475	1590	0,3-8	I - III
		E-W	11,1	1,00	0,47	5,0	0,1	1475	1530	0,3-8,5	
		Z	10,5	1,01	0,47	5,0	0,1	1010	1075	0,3-8	
	SKD	Z	25,0	91,5	1,0	0,50	0,204	760	810	17-59	I - III
Racibórz (RAC)	SK-58	N-S	1,18	1,00	0,61	0,5	0,011	3000	2900	0,75-1,1	I - III
φ =50°05´00´´N		E-W	1,18	1,00	0,50	0,5	0,015	3000	3420	0,77-1,14	
λ =18°11´39´´E		Z	1,11	1,05	0,50	0,5	0,015	3000	3300	0,78-1,13	
h=209 m	M	N-S	9,0	-	0,14	-	-	107	380	8-10	i - III
		E-W	9,0	-	0,2	-	-	124	300	6,5-9,5	
		Z	2,0	-	0,1	-	-	198	1100	1,8-2,1	
Niedzica (NIE)	SK-58	N-S	1,82	0,366	3,63	4,5	0,813	39500	44450	0,56-0,91	I - III
φ =49°25´25´´N		E-W	2,01	0,312	3,44	4,1	0,904	37800	66780	0,68-0,88	
λ =20°19´19´´E		Z	1,77	0,426	2,34	4,8	0,950	40480	128000	0,99-1,16	
h=555 m											
Książ (KSP)	SU-59	N-S	1,19	0,250	0,50	1,37	0,089	87450	90000	0,14-0,67	I - III
φ =50°50,6´N		E-W	1,22	0,240	0,62	1,44	0,142	108700	110000	0,16-0,75	
λ =16°17,6´E		Z	1,00	0,208	0,50	1,53	0,171	106300	110000	0,13-0,57	
h=380 m											

International Seismological Centre

S y m b o l e s

Ts - période du pendule

Tg - période du galvanomètre

Ds - amortissement du pendule

Dg - amortissement du galvanomètre

σ^2 - coefficient du couplage

Vo - amplification statique $Vo = \frac{2A}{Io}\sqrt{\frac{Ks}{Kg}}\sqrt{\frac{Ds}{Dg}\frac{Tg}{Ts}\sigma^2}$

Vo - amplification statique

pour les séismographes SKD $Vo = \frac{2A}{Io}\sqrt{\frac{Ks}{Kg}}\sqrt{\frac{Dg}{Ds}\frac{Ts}{Tg}\sigma^2}$

Vm - valeur de l'amplification maximalle de l'appareil séismique

Tm - intervalle des périodes pour lesquelles l'amplification est supérieure ou égale à 0,9 Vm

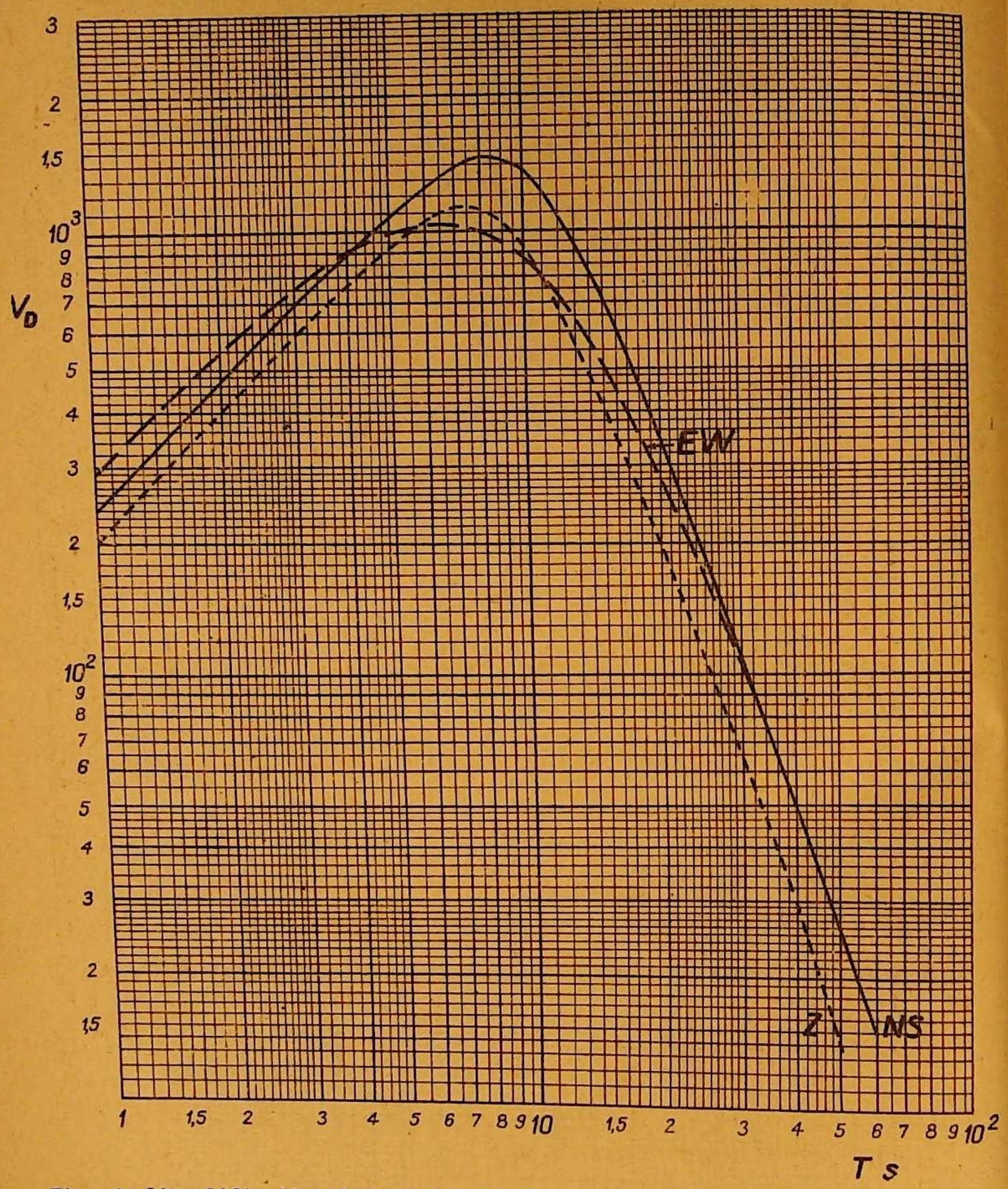

Fig. 1. L'amplification dynamique des séismographes Galitzine-Wilip à Warszawa

International Seismological Centre

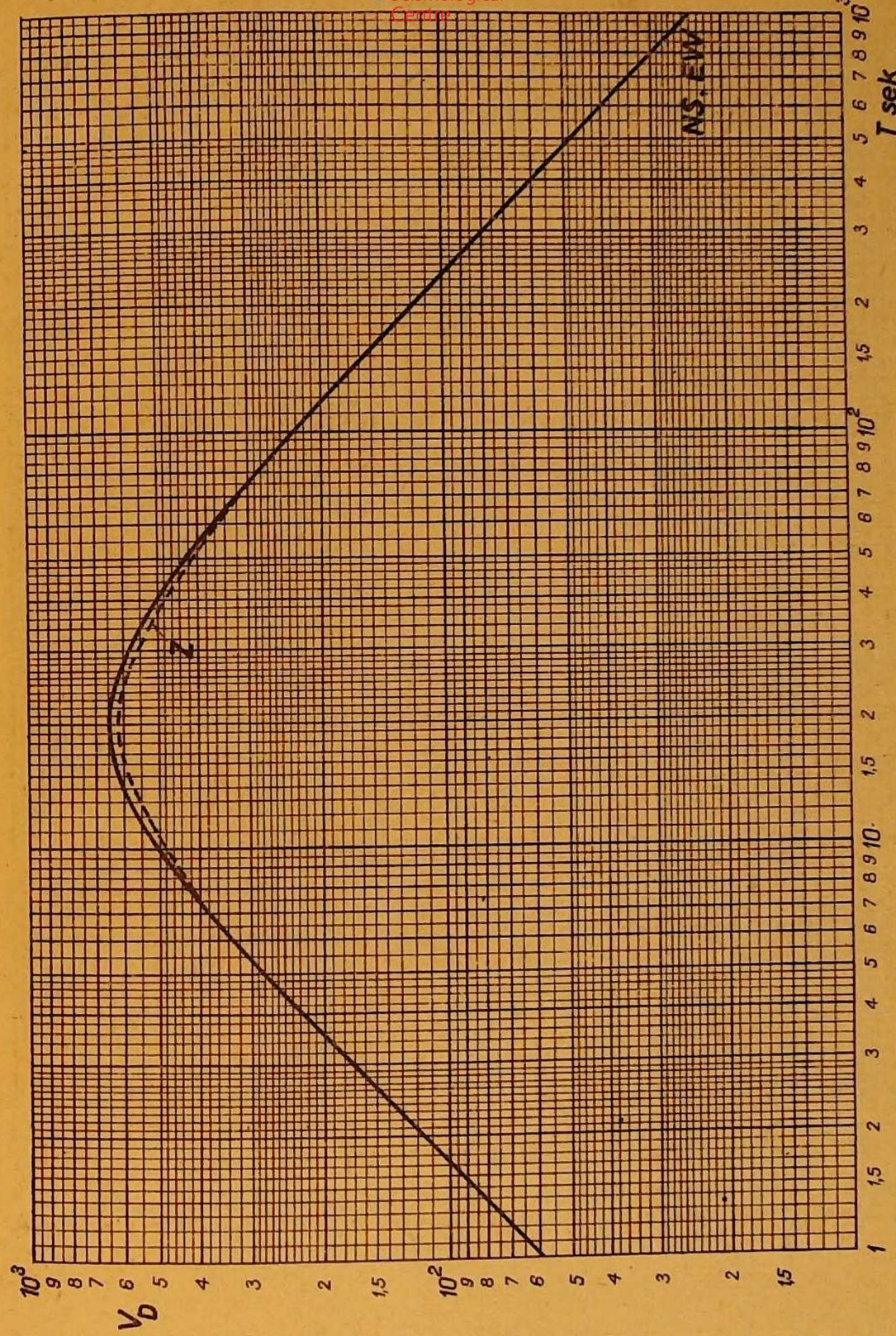

Fig. 2. L'amplification dynamique des séismographes type SKD à Warszawa

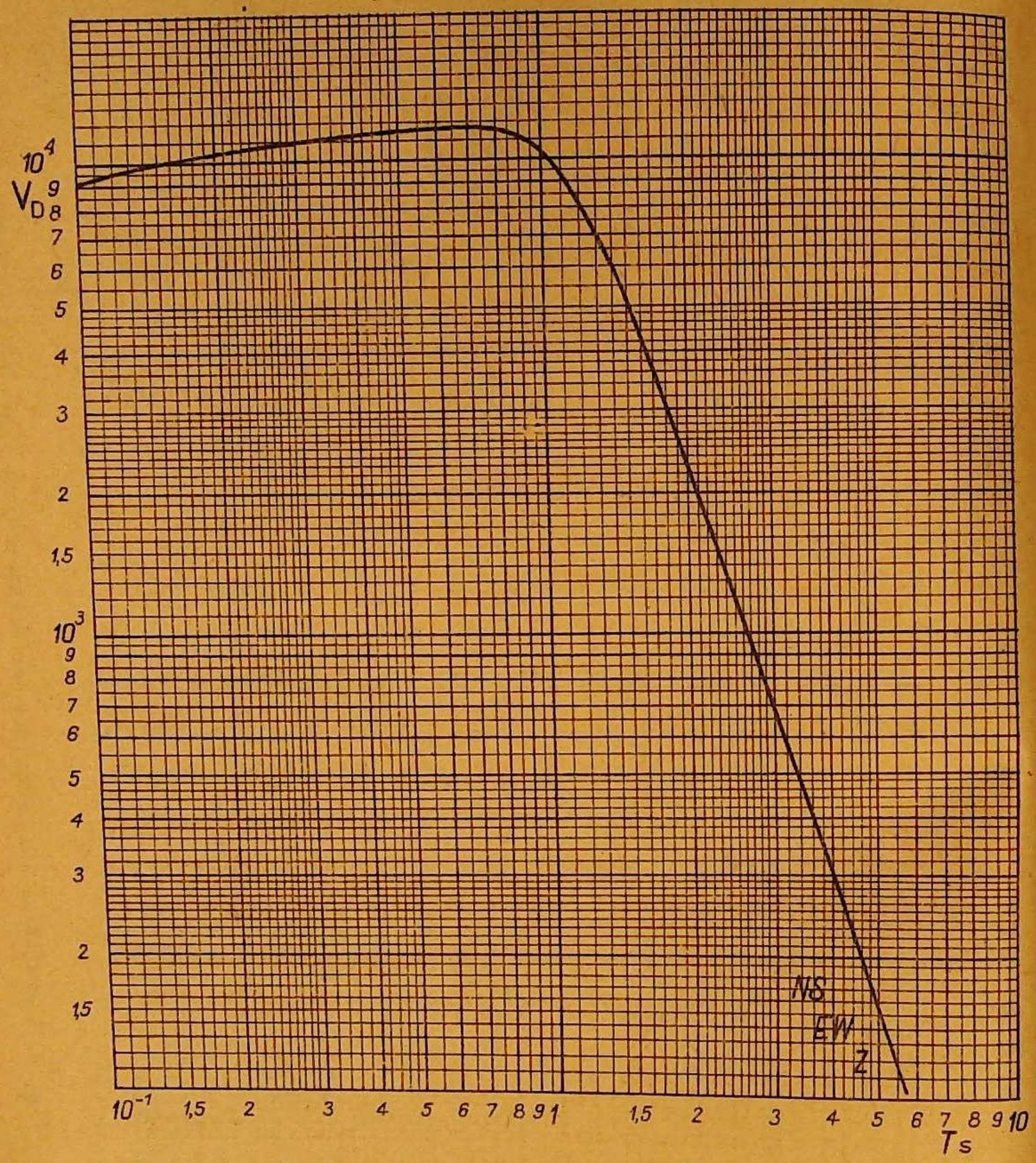

Fig. 3. L'amplification dynamique des séismographes Charin à Kraków

International Seismological Centre

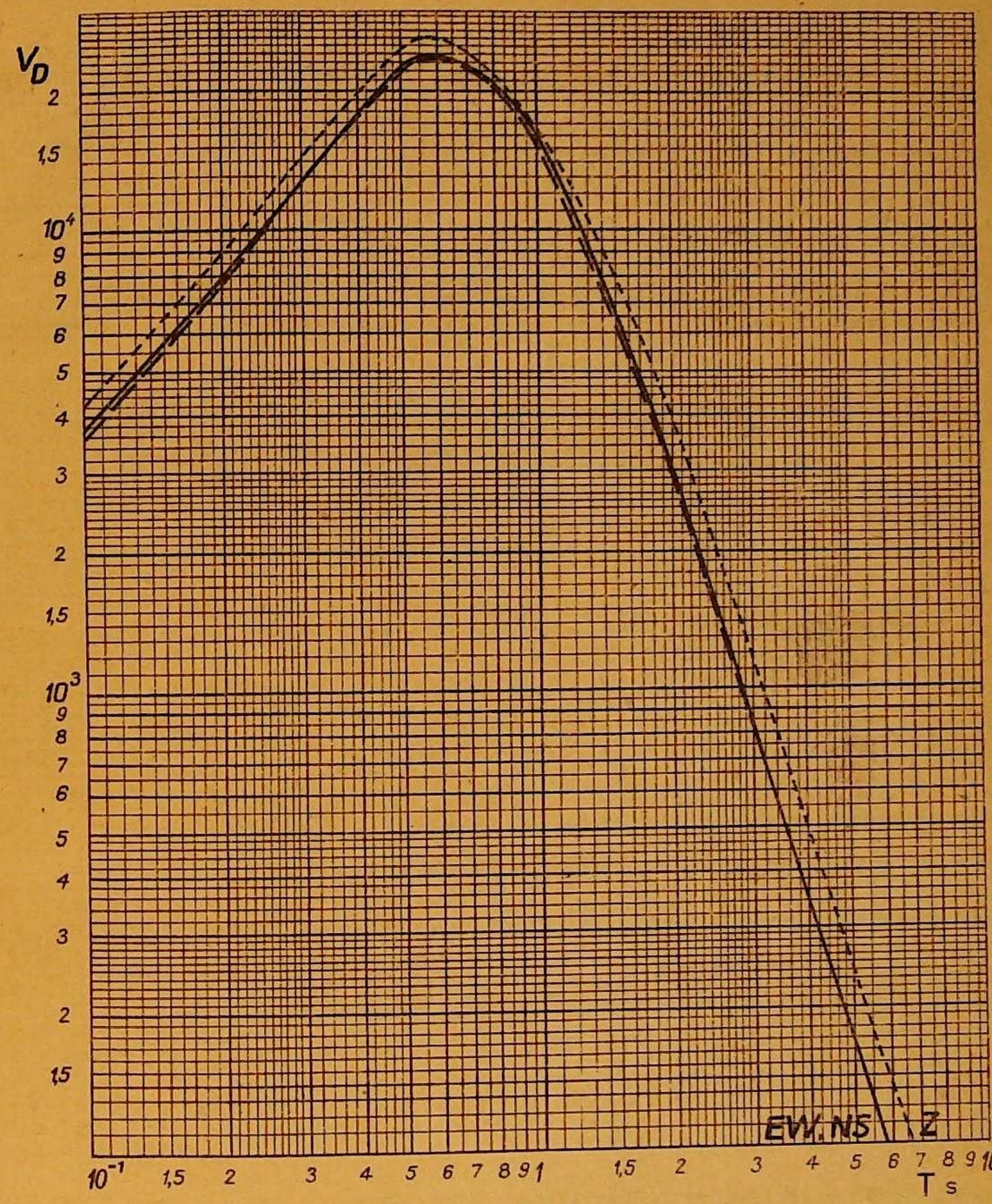

Fig. 4. L'amplification dynamique des séismographes SKM-3 à Kraków

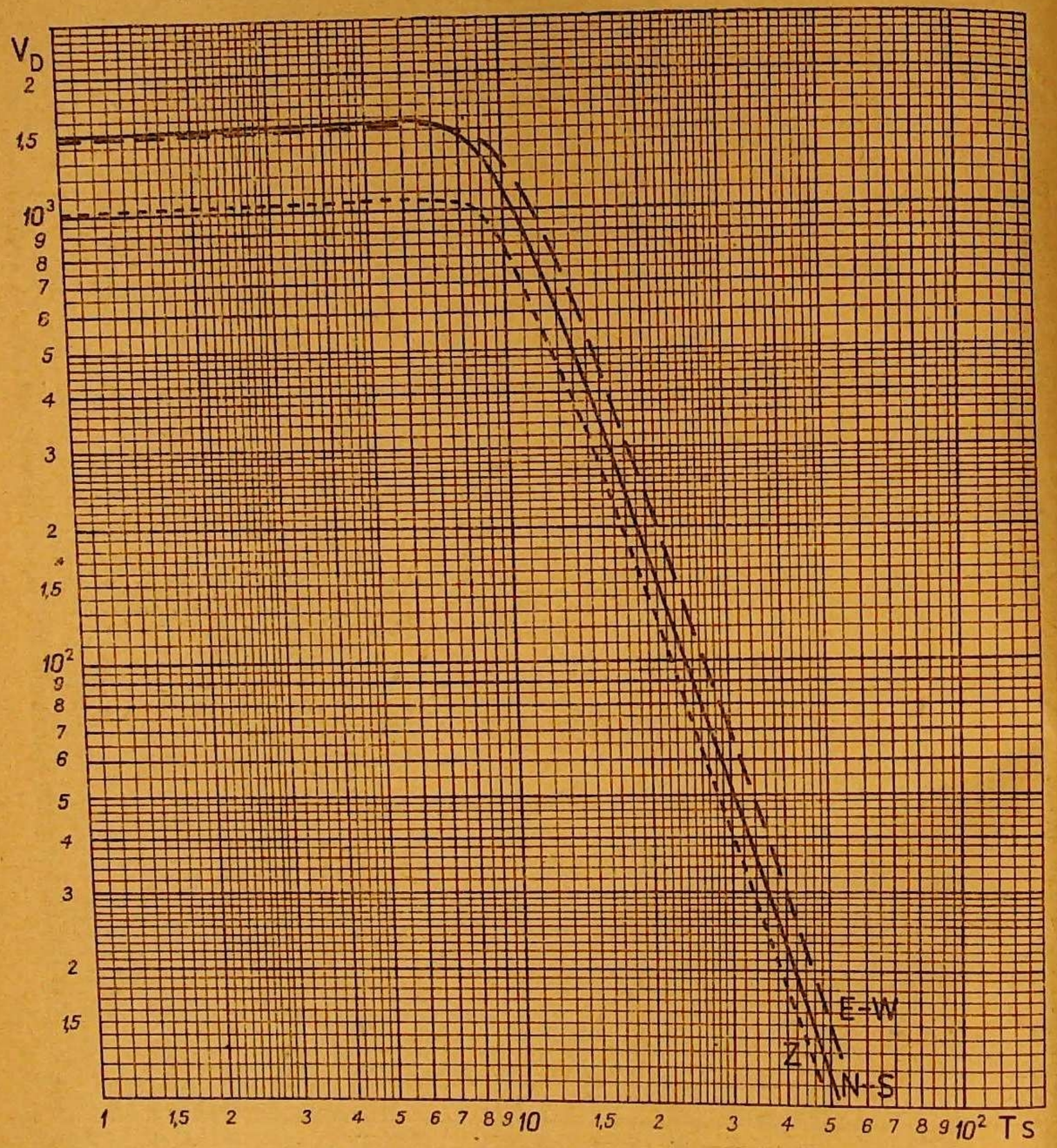

Fig. 5. L'amplification dynamique des séismographes Galitzine-Wilip à Kraków

International Seismological Centre

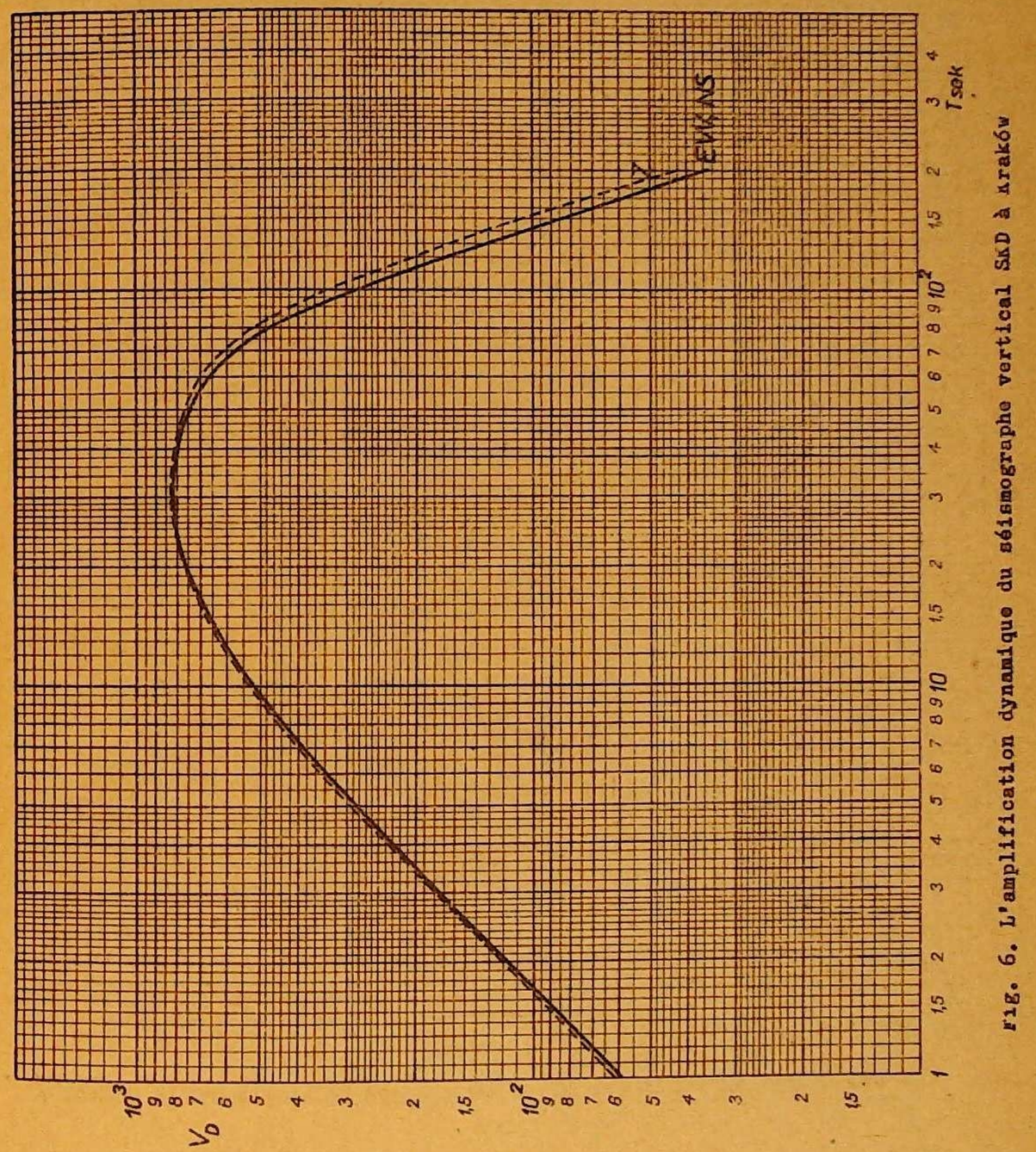

Fig. 6. L'amplification dynamique du séismographe vertical SKD à Kraków

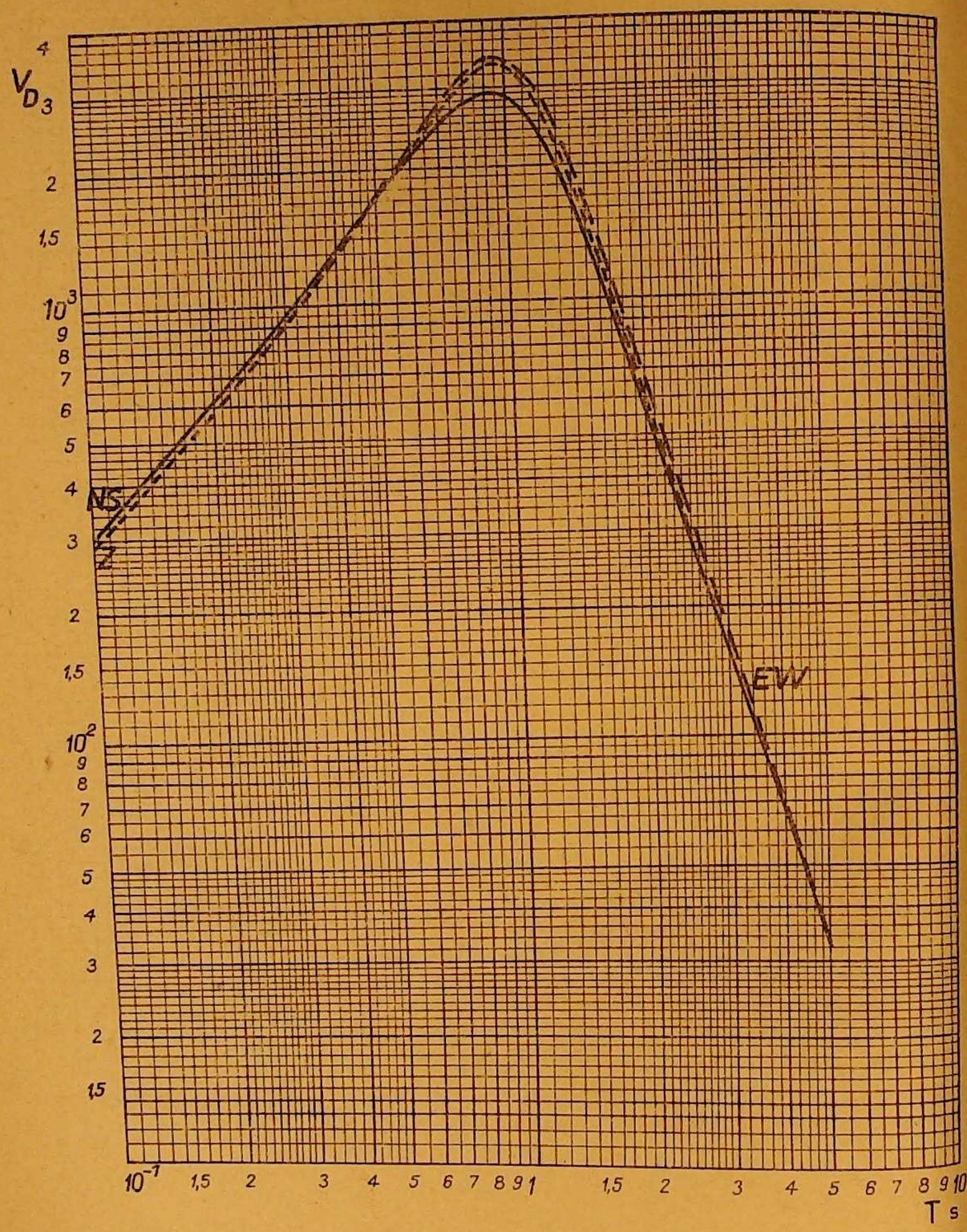

Fig. 7. L'amplification dynamique des séismographes SK-58 à Racibórz

International Seismological Centre

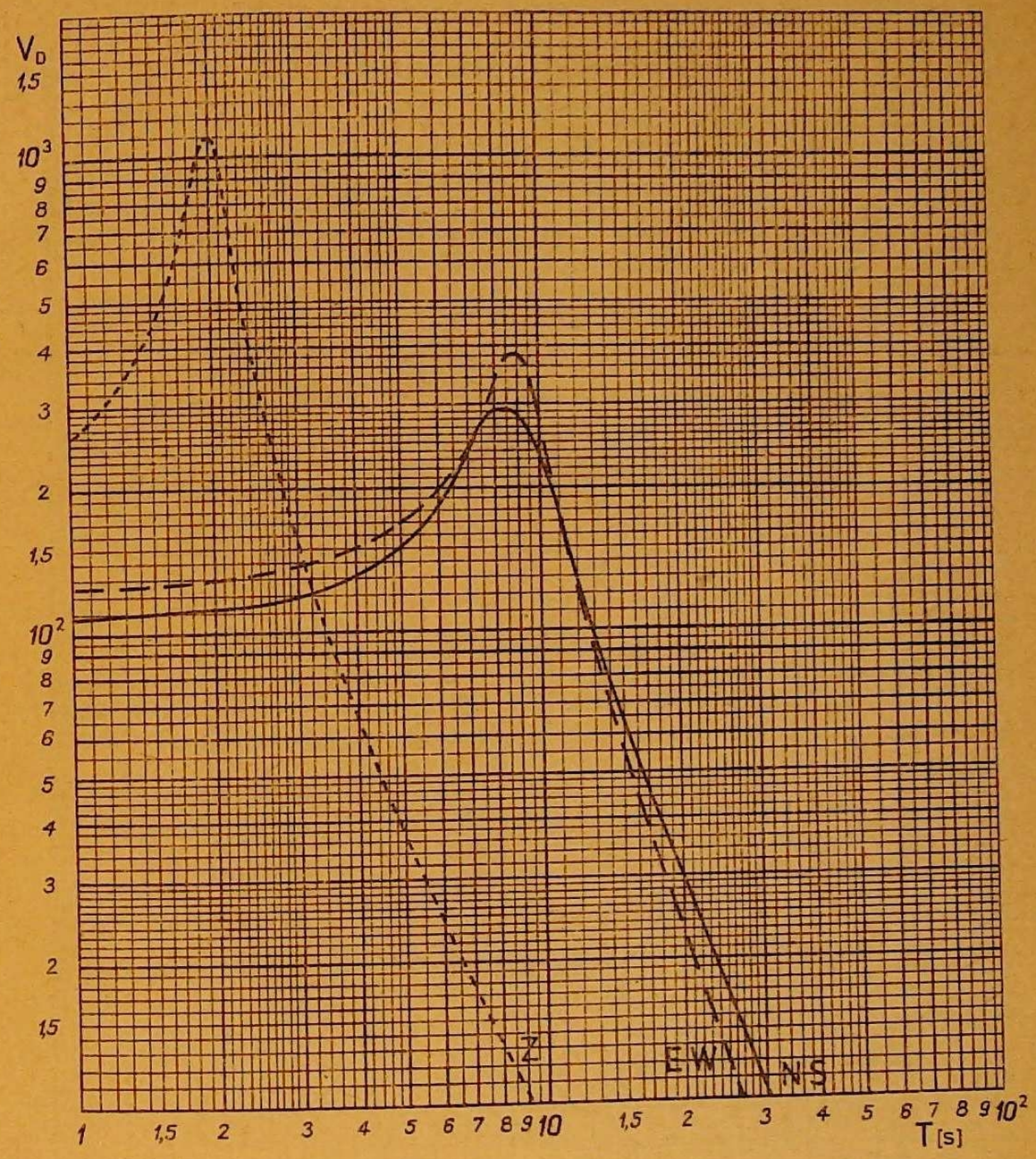

Fig. 8. L'amplification dynamique des séismographes Mainka à Racibórz

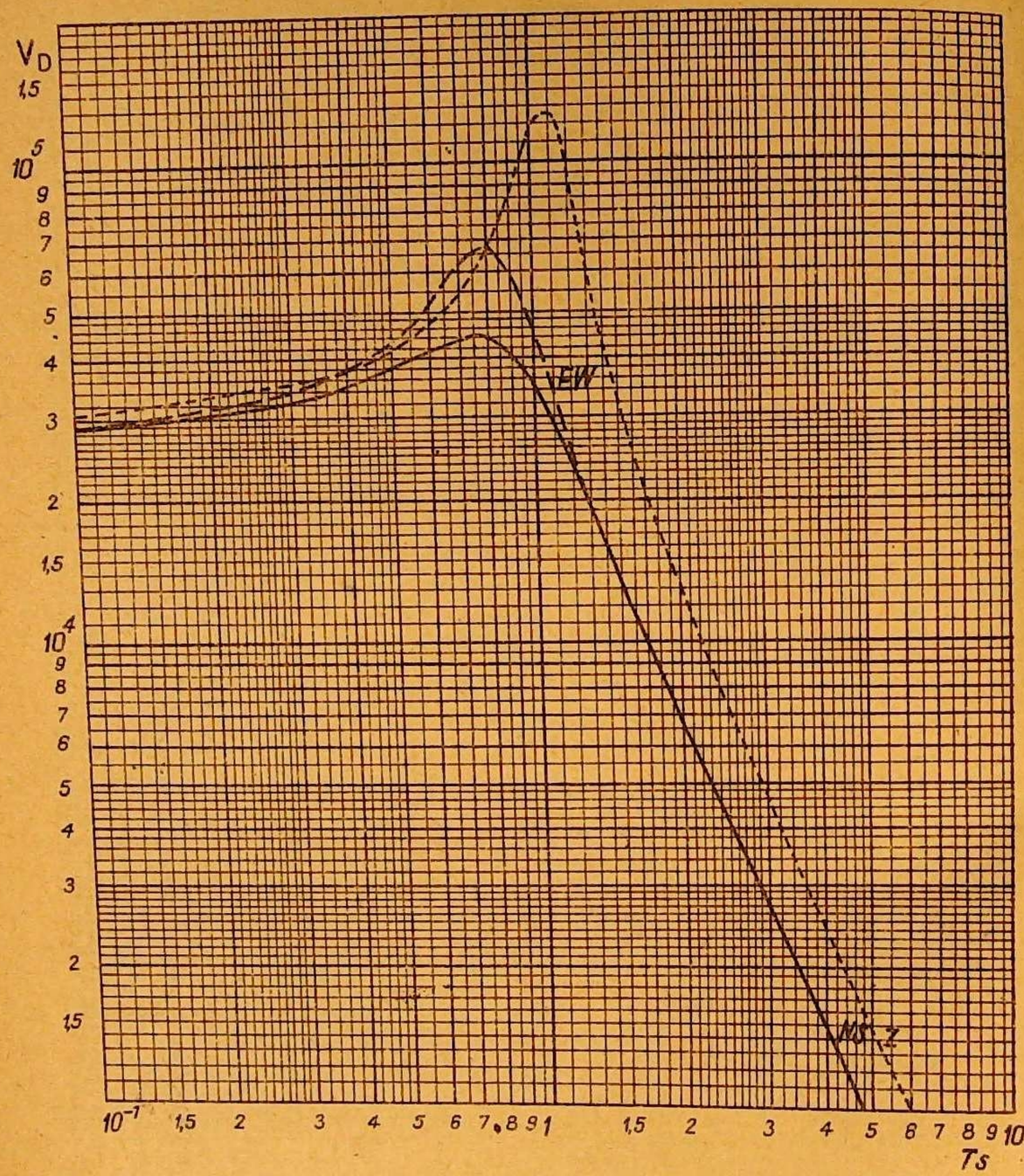

Fig. 9. L'amplification dynamique des séismographes SK-58 à Niedzica

International Seismological Centre

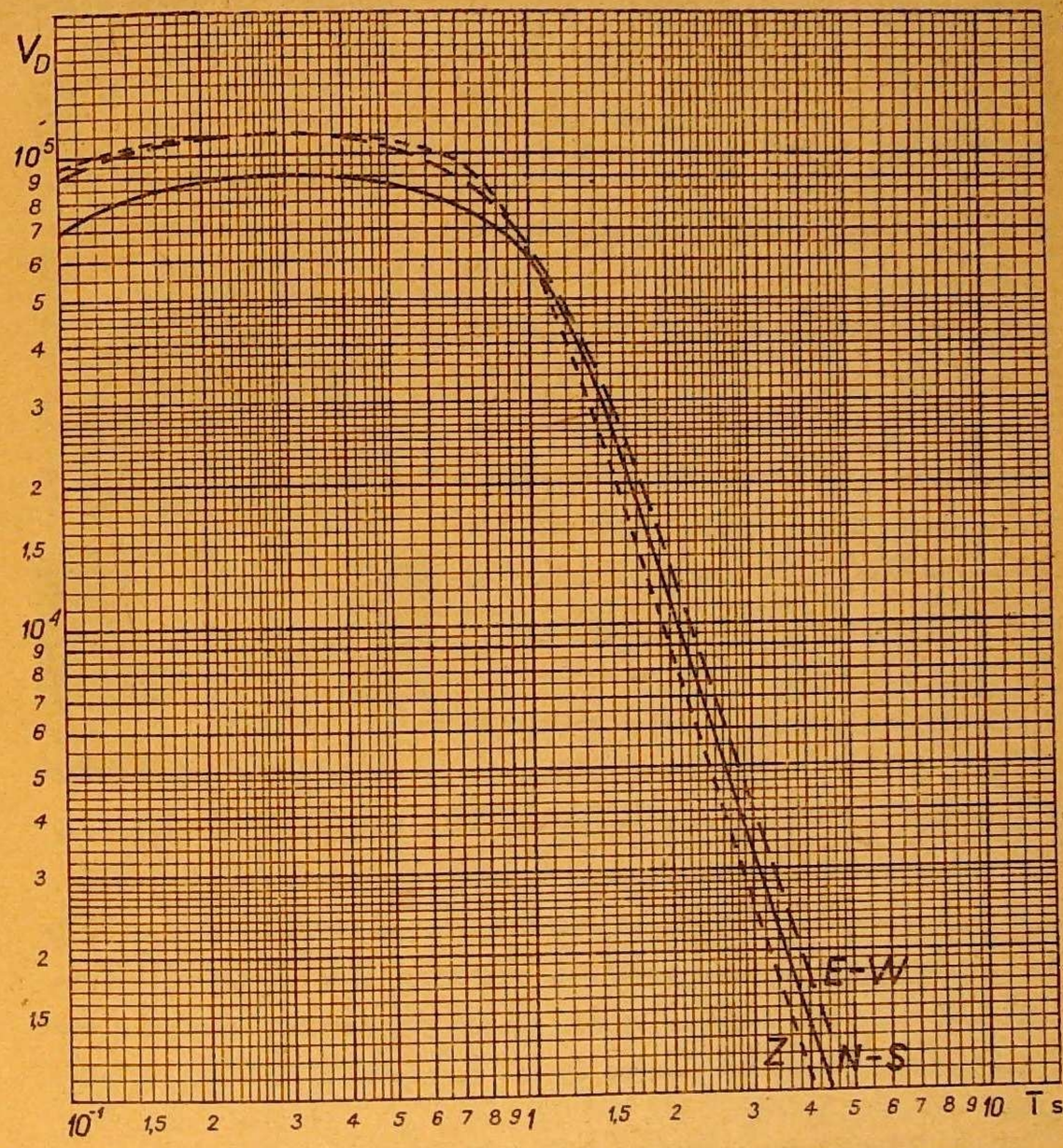

Fig. 10. L'amplification dynamique des séismographes SU-59 à Książ

OBITUARY

On December 9, 1975 died in Warsaw Zofia Bałdyga-Zdziarska, born on April 14, 1938. Since 1961 she had worked in the Instituteof of Geophysics, Polish Academy of Sciences. Thoughout all these years she look technical preparation of the Bulletin Séismologique.

WSPOMNIENIE

Dnia 9 grudnia 1975 r. zmarła w Warszawie Zofia Bałdyga-Zdziarska.

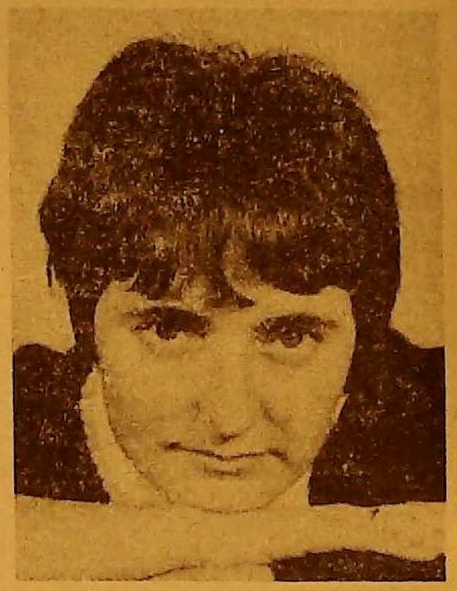

Zofia Zdziarska urodziła się w Warszawie 14 kwietnia 1938 r. Po skończeniu szkoły średniej rozpoczęła w maju 1960 r. pracę w Instytucie Geofizyki PAN. Pełniła funkcję sekretarki Pracowni Biuletynów Sejsmologicznych, a w ostatnim okresie życia - sekretarki Zakładu Sejsmologii IGF PAN. Przez wszystkie lata pracy spoczywała na niej cała techniczna strona przygotowania Bulletin Séismologique do druku. Zofia była pracownikiem o dużych kwalifikacjach, bardzo obowiązkowym i oddanym swej pracy. Zofię Zdziarską cechowała też serdeczność, koleżeńskość, i bardzo życzliwy, choć krytyczny stosunek do ludzi. Ponadto posiadała też rzadki dar obdarzania otoczenia swoją radością życia. Dzięki tym cechom, poza pracą zawodową, przez wiele lat pełniła funkcje skarbnika bądź sekretarza w Radzie Miejscowej Związku Nauczycielstwa Polskiego, przy IGF PAN, zawsze chętna i aktywna w pracach społecznych.

Mając uzdolnienia wokalne Zofia należała do Chóru Śpiewaczego przy Związku Zawodowym Kolejarzy, a następnie do nowo utworzcnego żeńskiego zespołu Towarzystwa Śpiewaczego "Harfa".

Po wyjściu za mąż Zofia marzyła o licznej rodzinie. Mimo wyrzeczeń i cierpień pragnąc dać życie - poświęciła swoje.

Żegnaliśmy Zofię wraz z Jej mężem i najbliższą rodziną w mroźne

International Seismological Centre

RESULTATS DES ENREGISTREMENTS

Date	Station	Phase	T.U. h m s	Date	Station	Phase	T.U. h m s
1975		JANVIER		1975			
1.I	Région frontière Jordan-Syrie, NEIS: 36,6°N, 36,5°E, H=00h29m56,8s, h=15 km; mb=4,8			2.I	KRA	ePKIKP	06 05 34
	NIE	Δ=17,2°			NIE	Δ=125,4°	
		iP	00 34 03,2			ePKIKP	06 05 35
		Z: 1,1s; 0,020 μ				Z: 0,9s; 0,006 μ	
		isP	10,6	2.I	Iles Kouriles, NEIS: 46,9°N, 151,6°E, H=08h59m00,5s, h=52 km; mb=5,7		
		i	23,5		KRA	Δ=75,0°	
	KRA	Δ=17,8°			(SKM)	eP	09 10 36
	(SKM)	eP	00 34 08		NIE	Δ=75,4°	
		Pm	11,6			e1P	09 10 41,0
		Z: 1,1s; 0,048 μ				Z: 1,0s; 0,010 μ	
		isP	17			ipP	55,0
1.I	Alaska, NEIS: 61,9°N, 149,7°W, H=03h55m12,0s, h=66 km; mb=5,9 , mPV=6,0(Kraków)				WAR	Δ=72,5°. Forte ag. mi.	
	KRA	Δ=68,3°			(SKM)	e1S	09 19 44
	(SKM)	iP	04 06 08,3			eL	31,0
		Z: 1,0s; 0,090 μ				Lm	39 50
		ipP	24,1			NE: 21s, 20s; 25 μ, 45 μ	
		Z: 1,0s; 0,117 μ		2.I	Région des Iles Mariannes, NEIS: 21,6°N, 142,9°E, H=14h16m01,0s, h=313 km; mb=5,6		
	NIE	Δ=69,0°			KRA	Δ=92,8°	
		eP	04 06 11		(SKM)	e1P	14 28 38,5
		Pm	14,3			Z: 1,0s; 0,048 μ	
		Z: 1,0s; 0,046 μ			NIE	Δ=93,0°	
		ipP	29,0			e1P	14 28 40,5
1.I	NIE					Z: 1,0s; 0,018 μ	
		eP	04 34 22	2.I	Kamtchatka, NEIS: 53,0°N, 159,4°E, H=19h31m43,9s, h=47 km; mb=5,5 , mPV=6,0(Kraków)		
		Z: 0,9s; 0,008 μ			KRA	Δ=72,0°	
		i	39,0		(SKM)	iP	19 43 03
	KRA					Z: 1,4s; 0,189 μ	
	(SKM)	e1P	04 34 22,9		NIE	Δ=72,5°	
		Z: 1,0s; 0,054 μ				iP	19 43 06,0
1.I	Libie, NEIS: 32,5°N, 21,2°E, H=07h03m51,4s, h=39 km; mb=4,2					Z: 1,1s; 0,056 μ	
	KSP	Δ=18,7°				ipP	21,0
		e1P	07 08 06,3			isP	26,4
1.I	NIE			2.I	NIE		
		iP	21 56 43,7			e1P	22 49 34,0
		Z: 0,9s; 0,008 μ				Z: 1,5s; 0,029 μ	
		i	57 03,3		KRA	Traces	
2.I	Région de l'Ile Dentrecasteaux, NEIS: 9,5°S, 155,1°E, H=05h46m33,5s, h=23 km; mb=5,4				(SKM)	eP	22 49 40
	KRA	Δ=125,3°				Z: 1,1s; 0,035 μ	
	(SKM)	e1PKHKP	06 05 10,0	2.I	Philippines, NEIS: 12,9°N, 125,5°E, H=22h40m15,5s, h normale; mb=5,1		
					KSP	Δ=91,8°	
						eP	22 53 22

Date	Station	Phase	T.U. h m s
3.I	Région des Iles Fidji, NEIS: 20,3°S, 178,6°W, H=00h30m28,0s, h=572 km; mb=5,2		
	KRA	Δ=147,1°	
	(SKM)	iPKIKP	00 49 06,5
		Pm	09,1
		Z:0,6s; 0,066 µ	
		eiPKHKP	09,5
	NIE	Δ=147,5°	
		eiPKIKP	00 49 07,5
		Pm	12,1
		Z: 0,9s; 0,056 µ	
		iPKHKP	12,3
		$iPKP_2$	25,6
3.I	KRA		
	(SKM)	eP	01 58 21
		Z: 0,7s; 0,020 µ	
	NIE		
		iP	01 58 22,5
		Z: 0,9s; 0,013 µ	
3.I	Iles du Dodécanèse, NEIS: 35,7°N, 27,2°E, H=01h59m45,2s, h=49 km; mb=4,8		
	NIE	Δ=14,3°	
		i(P)	02 03 17,3
		Z: 1,1s; 0,014 µ	
		i	20,2
	KRA	Δ=15,0°	
	(SKM)	i(P)	02 03 24,5 D
		Z: 1,1s; 0,096 µ	
		i	32,5
4.I	Kamtchatka, NEIS: 51,1°N, 158,0°E, H=00h20m43,0s, h normale; mb=5,1		
	KSP	Δ=73,4°	
		eP	00 32 13
4.I	Iles Fidji, NEIS: 17,8°S, 178,1°W, H=04h38m57,1s, h=557 km; mb=5,0		
	KSP	Δ=145,1°	
		eiPKP	04 57 32,4
4.I	Chine, NEIS: 38,5°N, 97,5°E, H=12h28m42,3s, h normale; mb=5,4, mPV=5,5(Nie)		
	KRA	Δ=54,4°	
	(SKM)	eP	12 38 06
		eipP	16
	NIE	Δ=54,4°	
		iP	12 38 08,3
		Pm	12,1
		Z: 0,9s; 0,034 µ	
		isP	26,8

Date	Station	Phase	T.U. h m s
6.I	Région de l'Ile Jan Mayen, NEIS: 71,5°N, 5,2°W, H=00h30m02,9s, h normale; mb=4,5		
	KRA	Δ=24,6°. Traces	
	(SKM)	eiP	00 35 23,7
	NIE	Δ=25,3°	
		eP	00 35 24
		eipP	35
6.I	Iles Riou-Kiou, NEIS: 29,2°N, 130,3°E, H=19h09m52,5s, h=41 km; mb=5,6, mPV=6,2(Kraków)		
	KRA	Δ=80,1°	
	(SKM)	iP	19 21 58,8 D
		Z: 0,8s; 0,156 µ	
		iPcP	22 05,9
		isP	17,6
	NIE	Δ=80,2°	
		iP	19 21 59,8
		Z: 1,0s; 0,098 µ	
		iPcP	22 07,6
		ipP	14,8
6.I	Aléoutiennes, NEIS: 54,3°N, 165,8°W, H=23h12m17,8s, h=102 km; mb=5,1		
	KSP	Δ=75,2°	
		eP	23 23 50
7.I	NIE	Traces	
		eiP	17 22 35 C
		Z: 1,0s; 0,009 µ	
8.I	Sumatra, NEIS: 3,0°S, 101,8°E, H=01h58m55,1s, h=95 km; mb=6,0		
	WAR	Δ=86,6°	
	(SKD)	eiP	02 11 30
		eipP	48
		iSKS	21 52
		eiS	56
		eL	37,1
		Lm	46 04
		EZ: 32s; 6,4 µ, 5,7 µ	
	NIE	Δ=86,7°	
		iP	02 11 30 D
		Z: 1,4s; 0,070 µ	
		isP	12 11,5
		iPP	14 51,8
	KRA	Δ=87,0°	
	(SKM)	iP	02 11 30,9 D
		Z: 1,8s; 0,660 µ	
		i	39,3
		ipP	54,2

International Seismological Centre

Date	Station	Phase	T.U. h m s
8.I (suite)	KRA (GW)	iPP	02 14 52,8
		Lm	21,9
		NE: 10s; 2,2 µ, 2,7 µ	
8.I	NIE		
		eiP	07 11 22
		Z: 1,0s; 0,010 µ	
8.I	Aléoutiennes, NEIS: 52,4°N, 168,4°W, H=11h43m38,6s, h=56 km; mb=4,0		
	KSP	Δ=77,1°	
		eiP	11 55 24,1
8.I	Hondo, Japon, NEIS: 35,7°N, 140,7°E, H=18h58m08,1s, h=56 km; mb=4,9		
	NIE	Δ=80,3°	
		eP	19 10 14
		ipP	29,2
8.I	Grèce, NEIS: 38,3°N, 22,9°E, H=19h28m11,5s, h=50 km; mb=4,3		
	NIE	Δ=11,0°	
		ei(P)	19 30 57
		Z: 1,0s; 0,008 µ	
8.I	Grèce, NEIS: 38,3°N, 22,7°E, H=19h32m32,9s h=18 km; mb=5,4		
	NIE	Δ=11,0°	
		eiP	19 35 17,5
		Pm	20,7
		Z: 0,9s; 0,061 µ	
	KRA	Δ=11,6°	
	(SKM)	eP	19 35 27 C
		Z: 1,4s; 0,147 µ	
	(GW)	Lm	41,2
		NEZ: 8,0s; 10,1 µ, 9,4 µ, 4,5 µ	
	WAR	Δ=14,0°	
	(SKD)	iP	19 35 56 C
		eiS	38 32
		Lm	43 32
		NE: 10s; 26 µ, 42 µ	
		Lm	44 16
		Z: 10s; 19 µ	
8.I	Grèce, NEIS: 38,1°N, 22,8°E, H=19h58m15,8s, h=37 km; mb=4,5		
	NIE	Δ=11,2°	
		eP	20 01 00
	KRA	Δ=11,9°	
	(SKM)	eP	20 01 11

Date	Station	Phase	T.U. h m s
8.I	NIE		
		eiP	20 42 11,5
		i	35
8.I	NIE	Traces	
		eP	23 49 06
		Z: 1,1s; 0,016 µ	
9.I	Sumatra, NEIS: 4,3°S, 103,0°E, H=02h11m04,2s, h=107 km; mb=5,4		
	NIE	Δ=88,4°	
		iP	02 23 47
		Z: 1,0s; 0,021 µ	
		isP	24 22,2
		ePP	27 17
	KRA	Δ=88,8°	
	(SKM)	iP	02 23 47,9 D
		Z: 1,0s; 0,042 µ	
9.I	Région des Iles Fidji, NEIS: 17,7°S, 178,6°W, H=04h06m06,0s, h=551 km; mb=4,7		
	NIE	Δ=145,1°	
		eiPKIKP	04 24 41,7
		Z: 1,0s; 0,027 µ	
		$iPKP_2$	47,9
9.I	Detroit des Moluques, NEIS: 2,3°N, 126,8°E, H=13h14m23,4s, h=68 km; mb=5,0		
	KRA	Δ=99,1°	
	(SKM)	iP	13 26 27,0
		Z: 0,4s; 0,016 µ	
		esP	53
9.I	Crète, NEIS: 34,8°N, 24,1°E, H=18h53m44,0s, h=47 km; mb=4,6		
	NIE	Δ=14,6°	
		i(P)	18 57 14,5
		Z: 1,0s; 0,011 µ	
		ipP	20
		isP	32,5
	KRA	Δ=15,3°	
	(SKM)	eP	18 57 14
		isP	32,0
9.I	NIE		
		eP	19 54 03
		Z: 1,0s; 0,009 µ	
9.I	Caucase, NEIS: 42,9°N, 47,0°E, H=23h09m46,6s, h=31 km; mb=5,2		
	NIE	Δ=19,5°	
		eiP	23 14 14,2
		Z: 1,2s; 0,046 µ	

Date	Station	Phase	T.U. h m s
9.I (suite)	NIE	ipP	23 14 20,3
		isP	26,5
		iPP	44,0
	KRA	Δ=19,5°	
	(SKM)	eP	23 14 15
		isP	27
		eiS	17 55
9.I Caucase, NEIS: 42,9°N, 47,1°E, H=23h 40m06,5s, h normale; mb=4,9			
	NIE	Δ=19,5°	
		eiP	23 44 33,5 D
		Z: 1,0s; 0,016 µ	
		ipP	42,4
		isP	49,8
	KRA	Δ=19,9°	
	(SKM)	eiP	23 44 36,9
10.I Caucase, NEIS: 42,9°N, 47,1°E, H=01h 09m21,7s, h normale; mb=4,9			
	NIE	Δ=19,5°	
		eP	01 13 50
		eipP	57
		iPP	14 20,0
	KRA	Δ=19,9°. Traces	
	(SKM)	eP	01 13 53
10.I Caucase, NEIS: 42,9°N, 47,0°E, H=01h 29m22,9s, h normale; mb=4,9			
	NIE	Δ=19,5°	
		eiP	01 33 50,0 D
		Z: 1,3s; 0,022 µ	
		isP	34 03,5
	KRA	Δ=19,8°	
	(SKM)	eiP	01 33 53
10.I Caucase, Moskva: 43,1°N, 47,1°E, H=04h35m32s; mPV(SKM) ≈ 4			
	NIE	Δ=19,5°	
		eP	04 40 03
10.I Iles Fidji, NEIS: 18,0°S, 178,1°W, H=07h01m38,1s, h=466 km; mb=4,5			
	KSP	Δ=145,3°	
		eiPKP	07 20 22,6
10.I Iles Salomon, NEIS: 9,1°S, 158,6°E, H=18h24m19,4s, h normale; mb=4,9			
	NIE	Δ=127,0°. Traces	
		ePKIKP	18 43 22,8
10.I Nouvelles Hébrides, NEIS: 15,0°S, 168,2°E, H=19h22m05,7s, h=17 km; mb=5,2			

Date	Station	Phase	T.U. h m s
10.I	NIE	Δ=137,0°	
		ePKIKP	19 41 28
		Z: 1,0s; 0,005 µ	
10.I	NIE		
		eP	21 45 12
		Z: 1,0s; 0,009 µ	
10.I	NIE		
		eP	22 11 56
		i	12 06,2
11.I Sumatra, NEIS: 5,7°S, 104,8°E, H=10h 26m19,5s, h=101 km; mb=5,3			
	KRA	Δ=91,0°	
	(SKM)	eP	10 39 15
11.I	KRA		
	(SKM)	eiP	12 03 17,3
		Z: 0,5s; 0,049 µ	
11.I Iran, NEIS: 29,0°N, 51,8°E, H=12h08m 06,4s, h=27 km; mb=5,0			
	KRA	Δ=31,8°	
	(SKM)	eiP	12 14 31
		eipP	37
11.I Italie, BCIS: 45,5°N, 10,7°E, H=15h 54m25s, mb=4,0 (NEIS)			
	KSP	Δ=6,5°	
		eiP	15 55 58,6
11.I	KRA		
	(SKM)	iP	16 02 46,7
		Z: 0,6s; 0,027 µ	
		i	56,0
11.I Chine, NEIS: 25,0°N, 101,4°E, H=21h 22m29,4s, h normale; mb=4,8, mPV=4,9(Niedzica)			
	NIE	Δ=65,8°	
		iP	21 33 15
		Z: 1,0s; 0,009 µ	
		eisP	32
	KRA	Δ=65,9°. Traces	
	(SKM)	eP	21 33 19
11.I Hondo, Japon, NEIS: 40,2°N, 142,3°E, H=22h12m56,2s, h=67 km; mb=4,7, mPV=5,7(Niedzic			
	NIE	Δ=77,4°	
		iP	22 24 45,8
		Pm	46,5
		Z: 1,0s; 0,007 µ	
		eipP	58,0
12.I	NIE		
		eP	03 24 12

International Seismological Centre

Date	Station	Phase	T.U. h m s
12.I Turquie, NEIS: 40,4°N, 41,7°E, H=04h 39m45,4s, h=40 km; mb=5,0			
	NIE	Δ=17,5°	
		iP	04 43 52
		Z: 1,4s; 0,056 µ	
		ipP	55,5
		isP	44 04,2
		i	14
		i	20,7
	KRA	Δ=17,9°	
	(SKM)	iP	04 43 53,0
		Z: 1,0s; 0,042 µ	
		eS	47 14,0
12.I Iles Tonga, NEIS: 17,9°S, 174,0°W, H=08h27m37,9s, h normale; mb=4,4			
	NIE	Δ=146,7°	
		eiPKP	08 47 18
		Z: 0,9s; 0,009 µ	
12.I Caucase, NEIS: 42,8°N, 47,2°E, H=13h 51m53,7s, h normale; mb=4,6			
	NIE	Δ=19,7°	
		eP	13 56 21
		eipP	30
	KRA	Δ=20,0°. Traces	
	(SKM)	eiP	13 56 27,5
		Z: 0,8s; 0,018 µ	
12.I Iles Kermadec, NEIS: 33,5°S, 178,1° W, H=17h47m23,5s, h=23 km; mb=5,8			
	KRA	Δ=159,0°	
	(SKM)	ePKIKP	18 07 20 C
		Z: 1,0s; 0,030 µ	
		i	55,0
	NIE	Δ=159,2°	
		ePKIKP	18 07 20
		Z: 1,3s; 0,020 µ	
12.I	KRA	Traces	
	(SKM)	eiP	19 47 53,6
12.I Californie, NEIS: 32,80°N, 117,97°W H=21h22m14,9s, h=8 km; mb=5,1 .			
	KRA	Δ=89,7°. Traces	
	(SKM)	eP	21 35 11
	NIE	Δ=90,3°	
		iP	21 35 14,8 C
		Z: 1,1s; 0,005 µ	

Date	Station	Phase	T.U. h m s
13.I Alaska, NEIS: 61,4°N, 150,5°W, H=00h 31m55,6s, h=66 km; mb=4,8. mPV=5,0(Niedzica)			
	NIE	Δ=69,5°	
		eiP	00 42 57
		Z: 0,9s; 0,009 µ	
		eisP	43 14
13.I Région des Iles Fidji, NEIS: 20,1°S, 178,5°W, H=00h49m06,6s, h=624 km; mb=5,1			
	KRA	Δ=146,9°	
	(SKM)	ePKHKP	01 07 38
		iPKIKP	41,0
		Z: 0,8s; 0,069 µ	
		$iPKP_2$	45,0
	NIE	Δ=147,3°	
		ePKIKP	01 07 40
		iPKIKP	43
		Z: 1,0s; 0,052 µ	
		$iPKP_2$	47
		ipPKP	09 58,5
13.I Hondo, Japon, NEIS: 40,1°N, 142,3°E, H=01h19m51,1s, h=60 km; mb=4,9, mPV=5,5(Kraków)			
	KRA	Δ=77,1°	
	(SKM)	eP	01 31 36
		Z: 1,2s; 0,055 µ	
		ei	51
	NIE	Δ=77,4°	
		eiP	01 31 41,2
		eiPcP	54
		isP	32 00
13.I	NIE		
		iP	04 25 36,5
		Z: 1,1s; 0,012 µ	
13.I Caucase, NEIS: 43,0°N, 47,0°E, H=07h 58m35,7s, h normale; mb=4,7			
	KRA	Δ=19,8°	
	(SKM)	eP	08 03 04
13.I Iles Aléoutiennes, NEIS: 52,2°N, 171,1°W, H=09h19m10,3s, h=42 km; mb=5,7			
	KRA	Δ=78,0°	
	(SKM)	eP	09 31 03
		ipP	16,0
		isP	23,0
14.I Hondo, Japon, NEIS: 35,2°N, 141,0°E, H=04h13m24,1s, h=42 km; mb=5,0 , mPV=5,5 (Kraków)			
	KRA	Δ=80,6°	
	(SKM)	eP	04 25 33
		Z: 1,1s; 0,048 µ	

Date	Station	Phase	T.U. h m s	
14.I	KRA	ePcP	04 25 41	
(suite)		ePP	28 37	
14.I Chine, NEIS: 43,6°N, 86,9°E, H=14h 13m49,8s, h normale; mb=5,0				
	KRA	Δ=45,0°. Traces		
	(SKM)	eP	14 22 02	
		eisP	17	
14.I Mer de Banda, NEIS: 5,0°S, 130,0°E, H=19h37m19,4s, h=39 km; mb=5,9				
	KRA	Δ=106,7°		
	(SKM)	eP	19 51 40	
14.I Mer de Banda, NEIS: 5,0°S, 130,0°E, H=19h48m59,2s, h normale; mb=6,3				
	KRA	Δ=106,7°		
	(SKM)	eP	20 03 12	
14.I Irak, NEIS: 35,4°N, 44,8°E, H=22h 07m52,5s, h=58 km; mb=5,1				
	KRA	Δ=23,1°		
	(SKM)	iP	22 12 55,6	
		Z: 1,1s; 0,043 µ		
15.I Mer Ionienne, NEIS: 37,9°N, 20,1°E, H=05h36m28,1s, h normale; mb=4,2				
	KRA	Δ=11,9°. Traces		
	(SKM)	eiP	05 39 27,3	
15.I Chine, NEIS: 29,4°N, 101,7°E, H=11h 34m41,3s, h normale; mb=5,7, mPV=5,8(Kraków)				
	KRA	Δ=63,1°		
	(SKM)	iP	11 45 07,2	
		Z: 1,2s; 0,095 µ		
		ipP	19,7	
15.I Mer du Groenland, NEIS: 74,2°N, 8,5°E, H=19h06m33,0s, h normale; mb=5,0				
	KRA	Δ=25,0°		
	(SKM)	eP	19 11 50	
		eipP	58,6	
15.I Mer du Groenland, NEIS: 74,2°N, 8,5°E, H=19h10m09,1s, h normale; mb=5,1				
	KRA	Δ=25,0°		
	(SKM)	eiP	19 15 26,7	
		ipP	35,2	
15.I Java, NEIS: 8,0°S, 112,3°E, H=20h 20m33,9s, h=141 km; mb=5,8				
	KRA	Δ=97,6°		
	(SKM)	iP	20 43 13,2	
		Z: 1,0s; 0,042 µ		
		eiPP	47 05	

Date	Station	Phase	T.U. h m s	
16.I Sicile, NEIS: 38,2°N, 15,6°E, H=00h 09m47,1s, h=21 km; mb=4,8				
	KRA	Δ=12,0°. Traces		
	(SKM)	eP	00 12 35	
17.I Iles Tonga, NEIS: 17,9°S, 174,6°W, H=09h30m42,3s, h=153 km; mb=5,8				
	WAR	Δ=143,6°		
	(SKD)	eiPKIKP	09 49 58	
		eipPKP	50 34	
	KRA	Δ=146,1°		
	(SKM)	eiPKIKP	09 50 04,3	D
		Pm	09,0	
		Z: 1,4s; 0,578 µ		
		i	13,2	
		ipPKP	42,7	
		pPKPm	47	
		Z: 2,1s; 1,432 µ		
17.I Mer de Ceram, NEIS: 2,9°S, 126,1°E, H=10h28m09,2s, h normale; mb=5,7				
	KSP	Δ=104,7°		
		eP	10 42 14	
17.I Iles Fidji, NEIS: 18,0°S, 178,8°W, H=12h27m41,8s, h=692 km; mb=4,6				
	KSP	Δ=145,1°		
		iPKP	12 46 07,6	C
		Z: 0,7s; 0,025 µ		
18.I Chine, NEIS: 39,0°N, 74,3°E, H=00h 16m44,1s, h=86 km; mb=4,8				
	NIE	Δ=39,3°		
		eP	00 24 07	
		eipP	23	
18.I Méditerranée, NEIS: 35,1°N, 22,9°E, H=04h09m53,2s, h normale; mb=4,3				
	KRA	Δ=14,8°. Traces		
	(SKM)	eP	04 13 10	
	NIE	Δ=14,2°		
		eiPP	04 13 25	
	KSP	Δ=16,4°		
		eP	04 13 47	
18.I Iles Tonga, NEIS: 20,5°S, 173,8°W, H=08h51m17,8s, h normale; mb=5,6				
	KRA	Δ=148,8°		
	(SKM)	ePKP	09 11 02	
18.I	KRA			
	(SKM)	iP	10 53 22,9	
		Z: 0,7s; 0,041 µ		

International Seismological Centre

Date	Station	Phase	T.U. h m s	
18.I Chine, Moskva; 28,8°N, 102,3°E, H=19h11m49m, mPV(SKM) =4,7				
	NIE	Δ=63,8°. Traces		
		eP	19 22 20	
19.I Sumatra, NEIS: 5,2°S, 103.8°E, H=03h 15m11,7s, h=95 km; mb=4,9				
	NIE	Δ=89,6°		
		eiP	03 28 02,2	
		Z: 1,0s; 0,006 µ		
		esP	41	
19.I Région frontière Cachemire-Tibet, NEIS: 32,4°N, 78,6°E, H=08h00m24,3s, h=60 km; mb=5,3				
	NIE	Δ=46,0°		
		iP	08 08 45,0	
		Z: 1,0s; 0,025 µ		
		i	52,5	
	KRA	Δ=46,3°. Traces		
	(SKM)	iP	08 08 46,4	
19.I Cachemire-Tibet, NEIS: 32,5°N, 78,4° E, H=08h02m02,5s, h normale; mb=6,2, mPV=6,4(Kraków), MLH=6,8(Kraków), MLV=6,5 (Kraków)				
	KRA	Δ=46,1°		
	(SKM)	iP	08 10 25,4	C
		iS	17 16	
		Lm	28,8	
		NE: 10s; 51 µ, 21 µ		
	WAR	Δ=45,4°		
	(SKD)	iP	08 10 18	D
		iS	17 04	
19.I Cachemire-Tibet, NEIS: 32,0°N, 78,5°E, H=08h12m08,1s, h normale; mb=6,0, mPV=6,0(Kraków),				
	KRA	Δ=46,5°		
	(SKM)	iP	08 20 35,4	
		Z: 1,4s; 0,210 µ		
19.I Cachemire-Tibet, NEIS: 32,4°N, 78,5°E, H=09h12m55,6s, h normale; mb=4,7, mPV=4,5(Niedzica)				
	NIE	Δ=46,0°		
		eP	09 21 19	
		Z: 1,0s; 0,005 µ		
19.I Cachemire-Tibet, NEIS: 32,1°N,				

Date	Station	Phase	T.U. h m s	
19.I 78,6°E, H=13h04m36,6s, h normale; mb=5,0, mPV=4,7(Niedzica)				
	NIE	Δ=46,2°		
		eP	13 13 01,8	
		Pm	02,5	
		Z: 1,0s; 0,008 µ		
		ipP	14,5	
19.I	NIE			
		eiP	16 24 35,5	C
		Z: 1,1s; 0,005 µ		
20.I Mer de Norvège, NEIS: 71,8°N, 14,6°E, H=10h47m29,9s, h normale; mb=5,1, mPV=5,1 (Kraków)				
	KRA	Δ=22,2°		
	(SKM)	iP	10 52 21,9	C
		Z: 1,0s; 0,096 µ		
20.I Cachemire-Tibet, NEIS: 32,5°N, 78,6°E, H=11h06m53,9s, h=48 km; mb=4,8,				
	KRA	Δ=46,2°. Traces		
	(SKM)	eP	11 15 13	
20.I Hondo, Japon, NEIS: 35,0°N, 141,2°E, H=17h31m10,6s, h=28 km; mb=5,9, mPV=6,1 (Kraków)				
	WAR	Δ=78,6°		
	(SKD)	eiP	17 43 17	
		eiSKS	53 21	
		eL	18 08,0	
		Lm	22 29	
		Z: 24s; 8,6 µ		
	KRA	Δ=80,9°		
	(SKM)	iP	17 43 23,1	C
		Z: 1,0s; 0,162 µ		
		ipP	30	
20.I Iles Tonga, NEIS: 21,8°S, 173,8°W, H=18h57m44,0s, h normale; mb=5,2				
	KRA	Δ=150,0°		
	(SKM)	ePKP	19 17 32	
		Z: 1,1s; 0,062 µ		
		iPKP$_2$	42	
20.I Philippines, Moskva: 19,1°N, 121,6°E, H=22h14m43s, mPV(SKM)=5,4				
	KRA	Δ=82,9°..Traces		
	(SKM)	eP	22 27 07	
21.I	NIE			
		iP	05 43 55,5	D
		Z: 1.0s; 0,019 µ		

Date	Station	Phase	T.U. h m s	
21.I	Iles Kouriles, NEIS: 43,4°N, 147,0°E, H=20h43m28,9s, h=49 km; mb=4,9, mPV=5,4 (Kraków), 4,9(Niedzica)			
	KRA	Δ=76,3°		
	(SKM)	eiP	20 55 13,5	
		Z: 1,0s; 0,042 µ		
		isP	33,5	
	NIE	Δ=76,7°		
		iP	20 55 16,3	C
		Z: 1,1s; 0,010 µ		
		eipP	29	
		isP	32	
21.I	Alaska, NEIS: 55,8°N, 158,0°W, H=21h47m49,4s, h=35 km; mb=4,9			
	KSP	Δ=73,6°		
		eP	21 59 22	
22.I	Région des Iles Fidji, NEIS: 24,2°S, 177,1°W, H=05h24m18,5s, h=166 km; mb=4,4			
	NIE	Δ=151,6°		
		iPKP	05 43 55,5	D
		Z: 1,0s; 0,021 µ		
		$iPKP_2$	44 03,5	
22.I	Iles Philippines, NEIS: 19,8°N, 121,5°E, H=05h44m28,1s, h=66 km; mb=4,8			
	KRA	Δ=82,3°. Traces		
	(SKM)	eP	05 56 43	
22.I	Région des Iles Andaman, NEIS: 14,6°N 96,1°E, H=08h30m37,1s, h=15 km; mb=5,5 , mPV=5,6(Kraków)			
	KRA	Δ=70,1°		
	(SKM)	eiP	08 41 51,0	
		Z: 1,1s; 0,051 µ		
		ipP	54,7	
		isP	42 50,7	
23.I	Sikkim, NEIS: 27,3°N, 88,3°E, H=01h37m42,9s, h normale; mb=4,8			
	NIE	Δ=55,7°		
		eP	01 47 19	
		eipP	30	
23.I	Iles Tonga, NEIS: 17,8°S, 174,7°W, H=02h53m56,8s, h=97 km; mb=4,4			
	NIE	Δ=146,4°		
		iPKP	03 13 29,0	
		Z: 1,0s; 0,012 µ		
23.I	Japon, NEIS: 33,0°N, 131,1°E, H=14h19m14,9s, h=10 km; mb=5,2			
23.I	KRA	Δ=77,5°		
	(SKM)	eP	14 31 13	
24.I	Albanie, NEIS: 41,2°N, 19,7°E, H=16h33m03,2s, h normale; mb=4,6			
	NIE	Δ=8,0°		
		ei	16 35 06	
		Z: 1,0s; 0,040 µ		
		iP*	19	
	KRA	Δ=8,6°. Traces		
	(SKM)	i(P)	16 35 13,8	
		Pm	17,4	
		Z: 0,4s; 0,060 µ		
24.I	NIE			
		iP	17 57 06,5	
		Z: 1,0s; 0,006 µ		
	KRA	Traces		
	(SKM)	eiP	17 57 07,7	
		Z: 0,5s; 0,029 µ		
25.I	Région frontière Panama-Colombie, NEIS: 7,2°N, 77,8°W, H=02h08m41,5s, h=36 km; mb=6,1 mPV=6,3(Kraków), 6,2(Niedzica), MLV=6,6(Warszawa)			
	KRA	Δ=89,5°		
	(SKM)	iP	02 21 36,9	C
		Z: 1,0s; 0,252 µ		
		ipP	49,8	
	WAR	Δ=89,8°		
	(SKD)	eiP	02 21 37	
		i	45	
		eiPP	24 59	
		iS	32 17	
		eiPS	29	
		eiPPS	33 45	
		Lm	55 25	
		EZ: 28s; 45 µ, 35 µ		
	NIE	Δ=89,9°		
		iP	02 21 40,0	C
		Z: 1,2s; 0,207 µ		
		ipP	53,5	
25.I	Panama-Colombie, NEIS: 7,1°N, 77,9°W, H=03h25m08,4s, h normale; mb=5,0, mPV=4,9 (Niedzica)			
	KRA	Δ=89,7°. Traces		
	(SKM)	eP	03 38 05	
	NIE	Δ=90,0°		
		iP	03 38 09	
		Z: 1,0s; 0,009 µ		

International Seismological Centre

Date	Station	Phase	T.U. h m s	
25.I	Grèce, NEIS: 38,0°N, 20,0°E, H=14h14m09,3s, h normale; mb=4,5			
	NIE	Δ=11,1°		
		e(P)	14 16 54	
25.I	Aléoutiennes, NEIS: 51,1°N, 171,0°W, H=17h04m33,9s, h normale; mb=4,9,mPV=4,6 (Niedzica)			
	NIE	Δ=79,6°		
		iP	17 16 37,5	
		Z: 1,1s; 0,006 µ		
		ePcP	46	
25.I	Allemagne, NEIS: 48,3°N, 9,1°E, H=23h52m40,2s, h=19 km;			
	KSP	Δ=5,3°		
		eiSg	23 55 28,2	
26.I	Iles Philippines, NEIS: 13,6°N, 120,6°E, H=03h33m23,7s, h=40 km; mb=4,7			
	NIE	Δ=86,4°		
		eiP	03 46 13,7	
		Z: 1,0s; 0,004 µ		
		ePcP	22	
26.I	Grèce, NEIS: 37,0°N, 24,5°E, H=05h30m54,6s, h=48 km; mb=4,8			
	NIE	Δ=12,5°		
		ePP	05 34 00	
	KRA	Δ=13,2°		
	(SKM)	ePP	05 34 08	
	KSP	Δ=15,0°		
		e(P)	05 34 32	
26.I	Région des Iles Fidji, NEIS: 18,0°S, 177,6°W, H=09h02m23,7s, h=352 km; mb=4,3			
	NIE	Δ=145,7°		
		iPKP	09 21 19,6	
		Z: 1,1s; 0,006 µ		
27.I	NIE			
		iP	03 21 54,2	D
		Z: 0,9s; 0,028 µ		
		i	22 00	
27.I	Région frontière Cachemire-Tibet, NEIS: 32,5°N, 78,7°E, H=08h10m18,7s, h normale; mb=5,0 , mPV=5,1(Niedzica)			
	NIE	Δ=46,0°		
		iP	08 18 42,0	
		Z: 1,0s; 0,009 µ		
		ipP	53	
27.I	NIE	isP	08 18 56,2	
27.I	Cachemire-Tibet, NEIS: 32,3°N, 78,5°E, H=13h41m38,8s, h normale; mb=4,8, mPV=5,0 (Niedzica)			
	NIE	Δ=46,0°		
		iP	13 50 03,2	C
		Z: 1,0s; 0,016 µ		
		eipP	12	
27.I	Sumba, NEIS: 9,9°S, 119,4°E, H=15h10m01,8s, h normale; mb=5,5			
	NIE	Δ=103,3°		
		iPP	15 28 17	
27.I	Région de la Nouvelle Irlande, NEIS: 4,7°S, 153,1°E, H=20h09m56,2s, h=82 km; mb=4,5			
	NIE	Δ=120,4°. Traces		
		eiPKIKP	20 28 40	
28.I	Sumatra, NEIS: 4,8°N, 94,5°E, H=05h48m00,9s, h normale; mb=4,9			
	NIE	Δ=76,0°		
		eiP	05 59 48	
28.I	Chypre, Méditerranée, NEIS: 34,6°N, 33,7°E, H=21h12m33,1s, h=45 km; mb=4,7			
	NIE	Δ=17,6°		
		eP	21 16 40	
		ePP	50	
		i	17 10,6	
29.I	Iles Bonin, NEIS: 26,9°N, 140,2°E, H=08h03m14,4s, h=500 km; mb=4,7			
	NIE	Δ=87,3°		
		eiP	08 15 08	
		Z: 1,0s; 0,009 µ		
29.I	Région frontière Tibet-Inde, NEIS: 31,9°N, 78,5°E, H=15h49m25,9s, h normale; mb=4,9			
	NIE	Δ=46,3°		
		eP	15 57 51	
		eipP	58 03	
		isP	10	
31.I	Hondo, Japon, NEIS: 40,3°N, 143,8°E, H=04h26m39,4s, h=18 km; mb=4,8			
	NIE	Δ=77,9°		
		eP	04 38 37	

Date	Station	Phase	T.U. h m s
		FÉVRIER	
1975			
1.II	Unimak, NEIS: 53,5°N, 163,3°W, H=05h52m22,2s, h=18 km; mb=4,6 , mPV=4,6(Niedzica)		
	NIE	Δ=77,7°	
		eiP	06 04 19
		Z: 1,0s; 0,005 μ	
1.II	NIE		
		eiP	07 53 56,5
		Z: 1,0s; 0,007 μ	
1.II	Iles Fidji, NEIS: 20,5°S, 176,3°W, H=08h58m55,5s, h=146 km; mb=4,9		
	NIE	Δ=148,5°	
		iPKP2	09 18 25,2
		Z: 1,1s; 0,020 μ	
1.II	NIE		
		iP	11 02 06,4
1.II	NIE		
		eiP	12 39 24
1.II	Tibet, NEIS: 32,5°N, 93,4°E, H=14h19m23,8s, h normale; mb=4,9		
	NIE	Δ=55,6°	
		eiP	14 28 59,3
		eipP	29 09
1.II	Iles Philippines, NEIS: 13,0°N, 120,2°E, H=15h19m50,5s, h normale; mb=5,0		
	KSP	Δ=88,6°	
		eP	15 32 42
1.II	Cachemire, NEIS: 36,0°N, 73,0°E, H=18h16m50,8s, h=70 km; mb=4,9 , mPV=4,5 (Niedzica)		
	NIE	Δ=40,2°	
		eP	18 24 24
		Z: 1,2s; 0,009 μ	
		ipP	41
1.II	Nouvelle Irlande, NEIS: 4,8°S, 153,2°E, H=19h42m37,8s, h=57 km; mb=5,0		
	NIE	Δ=120,5°	
		iPKIKP	20 01 26,2
		Z: 1,0s; 0,011 μ	
2.II	Aléoutiennes, NEIS: 51,1°N, 173,4°E, H=07h24m53,3s, h=25 km; mb=5,9 , mPV=5,6 (Niedzica)		
	NIE	Δ=75,6°	

Date	Station	Phase	T.U. h m s
1975			
2.II	NIE	iP	07 36 37,2
		Z:.1,6s; 0,083 μ	
		ipP	41,9
		ipPcP	54,5
2.II	URSS-Mongolie, NEIS: 50,5°N, 90,9°E, H=07h46m52,8s, h normale; mb=4,8 , mPV=5,3 (Niedzica)		
	NIE	Δ=44,0°	
		iP	07 54 59
		Z: 0,8s; 0,030 μ	
		ipP	55 12,5
2.II	Aléoutiennes, NEIS: 53,1°N, 173,5°E, H=08h43m39,1s, h=10 km; mb=6,1, mPV=5,1 (Niedzica)		
	NIE	Δ=75,6°	
		eP	08 55 25
		Pm	28,0
		Z: 1,0s; 0,017 μ	
		isP	31,7
		iPcP	37
2.II	Aléoutiennes, NEIS: 52,9°N, 173,6°E, H=15h53m06,9s, h=31 km; mb=4,9		
	KSP	Δ=74,9°	
		eiP	16 04 48,8
2.II	Iles Fidji, NEIS: 17,3°S, 177,3°W, H=15h51m26,7s, h=461 km; mb=5,2		
	NIE	Δ=145,1°	
		iPKHKP	16 10 13,8
		Z: 0,9s; 0,260 μ	
2.II	Iles Kouriles, NEIS: 44,6°N, 146,9°E, H=16h17m23,7s, h=80 km; mb=5,5 , mPV=6,1 (Książ, Niedzica)		
	NIE	Δ=75,6°	
		iP	16 29 00,0
		Z: 0,9s; 0,141 μ	
		iPcP	12,5
		ipP	20,4
2.II	Cachemire-Tibet, NEIS: 32,6°N, 78,5°E, H=19h14m09,7s, h=21 km; mb=5,1 , mPV=5,2 (Niedzica)		
	NIE	Δ=45,8°	
		iP	19 22 33,2
		Z: 1,2s; 0,028 μ	
		ipP	40

International Seismological Centre

Date	Station	Phase	T.U. h m s
2.II	Grèce, NEIS: 40,6°N, 21,4°E, H=21h12m19,2s, h normale; mb=4,7		
	NIE	Δ=8,6°	
		eP	21 14 32
3.II	Mexique-Guatémala, NEIS: 15,6°N, 91,8°W, H=01h03m25,2s, h=218 km; mb=5,4		
	NIE	Δ=92,1°	
		eiP	01 16 11
		Z: 0,9s; 0,010 μ	
		eipP	17 16
3.II	Iles Kouriles, NEIS: 48,3°N, 157,1°E H=08h07m04,0s, h=66 km; mb=5,0		
	NIE	Δ=76,0°	
		eP	08 18 45
		isP	19 14
3.II	NIE	Traces	
		eiP	11 19 10
		Z: 0,9s; 0,014 μ	
3.II	NIE		
		iP	13 10 39,3
		Z: 1,0s; 0,011 μ	
3.II	Tadzhik-Sinkiang, NEIS: 39,4°N, 73,0°E, H=14h11m51,1s, h normale; mb=4,6 mPV=4,7(Niedzica)		
	NIE	Δ=38,2°	
		eiP	14 19 10
		Z: 1,0s; 0,009 μ	
		eipP	20
	KRA (SKM)	Δ=38,4°. Traces	
		eiP	14 19 10,8
4.II	Montana, NEIS: 48,2°N, 114,1°W, H=01h32m52,1s, h=8 km; mb=4,6, mPV=4,7(Niedzica)		
	NIE	Δ=75,3°	
		eiP	01 44 40,2
		Z: 1,0s; 0,006 μ	
4.II	NIE		
		iP	02 08 06,5
		Z: 0,9s; 0,014 μ	
4.II	Kamtchatka, NEIS: 51,6°N, 159,6°E, H=06h25m26,1s, h normale; mb=4,7		
	NIE	Δ=73,8°	
		eiP	06 36 57,2
		eipP	37 07
4.II	Iles Fidji, NEIS: 20,6°S, 178,8°W, H=09h12m10,6s, h=619 km; mb=4,6		

Date	Station	Phase	T.U. h m s
4.II	NIE	Δ=147,7°	
		eiPKHKP	09 30 48,5
		Z: 1,2s; 0,015 μ	
4.II	Chine, NEIS: 40,6°N, 122,6°E, H=11h36m07,5s, h normale; mb=6,4 , mPV=6,2(Kraków), 6,3(Książ)		
	NIE	Δ=67,5°	
		iP	11 47 00
	KRA	Δ=67,3°	
	(SKM)	iP	11 47 00,4
		Z: 1,6s; 0,284 μ	
		ipP	05,6
		Z: 1,1s; 0,524 μ	
	(GW)	iPP	49 31
		iS	55 55
4.II	Chine, NEIS: 40,7°N, 122,4°E, H=13h32m37,7s, h normale; mb=4,9		
	KRA	Δ=67,1°	
	(SKM)	eP	13 43 29
	NIE	Δ=67,3°	
		eP	13 43 32
		ipP	40,2
4.II	Chine, NEIS: 40,6°N, 122,6°E, H=13h40m11,7s, h normale; mb=4,8		
	NIE	Δ=67,5°	
		iP	13 51 07
		Z: 1,0s; 0,006 μ	
		isP	20,7
4.II	Chine, NEIS: 40,6°N, 122,6°E, H=14h03m18,5s, h normale; mb=4,9 , mPV=4,7(Niedzica)		
	NIE	Δ=67,5°	
		eP	14 14 12
		Z: 1,1s; 0,006 μ	
4.II	Chine, NEIS: 40,7°N, 122,7°E, H=18h56m31,6s, h normale; mb=4,5		
	NIE	Δ=67,5°	
		eiP	19 07 26,5
4.II	Taiwan, NEIS: 25,3°N, 123,1°E, H=20h20m30,5s, h=179 km; mb=5,0		
	KRA	Δ=79,0°	
	(SKM)	iP	20 32 15,2
		Z: 1,3s; 0,091 μ	
		ePcP	21
		epP	59
	NIE	Δ=79,1°	

Date	Station	Phase	T.U. h m s
4.II	NIE	iP	20 32 16,5 D
		Z: 1,1^s; 0,016 μ	
		e1PcP	22
		ipP	33 01,5
5.II	URSS-Afghanistan, NEIS: 37,0°N, 71,9°E, H=05^{h}43^{m}47,0^s, h=158 km; mb=4,7		
	NIE	Δ=38,9°	
		iP	05 51 00
		Z: 1,0^s; 0,012 μ	
		ipP	33
		isP	51
	KRA	Δ=39,1°. Traces	
	(SKM)	eiP	05 51 01,5
5.II	Chine, NEIS: 40,7°N, 122,6°E, H=21^{h}43^{m}43,2^s, h normale; mb=4,9 , mPV=5,1(Niedzica)		
	KRA	Δ=67,2°	
	(SKM)	eP	21 54 37
		eipP	44
	NIE	Δ=67,4°	
		eiP	21 54 38,5
		Z: 0,8^s; 0,013 μ	
		esP	51
5.II	Kamtchatka, NEIS: 51,5°N, 159,7°E, H=23^{h}43^{m}32,9^s, h=31 km; mb=5,0 , mPV=5,5 (Kraków), 5,2(Niedzica)		
	KRA	Δ=73,4°. Traces	
	(SKM)	eiP	23 55 02,2
		Z: 1,0^s; 0,040 μ	
		eipP	13
	NIE	Δ=73,9°	
		iP	23 55 05,7
		Pm	06,4
		Z: 0,9^s; 0,016 μ	
		eipP	14
		isP	18,3
.II	Chine, NEIS: 40,8°N, 122,3°E, H=04^{h}4^{m}56,5^s, h normale; mb=5,1 , mPV=4,9 (Niedzica)		
	KRA	Δ=67,0°	
	(SKM)	eP	04 35 48
		ipP	59,5
	NIE	Δ=67,2°	
		eP	04 35 49
		Z: 0,9^s; 0,008 μ	
		isP	36 04

Date	Station	Phase	T.U. h m s
6.II	Iles Tonga, NEIS: 24,0°S, 175,8°W, H=11^{h}37^{m}00,2^s, h normale; mb=4,8		
	NIE	Δ=151,9°	
		e1PKHKP	11 56 54
		Z: 1,0^s; 0,006 μ	
		1PKP$_2$	57 06
6.II	Mer de Norvège, NEIS: 74,4°N, 10,0°E, H=17^{h}57^{m}05,0^s, h normale; mb=4,7		
	KRA	Δ=25,0°	
	(SKM)	eP	18 02 20
		esP	35
	NIE	Δ=25,7°	
		eP	18 02 26
		ipP	33,2
		isP	39,0
6.II	Région du Lac Baikal, Moskva: 56,2°N, 118,0°E, H=21^{h}26^{m}40^s; mPV(SKM)=4,5 ,		
	NIE	Δ=54,8°	
		eP	21 36 07
7.II	Nouvelle Bretagne, NEIS: 7,3°S, 149,5°E, H=04^{h}51^{m}44,0^s, h normale; mb=6,3		
	KRA	Δ=120,4°	
	(SKM)	iPKIKP	05 10 33,9 D
		Z: 1,2^s; 0,063 μ	
	NIE	Δ=120,4°	
		e1PKIKP	05 10 35 D
		Z: 1,0^s; 0,044 μ	
		ipPKIKP	45,5
7.II	NIE		
		iP	10 17 03
		Z: 0,9^s; 0,016 μ	
7.II	NIE		
		iP	12 23 19
		Z: 0,9^s; 0,015 μ	
7.II	KRA		
	(SKM)	iP	12 23 21,9
		Z: 0,8^s; 0,055 μ	
		i	39,2
7.II	Hondo, Japon, NEIS: 35,7°N, 140,0°E, H=16^{h}41^{m}15,6^s, h=56 km; mb=5,3, mPV=5,6 (Kraków), 5,1(Niedzica)		
	KRA	Δ=79,7°	
	(SKM)	e1P	16 53 18,1
		Z: 0,8^s; 0,041 μ	
		ipP	33,3
		ePP	56 26

International Seismological Centre

Date	Station	Phase	T.U. h m s
7.II (suite)	NIE	Δ=80,0°	
		iP	16 53 21
		Z: 1,0^s; 0,017 μ	
		ipP	35
7.II	Iles Loyauté, NEIS: 22,5°S, 172,7°E, H=19^{h}46^{m}30,7^s, h=105 km; mb=4,4		
	KSP	Δ=146,3°	
		ePKP	20 06 00
8.II	Iles Tonga, NEIS: 17,0°S, 174,6°W, H=03^{h}11^{m}25,8^s, h=169 km; mb=5,1		
	KRA	Δ=145,2°	
	(SKM)	iPKIKP	03 30 43,8 C
		Z: 1,0^s; 0,096 μ	
	NIE	Δ=145,7°	
		iPKIKP	03 30 45
		Z: 1,0^s; 0,042 μ	
8.II	NIE		
		e1P	06 59 11
		Z: 0,9^s; 0,008 μ	
8.II	Roumanie, BCIS: 45,1°N, 26,0°E, H=08^{h}21^{m}23^s; mb=4,6(NEIS)		
	NIE	Δ=5,6°	
		iPn	08 22 44,4
		Z: 0,9^s; 0,076 μ	
	KRA	Δ=6,2°	
	(SKM)	iPn	08 22 52,9 C
		Z: 0,6^s; 0,039 μ	
		iSn	24 05,1
8.II	NIE		
		e1P	09 17 21,3
		Z: 0,9^s; 0,008 μ	
8.II	Iles Loyauté, NEIS: 22,9°S, 173,0°E, H=09^{h}02^{m}43,0^s, h=57 km; mb=4,6		
	NIE	Δ=146,1°	
		ePKHKP	09 22 17
		iPKIKP	19
		iPKP$_2$	22,5
8.II	Iles Tonga, NEIS: 15,4°S, 173,5°W, H=11^{h}31^{m}00,7^s, h=72 km; mb=5,0		
	KRA	Δ=144,0°	
	(SKM)	ePKIKP	11 50 28
		ipPKP	49,8
	NIE	Δ=144,5°	
		iPKIKP	11 50 30
		Z: 1,0^s; 0,013 μ	
		ipPKP	53

Date	Station	Phase	T.U. h m s
8.II	NIE		
		e1P	20 10 30,2
		Z: 1,0^s; 0,005 μ	
8.II	Iles Samoa, NEIS: 16,0°S, 172,8°W, H=22^{h}07^{m}07,1^s, h normale; mb=4,7		
	NIE	Δ=145,2°	
		ePKP	22 26 43
9.II	Java, NEIS: 6,7°S, 106,7°E, H=04^{h}45^{m}24,5^s, h=27 km; mb=5,2 , mPV=5,0(Niedzica)		
	NIE	Δ=92,6°	
		eP	04 58 39
		Z: 0,9^s; 0,008 μ	
		eipP	45
	KRA	Δ=93,0°. Traces	
	(SKM)	eP	04 58 39
9.II	Iles Fidji, NEIS: 18,0°S, 177,8°W, H=05^{h}38^{m}55,1^s, h=448 km; mb=4,8		
	KRA	Δ=145,2°. Traces	
	(SKM)	e1PKIKP	05 57 41,6
		Z: 0,7^s; 0,029 μ	
9.II	Iles Kermadec, NEIS: 29,8°S, 177,7°W, H=07^{h}08^{m}21,7^s, h=24 km; mb=5,3		
	NIE	Δ=156,3°	
		ePKIKP	07 28 18
		i(PKHKP)	33,5
		iPKP$_2$	42,3
		Z: 0,9^s; 0,016 μ	
9.II	Aléoutiennes, NEIS: 52,8°N, 174,5°E, H=11^{h}01^{m}19,4^s, h=14 km; mb=5,4 , mPV=5,0 (Niedzica)		
	KRA	Δ=75,5°	
	(SKM)	eP	11 13 04
		eisP	11
		e1PcP	20
	NIE	Δ=76,1°	
		eP	11 13 06
		Z: 0,9^s; 0,011 μ	
		eisP	15
		e1PcP	19
9.II	Mer Egée, BCIS: 38,8°N, 26,3°E, H=12^{h}36^{m}04^s ; mb=4,6(NEIS)		
	NIE	Δ=11,2°	
		e1PP	12 38 53,8
		iPPP	39 01,1
9.II	Océan Indien, NEIS: 3,8°N, 64,1°E, H=14^{h}33^{m}36,0^s, h normale; mb=5,1 , mPV=4,8 (Niedzica)		

International Seismological Centre

Date	Station	Phase	T.U. h m s
9.II (suite)	NIE	Δ=58,5°	
		iP	14 43 33
		Z: 1,1s; 0,008 μ	
		ipP	43
	KRA (SKM)	Δ=59,1°	
		eP	14 43 33
		epP	43
9.II	Océan Indien, NEIS: 3,3°N, 63,8°E, H=15h23m59,4s, h normale; mb=4,8		
	NIE	Δ=58,7°	
		eP	15 33 58
10.II	Nouvelle Bretagne, NEIS: 6,6°S, 149,1°E, H=05h17m15,4s, h=39 km; mb=5,0		
	NIE	Δ=119,6°	
		e1PKIKP	05 36 02,6
		Z: 0,8s; 0,008 μ	
		epPKIKP	14
10.II	Iles Tonga, NEIS: 15,6°S, 174,5°W, H=05h51m44,4s, h=150 km; mb=4,8		
	NIE	Δ=144,4°	
		iPKIKP	06 11 02,5 D
		Z: 1,0s; 0,020 μ	
10.II	Alaska, NEIS: 60,7°N, 147,0°W, H=10h05m38,0s, h normale; mb=4,3		
	KSP	Δ=68,0°	
		eP	10 16 34
10.II	NIE		
		eP	14 10 06
		i	11,5
10.II	Océan Atlantique, NEIS: 46,5°N, 27,5°W, H=19h10m27,0s, h normale; mb=4,8 , mPV=4,5(Niedzica)		
	NIE	Δ=31,8°	
		e1P	19 16 50,5 C
		Z: 0,9s; 0,006 μ	
10.II	Iles Ryu-Kyu, NEIS: 28,0°N, 129,5°E, H=20h19m51,1s, h normale; mb=5,1, mPV=5,0 (Niedzica)		
	NIE	Δ=80,7°	
		iP	20 32 03,2 D
		Z: 1,0s; 0,012 μ	
		e1pP	15
10.II	Océan Indien, NEIS: 3,8°N, 64,0°E, H=21h13m34,4s, h normale; mb=4,9 , mPV=4,7 (Niedzica)		
	NIE	Δ=58,4°	

Date	Station	Phase	T.U. h m s
10.II	NIE	eP	21 23 31
		Z: 0,9s; 0,006 μ	
		epP	43
	KRA	Δ=59,0°	
		e1P	21 23 34,9
11.II	Hindou-Kouch, NEIS: 36,1°N, 70,1°E, H=03h46m41,3s, h=158 km; mb=4,4		
	NIE	Δ=38,2°	
		eP	03 53 49
		Z: 0,9s; 0,006 μ	
		epP	54 20
11.II	NIE		
		e1P	12 28 41,5
		Z: 0,9s; 0,008 μ	
11.II	Chine, NEIS: 38,5°N, 75,4°E, H=20h30m19,1s, h normale; mb=5,2 , mPV=5,1(Niedzica), 5,5(Kraków)		
	NIE	Δ=40,3°	
		iP	20 37 54,9
		Pm	56,4
		Z: 1,3s; 0,035 μ	
		i	58,0
		isP	38 07,4
	KRA (SKM)	Δ=40,5°	
		e1P	20 37 56,0
		Z: 1,0s; 0,072 μ	
		i	38 00,0
		ipP	39 31,2
11.II	Chine, NEIS: 38,6°N, 75,2°E, H=22h04m11,3s, h normale; mb=5,0 , mPV=5,0 (Niedzica)		
	NIE	Δ=40,1°	
		iP	22 11 47,3
		Z: 1,0s; 0,019 μ	
		e1pP	56
		isP	12 05,2
		e1PP	13 19,5
12.II	Panama, NEIS: 7,1°N, 78,3°W, H=10h02m45,2s, h=23 km; mb=4,8 , mPV=4,8(Niedzica)		
	NIE	Δ=90,3°	
		e1P	10 15 47,8
		Z: 1,0s; 0,006 μ	
		e1pP	56
12.II	Chine, NEIS: 40,7°N, 122,5°E, H=12h42m47,4s, h normale; mb=4,8 , mPV=4,8(Niedzica)		

Date	Station	Phase	T.U. h m s
12.II	NIE	Δ=67,4°	
		e1P	12 53 41,9
		Z: 0,9s; 0,006 μ	
12.II	NIE		
		iP	13 15 34,5
		Z: 0,8s; 0,024 μ	
12.II	Alma-Ata, Moskva: 43,3°N, 78,9°E, H=13h34m56s, mPV(SKM) =5,4 , mPV=5,3(Niedzica), 5,5(Kraków)		
	NIE	Δ=40,1°	
		iP	13 42 29
		Z: 0,9s; 0,034 μ	
		ipP	40
		isP	50
	KRA (SKM)	Δ=40,1°	
		iP	13 42 30,9
		Z: 1,1s; 0,082 μ	
		e1pP	38,5
12.II	KRA (SKM)	e1P	22 11 47,2
		i	52,2
13.II	Iles Salomon, NEIS: 4,6°S, 154,8°E, H=01h02m46,4s, h=492 km; mb=5,4		
	NIE	Δ=121,2°	
		iPKIKP	01 20 44,4
		Z: 0,8s; 0,018 μ	
13.II	Chine, NEIS: 38,5°N, 75,2°E, H=03h20m58,4s, h normale; mb=4,7		
	NIE	Δ=40,2°	
		eP	03 28 34
		e1pP	44
13.II	Iles Fidji, NEIS: 25,0°S, 179,9°E, H=17h08m21,6s, h=511 km; mb=4,9		
	NIE	Δ=151,1°	
		iPKP2	17 27 17,1
13.II	NIE	Traces	
		iP	19 15 51,1
14.II	Chine, Moskva: 41,1°N, 122,8°E, H=13h08m09s; mPV(SKM) =5,3		
	KRA (SKM)	Δ=67,1°. Traces	
		eP	13 17 05
14.II	Mer de Banda, NEIS: 5,0°S, 130,0°E, H=17h31m20,0s, h=34 km; mb=5,1		
	NIE	Δ=106,6°	
		iPKS	17 53 16

Date	Station	Phase	T.U. h m s
15.II	Canal de Mozambique, NEIS: 16,2°S, 41,6°E, H=06h16m27,8s, h normale; mb=5,3, mPV=5,6(Kraków)		
	KRA (SKM)	Δ=68,4°	
		iP	06 27 29,5 C
		Z: 1,1s; 0,048 μ	
		ipP	37,3
15.II	Grèce, BCIS: 35,7°N, 27,0°E, H=10h23m23s, h=50 km ± 10 km; ML=4,6(Athènes)		
	NIE	Δ=14,3°	
		e1P	10 26 47
		i	52
		Z: 1,1s; 0,017 μ	
	KRA (SKM)	Δ=15,0°	
		iP	10 26 58,7 D
		Z: 1,0s; 0,066 μ	
15.II	NIE		
		e1P	11 13 52,0
		Z: 0,9s; 0,014 μ	
15.II	Chine, NEIS: 40,7°N, 122,6°E, H=13h08m07,3s, h normale; mb=5,0, mPV=5,6(Kraków), 5,0(Niedzica)		
	KRA (SKM)	Δ=67,2°	
		eP	13 19 02
		Z: 1,1s; 0,048 μ	
		e1pP	13
	NIE	Δ=67,4°	
		e1P	13 19 03,4
		Z: 1,1s; 0,012 μ	
		ipP	15,5
16.II	Nouvelle Guinée, NEIS: 7,2°S, 146,1°E, H=04h58m55,7s, h=174 km; mb=5,7		
	NIE	Δ=118,3°	
		iPKIKP	05 17 23,5
		Z: 1,1s; 0,013 μ	
		epPKIKP	18 11
		ePP	40
	KRA (SKM)	Δ=118,3°	
		ePKIKP	05 17 24
		Pm	29
		Z: 1,1s; 0,028 μ	
16.II	Chine, NEIS: 40,7°N, 122,5°E, H=14h01m23,2s, h normale; mb=5,2, mPV=5,7(Kraków), 5,2(Niedzica)		
	KRA (SKM)	Δ=67,2°	
		e1P	14 12 14,5
		Z: 1,3s; 0,091 μ	

International Seismological Centre

Date	Station	Phase	T.U. h m s
16.II (suite)	NIE	Δ=67,4°	
		eiP	14 12 16,2
		Z: 1,1s; 0,021 μ	
		ipP	29
16.II	Iles Loyauté, NEIS: 23,0°S, 172,4°E, H=15h36m04,5s, h=53 km; mb=4,8		
	NIE	Δ=145,8°	
		ePKP	15 55 40
16.II	Pérou, NEIS: 8,5°S, 82,1°W, H=16h 13m40,3s, h=29 km; mb=5,2		
	NIE	Δ=104,5°	
		ePKP	16 32 04
17.II	Birmanie, NEIS: 17,6°N, 97,9°E, H= 03h38m19,8s, h=6 km; mb=5,6 , mPV=5,4(Niedzica), 6,1(Kraków)		
	NIE	Δ=68,8°	
		eP	03 49 26
		Pm	29
		Z: 1,0s; 0,035 μ	
	KRA (SKM)	Δ=69,0°	
		eiP	03 49 26,3
		Pm	29,3
		Z: 1,9s; 0,31 μ	
17.II	Hokkaido, Japon, NEIS: 42,8°N, 145,4°E, H=06h05m58,7s, h=61 km; mb=4,7		
	KRA (SKM)	Δ=76,2°	
		iP	06 17 41,3
		Z: 0,6s; 0,039 μ	
		ipP	58,3
	NIE	Δ=76,5°	
		eiP	06 17 44,5
		Z: 1,0s; 0,013 μ	
		ipP	18 02,5
17.II	KRA (SKM)	Traces	
		iP	12 41 29,3
		Z: 0,5s; 0,061 μ	
17.II	Yougoslavie, BCIS: 44,9°N, 17,1°E, H=14h24m38s; MLH=4,0(Skopje)		
	KRA (ŚKM)	Δ=5,2°	
		eiP*	14 26 03,6
		iS*	27 01,8
	NIE	Δ=4,8°	
		e	14 26 10
		iS*	27 04
20.II	Hondo, Japon, NEIS: 30,7°N, 138,3°E, H=04h02m55,6s, h=452 km; mb=4,7		

Date	Station	Phase	T.U. h m s
20.II	NIE	Δ=83,2°	
		eiP	04 14 35
		Z: 1,0s; 0,007 μ	
20.II	Kazakstan, NEIS: 49,8°N, 78,1°E, H= 05h32m57,7s, h=0; mb=5,7 , mPV=5,9(Kraków, Niedzica)		
	KRA (SKM)	Δ=36,7°	
		iP	05 40 07,2 C
		Z: 1,0s; 0,17 μ	
		i(PP)	41 28
	NIE	Δ=36,7°	
		iP	05 40 08,3 C
		Z: 0,9s; 0,17 μ	
20.II	Grèce, NEIS: 38,5°N, 20,3°E, H=13h 55m35,2s, h=4 km; mb=4,5		
	NIE	Δ=10,6°	
		eP	13 58 15
		Z: 0,9s; 0,006 μ	
20.II	Caucase, NEIS: 42,4°N, 45,2°E, H=14h 44m25,6s, h normale; mb=4,8		
	NIE	Δ=18,6°	
		eP	14 48 43
		Z: 1,1s; 0,009 μ	
		eiPP	49 04
	KRA (SKM)	Δ=19,0°	
		eP	14 48 45
		Z: 1,1s; 0,048 μ	
22.II	Mexique, NEIS: 17,4°N, 100,5°W, H=00h 47m21,7s, h=40 km; mb=5,3, mPV=5,7(Kraków), 5,2(Niedzica)		
	KRA (SKM)	Δ=95,0°	
		eP	01 00 40 C
		Z: 1,0s; 0,030 μ	
		eiPP	04 40
	NIE	Δ=95,6°	
		eiP	01 00 44,4
		Z: 1,0s; 0,010 μ	
		eipP	58
22.II	Chine, NEIS: 42,1°N, 83,3°E, H=05h 03m38,2s, h normale; mb=5,0 , mPV=5,3(Kraków, Niedzica)		
	KRA (SKM)	Δ=43,5°	
		iP	05 11 40,3
		Z: 0,7s; 0,029 μ	
	NIE	Δ=43,5°	
		iP	05 11 40,4 C
		Z: 0,8s; 0,029 μ	

Date	Station	Phase	T.U. h m s
22.II	Iles Philippines, NEIS: 10,1°N, 126,4°E, H=05h36m07,0s, h=47 km; mb=5,1		
	NIE	Δ=92,7°	
		eiP	05 49 14,9
22.II	Aléoutiennes, NEIS: 51,4°N, 179,4°W, H=08h36m07,4s, h=48 km; mb=6,3 , mPV=6,8 (Kraków), 6,4(Książ)		
	KRA (SKM)	Δ=77,8°	
		iP	08 48 00,3 C
		Z: 1,0s; 0,81 μ	
		isP	25,5
	(GW)	iPS	58 40
22.II	Hokkaido, Japon, NEIS: 41,3°N, 144,5°E, H=15h26m48,9s, h=18 km; mb=5,4 , mPV=5,7(Kraków)		
	KRA (SKM)	Δ=77,1°	
		eiP	15 38 41,5
		Z: 1,0s; 0,060 μ	
		ipP	50
22.II	Iles Fidji, NEIS: 24,9°S, 179,1°W, H=22h04m37,7s, h=375 km; mb=6,2		
	KRA (SKM)	Δ=151,1°	
		iPKIKP	22 23 40,5
		Z: 1,5s; 0,184 μ	
		iPKHKP	46,5
		PKHKPm	50,5
		Z: 1,3s; 1,513 μ	
	NIE	Δ=151,4°	
		ePKHKP	22 23 44
22.II	Aléoutiennes, NEIS: 51,3°N, 179,3°W, H=22h47m45,8s, h=62 km; mb=5,1		
	KRA (SKM)	Δ=78,0°	
		iP	22 59 36,5
23.II	Aléoutiennes, NEIS: 51,3°N, 179,4°W, H=01h16m14,4s, h=55 km; mb=5,0 , mPV=5,5 (Kraków)		
	KRA (SKM)	Δ=78,0°	
		eiP	01 28 06,5
		Z: 1,0s; 0,036 μ	
23.II	Iles Fidji, NEIS: 25,0°S, 178,8°W, H=02h46m18,6s, h=376 km; mb=4,7		
	KRA (SKM)	Δ=151,3°	
		iPKHKP	03 05 28
		Z: 1,0s; 0,090 μ	
23.II	Iles Philippines, NEIS: 8,0°N, 124,1°E, H=02h58m41,0s, h=623 km; mb=5,6		

Date	Station	Phase	T.U. h m s
23.II	KRA	Δ=93,0°	
		iP	03 10 50
		Z: 1,1s; 0,076 μ	
23.II	Aléoutiennes, NEIS: 51,3°N, 179,3°W, H=05h09m43,3s, h=50 km; mb=5,0 , mPV=5,5 (Kraków)		
	KRA	Δ=78,0°	
		eiP	05 21 35,9
		Z: 1,0s; 0,042 μ	
23.II	Iles Santa Cruz, NEIS: 10,9°S, 166,7°E, H=07h34m11,3s, h normale; mb=5,4		
	KRA (SKM)	Δ=132,5°. Traces	
		ePKIKP	07 53 24
		eiPP	55 48
24.II	Iles Ryu-kyu, NEIS: 24,5°N, 123,1°E, H=08h57m42,7s, h=84 km; mb=4,9		
	KRA (SKM)	Δ=79,6°	
		iP	09 09 42,2
		Z: 0,7s; 0,029 μ	
24.II	KRA (SKM)	Traces	
		iP	09 15 37,1
		Z: 0,8s; 0,028μ	
24.II	Hokkaido, Japon, NEIS: 41,0°N, 144,3°E, H=10h09m11,2s, h normale; mb=5,0		
	KSP	Δ=77,9°	
		eP	10 21 08
25.II	Pamir, Moskva: 38,3°N, 73,0°E, H=06h27m56s, mPV(SKM) =4,9		
	KRA (SKM)	Δ=39,0°	
		eP	06 35 22
25.II	Hondo, Japon, NEIS: 33,2°N, 140,4°E, H=22h02m07,7s, h=71 km; mb=4,8		
	KSP	Δ=82,9°	
		eP	22 14 27
26.II	Severnaya Zemlia, NEIS: 85,0°N, 98,0°E, H=04h48m54,7s, h normale; mb=5,4 , mPV=5,5(Kraków, Książ), MLH=5,7(Kraków)		
	KRA (SKM)	Δ=39,6°	
		eP	04 56 21
		Pm	24
		Z: 1,0s; 0,078 μ	
		ipP	33,9
	(GW)	eiS	05 02 25
		Lm	24,1
		NE: 9,0s; 3,9 μ, 2,5 μ	

Date	Station	Phase	T.U. h m s

26.II Océan Atlantique, NEIS: 53,8°N, 35,3°W, H=18h30m11,9s, h normale; mb=4,8
KSP Δ=31,1°
eP 18 36 27

27.II Iles Fidji, NEIS: 17,9°S, 178,6°W, H=18h42m53,7s, h=586 km; mb=5,9
KRA Δ=144,8°
(SKM) iPKHKP 19 01 25,1 C
Z: 0,7s; 0,062 μ
e1PKP2 33

28.II Hondo, Japon, NEIS: 30,0°N, 138,9°E, H=14h57m38,3s, h=417 km; mb=4,8
NIE Δ=84,1°
iP 15 09 25,2
Z: 1,0s; 0,008 μ

28.II Nevada, NEIS: 37,106°N, 116,056°W, H=15h15m00,0s, h=0, mb=5,7 , mPV=5,2(Kraków), 5,4(Niedzica)
KRA Δ=85,1°
(SKM) iP 15 27 37,3
Z: 1,4s; 0,025 μ
iPcP 43,6
NIE Δ=85,8°
eP 15 27 40
Z: 1,1s; 0,037 μ

28.II Sumatra, NEIS: 4,0°S, 102,6°E, H=18h44m31,9s, h normale; mb=5,0
NIE Δ=87,9°. Traces
eP 15 57 21

28.II Grèce, NEIS: 40,7°N, 22,5°E, H=19h51m09,1s, h=35 km; mb=4,4
NIE Δ=8,6°
e1P 19 52 21,8

1.III Pruhonice: Hindou-Kouch
NIE
iP 00 03 41,4
Z: 0,9s; 0,081 μ
i 04 01,5
i 24,3
KRA
(SKM) e1P 00 03 42,1
Z: 0,6s; 0,097 μ

1.III Iles Fidji, NEIS: 23,3°S, 177,7°W, H=05h50m17,5s, h=270 km; mb=4,9
KRA Δ=150,1°
(SKM) e1PKIKP 06 09 37
Z: 0,8s; 0,037 μ
ePKP2 46

1.III NIE
eP 14 07 36

2.III Roumanie, NEIS: 45,8°N, 27,1°E, H=13h21m13,5s, h normale; mb=3,8
NIE Δ=5,7°
iP 13 22 45,5
Pm 48,7
Z: 1,0s; 0,016 μ

2.III Bassin polaire au nord de Severnaya Zemlia, NEIS: 85,2°N, 97,7°E, H=14h17m14,3s h normale; mb=4,8
NIE Δ=40,2°
eP 14 24 46
i 53
KRA Δ=39,6°. Traces
(SKM) e1P 14 24 48

2.III Bassin polaire au nord de Severnaya Zemlia, NEIS: 85,0°N, 98,2°E, H=14h23m26,6s h normale; mb=5,0 , mPV=5,5(Kraków)
KRA Δ=39,6°
(SKM) iP 14 30 54,9
Z: 0,9s; 0,063 μ
i 31 01,9
iPP 32 33,1
NIE Δ=40,2°
iP 14 31 00

2.III Région des Iles Bonin, NEIS: 28,5°N, 143,5°E, H=23h03m51,5s, h normale; mb=5,0
NIE Δ=87,6°. Traces
e1P 23 16 37

3.III Hindou-Kouch, NEIS: 36,4°N, 70,9°E, H=09h48m23,8s, h=201 km; mb=5,3
NIE Δ= 38,6°
iP 09 55 29,5 D
Z: 1,0s; 0,198 μ
ipP 56 09
KRA Δ= 38,8°
(SKM) iP 09 55 31,2 D
Z: 1,0s; 0,246 μ
ipP 56 10,3
i 32,5
iPP 57 05,0

3.III Region de Hondo, Japon, NEIS: 34,5°N 140,3°E, H=15h29m24,3s, h=94 km; mb=4,4
NIE Δ=81,1°. Traces
e1P 15 41 31
e1pP 42 01

3.III Iran, NEIS: 35,7°N, 45,7°E, H=16h05m06,5s, h normale; mb=4,2
NIE Δ=22,9°. Traces
e1P 16 10 13
ePP 40

3.III Birmanie, NEIS: 24,1°N, 93,5°E, H=19h24m23,1s, h=42 km; mb=5,0 , mPV=5,0 (Niedzica)
NIE Δ=61,3°
eP 19 34 47
Pm 54
Z: 0,9s; 0,011 μ
isP 35 09

4.III Région des Iles Fidji, NEIS: 20,0°S, 177,9°W, H=08h48m52,0s, h=456 km; mb=4,6
KSP Δ=147,2°
e1PKIKP 09 07 43

4.III Mer de Banda, NEIS: 5,0°S, 130,0°E, H=11h17m48,3s, h=29 km; mb=5,7
KRA Δ=106,7°
(SKM) ePdif 11 32 10
e1PP 36 32

4.III Région frontière Afghanistan-URSS, NEIS: 36,3°N, 71,6°E, H=17h00m50,9s, h= 90 km; mb=4,9 , mPV=4,6(Niedzica)
NIE Δ=39,1°
iP 17 08 12,3
Z: 1,0s; 0,009 μ
ipP 41

4.III KRA Δ=39,3°. Traces
(SKM) e1P 17 08 14

4.III NIE
e1P 21 45 21
Pm 23,1
Z: 0,9s; 0,023 μ

4.III Iles Ryu-kyu, NEIS: 25,2°N, 126,7°E, H=22h49m51,9s, h=60 km; mb=4,5, mPV=4,7 (Niedzica)
NIE Δ=81,3°
eP 23 03 32
Z: 0,9s; 0,006 μ

5.III Mer de Céram, NEIS: 2,4°S, 126,1°E, H=00h22m19,7s, h normale; mb=6,4
NIE Δ=102,1°
eP 00 36 15
Z: 0,9s; 0,008 μ
i 28,2
KRA Δ=102,2°
(SKM) eP 00 36 17
Pm 19,6
Z: 1,1s; 0,048 μ
iPP 40 33,5
(GW) iSKS 46 54
eSKS 47 50
e1PSPS 55 22,

5.III Au Sud-Ouest du Portugal, BCIS: 36,1°N, 10,5°W, H=05h30m45s, mPV=4,6 (Niedzica)
NIE Δ=26,0°
eP 05 36 20
Pm 22,5
Z: 0,9s; 0,014 μ
i 34,1

5.III Vénézuéla, NEIS: 9,0°N, 69,9°W, H=13h48m00,7s, h=51 km; mb=5,6 , mPV=5,9 (Kraków), 5,6(Niedzica)
KRA Δ=83,1°
(SKM) e1P 14 00 23 C
Pm 25,5
Z: 1,0s; 0,102 μ
iPcP 29,9
NIE Δ=83,4°
iP 14 00 26 C
Pm 28,1
Z: 1,0s; 0,048 μ
iPcP 31,7

International Seismological Centre

Date	Station	Phase	T.U. h m s
5.III (suite)	NIE	ipP	14 00 35
		isP	42,3
6.III	NIE		
		iP	06 06 27
		Z: $0,9^s$; 0,008 μ	
6.III	NIE		
		iP	13 05 59
		Pm	06 05,6
		Z: $0,7^s$; 0,029 μ	
7.III Iles Tonga, NEIS: $20,4^oS$, $174,0^oW$, $H=02^h30^m26,9^s$, h=37 km; mb=5,2			
	KRA	Δ=148,6°	
	(SKM)	iPKIKP	02 50 11
	NIE	Δ=149,1°	
		eiPKIKP	02 50 13,3
		$iPKP_2$	17
		ipPKIKP	36
		i	51 07,5
7.III Carpathes, Roumanie, BCIS: $45,9^oN$, $26,9^oE$, $H=04^h13^m06^s$, h normale;			
	NIE	Δ=5,5°	
		iP	04 14 28,7
		Z: $0,9^s$; 0,081 μ	
	KRA	Δ=6,1°	
	(SKM)	eiP	04 14 36,1
		Pm	38,6
		Z: $0,9^s$; 0,068 μ	
		i	15 38,8
	(GW)	i	16 35
	KSP	Δ=8,6°	
		eP	04 15 08
		i	17,2
		max	26,2
		NEZ: $0,9^s$; 0,07 μ, 0,07 μ, 0,12 μ	
7.III Iran méridional, BCIS: $27,7^oN$, $55,9^oE$, $H=07^h04^m44^s$; mb=5,8(NEIS), mPV=5,2 (Niedzica, Kraków), MLH=5,5(Kraków)			
	NIE	Δ=34,7°	
		eP	07 11 35
		Z: $1,5^s$; 0,053 μ	
		i	51,5
	KRA	Δ=35,2°	
	(SKM)	iP	07 11 39,9
		Pm	42,1
		Z: $1,5^s$; 0,048 μ	
		iPcP	14 08,9

Date	Station	Phase	T.U. h m s
7.III	KRA	ei	07 21 25
	(GW)	Lm	26,5
		NEZ: 10^s; 4,0 μ, 2,5 μ, 0,4 μ	
7.III Iran méridional, BCIS: $27,3^oN$, $56,2^oE$, $H=14^h26^m54^s$; mb=5,2(NEIS)			
	NIE	Δ=35,2°	
		eP	14 33 53
		i	34 35
	KRA	Δ=35,7°. Traces	
	(SKM)	eiP	14 33 54
7.III Nevada, NEIS: $37,134^oN$, $116,084^oW$, $H=15^h00^m00,0^s$, h=0, mb=5,5 , mPV=5,9(Kraków), 5,5(Niedzica)			
	KRA	Δ= 85,1°	
	(SKM)	iP	15 12 37,2
		Pm	38,7
		Z: $1,1^s$; 0,103 μ	
	NIE	Δ=85,8°	
		iP	15 12 41 D
		Pm	42,7
		Z: $1,0^s$; 0,037 μ	
		iPcP	47
7.III Chine, NEIS: $28,3^oN$, $104,1^oE$, $H=1^h36^m08,2^s$, h normale; mb=5,3			
	NIE	Δ=65,3°	
		eP	17 46 47
		eiPcP	47 20
		iPP	49 08,5
8.III Iles de la Reine Elizabeth, NEIS: $79,2^oN$, $96,1^oW$, $H=05^h20^m40,9^s$, h normale; mb=4,4			
	KRA	Δ=46,0°. Traces	
	(SKM)	eP	05 29 01
	NIE	Δ=46,7°. Traces	
		eP	05 29 06
		epP	10
		i	20
8.III Au Sud-Ouest du Portugal, BCIS: $38,7^oN$, $14,8^oW$, $H=08^h40^m28^s$; mPV=5,0 (Kraków), 4,2(Niedzica)			
	KRA	Δ=27,0°	
	(SKM)	eP	08 46 11
		Z: $0,9^s$; 0,026 μ	
		ei	28,9
	NIE	Δ=27,1°	
		eiP	08 46 12

Date	Station	Phase	T.U. h m s
8.III (suite)	NIE	Z: $1,1^s$; 0,006 μ	
		ei	08 46 16,8
8.III	NIE		
		iP	14 52 16,7
		Z: $0,6^s$; 0,013 μ	
		i	33
8.III Carpathes, région de Vrancea, BCIS: $45,7^oN$, $26,7^oE$, $H=16^h39^m26^s$, h=135 km; mb=4,2(NEIS)			
	NIE	Δ=5,5°	
		iP	16 40 48 D
		Z: $1,1^s$; 0,035 μ	
		ei	41 29
	KRA	Δ=6,1°	
	(SKM)	eiP	16 40 55
		Pm	55,8
		Z: $0,4^s$; 0,035 μ	
8.III Région des Iles Loyauté, NEIS: $23,0^oS$, $172,1^oE$, $H=17^h06^m03,5^s$, h=78 km			
	NIE	Δ=145,7°. Traces	
		ePKP	17 25 32
9.III Iles Tonga, NEIS: $16,8^oS$, $173,5^oW$, $H=00^h17^m28,2^s$, h normale; mb=4,6			
	KRA	Δ=145,3°	
	(SKM)	eiPKP	00 37 04 D
		Z: $0,8^s$; 0,032 μ	
9.III Iran méridional, BCIS: $27,6^oN$, $56,0^oE$, $H=06^h39^m52^s$; mb=4,9(NEIS)			
	NIE	Δ=34,8°	
		eP	06 46 40
	KRA	Δ=35,3°. Traces	
	(SKM)	eiP	06 46 40
9.III Région des Iles Fidji, NEIS: $24,4^oS$, $176,7^oW$, $H=15^h44^m55,0^s$, h=168 km; mb=4,9			
	KRA	Δ=151,5°	
	(SKM)	iPKIKP	16 04 30,4 D
		Z: $0,9^s$; 0,037 μ	
		$ePKP_2$	43
	NIE	Δ=151,9°	
		iPKIKP	16 04 32,9 D
		Z: $0,9^s$; 0,031 μ	
		$iPKP_2$	41,9
		i	54,1
9.III Hondo, Japon, NEIS: $36,2^oN$, $141,5^oE$, $H=17^h46^m32,2^s$, h=37 km; mb=4,6			
	NIE	Δ=80,3°. Traces	

Date	Station	Phase	T.U. h m s
9.III	NIE	eP	17 58 39
10.III Région frontière Cachemire-Tibet, NEIS: $32,2^oN$, $78,8^oE$, $H=03^h07^m03,4^s$, h=49 km; mb=4,9 , mPV=5,0(Niedzica)			
	NIE	Δ=46,3°	
		eiP	03 15 27,5
		Z: $0,9^s$; 0,013 μ	
10.III Detroit des Moluques, NEIS: $1,8^oN$, $126,3^oE$, $H=04^h58^m52,9^s$, h=67 km; mb=5,0			
	NIE	Δ=99,0°. Traces	
		eP	05 12 32
10.III Région de la Nouvelle Bretagne, NEIS: $5,6^oS$, $149,5^oE$, $H=15^h42^m42,8^s$, h=167 km; mb=5,0			
	NIE	Δ=119,1°	
		eiPKHKP	16 00 58,1
		PKHKPm	58,6
		Z: $1,0^s$; 0,006 μ	
10.III Iles Philippines, NEIS: $9,6^oN$, $124,1^oE$, $H=21^h00^m02,8^s$, h=53 km; mb=5,2			
	NIE	Δ=91,7°	
		eP	21 13 07
		ipP	25,9
11.III Crête Atlantique Nord, NEIS: $30,2^oN$, $41,9^oW$, $H=04^h33^m14,6^s$, h normale; mb=4,6 , mPV=5,3(Niedzica)			
	NIE	Δ=50,0°	
		eiP	04 42 10
		Z: $0,7^s$; 0,020 μ	
		eipP	23,3
11.III Région de Semipalatinsk, URSS, BCIS: $50,0^oN$, $78,5^oE$, $H=05^h43^m00^s$; mPV=5,7(Kraków), 5,5(Niedzica)			
	KRA	Δ=36,9°	
	(SKM)	iP	05 50 08,1 D
		Pm	08,6
		Z: $1,1^s$; 0,138 μ	
	NIE	Δ=36,9°	
		iP	05 50 10,2 C
		Z: $0,9^s$; 0,070 μ	
		i	24,7
		i	35
11.III Hondo, Japon, NEIS: $36,5^oN$, $139,6^oE$, $H=08^h57^m30,6^s$, h=136 km; mb=4,8			
	KRA	Δ=78,9°	
	(SKM)	iP	09 09 19,0 C

International Seismological Centre

Date	Station	Phase	T.U. h m s
11.III (suite)	KRA	Z: 0,7^{s}; 0,033 μ	
		1PcP	09 09 26,5
	NIE	Δ=79,2^{o}	
		1P	09 09 22,2
		Z: 0,9^{s}; 0,019 μ	
		1PcP	28,3
		e1pP	52
11.III	Nord de l'Islande, BCIS: 66,3^{o}N, 18 3/4^{o}W, H=23^{h}42^{m}21^{s}; mPV=4,8(Kraków)		
	KRA	Δ=25,7^{o}. Traces	
	(SKM)	e1P	23 47 50
		Z: 0,8^{s}; 0,018 μ	
	NIE	Δ=26,4^{o}	
		eP	23 47 57
		e1	48 22
12.III	Région des Iles Fidji, NEIS:22,6^{o}S, 176,4^{o}W, H=10^{h}20^{m}16,3^{s}, h=191 km; mb=4,4		
	NIE	Δ=150,4^{o}	
		e1PKP$_2$	10 39 48,2
		PKP$_2$m	50,1
		Z: 1,0^{s}; 0,010 μ	
		1	40 10,9
12.III	Yougoslavie, NEIS: 45,6^{o}N, 16,0^{o}E, H=17^{h}27^{m}32,3^{s}, h=26 km		
	NIE	Δ=4,6^{o}	
		eP	17 28 45
		1	29 07,4
13.III	NIE		
		e1P	12 35 47,2
		Z: 0,8^{s}; 0,010 μ	
		i	59,6
13.III	Chili, NEIS: 29,9^{o}S, 71,3^{o}W, H=15^{h}26^{m}42,5^{s}, h normale; mb=6,2 , MLH=6,8(Kraków)		
	KRA	Δ=112,9^{o}	
	(SKM)	ePKIKP	15 45 20
		i	47,9
	(GW)	eScSP	55 55
		Lm	16 28,4
		NEZ: 22^{s}; 11,4 μ,31,6 μ, 3,0 μ	
	NIE	Δ=113,0^{o}	
		ePKIKP	15 45 22
		Z: 1,1^{s}; 0,009 μ	
		e1	27
		i	35,2

Date	Station	Phase	T.U. h m s
13.III	Iles Kouriles, NEIS: 45,5^{o}N, 153,8^{o}E, H=16^{h}18^{m}57,8^{s}, h normale; mb=5,2 , mPV=5,4 (Krakow), 5,1(Niedzica)		
	KRA	Δ=77,0^{o}	
	(SKM)	e1P	16 30 47,7 C
		Z: 0,9^{s}; 0,032 μ	
		i	51,7
	NIE	Δ=77,4^{o}	
		1P	16 30 50,5
		Z: 0,9^{s}; 0,015 μ	
		i	54,9
13.III	Mer Caspienne, Moskva: 37,3^{o}N, 50,7^{o}E, H=17^{h}33^{m}11^{s}; mPV(SKM)=4,7		
	NIE	Δ=24,9^{o}	
		eP	17 38 38
		Z: 0,9^{s}; 0,011 μ	
		ei	51
13.III	Région des Iles Loyauté, NEIS: 21,8^{o}S, 170,5^{o}E, H=18^{h}45^{m}29,5^{s}, h=85 km; mb=6,1		
	KRA	Δ=143,7^{o}	
	(Ch)	ePKHKP	19 04 54
		PKHKPm	56,3
		Z: 1,0^{s}; 0,078 μ	
		1PKIKP	57,1
		i	05 09,2
		1PKS	08 27,9
	(GW)	e1PKKS	18 16
	NIE	Δ=143,9^{o}	
		ePKHKP	19 04 55
		PKHKPm	58,2
		Z: 1,0^{s}; 0,159 μ	
	KSP	Δ=144,7^{o}	
		ePKHKP	19 04 57
		1PKIKP	58,5
		Z: 0,8^{s}; 0,28 μ	
		1PKS	08 30,5
13.III	Mer des Caraibes, NEIS: 16,3^{o}N, 87,0^{o}W, H=23^{h}40^{m}10,9^{s}, h normale; mb=5,2		
	KRA	Δ=88,2^{o}. Traces	
	(SKM)	eP	23 53 00
		e1pP	10
	NIE	Δ=86,7^{o}	
		eP	23 53 04
		1pP	15
		i	25

Date	Station	Phase	T.U. h m s
13.III	Iles Kouriles NEIS: 45,5^{o}N, 153,8^{o}E, H=16^{h}18^{m}57,8^{s}, h normale; mb=5,2 , mPV=5,4(Kraków), 5,1(Niedzica)		
	KRA	Δ=77,0^{o}	
	(SKM)	e1P	16 30 47,7 C
		Z: 0,9^{s}; 0,032 μ	
		i	51,7
	NIE	Δ=77,4^{o}	
		1P	16 30 50,5
		Z: 0,9^{s}; 0,015 μ	
		i	54,9
13.III	Mer Caspienne, Moskva: 37,3^{o}N, 50,7^{o}E, H=17^{h}33^{m}11^{s}, mPV(SKM)=4,7		
	NIE	Δ=24,9^{o}	
		eP	17 38 38
		Z: 0,9^{s}; 0,011 μ	
		ei	51
13.III	Région des Iles Loyauté, NEIS: 21,8^{o}S, 170,5^{o}E, H=18^{h}45^{m}29,5^{s}, h=85 km; mb=6,1		
	KRA	Δ=143,7^{o}	
	(Ch)	ePKHKP	19 04 54
		PKHKPm	56,3
		Z: 1,0^{s}; 0,078 μ	
		1PKIKP	57,1
		i	05 09,2
		1PKS	08 27,9
	(GW)	e1PKKS	18 16
	NIE	Δ=143,9^{o}	
		ePKHKP	19 04 55
		PKHKPm	58,2
		Z: 1,0^{s}; 0,159 μ	
	KSP	Δ=144,7^{o}	
		ePKHKP	19 04 57
		1PKIKP	58,5
		Z: 0,8^{s}; 0,28 μ	
		1PKS	08 30,5
13.III	Mer des Caraibes, NEIS: 16,3^{o}N, 87,0^{o}W, H=23^{h}40^{m}10,9^{s}, h normale; mb=5,2		
	KRA	Δ=88,2^{o}. Traces	
	(SKM)	eP	23 53 00
		e1pP	10
	NIE	Δ=88,7^{o}	
		eP	23 53 04
		1pP	15
		i	25
14,III	Région des Iles Loyauté, NEIS: 21,7^{o}S, 170,7^{o}E, H=00^{h}01^{m}58,6^{s}, h=64 km; mb=5,0		
	NIE	Δ=143,9^{o}	
		ePKIKP	00 21 26
		PKIKPm	28,8
		Z: 1,0^{s}; 0,011 μ	
14.III	Région de l'Ile Jan Mayen, BCIS: 71,7^{o}N, 3,6^{o}W, H=02^{h}01^{m}07^{s}; mPV=5,0(Kraków), 4,5(Niedzica), 5,3(Książ)		
	KRA	Δ=24,5^{o}	
	(SKM)	eP	02 06 22
		Z: 1,0^{s}; 0,042 μ	
		i	29,9
	(GW)	i(S)	10 46
	NIE	Δ=25,1^{o}	
		1P	02 06 31,9
		Z: 0,9^{s}; 0,011 μ	
		i	44,9
14.III	Iles Kouriles, NEIS: 46,3^{o}N, 153,1^{o}E, H=05^{h}15^{m}15,2^{s}, h normale; mb=5,2 , mPV=5,6(Niedzica), 5,7(Kraków)		
	KRA	Δ=76,0^{o}	
	(SKM)	e1P	05 26 59,0 D
		Pm	59,6
		Z: 1,3^{s}; 0,082 μ	
		i	27 07,6
	NIE	Δ=76,4^{o}	
		e1P	05 27 02,3
		Pm	03,4
		Z: 1,2^{s}; 0,009 μ	
		1PcP	15
		i	27
14.III	Mexique, NEIS: 16,6^{o}N, 93,4^{o}W, H=06^{h}04^{m}31,3^{s}, h=155 km; mb=5,5		
	KRA	Δ=91,7^{o}	
	(SKM)	e1P	06 17 22,6
		Z: 1,4^{s}; 0,073 μ	
		epP	18 01
	NIE	Δ=92,2^{o}	
		1P	06 17 27,1 D
		Z: 0,9^{s}; 0,017 μ	
		ei	37,1
		i	18 09,6
14.III	Pruhonice: Iles Kouriles		
	NIE		
		eP	13 35 36
		Pm	41,6

International Seismological Centre

International Seismological Centre

Date	Station	Phase	T.U. h m s	
14.III (suite)	NIE	Z: 1,4^s; 0,018 μ		
		ei	13 35 50,5	
14.III	Iles Kouriles, NEIS: 44,3°N, 148,5°E, H=16^{h}05^{m}25,2^s, h normale; mb=5,4 , mPV=5,9(Kraków), 5,8(Niedzica)			
	KRA	Δ=76,1°		
	(SKM)	iP	16 17 10,4	
		Z: 1,0^s; 0.114 μ		
		i	17,9	
	NIE	Δ=76,5°		
		iP	16 17 13,6	C
		Z: 0,9^s; 0,081 μ		
		i	33,4	
14.III	Mer de Florès, NEIS: 7,7°S, 122,4°E, H=19^{h}33^{m}22,7^s, h=279 km; mb=5,5			
	NIE	Δ=103,7°		
		eiPP	19 51 18,9	
15.III	Kamtchatka, NEIS: 53,0°N, 160,0°E, H=10^{h}00^{m}23,6^s, h normale; mb=4,7 , mPV=5,1 (Niedzica)			
	NIE	Δ=72,6°		
		iP	10 11 48,9	
		Z: 0,9^s; 0,014 μ		
15.III	Iles Tonga, NEIS: 15,5°S, 173,2°W, H=17^{h}54^{m}53,7^s, h=15 km; mb=4,7			
	NIE	Δ=144,7°		
		eiPKP	18 14 29,8	
		Z: 0,9^s; 0,008 μ		
16.III	Mer Egée, BCIS: 40,4°N, 26,2°E, H=08^{h}37^{m}18^s; mb=4,1(NEIS)			
	NIE	Δ=9,7°		
		eiP	08 39 46	
		Pm	47	
		Z: 0,9^s; 0,013 μ		
		i	40 01,6	
16.III	Pakistan, NEIS: 29,6°N, 68,5°E, H=10^{h}23^{m}08,7^s, h=35 km; mb=5,2 , mPV=5,1 (Niedzica)			
	NIE	Δ=41,2°		
		iP	10 30 53,8	
		Z: 1,0^s; 0,026 μ		
		i	57,2	
		ipP	31 03	
	KRA	Δ=41,6°. Traces		
	(SKM)	eP	10 30 56	

Date	Station	Phase	T.U. h m s	
16.III	Iles Kouriles, NEIS: 43,4°N, 146,5°E, H=23^{h}40^{m}41,0^s, h=46 km; mb=5,0 , mPV=5,7(Kraków)			
	KRA	Δ=76,1°		
	(SKM)	iP	23 52 24,5	C
		Z: 0,8^s; 0,051 μ		
		ipP	39,3	
17.III	Iles Kouriles, NEIS: 43,2°N, 146,7°E, H=01^{h}30^{m}54,2^s, h=101 km; mb=4,6			
	NIE	Δ=76,7°		
		eiP	01 42 35	
		eipP	47	
17.III	Mer Egée, BCIS: 40,4°N, 26,2°E, H=02^{h}06^{m}41^s; mb=4,6(NEIS)			
	NIE	Δ=9,7°		
		eP	02 09 02	
		i	23,5	
	KRA	Δ=10,4°		
	(SKM)	eP	02 09 21,8	
	(GW)	eiS	12 13	
		ei	52	
		i	15 33	
17.III	Mer Egée, BCIS: 40,4°N, 26,1°E, H=05^{h}11^{m}15^s; mb=5,3(NEIS)			
	NIE	Δ=9,7°		
		iP	05 13 36,5	
	KRA	Δ=10,4°		
	(SKM)	eP	05 13 46,2	
		i	17 13,7	
	(GW)	i	19 46	
17.III	Mer Egée, BCIS: 40,4°N, 26,2°E, H=05^{h}35^{m}17^s; mb=5,2(NEIS)			
	NIE	Δ=9,7°		
		iP	05 37 37,5	
		i	40,7	
	KRA	Δ=10,4°		
	(SKM)	eiP	05 37 48,2	C
		Z: 1,0^s; 0,030 μ		
	(GW)	Lm	43,7	
		NE: 12^s; 48 μ, 50 μ		
17.III	Aléoutiennes, NEIS: 51,8°N, 175,3°W, H=17^{h}39^{m}29,2^s, h=48 km; mb=5,0			
	NIE	Δ=78,5°. Traces		
		eiP	17 51 25,6	
		eisP	42	
18.III	NIE			
		eP	04 31 25	

Date	Station	Phase	T.U. h m s	
18.III	Chine, NEIS: 38,6°N, 75,4°E, H=09^{h}20^{m}46,5^s, h normale; mb=4,8, mPV=4,6(Niedzica)			
	NIE	Δ=40,2°		
		eiP	09 28 22	
		Z: 1,0^s; 0,009 μ		
		ei	40	
		ipPP	29 59	
	KRA	Δ=40,4°. Traces		
	(SKM)	eP	09 28 23	
18.III	Mer de Norvège, BCIS: 65 1/2°N, 5,0°E, H=13^{h}15^{m}26^s			
	NIE	Δ=18,3°		
		eiP	13 19 32	
		ipPP	52	
18.III	Pérou, NEIS: 4,2°S, 77,0°W, H=17^{h}21^{m}23,4^s, h=98 km; mb=6,2			
	KRA	Δ=97,7°		
	(SKM)	eiP	17 34 49,1	D
		Z: 1,1^s; 0,234 μ		
		ipP	35 15,6	
	(GW)	eiPS	46 11	
	NIE	Δ=97,9°		
		iP	17 34 51	
		Z: 1,0^s; 0,081 μ		
		i	35 05,5	
18.III	Tibet, NEIS: 35,2°N, 86,6°E, H=18^{h}44^{m}16,4^s, h normale; mb=5,3 , MLH=5,8(Kraków)			
	NIE	Δ=49,5°		
		eiP	18 53 06,5	
		ipP	18	
		isP	23,5	
	KRA	Δ=49,7°		
	(SKM)	iP	18 53 11,0	
	(GW)	eL	19 10,7	
		Lm	16,4	
		NE: 13,0^s; 5,6 μ, 3,2μ		
19.III	Région des Iles Samoa, NEIS: 15,8°S, 172,0°W, H=13^{h}42^{m}21,0^s, h normale; mb=5,2			
	KRA	Δ=144,7°. Traces		
	(SKM)	eiPKP	14 01 53,9	
	NIE	Δ=145,2°		
		iPKP	14 01 56,5	
		Z: 1,1^s; 0,024 μ		
		eipPKP	02 06,4	

Date	Station	Phase	T.U. h m s	
19.III	Chine, Moskva: 43,2°N, 82,4°E, H=22^{h}18^{m}50^s, h=25 km; mPV=5,0(Niedzica)			
	NIE	Δ=42,3°		
		iP	22 26 45	
		Z: 0,7^s; 0,015 μ		
20.III	NIE			
		iP	02 51 19	
		Z: 1,0^s; 0,011 μ		
20.III	Aléoutiennes, Moskva: 50,5°N, 176,0°W, H=03^{h}23^{m}35^s, mPV(SKM)=5,3, mPV=4,6(Niedzica)			
	NIE	Δ=79,7°		
		eP	03 35 40	
		Z: 1,1^s; 0,005 μ		
20.III	Aléoutiennes, NEIS: 51,3°N, 179,6°W, H=07^{h}11^{m}35,7^s, h=53 km; mb=4,9 , mPV=4,9(Niedzica)			
	NIE	Δ=78,5°		
		eiP	07 23 32	D
		Z: 1,2^s; 0,011 μ		
		eipP	46	
20.III	Aléoutiennes, NEIS: 51,3°N, 179,6°W, H=07^{h}30^{m}38,8^s, h=57 km; mb=5,4 , mPV=5,7(Kraków), 5,2(Niedzica)			
	KRA	Δ=77,9°		
	(SKM)	eiP	07 42 29,9	C
		Z: 1,3^s; 0,091 μ		
		eipP	41	
		eisP	45	
	NIE	Δ=78,5°		
		iP	07 42 34,0	C
		Z: 1,0^s; 0,021 μ		
20.III	NIE			
		iP	15 00 39,5	C
		Z: 0,8^s; 0,041 μ		
		i	49	
		i	01 07,5	
	KRA			
	(SKM)	iP	15 00 52,7	
		Z: 0,8^s; 0,051 μ		
		i	59,4	
21.III	Iles Nouvelles Hébrides, NEIS: 20,2°S, 169,5°E, H=04^{h}23^{m}21,2^s, h=107 km; mb=5,4			
	NIE	Δ=142,0°		
		eiPKHKP	04 42 32,3	

International Seismological Centre

Date	Station	Phase	T.U. h m s	
21.III (suite)	NIE	Z: 0,9^s; 0,006 μ		
		iPKIKP	04 42 45,4	
		ipPKP	43 05	
22.III	NIE			
		iP	09 00 53,6	
		Z: 0,9^s; 0,011 μ		
		i	01 03	
22.III	NIE	Traces		
		eiP	13 38 44	
		ei	51,5	
22.III Iles Kouriles, NEIS: 45,6°N, 150,9°E, H=13^{h}54^{m}56,3^s, h normale; mb=4,9 mPV=5,0(Niedzica)				
	KRA	Δ=75,9°. Traces		
	(SKM)	eiP	14 06 39,8	
	NIE	Δ=76,3°		
		eiP	14 06 42,5	
		Z: 1,0^s; 0,013 μ		
		esP	55	
22.III Pakistan, NEIS: 30,0°N, 69,0°, H=15^{h}32^{m}15,4^s, h=42 km; mb=5,1 , mPV=5,2 (Niedzica), 5,3(Kraków)				
	NIE	Δ=41,3°		
		eiP	15 40 00	
		Z: 0,9^s; 0,031 μ		
		isP	15,2	
	KRA	Δ=41,6°		
	(SKM)	iP	15 40 02,2	
		Z: 1,3^s; 0,054 μ		
22.III Kamtchatka, NEIS: 54,5°N, 161,6°E, h normale; mb=5,2				
	NIE	Δ=71,7°		
		eP	19 05 44	
		eipP	57	
23.III Région de Taiwan, NEIS: 22,7°N, 122,8°E, H=07^{h}32^{m}36,5^s, h=21 km; mb=6,2 , mPV=6,1(Kraków), 5,4(Niedzica)				
	KRA	Δ=80,8°		
	(SKM)	eiP	07 44 49,1	C
		Pm	52,2	
		Z: 1,3^s; 0,246 μ		
		iPcP	53,5	
		i	45 07,4	
	(GW)	iPP	47 58	
		iS	54 54	
		eL	08 11,5	

Date	Station	Phase	T.U. h m s	
23.III	KRA	Lm	08 20,4	
		NEZ: 14^s; 18 μ, 12 μ, 1,9 μ		
	NIE	Δ=80,9°		
		iP	07 44 50	C
		Z: 1,0^s; 0,028 μ		
		ipP	45 01,5	
23.III Iles Kouriles, NEIS: 46,7°N, 152,5°E, H=19^{h}48^{m}07,8^s, h normale; mb=5,5				
	KRA	Δ=75,5°		
	(SKM)	iP	19 59 48,7	C
		Z: 0,5^s; 0,128 μ		
		ei	56,2	
	NIE	Δ=75,9°		
		iP	19 59 51,6	
		Z: 0,9^s; 0,074 μ		
		isP	20 00 08,3	
24.III Frioul, Italie, BCIS: 46,3°N, 13,1°E H=02^{h}33^{m}19^s; mb=4,2(NEIS)				
	KSP	Δ=5,0°		
		ePn	02 34 32,8	
		iPg	56,8	
		iS	35 39,8	
		Lm	59,8	
		NEZ: 0,8^s; 0,70 μ, 0,74 μ, 0,51 μ		
	NIE	Δ=5,6°		
		eiPn	02 34 45,4	
		eiP^m	54,5	
		iPg	35 01	
	KRA	Δ=5,8°		
	(SKM)	eiPn	02 34 48,6	
		iPg	35 10,9	
		iSg	36 27,6	
24.III Pakistan, NEIS: 29,6°N, 68,6°E, H=05^{h}33^{m}46,6^s, h=26 km; mb=5,5 , mPV=5,5 (Kraków)				
	NIE	Δ=41,3°		
		eiP	05 41 32,1	C
	KRA	Δ= 41,7°		
	(SKM)	eP	05 41 36	C
		Z: 1,3^s; 0,10 μ		
		eipP	44	
24.III	NIE			
		iP	14 47 08	
		Z: 1,0^s; 0,009 μ		

Date	Station	Phase	T.U. h m s	
24.III Région des Iles Fidji, NEIS: 21,2°S, 179,0°W, H=15^{h}25^{m}32,4^s, h=652 km; mb=5,3				
	NIE	Δ=148,1°		
		ePKIKP	15 44 03,8	
		eiPKHKP	07,2	
		Z: 1,0^s; 0,052 μ		
		$iPKP_2$	24,2	
	KRA	Δ=147,8°		
	(SKM)	iPKHKP	15 44 06,2	
		Z: 0,8^s; 0,055 μ		
25.III	NIE			
		eiP	00 36 55	
		Z: 0,9^s; 0,006 μ		
25.III Argentine, NEIS: 28,0°S, 66,7°W, H=06^{h}41^{m}33,0^s, h=178 km; mb=5,9				
	KRA	Δ=108,8°		
	(SKM)	eiPKIKP	06 59 41,8	C
		Z: 1,4^s; 0,063 μ		
		eipPKIKP	07 00 28,7	
	NIE	Δ=108,8°		
		eiPKIKP	06 59 42,2	
		Z: 1,1^s; 0,012 μ		
25.III	KRA			
	(SKM)	eiP	07 11 04,9	C
		Z: 1,3^s; 0,027 μ		
	NIE			
		eiP	07 11 05	
		Z: 1,0^s; 0,009 μ		
25.III	KRA	Traces		
	(SKM)	eP	10 53 12	
		Z: 1,5^s; 0,025 μ		
25.III Région des Iles Tonga, NEIS: 23,7°S, 175,2°W, H=13^{h}37^{m}05,5^s, h normale; mb=4,6				
	NIE	Δ=151,8°		
		iPKHKP	13 56 58,5	
		Z: 0,9^s; 0,011 μ		
		ipPKHKP	57 10,5	
25.III Iles Tonga, NEIS: 15,4°S, 173,0°W, H=16^{h}09^{m}41,8^s, h normale; mb=4,6				
	NIE	Δ=144,6°. Traces		
		ePKP	16 29 13	
25.III	KRA	Traces		
	(SKM)	eiP	16 53 20,1	
		Z: 1,2^s; 0,047 μ		

Date	Station	Phase	T.U. h m s	
25.III Région des Iles Fidji, NEIS: 17,7°S, 179,0°W, H=16^{h}38^{m}15,0^s, h=688 km; mb=3,7				
	NIE	Δ=144,9°		
		iPKP	16 56 40,7	
		Z: 1,0^s; 0,012 μ		
25.III	NIE			
		iP	18 59 42	
		Z: 0,9^s; 0,010 μ		
26.III Afrique, NEIS: 5,4°S, 30,2°E, H=03^{h}40^{m}48,2^s, h normale; mb=5,1 , mPV=4,8(Niedzica), 5,0(Kraków)				
	NIE	Δ=55,0°		
		eP	03 50 20	
		Z: 1,0^s; 0,008 μ		
		eipP	28	
	KRA	Δ=55,7°. Traces		
	(SKM)	eP	03 50 25	
		Z: 1,2^s; 0,016 μ		
26.III Mer d'Arabie, NEIS: 19,8°N, 68,4°E, H=16^{h}19^{m}19,7^s, h normale; mb=5,2 , mPV=5,5 (Kraków)				
	KRA	Δ=48,6°		
	(SKM)	eiP	16 28 03,9	C
		Z: 0,8^s; 0,037 μ		
		ipP	11	
	NIE	Δ=48,2°		
		eP	16 28 08	
26.III Kamtchatka, NEIS: 53,1°N, 159,8°E, H=18^{h}02^{m}54,6^s, h normale; mb=5,2 , mPV=5,1 (Niedzica)				
	NIE	Δ=72,5°		
		iP	18 14 19	
		Z: 1,0^s; 0,013 μ		
26.III Région de Taiwan, NEIS: 22,7°N, 122,7°E, H=18^{h}21^{m}54,1^s, h normale; mb=4,7				
	NIE	Δ=80,8°		
		eP	18 34 06	
26.III Pakistan, NEIS: 30,1°N, 68,9°E, H=19^{h}56^{m}22,2^s, h=47 km; mb=4,3				
	NIE	Δ=41,2°. Traces		
		eiP	20 04 09,3	
26.III Mer de Célèbes, NEIS: 3,6°N, 121,9°E, H=23^{h}19^{m}28,7^s, h normale; mb=5,3 , mPV=5,7(Kraków), 5,3(Niedzica)				
	KRA	Δ=95,0°		
	(SKM)	eP	23 32 49	C

Date	Station	Phase	T.U. h m s	
26.III (suite)	KRA	Z: 0,9^{s}; 0,026 μ		
		ipP	23 33 00,7	
	NIE	Δ=94,8^{o}		
		eiP	23 32 49,5	C
		Z: 1,2^{s}; 0,015 μ		
		ipP	33 00	
		isP	08	
27.III Mer Egée, BCIS: 40,4^{o}N, 26,1^{o}E, H=05^{h}15^{m}09^{s}; mb=5,7(NEIS)				
	NIE	Δ=9,8^{o}		
		iP	05 17 31,5	
	KRA	Δ=10,3^{o}		
	(SKM)	eiPn	05 17 40,8	C
		Z: 0,8^{s}; 0,092 μ		
		iP^{m}	18 00,1	
27.III Turquie, BCIS: 40,3^{o}N, 26,3^{o}E, H=06^{h}15^{m}45^{s}; mb=4,8(NEIS)				
	NIE	Δ=9,8^{o}		
		ePn	06 18 09	
		Z: 0,9^{s}; 0,009 μ		
		iP^{m}	39,9	
	KRA	Δ=10,3^{o}		
	(SKM)	ePn	06 18 17	C
		Z: 0,7^{s}; 0,016 μ		
		eP^{m}	34	
27.III	NIE			
		iP	13 51 28	
		Z: 0,9^{s}; 0,016 μ		
27.III Région de Taiwan, NEIS: 22,6^{o}N, 122,8^{o}E, H=17^{h}59^{m}04,1^{s}, h normale; mb=4,9				
	KRA	Δ=80,8^{o}. Traces		
	(SKM)	eP	18 11 16	
		eisP	31	
27.III Iles Aléoutiennes, NEIS: 51,5^{o}N, 177,8^{o}E, H=18^{h}50^{m}21,7^{s}, h normale; mb=4,5 , mPV=4,8(Niedzica)				
	NIE	Δ=77,9^{o}. Traces		
		eP	19 02 17	
		Z: 0,8^{s}; 0,007 μ		
		esP	35	
27.III Turquie, BCIS: 40,4^{o}N, 26,2^{o}E, H=19^{h}42^{m}44^{s}; mb=4,6(NEIS)				
	NIE	Δ=9,8^{o}		
		ePn	19 45 08	
27.III	NIE			
		iP	23 57 58	
		Z: 0,6^{s}; 0,013 μ		

Date	Station	Phase	T.U. h m s	
28.III États-Unis, NEIS: 42,061^{o}N, 112,548^{o}W, H=02^{h}31^{m}05,7^{s}, h=5 km; mb=6,1 , mPV=6,3(Kraków), 6,2(Niedzica)				
	KRA	Δ=79,5^{o}		
	(SKM)	eP	02 43 14	D
		Z: 1,6^{s}; 0,44 μ		
		iPcP	22,6	
	(GW)	eiS	53 18	
		Lm	03 20,5	
		NEZ: 14^{s}; 3,3 μ, 1,2 μ, 0,6 μ		
	NIE	Δ=80,2^{o}		
		eP	02 43 18	D
		Pm	22,6	
		Z: 1,8^{s}; 0,36 μ		
28.III Mongolie, NEIS: 46,5^{o}N, 91,8^{o}E, H=07^{h}39^{m}31,2^{s}, h normale; mb=4,6 , mPV=4,7 (Niedzica)				
	KRA	Δ=46,4^{o}. Traces		
	(SKM)	eP	07 47 57	
	NIE	Δ=46,4^{o}		
		eiP	07 47 57,5	
		Z: 1,2^{s}; 0,009 μ		
		i	48 01,9	
28.III Iles Salomon, NEIS: 7,0^{o}S, 155,6^{o}E, H=19^{h}32^{m}48,1^{s}, h=81 km; mb=5,1				
	NIE	Δ=123,7^{o}		
		iPKIKP	19 51 39	
		Z: 1,0^{s}; 0,008 μ		
		eipPKIKP	58	
29.III Gibraltar, NEIS: 36,3^{o}N, 3,2^{o}W, H=01^{h}53^{m}39,2^{s}, h normale; mb=4,5 , mPV=4,2 (Niedzica)				
	NIE	Δ=21,4^{o}		
		iP	01 58 30,1	
		Z: 0,9^{s}; 0,011 μ		
29.III	NIE			
		iP	06 02 03,6	
		Z: 0,9^{s}; 0,008 μ		
29.III Golfe d'Aden, NEIS: 13,3^{o}N, 50,7^{o}E, H=09^{h}36^{m}21,0^{s}, h normale; mb=5,4 , mPV=5,0 (Niedzica), 5,4(Kraków)				
	NIE	Δ=43,6^{o}		
		eP	09 44 26	
		Z: 0,9^{s}; 0,016 μ		
		ipP	34	

International Seismological Centre

Date	Station	Phase	T.U. h m s	
29.III (suite)	KRA	Δ=44,2^{o}		
	(SKM)	eiP	09 44 30,7	
		Z: 1,6^{s}; 0,088 μ		
		ipP	38	
29.III Java, Moskva: 7,4^{o}S, 104,9^{o}E, H=17^{h}55^{m}24^{s}; mPV(SKM)=5,4 , mPV=4,9(Niedzica)				
	NIE	Δ=92,0^{o}		
		eP	18 08 37	
		Z: 0,9^{s}; 0,006 μ		
		epP	49	
29.III Hondo, Japon, NEIS: 36,2^{o}N, 140,0^{o}E, H=19^{h}57^{m}00,9^{s}, h=84 km; mb=5,3 , mPV=6,1 (Kraków), 5,8(Niedzica), 5,9(Książ)				
	KRA	Δ=79,3^{o}		
	(SKM)	iP	20 08 58,3	C
		Z: 0,7^{s}; 0,12 μ		
		eiPcP	09 06	
		eipP	18	
	NIE	Δ=79,6^{o}		
		iP	20 09 00,5	
		Z: 0,9^{s}; 0,076 μ		
		iPcP	04,3	
		isP	31,9	
29.III	KRA	Traces		
	(SKM)	eiP	20 15 30,1	
		Z: 0,8^{s}; 0,018 μ		
	NIE			
		iP	20 15 32,3	
		Z: 1,0^{s}; 0,012 μ		
30.III Sumatra, NEIS: 2,7^{o}N, 99,1^{o}E, H=10^{h}44^{m}26,2^{s}, h=171 km; mb=4,9				
	NIE	Δ=80,6^{o}		
		iP	10 56 22,8	
		Z: 1,0^{s}; 0,008 μ		
		ePcP	31	
		esP	49	
30.III Turquie, BCIS: 40,5^{o}N, 26,3^{o}E, H=13^{h}03^{m}20^{s}				
	NIE	Δ=9,6^{o}		
		eP	13 05 42,7	
		Z: 1,0^{s}; 0,009 μ		
		eiP^{m}	06 03	
30.III	KRA	Traces		
	(SKM)	eiP	22 54 17,7	D
		Z: 0,7^{s}; 0,020 μ		
	NIE			
		iP	22 54 19,8	D

Date	Station	Phase	T.U. h m s	
30.III	NIE	Z: 0,9^{s}; 0,037 μ		
		i	22 55 01,6	
31.III Mer de Chine, NEIS: 27,0^{o}N, 126,4^{o}E, H=01^{h}37^{m}41,0^{s}, h=126 km; mb=5,2				
	KRA	Δ=79,6^{o}		
	(SKM)	iP	01 49 35,2	
		Z: 0,7^{s}; 0,037 μ		
		esP	50 14	
	NIE	Δ=79,7^{o}		
		iP	01 49 36,7	
		Z: 1,1^{s}; 0,012 μ		
		eisP	50 15	
31.III Région de Taiwan, NEIS: 22,8^{o}N, 122,9^{o}E, H=02^{h}51^{m}58,4^{s}, h=32 km; mb=5,5 , mPV=5,5(Niedzica)				
	KRA	Δ=80,8^{o}		
	(SKM)	eiP	03 04 09,7	D
	NIE	Δ=80,9^{o}		
		iP	03 04 11,0	D
		Z: 1,0^{s}; 0,042 μ		
		eisP	26,8	
31.III Ile Vancouver, NEIS: 49,4^{o}N, 125,6^{o}W, H=05^{h}48^{m}37,8^{s}, h normale; mb=5,3 , mPV=5,5(Kraków), 5,1(Niedzica)				
	KRA	Δ=76,8^{o}. Traces		
	(SKM)	iP	06 00 26,9	
		Z: 0,8^{s}; 0,032 μ		
		ipP	37,4	
		isP	41,2	
	NIE	Δ=77,5^{o}		
		eiP	06 00 31	
		Z: 0,9^{s}; 0,013 μ		
		ipP	42,1	
		eisP	46	
31.III Région de Vrancea, Roumanie, BCIS: 45,6^{o}N, 26,5^{o}E, H=08^{h}28^{m}47^{s}, h=135 km				
	NIE	Δ=5,5^{o}		
		iP	08 30 09,8	D
		Z: 0,9^{s}; 0,237 μ		
		i	16	
		i	22	
	KRA	Δ=6,1^{o}		
	(SKM)	eiP	08 30 16,5	D
		Z: 0,5^{s}; 0,103 μ		
		i	26,5	
		Z: 0,7^{s}; 0,062 μ		

Date	Station	Phase	T.U. h m s
31.III	Mongolie, NEIS: 46,7°N, 91,3°E, H=10h05m25,9s, h normale; mb=5,3 , mPV=5,4(Kraków), 5,1(Niedzica), 5,8(Książ)		
	KRA	Δ=46,0°	
	(SKM)	eiP	10 13 46,5 C
		Z: 0,8s; 0,032 μ	
		ipP	54,2
	(GW)	eiPP	15 25
	NIE	Δ=46,0°	
		iP	10 13 47,8 C
		Z: 0,9s; 0,019 μ	
		ipP	55
31.III	Région des Iles Tonga, NEIS: 23,1°S, 175,1°W, H=10h42m20,4s, h=46 km; mb=5,1		
	KRA	Δ=150,8°	
	(SKM)	ePKP	11 02 09
		Z: 0,8s; 0,023μ	
31.III	KRA	i	11 02 16,9
		iPKP$_2$	23
	NIE	Δ=151,3°	
		ePKP	11 02 10,8
		Z: 0,9s; 0,029 μ	
		ipPKP	19,6
31.III	Iles Kouriles, NEIS: 44,7°N, 149,8°E, H=19h04m39,1s, h normale; mb=4,8, mPV=5,6(Kraków), 5,2(Niedzica)		
	KRA	Δ= 76,2°	
	(CH)	eiP	19 16 25,7 D
		Z: 0,7s; 0,033 μ	
	NIE	Δ=76,4°	
		iP	19 16 28,6
		Z: 1,0s; 0,017 μ	
		eipP	41
		iPcP	48

International Seismological Centre

continued:

59 Résultats des enregistrements séismologiques dans les observatoires polonais 1971, Bulletin séismologique (parts 1–5), PWN; Warszawa 1972.

61 Résultats des enregistrements séismologiques dans les observatoires polonais 1968, Bulletin séismologique (parts 1–13), PWN; Warszawa 1972.

65 Wojtczak-Gadomska B., Distribution of the released seismic energy and the number of earthquakes in deep structures of the Pacific area; PWN, Warszawa 1973.

66 Résultats des enregistrements séismologiques dans les observatoires polonais 1972, Bulletin séismologique (parts 1–5); PWN, Warszawa 1973.

79 Bulletin séismologique 1973 (parts 1–5); PWN, Warszawa 1974.

84 Kijko A., Methods for determining positions of very near earthquakes, PWN; Warszawa 1975.

95 Bulletin séismologique 1974 (parts 1–5), PWN; Warszawa 1975–1976.

Cena zł 20,-

POLISH ACADEMY OF SCIENCES
PUBLICATIONS OF THE INSTITUTE OF GEOPHYSICS

B. SEISMOLOGY

The following volumes, which have been published previously in years 1963–1975, have been devoted to the problems of seismology:

2 Droste Z., Hordejuk J., Obsługa i wyznaczanie stałych sejsmografów polskiej sieci sejsmologicznej; PWN, Łódź–Warszawa 1964.

3 Wyniki rejestracji sejsmologicznych w polskich obserwatoriach 1959; PWN, Łódź–Warszawa 1964.

4 Wyniki rejestracji sejsmologicznych w polskich obserwatoriach 1960; PWN, Łódź–Warszawa 1964.

8 Wyniki rejestracji sejsmologicznych w polskich obserwatoriach 1961; PWN, Łódź–Warszawa 1965.

9 Wyniki rejestracji sejsmologicznych w polskich obserwatoriach 1962; PWN, Łódź–Warszawa 1966.

15 Wyniki rejestracji sejsmologicznych w polskich obserwatoriach 1963; PWN, Warszawa 1967.

17 Hordejuk J., Application of electromechanical filters to low-frequency seismological investigations; PWN, Warszawa 1967.

21 Wyniki rejestracji sejsmologicznych w polskich obserwatoriach 1964; PWN, Warszawa 1968.

29 Résultats des enregistrements séismologiques dans les observatoires polonais 1965; PWN, Warszawa 1969.

40 Résultats des enregistrements séismologiques dans les observatoires polonais 1969, Bulletin séismologique préliminaire (parts 1–13); PWN, Warszawa 1974.

43 Résultats des enregistrements séismologiques dans les observatoires polonais 1966; PWN, Warszawa 1971.

45 Résultats des enregistrements séismologiques dans les observatoires polonais 1970, Bulletin séismologique préliminaire (parts 1–13); PWN, Warszawa 1971.

51 Catalogue of earthquake in Poland in 1000–1970 years; PWN, Warszawa 1972.

52 Résultats des enregistrements séismologiques dans les observatoires polonais 1967; PWN, Warszawa 1972.

continued on back cover

International Seismological Centre

POLISH ACADEMY OF SCIENCES

PUBLICATIONS OF THE INSTITUTE OF GEOPHYSICS

B–1 (113)

part 2

BULLETIN SÉISMOLOGIQUE

1975

AVRIL MAI JUIN

PAŃSTWOWE WYDAWNICTWO NAUKOWE
WARSZAWA 1976

Beginning from 1976, the Publications of the Institute of Geophysics, Polish Academy of Sciences (previously Materiały i Prace) are divided into the following series:

A – Physics of the Earth interior
B – Seismology
C – Earth magnetism
D – Atmosphere physics
E – Ionosphere physics
F – Planetary geodesy
G – Numerical methods in geophysics
M – Miscellanea

Starting with the present volume, every volume will have two indices: the first one describing the current number in the series and the second one, in brackets, will denote the general successive number, as it has benn previously.

International Seismological Centre

POLISH ACADEMY OF SCIENCES

PUBLICATIONS OF THE INSTITUTE OF GEOPHYSICS

B–1 (113)

part 2

BULLETIN SÉISMOLOGIQUE

1975

AVRIL MAI JUIN

PAŃSTWOWE WYDAWNICTWO NAUKOWE
WARSZAWA 1976

Editorial Committee
Roman TEISSEYRE (Editor), Zdzisław MAŁKOWSKI (Associate Editor), Jan SŁOMKA, Jerzy JANKOWSKI, Maria WERNIK, (Editorial Secretary)

Serial Editor
Roman TEISSEYRE

Editorial Address
Instytut Geofizyki Polskiej Akademii Nauk
ul. Pasteura 3, 02-093 Warszawa, Poland

All inquiries regarding the subscription rate and the price of each issue should be addressed to:
Export-Import Enterprise „Ruch"
ul. Wronia 23, 00-840 Warszawa, Poland

Printed in Poland

Państwowe Wydawnictwo Naukowe
Oddział w Łodzi 1976

Wydanie I. Nakład 375+90 egz. Arkuszy wyd. 5.00. Ark. druk. 3.25
Papier offset. kl. V. 80 g. 70×100. Podpisano do druku w lipcu 1976 r.
Druk ukończono w sierpniu 1976 r. Zam. 438/76. Cena zł 20,–/

Zakład Graficzny Wydawnictw Naukowych
Łódź, ul. Żwirki 2

International Seismological Centre

INTRODUCTION

Cette publication contient une élaboration des tremblements de terre distants enregistrés par les observatoires séismologiques de l´Institut de Géophysique de l´Académie Polonaise des Sciences. Un relevé des secousses les plus fortes provenant du territoire de la Haute Silésie en 1975, ainsi que des secousses locales dont les épicentres sont situés en dehors de la région de la Haute Silésie, sera présenté séparement dans un cahier du même volume. L´identification des secousses distantes s´appuie sur les données fournies par les centres séismologiques de NEIS - U.S. Department of the Interior , BCIS, ISC et Moskva. Les distances épicentrales Δ sont calculées d´après les coordonnées géocentriques avec une exactitude de $\pm 0{,}01^{\circ}$. Les valeurs des magnitudes des secousses dont les distances épicentrales sont $\geq 5^{\circ}$ ont été établies à base des ondes volumétriques (m) et des ondes superficielles (M)

Les diagrammes de l´amplification dynamique des séismographes sont presentés dans le cahier premier de ce volume /vol. 113 - part 1, p. 6-15/.

CONSTANTES DES SÉISMOGRAPHES

Station	Type séismo-graphe	Comp.	Ts sec	Tg sec	Ds	Dg	σ^2	Vo	Vm	Tm sec	Période de validité
Warszawa (WAR)	GW	N-S	10,1	11,7	0,80	1,00	0,075	1410	1430	6,5 -10,5	IV - VI
φ = 52°14′30″N		E-W	9,80	11,3	1,01	1,00	0,077	1675	1030	4,0 - 9,7	
λ = 21°01′25″E		Z	8,65	11,2	0,54	1,00	0,057	1130	1110	5,6 - 8,0	
h = 110 m	SKD	N-S	25	80,0	1,0	0,4	0,114	645	700	18 - 60	IV - VI
		E-W	25	83,8	1,0	0,4	0,091	583	620	17 - 52	
		Z	25	83,2	1,1	0,5	0,137	723	790	17 - 60	
Kraków (KRA)	Ch	N-S	1,27	0,281	0,50	2,0	0,132	10500	11200	0,15-1,05	IV - VI
φ=50°03′22″N		E-W	1,27	0,280	0,50	2,0	0,139	10500	11200	0,15-1,05	
λ =19°56′23″E		Z	1,27	0,282	0,50	2,0	0,155	10500	11570	0,15-1,05	
h = 223 m	SKM-3	N-S	1,28	0,580	0,50	0,49	0,013	21670	23670	0,47-0,78	IV - VI
		E-W	1,30	0,575	0,50	0,47	0,012	21440	23490	0,48-0,77	
		Z	1,45	0,580	0,60	0,49	0,014	24840	25790	0,47-0,75	
	GW	N-S	9,7	1,01	0,49	5,0	0,1	1475	1590	0,3 -8	IV - VI
		E-W	11,1	1,00	0,47	5,0	0,1	1475	1530	0,3 -8,5	
		Z	10,5	1,01	0,47	5,0	0,1	1010	1075	0,3 -8	
	SKD	Z	25,0	91,5	1,0	0,50	0,204	760	810	17 - 59	IV - VI
Racibórz (RAC)	SK-58	N-S	1,18	1,00	0,61	0,5	0,011	3000	2900	0,75-1,1	IV - VI
φ = 50°05′00″N		E-W	1,18	1,00	0,50	0,5	0,015	3000	3420	0,77-1,14	
λ = 18°11′39″E		Z	1,11	1,05	0,50	0,5	0,015	3000	3300	0,78-1,13	
h = 209 m	M	N-S	9,0	-	0,14	-	-	107	381	7,5 -9,5	IV - VI
		E-W	9,0	-	0,2	-	-	124	300	6,5 -9,2	
		Z	2,0	-	0,1	-	-	198	1100	1,8 -2,1	
Niedzica (NIE)	SK-58	N-S	1,82	0,366	3,63	4,5	0,813	39500	44450	0,56-0,91	IV - VI
φ=49°25′25″N		E-W	2,01	0,312	3,44	4,1	0,904	37800	66780	0,68-0,88	
λ =20°19′19″E		Z	1,77	0,426	2,34	4,8	0,950	40480	128000	0,99-1,16	
h = 555 m											
Książ (KSP)	SU-59	N-S	1,19	0,250	0,50	1,37	0,089	87450	90000	0,14-0,67	IV - VI
φ=50°50,6′N		E-W	1,22	0,240	0,62	1,44	0,142	108700	110000	0,16-0,75	
λ =16°17,6′E		Z	1,00	0,208	0,50	1,53	0,171	106300	110000	0,13-0,57	
h = 380 km											

International Seismological Centre

S y m b o l e s

Ts - période du pendule
Tg - période du galvanomètre
Ds - amortissement du pendule
Dg - amortissement du galvanomètre
σ^2 - coefficient du couplage
Vo - amplification statique $Vo = \frac{2A}{Io}\sqrt{\frac{Ks}{Kg}\ \frac{Ds}{Dg}\ \frac{Tg}{Ts}\ \sigma^2}$

Vo - amplification statique
pour les séismographes SKD $Vo = \frac{2A}{Io}\sqrt{\frac{Ks}{Kg}\ \frac{Dg}{Ds}\ \frac{Ts}{Tg}\ \sigma^2}$

Vm - valeur de l'amplification maximalle de l'appareil séismique

Tm - intervalle des périodes pour lesquelles l'amplification est supérieure ou égale à 0,9 Vm

International Seismological Centre

RÉSULTATS DES ENREGISTREMENTS

Date	Station	Phase	T.U. h m s
1975		A V R I L	1975
1.IV		Sud des Iles Fidji, NEIS: 24,8°S, 178,5°E, H=02h55m08,2s, h=584 km; mb=4,8	
	KRA	Δ=150,0°	
	(SKM)	eiPKIKP	03 13 53,9 D
		Z: 0,7s; 0,025 μ	
	NIE	Δ=150,3°	
		iPKIKP	03 13 55,8
		Z: 0,9s; 0,025 μ	
		ePKHKP	14 04
1.IV		Iles Kouriles, NEIS: 48,2°N, 154,8°E H=19h21m25,8s, h=35 km; mb=5,1, mPV=5,6 (Książ, Kraków), 5,2(Niedzica)	
	KRA	Δ=74,9°	
	(SKM)	iP	19 33 03,4 D
		Z: 0,8s; 0,041 μ	
		ePcP	20
	NIE	Δ=75,3°	
		eiP	19 33 06,4
		Z: 1,0s; 0,019 μ	
		eiPcP	18
		i	25
1.IV	NIE		
		eiP	23 26 00
		Z: 0,7s; 0,010 μ	
2.IV		Taiwan, NEIS: 22,6°N, 123,0°E, H= 03h44m18,3s, h normale; mb=5,0, mPV=4,7 (Niedzica)	
	NIE	Δ=81,1°	
		eiP	03 56 32,0 C
		Z: 1,0s; 0,007 μ	
		iPcP	40
2.IV		Hondo, Japon, NEIS: 33,6°N, 140,4°E, H=08h44m00,4s, h=71 km; mb=5,6, mPV=5,7 (Kraków), 5,2(Niedzica)	
	KRA	Δ=81,6°	
	(SKM)	eiP	08 56 11,7
		Z: 0,8s; 0,051 μ	
2.IV	KRA	iPcP	08 56 17,7
		ipP	29,1
	(GW)	ei	55
		eiPP	59 22
		eiS	09 06 14
	NIE	Δ=81,9°	
		iP	08 56 13,5 C
		Z: 1,0s; 0,021 μ	
		iPcP	19
		ipP	33,5
2.IV		Philippines, NEIS: 19,2°N, 121,2°E, H=10h35m26,4s, h=43 km; mb=5,0	
	KSP	Δ=84,3°	
		eiP	10 47 56,0
2.IV		Région des Iles Tonga, NEIS: 23,0°S, 175,1°W, H=10h31m32,0s, h normale; mb=5,6	
	KRA	Δ=150,8°	
	(SKM)	iPKHKP	10 51 22,8
		Z: 1,2s; 0,142 μ	
		iPKP2	29,0
	NIE	Δ=151,2°	
		iPKHKP	10 51 23,5
		PKHKPm	26,5
		Z: 1,0s; 0,079 μ	
		iPKP2	30
2.IV		Région de Taiwan, NEIS: 22,8°N, 122,9°E, H=16h03m50,1s, h=55 km; mb=4,6, mPV=4,7(Niedzica)	
	NIE	Δ=80,9°	
		eiP	16 16 00
3.IV		Région de Santa Cruz, NEIS: 12,2°S, 166,6°E, H=03h14m11,5s, h=117 km; mb=5,3	
	KRA	Δ=133,6°. Traces	
	(SKM)	ePKIKP	03 33 16
	NIE	Δ=133,8°	
		eiPKIKP	03 33 16,5
3.IV	KRA	Z: 1,0s; 0,008 μ	
(suite)		i	03 33 28,2
3.IV		Philippines, NEIS: 17,0°N, 120,3°E, H=06h26m44,3s, h=83 km; mb=5,2, mPV=5,7 (Kraków), 5,5(Niedzica)	
	KRA	Δ=83,7°	
	(SKM)	iP	06 39 05,4
		Z: 0,7s; 0,041 μ	
	NIE	Δ=83,7°	
		iP	06 39 06,0 C
		Z: 1,0s; 0,035 μ	
		iPcP	13,5
		ipP	25,8
3.IV		Hondo, Japon, NEIS: 40,8°N, 141,9°E, H=14h34m14,3s, h=75 km; mb=5,0	
	KRA	Δ=76,4°	
	(Ch)	eP	14 45 56
	NIE	Δ=76,7°	
		eiP	14 45 59
		iPcP	46 10
		ipP	19,5
4.IV		Crète, NEIS: 34,1°N, 23,5°E, H=02h 24m56,5s, h normale; mb=3,9	
	NIE	Δ=15,2°. Traces	
		ei(P)	02 28 40 C
4.IV		Iles Kouriles, NEIS: 44,0°N, 148,4°E, H=04h17m23,8s, h=42 km; mb=4,5, mPV=4,7 (Niedzica)	
	NIE	Δ=76,7°	
		iP	04 29 13,5
		Z: 1,0s; 0,007 μ	
		esP	35
4.IV		Grèce, NEIS: 38,1°N, 22,0°E, H=05h 16m16,2s, h=53 km; mb=5,4	
	NIE	Δ=11,1°	
		eiP	05 19 03,6
		Pm	06,8
		Z: 1,1s; 0,041 μ	
		i	14,5
	KRA	Δ=11,8°	
	(SKM)	ei(P)	05 19 07,8
		ei	13,1
		Lm	23,8
		NEZ: 7s; 3,0 μ, 4,9 μ, 0,7 μ	
	KSP	Δ=13,4°	
		eP	05 19 25
		iPP	34,2
4.IV	KSP	NEZ: 1s; 0,052 μ, 0,025 μ, 0,064 μ	
4.IV		Italie, NEIS: 44,1°N, 11,0°E, H=09h 10m53,4s, h normale; mb=4,6	
	KSP	Δ=7,6°	
		ePn	09 12 42
		eSn	14 15
4.IV		Région des Iles Kermadec, NEIS: 31,1°S, 178,4°W, H=11h12m08,0s, h=45 km; mb=5,5	
	KRA	Δ=156,8°	
	(SKM)	eiPKIKP	11 31 57,5
		Z: 1,4s; 0,052 μ	
		ei	32 09,
	NIE	Δ=157,1°	
		eiPKIKP	11 32 00
		ipPKIKP	13
		iPKP2	34
		Z: 1,0s; 0,032 μ	
4.IV		Afrique, NEIS: 21,2°S, 45,1°E, H=17h 41m16,3s, h normale; mb=5,4, mPV=5,3(Niedzica), 5,7(Kraków)	
	NIE	Δ=73,4°	
		iP	17 52 49 C
		Z: 1,1s; 0,026 μ	
	KRA	Δ=74,1°	
	(SKM)	iP	17 52 52,0 C
		Z: 0,6s; 0,039 μ	
		ipP	53 01,7
		e(PP)	55 46
	(GW)	eiS	18 03 26
5.IV		Vénézuéla, NEIS: 10,0°N, 69,8°W, H=09h34m36,6s, h normale; mb=5,6, mPV=5,5 (Kraków)	
	KRA	Δ=82,2°	
	(SKM)	eP	09 46 56
		Pm	47 00
		Z: 1,0s; 0,042 μ	
		eiPcP	09
	NIE	Δ=82,6°	
		eiP	09 46 58,7
		eiPcP	47 07
		ipP	11
5.IV		Kamtchatka, NEIS: 52,2°N, 160,2°E, H=16h52m47,2s, h normale; mb=5,5, mPV=5,8 (Kraków), 5,5(Niedzica), MLH=5,8(Kraków)	

Date	Station	Phase	T.U. h m s	
5.IV	KRA	Δ=72,9°		
(suite)	(SKM)	iP	17 04 13,4	C
		Z:-1,0s; 0,09 μ		
		ipP	23,9	
	(GW)	Lm	40,2	
		NEZ: 14s; 3,1 μ, 2,8 μ, 0,7μ		
	NIE	Δ=73,4°		
		iP	17 04 16,5	C
		Z: 1,0s; 0,035 μ		

5.IV Kamtchatka, NEIS: 52,3°N, 160,0°E, H=17h49m58,9s, h normale; mb=5,5, mPV=5,2 (Kraków, Niedzica), 5,9(Książ), MLH=6,0 (Kraków)

	KRA	Δ=72,8°		
	(SKM)	eiP	18 01 24,7	
		Z: 1,7s; 0,033 μ		
		i	31,5	
		i	46	
	(GW)	eS	10 52	
		Lm	37,4	
		NEZ: 15s; 6,1 μ, 4,5 μ, 1,3μ		
	NIE	Δ=73,3°		
		iP	18 01 27	C
		Z: 1,2s; 0,025 μ		
		i	34,5	
		isP	41	

5.IV Nevada, NEIS: 37,188°N, 116,214°W, H=19h45m00,0s, h=0, mb=4,8, mPV=5,4(Kraków), 4,9(Niedzica)

	KRA	Δ=85,1°		
	(SKM)	iP	19 57 37,5	
		Z: 1,1s; 0,035 μ		
	NIE	Δ=85,8°		
		iP	19 57 41	
		Z: 1,1s; 0,009 μ		
		i	47,5	

5.IV Iles Volcano, NEIS: 25,8°N, 140,8°E, H=20h25m18,9s, h=155 km; mb=5,0

	KSP	Δ=89,4°		
		eP	20 37 58	

5.IV Colombie, NEIS: 10,1°N, 75,7°W, H=20h38m30,1s, h=52 km; mb=5,5, mPV=5,6(Kraków), 4,9(Niedzica)

	KRA	Δ=86,0°		
	(SKM)	eiP	20 51 06,0	
		Pm	09,0	
		Z: 0,8s; 0,037 μ		

Date	Station	Phase	T.U. h m s	
5.IV	KRA	ipP	20 51 16,0	
		i	48,7	
	NIE	Δ=86,3°		
		eiP	20 51 09,5	
		Pm	11,5	
		Z: 1,5s; 0,016 μ		
		eisP	22	

6.IV Iles Fidji, NEIS: 23,3°S, 179,0°E, H=00h12m02,8s, h=464 km; mb=4,9

	KRA	Δ=148,9°. Traces		
	(SKM)	ePKP	00 30 55,6	
		Z: 1,2s; 0,047 μ		
	NIE	Δ=149,2°		
		iPKP	00 30 57,5	D
		Z: 1,0s; 0,019 μ		
		ei(PKP_2)	31 02	

6.IV Kamtchatka, NEIS: 52,2°N, 160,2°E, H=09h55m18,9s, h normale; mb=5,6, mPV=6,0 (Kraków, Książ). 5,6(Niedzica), MLH=6,8 (Kraków)

	KRA	Δ=72,9°		
	(SKM)	iP	10 06 44,9	D
		Z: 1,0s; 0,108 μ		
		ipP	57,5	
		esP	07 01	
	(GW)	ePP	09 33	
		Lm	42,7	
		NEZ: 16s; 32 μ, 28 μ, 2,5 μ		
	NIE	Δ=73,4°		
		iP	10 06 48,3	C
		Z: 1,0s; 0,048 μ		
		isP	07 02	

6.IV Kamtchatka, NEIS: 52,2°N, 160,0°E, H=10h34m56,7s, h normale; mb=5,7, mPV=5,8 (Kraków), 5,9(Książ), MLH=6,6(Kraków)

	KRA	Δ=72,8°		
	(SKM)	eiP	10 46 22,4	C
		Pm	25,0	
		Z: 1,5s; 0,122 μ		
	(GW)	Lm	11 22,3	
		NEZ: 13s; 15 μ, 16 μ, 2,9 μ		
	NIE	Δ=73,4°		
		iP	10 46 25,7	

6.IV Kamtchatka, NEIS: 52,3°N, 160,1°E, H=13h35m58,5s, h normale; mb=4,9

	NIE	Δ=73,3°		
		eP	13 47 29	

International Seismological Centre

Date	Station	Phase	T.U. h m s	

7.IV Kamtchatka, NEIS: 52,2°N, 160,3°E, H=03h29m14,4s, h normale; mb=4,8

	KSP	Δ=72,9°		
		eP	03 40 41	

7.IV Sumatra, NEIS: 1,6°S, 99,7°E, H=08h 00m59,8s, h=18 km; mb=5,4, mPV=5,4(Niedzica), 5,6(Kraków)

	NIE	Δ=84,2°		
		eiP	08 13 33,2	C
		Z: 1,0s; 0,028 μ		
		eipP	38,5	
	KRA	Δ=84,6°		
	(SKM)	eP	08 13 34	C
		Z: 0,8s; 0,041 μ		
		i	48,1	

7.IV Kamtchatka, NEIS: 52,4°N, 159,8°E, H=17h50m59,5s, h normale; mb=5,0, mPV=5,5 (Kraków), 4,9(Niedzica)

	KRA	Δ=72,6°		
	(SKM)	eP	18 02 24	
		Z: 0,8s; 0,028 μ		
		esP	37	
	NIE	Δ=73,1°		
		eiP	18 02 27	
		Z: 1,0s; 0,009 μ		
		eipP	41	

7.IV Iles Tanimbar, NEIS: 6,4°S, 131,1°E, H=22h12m48,8s, h normale; mb=5,2

	NIE	Δ=108,4°		
		ePKIKP	22 31 05	

8.IV Pakistan, NEIS: 26,5°N, 66,4°E, H=00h40m04,5s, h=27 km; mb=4,3

	NIE	Δ=42,0°		
		eP	00 48 00	
		eisP	16	

8.IV Acores, NEIS: 42,7°N, 29,3°W, H=01h 51m29,9s, h normale; mb=4,9, mPV=4,5(Niedzica)

	NIE	Δ=34,6°		
		eiP	01 58 08,6	
		Z: 1,0s; 0,007 μ		
	KRA	Δ=34,2°		
	(SKM)	eP	01 58 15	

8.IV Hondo, Japon, NEIS: 37,7°N, 141,7°E, H=06h27m13,3s, h=46 km; mb=5,8, mPV=6,2 (Kraków), 5,7(Niedzica), 5,9(Książ)

Date	Station	Phase	T.U. h m s	
8.IV	KRA	Δ=78,9°		
	(SKM)	iP	06 39 11,8	C
		Z: 0,9s; 0,184 μ		
		ipP	24,6	
		i	37,3	
	(GW)	ePP	42 08	
	NIE	Δ=79,1°		
		iP	06 39 14,5	C
		Z: 1,1s; 0,075 μ		
		ipP	29,5	
		isP	39	

8.IV NIE

		eiP	11 35 31	
		Z: 0,6s; 0,017 μ		

8.IV Acores, NEIS: 42,7°N, 29,4°W, H=11h36m53,8s, h normale; mb=5,2, mPV=4,6 (Niedzica)

	KRA	Δ=34,2°		
	(SKM)	eP	11 43 27	
		epP	39	
	NIE	Δ=34,6°		
		eiP	11 43 46,0	
		Z: 1,1s; 0,010 μ		

8.IV Iles Aléoutiennes, NEIS: 51,9°N, 166,2°W, H=20h32m24,9s, h normale; mb=5,4, mPV=5,5(Kraków), 5,3(Niedzica)

	KRA	Δ=78,5°		
		iP	20 44 23,6	
		Z: 1,1s; 0,048 μ		
		iPcP	33,2	
	NIE	Δ=79,2°		
		eiP	20 44 27,5	D
		Z: 1,0s; 0,023 μ		
		eisP	43	

8.IV Kamtchatka, NEIS: 51,6°N, 159,5°E, H=21h50m44,2s, h normale; mb=4,9, mPV=4,8 (Niedzica),

	NIE	Δ=73,7°		
		eiP	22 02 16	
		Z: 1,0s; 0,007 μ		
		eipP	27	

9.IV Tibet, NEIS: 30,4°N, 84,9°E, H=03h 28m28,6s, h normale; mb=4,9, mPV=5,0(Niedzica)

	NIE	Δ=51,4°		
		eiP	03 37 33,2	
		Z: 1,0s; 0,015		

International Seismological Centre

Date	Station	Phase	T.U. h m s
9.IV	NIE	eipP	03 37 42
9.IV	Nouvelle Bretagne, NEIS: 4,0°S, 152,7°E, H=06h26m22,2s, h=133 km; mb=6,3		
	KRA	Δ=119,4°	
	(SKM)	iPKIKP	06 44 57,7
		Z: 1,0s; 0,036 μ	
		i	45 14,1
9.IV	Iles Philippines, NEIS: 11,7°N, 125,5°E, H=15h03m20,5s, h=48 km; mb=5,4, mPV=5,1(Niedzica)		
	KRA	Δ=91,0°. Traces	
	(SKM)	eP	15 16 16
		ipP	30,4
	NIE	Δ=90,9°	
		eiP	15 16 21,5 D
		Z: 1,0s; 0,013 μ	
		eipP	34
		eisP	43
		iPP	19 58
9.IV	Tadzhik, URSS, NEIS: 38,1°N, 72,7°E, H=22h25m28,1s, h=78 km; mb=5,5, mPV=5,8 (Niedzica), 6,1(Kraków), 5,6(Książ)		
	NIE	Δ=38,7°	
		iP	22 32 47,4 D
		Z: 0,9s; 0,115 μ	
		i	57,1
		epP	33 08
		iPP	34 16
	KRA	Δ= 39,0°	
	(SKM)	iP	22 32 48,3 D
		Z: 0,9s; 0,242 μ	
10.IV	Kamtchatka, NEIS: 52,5°N, 160,2°E, H=02h23m05,3s, h normale; mb=4,6		
	NIE	Δ=73,1°. Traces	
		eiP	02 34 33,9
10.IV	NIE		
		iP	15 38 41,4 C
		Z: 1,0s; 0,011 μ	
10.IV	Région des Iles Loyauté, NEIS: 22,4°S 173,1°E, H=16h50m12,2s, h=113 km; mb=5,0		
	KRA	Δ=145,4°	
	(SKM)	ePKHKP	17 09 37,2
	NIE	Δ=145,7°	
		iPKHKP	17 09 39,2
		Z: 0,9s; 0,011 μ	
		iPKIKP	42,4

Date	Station	Phase	T.U. h m s
10.IV	Région des Iles Samoa, NEIS: 15,6°S, 171,9°W, H=18h12m01,6s, h=15 km; mb=5,1		
	KRA	Δ=144,6°	
	(SKM)	iPKHKP	18 31 36,7
		Z: 0,9s; 0,037 μ	
		eiPKIKP	41,0
	NIE	Δ=145,1°	
		iPKHKP	18 31 39,0 D
		Z: 1,0s; 0,035 μ	
11.IV	Australie, NEIS: 50,8°S, 139,1°E, H=00h10m35,1s, h normale; mb=5,8		
	NIE	Δ=141,6°	
		ePKHKP	00 30 00
		iPKIKP	10,6
	KRA	Δ=142,1°	
	(SKM)	ePKHKP	00 30 00
		Z: 0,9s; 0,021 μ	
		eiPKIKP	10
		i	25
	(GW)	ePKS	33 47
11.IV	Kamtchatka, NEIS: 52,1°N, 160,4°E, H=01h43m49,0s, h normale; mb=4,5		
	NIE	Δ=73,5°	
		eP	01 55 20
		epP	33
11.IV	Unimak, NEIS: 54,1°N, 163,2°W, H=10h47m15,3s, h=20 km; mb=5,5, mPV=5,7 (Kraków)		
	KRA	Δ=76,4°	
	(SKM)	iP	10 59 03,6 D
		Z: 0,8s; 0,055 μ	
		ipP	11,1
11.IV	Région des Iles Fidji, NEIS: 17,7°S, 178,8°W, H=11h42m46,1s, h=571 km; mb=5,6		
	KRA	Δ=144,6°	
	(SKM)	iPKP	12 01 18,9
		PKPm	27,1
		Z: 1,5s; 0,098 μ	
11.IV	Iran, NEIS: 35,5°N, 50,2°E, H=14h 26m44,7s, h=50 km; mb=4,7, mPV=4,9(Kraków)		
	KRA	Δ=26,2°	
	(SKM)	eiP	14 32 17,9
		Z: 0,8s; 0,023 μ	
11.IV	Kamtchatka, NEIS: 52,2°N, 160,4°E, H=19h58m31,3s, h normale; mb=4,7, mPV=4,8 (Niedzica)		

Date	Station	Phase	T.U. h m s
11.IV (suite)	NIE	Δ=73,5°	
		eiP	20 10 02
		Ż: 0,9s; 0,008 μ	
11.IV	Hondo, Japon, NEIS: 36,1°N, 139,9°E H=22h15m48,1s, h=65 km; mb=5,1, mPV=5,5 (Kraków), 5,2(Niedzica)		
	KRA	Δ=80,0°	
	(SKM)	iP	22 27 47,6
		Z: 0,8s; 0,037 μ	
		eiPcP	51
		eipP	28 02
	NIE	Δ=79,6°	
		eiP	22 27 50 C
		Z: 0,9s; 0,019 μ	
		iPcP	53,7
		esP	28 07
12.IV	Océan Atlantique, NEIS: 52,0°N, 30,2°W, H=13h18m28,9s, h normale; mb=4,7		
	KRA	Δ=31,2°. Traces	
	(SKM)	eP	13 24 45
		eisP	25 01
12.IV	Iles Fidji, NEIS: 17,7°S, 178,8°W, H=14h26m02,8s, h=562 km; mb=5,1		
	KSP	Δ=144,8°	
		eiPKP	14 44 39,5
12.IV	Pérou, NEIS: 14,8°S, 72,7°W, H=15h 33m08,6s, h=81 km; mb=5,9		
	KSP	Δ=100,7°	
		eP	15 46 50
12.IV	Lucon, Philippines, NEIS: 14,5°N, 119,2°E, H=17h10m55,5s, h=20 km; mb=4,9		
	KSP	Δ= 86,8°	
		eP	17 23 40
12.IV	Iles Fidji, NEIS: 25,7°S, 177,7°W, H=20h49m36,0s, h=177 km; mb=4,9		
	KRA	Δ=152,3°. Traces	
	(SKM)	eiPKHKP	21 09 11,0
		Z: 0,9s; 0,037 μ	
		eipPKHKP	21
	NIE	Δ=152,7°	
		iPKHKP	21 09 12,5
		Z: 1,0s; 0,018 μ	
		eipPKHKP	20
13.IV	Hondo, Japon, NEIS: 37,5°N, 141,9°E H=00h19m08,5s, h=50 km; mb=5,0, mPV=4,9 (Niedzica)		

Date	Station	Phase	T.U. h m s
13.IV	NIE	Δ=79,4°	
		eiP	00 31 10,5
		Z: 1,1s; 0,010 μ	
		ipP	21,5
		isP	29,5
13.IV	Mindanao, Philippines, NEIS: 5,7°N, 125,4°E, H=01h34m36,2s, h=225 km; mb=5,7		
	KRA	Δ=95,5°	
	(SKM)	eP	01 47 35,7
		eisP	48 55,8
	NIE	Δ=95,5°	
		eiP	01 47 36,0 C
		Z: 0,9s; 0,017 μ	
		i	49,4
13.IV	Colombie, NEIS: 4,8°N, 75,8°W, H=01h53m30,7s, h=144 km; mb=5,2		
	KRA	Δ=90,1°	
	(SKM)	eP	02 06 10
		ipP	53,1
	NIE	Δ=90,4°	
		eP	02 06 18
		Z: 1,1s; 0,006 μ	
		eisP	55,
		i	07 14,3
14.IV	Détroit des Moluques, NEIS: 1,8°N, 126,5°E, H=07h28m42,9s, h=44 km; mb=5,4		
	NIE	Δ=99,2°	
		eP	07 42 21
		eisP	39
14.IV	Taiwan, NEIS: 22,8°N, 121,1°E, H=11h31m21,2s, h=47 km; mb=4,7		
	KRA	Δ=79,8°. Traces	
	(SKM)	eP	11 43 26
		esP	42
14.IV	Kamtchatka, NEIS: 52,2°N, 160,0°E, H=20h52m15,7s, h normale; mb=4,7, mPV=4,9 (Niedzica)		
	NIE	Δ=73,3°	
		eP	21 03 41 C
		Z: 1,0s; 0,009 μ	
		isP	55
15.IV	Iles Kouriles, NEIS: 45,7°N, 152,8°E, H=01h17m03,9s, h normale; mb=4,6, mPV=5,2(Niedzica)		
	NIE	Δ=76,9°	
		eiP	01 28 52,6

Date	Station	Phase	T.U. h m s
15.IV	NIE	Z: 0,7^{s}; 0,015 μ	
(suite)		ePcP	01 29 02

15.IV Iles Tonga, NEIS: 17,5°S, 173,3°W, H=02^{h}15^{m}14,2^{s}, h normale; mb=4,8

	KRA	Δ=146,1°	
	(SKM)	ePKP	02 34 52
		epPKP	35 03
	NIE	Δ=146,5°	
		ePKP	02 34 52
		i	35 10

15.IV Pakistan, NEIS: 29,8°N, 69,3°E, H=09^{h}44^{m}32,7^{s}, h normale; mb=4,8, mPV=4,9(Niedzica)

	NIE	Δ=41,6°	
		iP	09 52 20,5
		Z: 1,0^{s}; 0,016 μ	
		eisP	35

15.IV Vénézuéla, NEIS: 9,3°N, 61,5°W, H=09^{h}47^{m}43,6^{s}, h=47 km; mb=5,4, mPV=5,4(Kraków), 4,8(Niedzica)

	KRA	Δ=77,4°	
	(SKM)	eP	09 59 37
		Z: 1,3^{s}; 0,045 μ	
		epP	48
		esP	58
	NIE	Δ=77,7°	
		eiP	09 59 38,5
		Z: 1,2^{s}; 0,009 μ	

15.IV Région des Iles Fidji, NEIS: 20,7°S, 178,6°W, H=12^{h}33^{m}01,9^{s}, h=615 km; mb=4,5

	NIE	Δ=147,8°	
		iPKP	12 51 39,5
		Z: 1,0^{s}; 0,010 μ	
		i	44,5

15.IV Aléoutiennes, NEIS: 52,0°N, 177,9°E, H=20^{h}40^{m}22,5^{s}, h=140 km; mb=4,4

	NIE	Δ=77,4°	
		eiP	20 52 02,5
		Z: 0,8^{s}; 0,008 μ	
		ePcP	16

16.IV Jan Mayen, NEIS: 71,5°N, 10,4°W, H=01^{h}27^{m}18,7^{s}, h=13 km; mb=6,1, mPV=7,0(Kraków), 6,4(Książ), MLH=6,7(Kraków)

	KRA	Δ=25,8°	
	(SKM)	iP	01 32 48,3 C
		Pm	50,5
		Z: 1,3^{s}; 1,6 μ	

Date	Station	Phase	T.U. h m s
16.IV	KRA	i	01 33 12,9
	(GW)	iPP	39
		iS	37 21
		Lm	44,5
		NEZ: 15^{s}; 150 μ, 48 μ, 20 μ	
	NIE	Δ=26,5°	
		iP	01 32 53,5

16.IV Éthiopie, NEIS: 14,6°N, 40,7°E, H=02^{h}55^{m}08,8^{s}, h normale; mb=4,5

	NIE	Δ=38,3°	
		eP	03 02 36

16.IV Costa-Rica, NEIS: 10,5°N, 85,8°W, H=04^{h}46^{m}21,4^{s}, h=69 km; mb=5,4

	KRA	Δ=92,0°. Traces	
	(SKM)	eP	04 59 24
	NIE	Δ=92,4°. Traces	
		eP	04 59 24
		esP	54

16.IV Région des Iles Tonga, NEIS: 22,8°S, 175,3°W, H=14^{h}07^{m}59,5^{s}, h=38 km; mb=5,3

	KRA	Δ=150,5°	
	(SKM)	ePKIKP	14 27 46
		eiPKHKP	47
		eipPKP	59
	NIE	Δ=150,9°	
		iPKIKP	14 27 49,4
		Z: 1,1^{s}; 0,018 μ	
		iPKHKP	52,0
		eiPKP$_2$	56
		ipPKP	28 02,3

16.IV Iles Tonga, NEIS: 20,9°S, 174,0°W, H=15^{h}39^{m}43,3^{s}, h normale; mb=4,9

	KRA	Δ=149,1°. Traces	
	(SKM)	ePKP	15 59 29
		epPKP	40
	NIE	Δ=149,6°	
		eiPKP	15 59 31,5
		Z: 1,3^{s}; 0,020 μ	
		eipPKP	42

16.IV Iles Philippines, NEIS: 11,8°N, 125,7°E, H=18^{h}45^{m}02,3^{s}, h=37 km; mb=5,2, mPV=4,9(Niedzica)

	NIE	Δ=91,0°	
		iP	18 58 03,8
		Z: 1,1^{s}; 0,009 μ	
		eisP	18

International Seismological Centre

Date	Station	Phase	T.U. h m s

16.IV Iles Kouriles, NEIS: 48,4°N, 154,9°E H=21^{h}33^{m}25,1^{s}, h=32 km; mb=5,8, mPV=6,2 (Kraków), 5,7(Niedzica), 6,1(Książ), MLH=5,6(Kraków)

	KRA	Δ=74,8°	
	(SKM)	iP	21 45 02,7
		Z: 1,3^{s}; 0,28 μ	
		eisP	16
	(GW)	eS	54 43
		Lm	22 21,7
		NE: 16^{s}; 2,1 μ, 2,2 μ	
	NIE	Δ= 75,2°	
		iP	21 45 04,3 C
		Z: 1,0^{s}; 0,069 μ	
		ipP	12,0
		isP	15,5

17.IV Région des Iles Tonga, NEIS: 22,8°S, 175,2°W, H=01^{h}15^{m}50,6^{s}, h normale; mb=5,0

	KRA	Δ=150,5°	
	(SKM)	ePKHKP	01 35 39
		ei	36 01,6
	NIE	Δ=150,9°	
		iPKHKP	01 35 40,0
		Z: 1,0^{s}; 0,009 μ	
		eipPKHKP	50
		eiPKP$_2$	53,0

17.IV Océan Atlantique, NEIS: 45,5°N, 28,0°W, H=02^{h}07^{m}34,4^{s}, h normale; mb=4,7, mPV=4,5(Niedzica)

	NIE	Δ=32,5°	
		iP	02 14 03
		Z: 1,2^{s}; 0,009 μ	

17.IV NIE

		iP	07 37 41,5
		Z: 0,6^{s}; 0,019 μ	
		i	38 03,2

17.IV Hondo, Japon, NEIS: 36,1°N, 139,8°E, H=18^{h}41^{m}07,6^{s}, h=65 km; mb=5,1, mPV=5,6 (Kraków), 5,3(Niedzica)

	KRA	Δ=79,3°	
	(SKM)	eiP	18 53 05,7
		Z: 0,8^{s}; 0,046 μ	
	NIE	Δ=79,6°	
		iP	18 53 08,0 C
		Z: 1,0^{s}; 0,023 μ	
		i	11,7

17.IV NIE

		ipP	18 53 22,5
		isP	39,5

17.IV Région des Iles Fidji, NEIS: 17,4°S, 177,1°W, H=21^{h}53^{m}56,0^{s}, h=420 km; mb=4,9

	KRA	Δ=144,9°	
	(SKM)	iPKP	22 12 45,3 D
		Z: 0,8^{s}; 0,055 μ	
	NIE	Δ=145,3°	
		iPKP	22 12 46,5 D
		Z: 1,0^{s}; 0,034 μ	

18.IV NIE

		eiP	01 28 34,5
		Z: 1,0^{s}; 0,009 μ	

18.IV Iles Talaud, NEIS: 4,5°N, 125,3°E, H=10^{h}05^{m}33,6^{s}, h=179 km; mb=5,5,

	KSP	Δ=98,4°	
		eiP	10 18 59,5

18.IV Mer Egée, NEIS: 39,0°N, 23,3°E, H=20^{h}59^{m}10,6^{s}, h=10 km, mb=4,1

	NIE	Δ=10,4°	
		e(P)	21 01 49

19.IV Ile de Pâques, NEIS: 55,4°S, 124,6°W, H=06^{h}23^{m}02,5^{s}, h normale; mb=5,0

	NIE	Δ=157,8°	
		ePKIKP	06 43 00
		e(PKHKP)	05
		eipPKP	10
		eiPKP$_2$	26

19.IV Océan Atlantique, NEIS: 16,5°N, 46,6°W, H=12^{h}22^{m}32,6^{s}, h normale; mb=5,1, mPV=5,5(Kraków)

	KRA	Δ=62,4°	
	(SKM)	eP	12 32 56 C
		Z: 1,6^{s}; 0,073 μ	
	NIE	Δ= 62,6°	
		iP	12 32 57,5
		ipP	33 08,5

19.IV Mer d'Arabie, NEIS: 14,4°N, 56,5°E, H=13^{h}45^{m}50,1^{s}, h normale; mb=5,3, mPV=4,6 (Niedzica)

	NIE	Δ=45,6°	
		eP	13 54 11
		Z: 1,0^{s}; 0,007 μ	
		ipP	21,7

International Seismological Centre

Date	Station	Phase	T.U. h m s
19.IV (suite)	KRA (SKM)	Δ=46,2° eP	13 54 15
19.IV		Mer d'Arabie, NEIS: 14,6°N, 56,3°E, H=17h21m35,2s, h normale; mb=5,2	
	NIE	Δ=45,6°	
		eP	17 29 54
		epP	30 05
	KRA (SKM)	Δ=45,9°	
		eP	17 29 58
		eipP	30 09
		eiPP	31 49
19.IV		Mer d'Arabie, NEIS: 14,5°N, 56,4°E, H=17h50m52,7s, h normale; mb=5,0	
	NIE	Δ=45,4°	
		eiP	17 59 11,5
	KRA (SKM)	Δ=46,2°	
		eP	17 59 17
		epP	27
19.IV		Mer d'Arabie, NEIS: 14,5°N, 56,3°E, H=18h09m27,9s, h normale; mb=5,2	
	NIE	Δ=45,4°	
		eiP	18 17 48,5
		eipP	59
	KRA (SKM)	Δ=46,2°	
		eiP	18 17 51,2
		eipP	18 02
		eiPP	19 39
19.IV		Mer d'Arabie, NEIS: 14,5°N, 56,3°E, H=18h16m11,6s, h normale; mb=5,1, mPV=4,9 (Niedzica)	
	NIE	Δ=45,4°	
		eP	18 24 30
		Z: 0,8s; 0,010 μ	
		eipP	43
	KRA (SKM)	Δ=46,2°	
		eP	18 24 35
		ei	41
		epP	26 35
19.IV		Mer d'Arabie, NEIS: 14,5°N, 56,4°E, H=18h43m59,1s, h normale; mb=5,1, mPV=5,1 (Niedzica)	
	NIE	Δ=45,4°	
		eiP	18 52 19,5
		Z: 0,7s; 0,015 μ	
19.IV		Mer d'Arabie, NEIS: 14,6°N, 56,1°E, H=18h49m45,2s, h normale; mb=5,1	

Date	Station	Phase	T.U. h m s
19.IV	NIE	Δ=45,2°	
		eiP	18 57 59
		epP	58 10
19.IV		Mer d'Arabie, NEIS: 14,5°N, 56,2°E, H=19h09m27,4s, h normale; mb=5,1	
	NIE	Δ=45,3°	
		eP	19 17 47
	KRA (SKM)	Δ=45,9°. Traces	
		eP	19 17 50
		esP	18 06
19.IV		Mer d'Arabie, NEIS: 14,4°N, 56,4°E, H=20h15m43,5s, h normale; mb=5,4	
	NIE	Δ=45,5°	
		eP	20 24 03
	KRA (SKM)	Δ=46,1°	
		eP	20 24 07
		eipP	19
19.IV		Autriche, NEIS: 46,2°N, 13,1°E, H=21h21m35,6s, h normale	
	KSP	Δ=5,1°	
		eiSx	21 24 07,6
19.IV		Mer d'Arabie, NEIS: 14,4°N, 56,4°E, H=21h21m13,6s, h normale; mb=5,1	
	NIE	Δ=45,5°	
		eP	21 29 34
		ipP	44
	KRA (SKM)	Δ=46,1°	
		eP	21 29 37
		epP	48
		ePP	31 26
19.IV		Mer d'Arabie, NEIS: 14,5°N, 56,4°E, H=23h29m13,4s, h=68 km; mb=5,0	
	KRA (SKM)	Δ=46,1°	
		eiP	23 37 39,6
20.IV		Mer d'Arabie, NEIS: 14,1°N, 56,4°E, H=02h06m32,7s, h normale; mb=5,0	
	KRA (SKM)	Δ=46,4°	
		eP	02 14 58
		esP	16 04
		ePP	49
20.IV		Mer d'Arabie, NEIS: 14,2°N, 56,5°E, H=03h41m06,5s, h normale; mb=5,0	
	NIE	Δ=45,7°	
		eP	03 49 33
		eisP	46

Date	Station	Phase	T.U. h m s
20.IV		Mer d'Arabie, NEIS: 14,4°N, 56,6°E, H=05h09m42,4s, h normale; mb=4,8	
	KSP	Δ=48,7°	
		eP	05 18 25
20.IV		Mer d'Arabie, NEIS: 14,5°N, 56,5°E, H=08h56m49,8s, h normale; mb=5,1	
	KRA (SKM)	Δ=46,1°	
		eP	09 05 15
		epP	22
		ePP	07 03
20.IV		Mer d'Arabie, NEIS: 14,6°N, 56,5°E, H=09h55m06,3s, h normale; mb=5,0	
	KRA (SKM)	Δ=46,2°. Traces	
		eP	10 03 25
		ePP	05 19
	NIE	Δ=45,4°	
		eP	10 03 27
20.IV		Pacifique, NEIS: 36,4°S, 98,8°W, H=11h40m39,9s, h normale; mb=6,0	
	NIE	Δ=134,7°	
		eiPKIKP	12 00 00
		Z: 1,0s; 0,013 μ	
		ipPKIKP	12
	KRA (SKM)	Δ=134,6°	
		iPKIKP	12 00 02,9
		eipPKIKP	14,6
		i	26,4
	(GW)	eiPKS	03 38
		ei(SKS)	07 24
		Lm	13 02,6
		NEZ: 16s; 2,6 μ, 2,2 μ, 0,6μ	
20.IV	NIE		
		eiP	13 54 41,2 C
		Z: 0,8s; 0,018 μ	
20.IV		Mer d'Arabie, NEIS: 14,5°N, 56,3°E, H=14h39m08,8s, h normale; mb=4,8	
	NIE	Δ=45,4°	
		eP	14 47 20
20.IV		Japon, NEIS: 33,2°N, 131,3°E, H=17h 35m50,4s, h=17 km; mb=5,7	
	KRA (SKM)	Δ=77,5°	
		eP	17 47 43
	NIE	Δ=77,6°	
		eP	17 47 48
		i	54
20.IV		Kamtchatka, NEIS: 51,8°N, 159,9°E,	

Date	Station	Phase	T.U. h m s
		H=18h48m37,9s, h normale; mb=5,0, mPV=5,6 (Kraków), 5,2(Niedzica)	
	KRA (SKM)	Δ=73,2°	
		iP	19 00 05,3 D
		Z: 1,0s; 0,042 μ	
		i	10,9
	NIE	Δ=73,7°	
		iP	19 00 09,5 D
		Z: 1,0s; 0,017 μ	
		i	14
		ipP	19
		eisP	22
20.IV	NIE		
		eP	20 55 47
		Z: 1,1s; 0,003 μ	
		i	51
20.IV		Mer d'Arabie, NEIS: 14,6°N, 56,4°E, H=21h22m47,1s, h normale; mb=5,0	
	KRA (SKM)	Δ=15,9°. Traces	
		eP	21 31 06
		esP	22
	NIE	Δ=45,3°	
		eP	21 31 06
		epP	16
20.IV		Région des Iles Kermadec, NEIS: 27,8°S, 179,0°W, H=21h55m20,2s, h=358 km; mb=4,9	
	NIE	Δ=154,0°	
		ePKP2	22 14 53
		Z: 0,7s; 0,011 μ	
20.IV		Mer d'Arabie, NEIS: 14,6°N, 56,2°E, H=22h42m44,0s, h normale; mb=4,8	
	KSP	Δ=48,3°	
		eP	22 51 28
21.IV		Acores, NEIS: 42,9°N, 29,2°W, H= 00h47m18,7s, h normale; mb=4,5	
	NIE	Δ=34,4°	
		eP	00 54 04
21.IV		Mer d'Arabie, NEIS: 14,4°N, 56,5°E, H=02h25m56,7s, h normale; mb=4,9	
	KRA (SKM)	Δ=46,1°. Traces	
		eP	02 34 22
21.IV		Hondo, Japon, NEIS: 36,5°N, 140,6°E, H=03h45m14,9s, h=58 km; mb=5,1, mPV=5,6 (Kraków), 5,1(Niedzica)	
	KRA	Δ=79,3°. Traces	

Date	Station	Phase	T.U. h m s	
21.IV	KRA	iP	03 57 15,3	
(suite)	(SKM)	Z: 1,0^{s}; 0,048 μ		
	NIE	Δ=79,6^{o}		
		eP	03 57 17	C
		Z: 1,0^{s}; 0,014 μ		
		ipP	32,5	
21.IV	Grèce, NEIS: 39,9^{o}N, 22,0^{o}E, H=05^{h}36^{m}03,8^{s}, h=91 km; mb=4,1			
	NIE	Δ=9,3^{o}. Traces		
		e(P)	05 38 27	
21.IV	Océan Atlantique, NEIS: 45,3^{o}N, 28,0^{o}W, H=06^{h}14^{m}32,2^{s}, h normale; mb=5,0, mPV=4,9(Niedzica)			
	NIE	Δ=32,6^{o}		
		eP	06 21 02	
		i	07,5	
		Z: 1,2^{s}; 0,022μ		
		isP	17	
21.IV	Océan Atlantique, NEIS: 45,3^{o}N, 28,0^{o}W, H=19^{h}14^{m}56,3^{s}, h normale; mb=4,8, mPV=5,1(Kraków), 4,5(Niedzica)			
	KRA	Δ=32,2^{o}		
	(SKM)	eP	19 21 23	C
		Z: 1,5^{s}; 0,049 μ		
	NIE	Δ=32,6^{o}		
		eP	19 21 26	C
		Z: 1,1^{s}; 0,008 μ		
21.IV	KRA	Traces		
	(SKM)	eiP	21 22 55,6	C
		Z: 0,7^{s}; 0,016 μ		
	NIE			
		iP	21 22 57,5	
		Z: 1,0^{s}; 0,012 μ		
21.IV	NIE			
		eP	22 29 04	
		Z: 1,0^{s}; 0,006 μ		
		i	30 09,5	
21.IV	Mindanao, Philippines, NEIS: 6,2^{o}N, 126,8^{o}E, H=23^{h}03^{m}30,3^{s}, h=108 km; mb=5,0			
	NIE	Δ=96,0^{o}		
		eP	23 16 48	
21.IV	Iles Kermadec, NEIS: 30,3^{o}S, 177,9^{o}W, H=23^{h}34^{m}19,8^{s}, h=44 km; mb=5,0			
	NIE	Δ=156,6^{o}		
		ePKIKP	23 54 10	
		ePKHKP	20	

Date	Station	Phase	T.U. h m s	
22.IV	Colombie, NEIS: 10,2^{o}N, 75,7^{o}W, H=00^{h}11^{m}41,9^{s}, h=34 km; mb=5,1, mPV=5,2 (Kraków), 4,8(Niedzica)			
	KRA	Δ=85,9^{o}. Traces		
	(SKM)	eiP	00 24 20,8	C
		Z: 1,0^{s}; 0,024 μ		
	NIE	Δ=86,3^{o}		
		eP	00 24 23	
		Z: 1,0^{s}; 0,007 μ		
		eipP	33	
22.IV	Mer d'Arabie, NEIS: 14,7^{o}N, 54,9^{o}E, H=03^{h}38^{m}56,7^{s}, h normale; mb=5,0			
	NIE	Δ=44,5^{o}		
		eP	03 47 08	
		epP	20	
22.IV	Mer d'Arabie, NEIS: 14,7^{o}N, 54,9^{o}E, H=06^{h}35^{m}36,8^{s}, h normale; mb=5,0, mPV=5,1 (Kraków)			
	NIE	Δ=44,5^{o}		
		eP	06 43 49	
		Z: 1,2^{s}; 0,009 μ		
		eipP	44 02	
		eisP	07	
	KRA	Δ=45,1^{o}. Traces		
	(SKM)	eP	06 43 52	
		Pm	56	
		Z: 1,4^{s}; 0,032 μ		
22.IV	NIE			
		iP	12 10 00,0	
		Pm	02,3	
		Z: 1,0^{s}; 0,010 μ		
		i	12,5	
22.IV	NIE			
		eiP	15 14 51,8	
		Z: 0,6^{s}; 0,019 μ		
		i	15 19	
22.IV	Mer d'Arabie, NEIS: 14,5^{o}N, 56,5^{o}E, H=18^{h}25^{m}37,8^{s}, h normale; mb=5,2			
	KSP	Δ=48,6^{o}		
		eP	18 34 21	
22.IV	Hokkaido, Japon, NEIS: 41,6^{o}N, 144,1^{o}E, H=19^{h}54^{m}33,5^{s}, h=45 km; mb=4,9			
	NIE	Δ=77,0^{o}		
		eP	20 06 22	
		eisP	42	

International Seismological Centre

Date	Station	Phase	T.U. h m s	
22.IV	Iles Kouriles, NEIS: 44,7^{o}N, 148,8^{o}E, H=20^{h}05^{m}03,7^{s}, h=77 km; mb=4,9, mPV=5,7(Kraków), 5,2(Niedzica)			
	KRA	Δ=75,9^{o}		
	(SKM)	eiP	20 16 42,7	
		Z: 0,6^{s}; 0,035 μ		
	NIE	Δ=76,3^{o}		
		eiP	20 16 45	C
		Z: 1,0^{s}; 0,021 μ		
		eipP	17 02	
22.IV	Mer du Groenland, NEIS: 74,9^{o}N, 9,9^{o}E, H=20^{h}24^{m}16,1^{s}, h normale; mb=4,5, mPV=4,5(Niedzica)			
	KRA	Δ=25,5^{o}		
	(SKM)	iP	20 29 42,2	C
		Z: 0,7^{s}; 0,020 μ		
		ei	56,2	
	NIE	Δ=26,2^{o}		
		eiP	20 29 48	
		Z: 0,9^{s}; 0,010 μ		
		iPP	30 19	
22.IV	Iles Nicobar, NEIS: 6,3^{o}N, 95,2^{o}E, H=21^{h}23^{m}22,9^{s}, h=86 km; mb=5,1			
	NIE	Δ= 75,4^{o}		
		eP	21 35 00	
		eipP	23	
	KRA	Δ=75,7^{o}		
	(SKM)	iP	21 35 01,2	
		Z: 0,6^{s}; 0,027 μ		
		esP	31	
22.IV	Mer d'Arabie, NEIS: 14,5^{o}N, 56,6^{o}E, H=21^{h}35^{m}26,0^{s}, h normale; mb=5,2			
	KRA	Δ=46,1^{o}		
	(SKM)	eP	21 43 50	
		ePP	45 39	
22.IV	Mer d'Arabie, NEIS: 14,4^{o}N, 56,5^{o}E, H=22^{h}17^{m}49,5^{s}, h normale; mb=5,0			
	KRA	Δ=46,1^{o}. Traces		
	(SKM)	eP	22 26 19	
		ePP	28 10	
22.IV	Mer de Norvège, NEIS: 72,9^{o}N, 4,9^{o}E, H=22^{h}48^{m}23,8^{s}, h normale; mb=4,6			
	NIE	Δ=24,8^{o}		
		eP	22 53 37	
		eipP	50	
22.IV	Mer d'Arabie, NEIS: 14,4^{o}N, 56,5^{o}E, H=23^{h}27^{m}13,2^{s}, h normale; mb=4,8			
	KSP	Δ=48,7^{o}		
		eP	23 35 53	
23.IV	URSS-Chine, NEIS: 44,0^{o}N, 131,9^{o}E, H=00^{h}17^{m}58,0^{s}, h=496 km; mb=4,7			
	NIE	Δ=69,6^{o}		
		iP	00 28 18	
		Z: 0,9^{s}; 0,008 μ		
23.IV	Kazakhstan-Chine, NEIS: 45,9^{o}N, 82,3^{o}E, H=05^{h}12^{m}16,0^{s}, h normale; mb=4,9			
	KRA	Δ= 41,0^{o}		
	(SKM)	iP	05 19 56,4	
	NIE	Δ= 40,9^{o}		
		eiP	05 19 57,2	C
		Z: 0,9^{s}; 0,022 μ		
		ipP	20 06,9	
		isP	12,8	
23.IV	Mer d'Arabie, NEIS: 14,6^{o}N, 56,5^{o}E, H=08^{h}16^{m}32,1^{s}, h normale; mb=5,0			
	NIE	Δ=45,5^{o}. Traces		
		eP	08 24 53	
		eisP	25 07	
23.IV	Philippines, NEIS: 6,4^{o}N, 123,7^{o}E, H=08^{h}27^{m}47,0^{s}, h=595 km; mb=5,1			
	KSP	Δ=95,9^{o}		
		eP	08 40 11	
23.IV	Mexique, NEIS: 16,4^{o}N, 98,9^{o}W, H=11^{h}14^{m}48,0^{s}, h=11 km; mb=6,0			
	KRA	Δ=95,5^{o}		
	(SKM)	eiP	11 28 10,6	
		eipP	15,6	
		ePP	31 58	
	(GW)	eiSKS	38 50	
		Lm	12 18,0	
		NEZ: 14^{s}; 2,0 μ, 2,9 μ, 0,7 μ		
	NIE	Δ=94,9^{o}		
		eP	11 28 14	
		eipP	19	
		ePP	31 57	
23.IV	Iles Tonga, NEIS: 20,8^{o}S, 173,9^{o}W, H=14^{h}41^{m}08,5^{s}, h=40 km; mb=5,1			
	KRA	Δ=149,0^{o}		
	(SKM)	ePKP	15 00 44	
		epPKP	56	
	NIE	Δ=149,5^{o}		

International Seismological Centre

Date	Station	Phase	T.U. h m s
23.IV	NIE	$iPKP_2$	15 00 56,2
		Z: 0,9^s; 0,017 μ	
		i	01 17,6
23.IV	Mer d'Arabie, NEIS: 14,6°N, 56,3°E, H=15^{h}02^{m}10,5^s, h normale; mb=5,2		
	NIE	Δ=45,5°	
		e(P)	15 10 40
	KRA	Δ=45,9°	
	(SKM)	e(P)	15 10 42
		ePP	12 23
23.IV	Autriche, NEIS: 46,3°N, 13,1°E, H=16^{h}19^{m}21,3^s, h normale; MLV=3,5(Wien)		
	KSP	Δ=5,0°	
		eiPn	16 20 25
		eiP*	21 41
		iSg	55,2
	NIE	Δ=5,6°	
		iS*	16 22 07,2
		Z: 1,4^s; 0,031 μ	
		eSg	24
	KRA	Δ=5,8°	
	(SKM)	eSg	16 22 29
24.IV	Mer d'Arabie, NEIS: 14,4°N, 56,4°E, H=00^{h}05^{m}41,9^s, h normale; mb=5,0		
	KSP	Δ=48,6°	
		eP	00 14 25
24.IV	Nepale, NEIS: 27,2°N, 86,9°E, H=01^{h}35^{m}51,3^s, h normale; mb=5,1		
	KSP	Δ= 57,4°	
		eP	01 42 06
24.IV	Grèce, NEIS: 37,6°N, 22,7°E, H=22^{h}58^{m}18,0^s, h=78 km; mb=4,9		
	NIE	Δ=11,7°	
		iP	23 01 10,5
		Z: 0,9^s; 0,014 μ	
		i	20
	KRA	Δ=12,3°	
	(SKM)	eP	23 01 11
25.IV	Iles Kermadec, NEIS: 31,6°S, 179,5°E H=04^{h}41^{m}01,6^s, h=416 km; mb=4,6		
	KSP	Δ= 157,1°	
		$eiPKP_2$	05 00 39,4
25.IV	Kamtchatka, NEIS: 51,8°N, 160,0°E, H=14^{h}23^{m}19,9^s, h normale; mb=5,0, mPV=5,0 (Niedzica)		
	KRA	Δ=73,2°. Traces	
	(SKM)	eiP	14 34 48,3
25.IV	NIE	Δ=73,7°	
		iP	14 34 51,5
		Z: 1,1^s; 0,012 μ	
		eipP	35 02
25.IV	Iles Tonga, NEIS: 16,5°S, 174,3°W, H=15^{h}26^{m}33,9^s, h=29 km; mb=5,2		
	KSP	Δ=144,7°	
		ePKP	15 46 07
25.IV	Hondo, Japon, NEIS: 37,9°N, 141,2°E, H=17^{h}37^{m}33,0^s, h=94 km; mb=5,1		
	KRA	Δ=78,5°	
	(SKM)	eiP	17 49 24,3
		ePcP	31
		eipP	45
	NIE	Δ=78,8°	
		iP	17 49 27
		Z: 0,9^s; 0,006 μ	
		eipP	48
25.IV	Région des Iles Fidji, NEIS: 20,8°S, 178,8°W, H=21^{h}12^{m}13,3^s, h=605 km; mb=5,0		
	NIE	Δ=147,5°	
		ePKIKP	21 30 48
		iPKHKP	52,1
		Z: 1,0^s; 0,027 μ	
		i	56,1
		$iPKP_2$	31 11,4
	KRA	Δ=147,8°	
	(SKM)	iPKHKP	21 30 50,1
		Z: 0,6^s; 0,031 μ	
26.IV	Hondo, Japon, NEIS: 39,6°N, 141,1°E, H=03^{h}14^{m}37,8^s, h=100 km; mb=5,3		
	KRA	Δ=77,0°	
	(SKM)	iP	03 26 19,7
		Z: 0,9^s; 0,047 μ	
		eipP	45
		csP	52
	NIE	Δ=77,3°	
		iP	03 26 22,5
		Z: 0,9^s; 0,023 μ	
		ipP	45,2
26.IV	NIE		
		eiP	11 23 30,5
		Z: 0,7^s; 0,029 μ	
27.IV	Kazakhstan, NEIS: 50,0°N, 79,0°E, H=05^{h}36^{m}57,3^s, h=0, mb=5,6, mPV=6,0(Kraków)		
	KRA	Δ=37,2°	
27.IV (suite)	KRA (SKM)	iP	05 44 10,0 C
		Z: 0,9^s; 0,21 μ	
		i	45 28,5
	NIE	Δ=37,2°	
		iP	05 44 11,5
		i	25
27.IV	Hondo, Japon, NEIS: 33,4°N, 140,8°E, H=07^{h}07^{m}13,8^s, h=61 km; mb=5,3, mPV=5,7 (Kraków), 5,4(Niedzica)		
	KRA	Δ=82,0°	
	(SKM)	iP	07 19 27,8
		Z: 0,8^s; 0,051 μ	
		ePcP	34,0
	NIE	Δ=82,3°	
		eiP	07 19 29,5 C
		Z: 1,0^s; 0,029 μ	
		ipP	47
27.IV	Iles Tonga, NEIS: 17,3°S, 172,7°W, H=07^{h}46^{m}09,3^s, h normale; mb=4,9		
	KRA	Δ=146,0°	
	(SKM)	ePKP	08 05 47
		eipPKP	57
	NIE	Δ=146,5°	
		eiPKP	08 05 49 C
		Z: 1,1^s; 0,009 μ	
		i	55,5
27.IV	Iles Kermadec, NEIS: 28,3°S, 178,5°W, H=23^{h}06^{m}15,9^s, h=212 km; mb=4,5		
	NIE	Δ=154,6°	
		ePKIKP	23 25 44
		ePKHKP	52
28.IV	Iran, NEIS: 33,3°N, 54,8°E, H=02^{h}01^{m}17,0^s, h=42 km; mb=5,3, mPV=4,5(Niedzica), 5,4(Kraków)		
	NIE	Δ=30,1°	
		eiP	02 07 26
		Z: 1,1^s; 0,009 μ	
		eipP	39
		eiPP	08 19
	KRA	Δ=30,5°	
	(SKM)	eiP	02 07 29,0 C
		Z: 1,1^s; 0,069 μ	
		eisP	49,1
28.IV	Méditerranée, NEIS: 34,7°N, 28,8°E, H=02^{h}29^{m}07,5^s, h normale; mb=4,7		
	NIE	Δ=15,7°	
		eiP	02 32 55
28.IV	NIE	Pm	02 32 58,5
		Z: 1,0^s; 0,021 μ	
		eiPP	33 06
	KRA	Δ=16,4°	
	(SKM)	eiP	02 33 02,5
		Z: 0,7^s; 0,045 μ	
		eiPP	13
28.IV	Taiwan, NEIS: 24,0°N, 122,4°E, H=10^{h}39^{m}28,9^s, h=41 km; mb=5,0, mPV=4,9 (Niedzica)		
	NIE	Δ=79,7°	
		eiP	10 51 32,5
		Z: 1,3^s; 0,013 μ	
		eiPcP	39
		isP	50
	KRA	Δ=79,6°. Traces	
	(SKM)	eP	10 51 36
		eisP	55
28.IV	Cachemire-Tibet, NEIS: 35,8°N, 79,9°E, H=11^{h}06^{m}43,5^s, h normale; mb=5,8, mPV=5,7(Niedzica), 6,2(Kraków)		
	NIE	Δ=44,8°	
		eiP	11 14 55,3 D
		Pm	58
		Z: 1,0^s; 0,095 μ	
	KRA	Δ=44,9°	
	(SKM)	eP	11 14 55,9
		Pm	15 01,1
		Z: 1,5^s; 0,44 μ	
		isP	08,4
	(GW)	eS	21 31
		Lm	32,3
		NEZ: 13^s; 25 μ, 10 μ, 1,5 μ	
28.IV	Mindanao, Philippines, NEIS: 9,2°N 126,2°E, H=11^{h}39^{m}28,0^s, h=52 km; mb=5,0		
	KSP	Δ= 95,2°	
		eiP	11 53 08
28.IV	Cachemire-Tibet, NEIS: 35,9°N, 80,0°E, H=11^{h}58^{m}34,2^s, h=31 km; mb=5,2, mPV=5,3(Niedzica), 5,4(Kraków)		
	NIE	Δ=44,8°	
		eiP	12 06 48,5 D
		Z: 1,4^s; 0,043 μ	
		ipP	58,9
	KRA	Δ=44,9°	
	(SKM)	eiP	12 06 49,9
		Z: 0,9^s; 0,037 μ	

Date	Station	Phase	T.U. h m s	
28.IV (suite)	KRA	eisP	12 07 04	
29.IV	Cachemire-Tibet, NEIS: 35,8°N, 80,0°E, H=03h07m59,6s, h normale; mb=5,0, mPV=5,2(Niedzica)			
	NIE	Δ=44,8°		
		eP	03 16 08	
		i	13,8	
		Z: 1,3s; 0,040 μ		
		eipP	18	
		esP	21	
	KRA	Δ=45,0°		
	(SKM)	eP	03 16 12	
		eipP	20	
29.IV	Mindoro, Philippines, NEIS: 13,6°N, 120,8°E, H=08h41m53,7s, h=53 km; mb=5,2, mPV=5,3(Niedzica)			
	KRA	Δ=86,6°		
	(SKM)	eP	08 54 31	
	NIE	Δ=86,5°		
		eP	08 54 32	D
		Pm	35	
		Z: 1,0s; 0,021 μ		
		ipP	48,5	
		isP	58,5	
29.IV	Mindoro, Philippines, NEIS: 13,8°N, 120,9°E, H=08h49m25,8s, h=50 km; mb=5,0, mPV=4,8(Niedzica)			
	KRA	Δ=86,5°		
	(SKM)	eP	09 02 03	
	NIE	Δ=86,5°		
		eP	09 02 04,5	
		Z: 1,0s; 0,007 μ		
		ipP	20	
29.IV	Mer d'Arabie, NEIS: 14,6°N, 56,5°E, H=12h03m10,2s, h normale; mb=5,1			
	NIE	Δ=45,4°		
		eP	12 11 29	
29.IV	Iles Fidji, NEIS: 25,3°S, 179,9°W, H=12h58m42,3s, h=470 km; mb=4,9			
	KSP	Δ=151,6°		
		eiPKP2	13 17 43	
29.IV	Nouvelle Zélande, NEIS: 39,0°S, 175,8°E, H=15h20m15,9s, h=110 km; mb=5,6			
	NIE	Δ=159,7°		
		eiPKP2	15 40 40	

Date	Station	Phase	T.U. h m s	
29.IV	Kamtchatka, NEIS: 51,8°N, 160,0°E, H=20h27m03,0s, h normale; mb=4,6			
	NIE	Δ=73,7°		
		eiP	20 38 34,5	
		epP	45	
		eisP	49	
29.IV	Kamtchatka, NEIS: 52,0°N, 159,9°E, H=20h45m50,0s, h normale; mb=4,4			
	NIE	Δ=73,5°		
		eP	20 57 29	
		epP	41	
30.IV	Chine, Moskva: 36,0°N, 79,9°E, H=03h06m28s; mPV(SKM)=4,9			
	NIE	Δ=44,7°		
		eiP	03 14 40,5	
		i	49,5	
30.IV	Turquie, NEIS: 36,2°N, 30,8°E, H=04h28m56,9s, h=56 km; mb=5,6			
	NIE	Δ=15,0°		
		eP	04 32 31,5	C
		i	36,5	
		Pm	38,5	
		Z: 1,2s; 0,131 μ		
		iPP	41	
		ipP	47,5	
		isP	56,5	
	KRA	Δ=15,7°		
	(SKM)	eP	04 32 38,8	
		i	42,6	
		Z: 1,0s; 0,132 μ		
		ipP	52,6	
		isP	55,7	
30.IV	Aléoutiennes, Moskva: 51,7°N, 179,7°E, H=07h07m59s; mPV(SKM)=5,6, mPV=5,1(Niedzica)			
	KRA	Δ=77,4°		
	(SKM)	eP	07 19 51	
	NIE	Δ=75,0°		
		eiP	07 19 55,5	
		Z: 1,0s; 0,014 μ		
30.IV	Iles Fidji, NEIS: 25,8°S, 176,7°W, H=10h59m25,3s, h=74 km; mb=5,0			
	KSP	Δ=153,1°		
		eiPKHKP	11 19 13,0	
30.IV	Nevada, NEIS: 37,1°N, 116,0°W, H=15h00m00,0s, h=0, mb=5,2, mPV=4,9(Niedzica)			

International Seismological Centre

Date	Station	Phase	T.U. h m s	
30.IV (suite)	KRA	Δ=85,1°		
	(SKM)	eiP	15 12 36,2	
		diPcP	39	
	NIE	Δ=85,8°		
		iP	15 12 41	
		Z: 1,2s; 0,011 μ		
30.IV	Mer d'Arabie, NEIS: 14,7°N, 56,1°E, H=22h08m47,8s, h normale; mb=5,1			
	NIE	Δ=45,1°		
		eP	22 17 06	
		epP	13	
	KRA	Δ=45,7°. Traces		
	(SKM)	eP	22 17 09	
30.IV	Luçon, Philippines, NEIS: 18,5°N, 120,9°E, H=23h22m53,3s, h=64 km; mb=4,8, mPV=5,4(Kraków, Niedzica)			
	KRA	Δ=82,9°. Traces		

Date	Station	Phase	T.U. h m s	
30.IV	KRA	eiP	23 35 12,4	
	(SKM)	Z: 0,7s; 0,020 μ		
	NIE	Δ=82,9°		
		iP	23 35 13,6	
		Z: 0,8s; 0,021 μ		
		esP	36	
30.IV	Mer d'Arabie, NEIS: 14,6°N, 56,6°E, H=23h40m30,7s, h normale; mb=5,3, mPV=5,3 (Kraków)			
	NIE	Δ=45,5°		
		eP	23 48 50	
		eipP	57	
	KRA	Δ=46,0°		
	(SKM)	eiP	23 48 54,4	
		Z: 1,2s; 0,039 μ		
		eisP	49 11	

Date	Station	Phase	T.U. h m s	
1.V	Mer d'Arabie, Moskva: 14,0°N, 56,4°E, H=02h37m39s; mPV(SKM)=5,2, mPV=4,5(Niedzica) 5,2(Kraków)			
	NIE	Δ=45,9°		
		eiP	02 46 03	
		Z: 1,1s; 0,005 μ		
	KRA	Δ=46,4°		
	(SKM)	eP	02 46 06	
		Z: 1,1s; 0,028 μ		
1.V	Océan Indien Sud, Moskva: 54,4°S, 143,3°E, H=03h20m29s, M(Obn.)=5,4			
	NIE	Δ=145,2°		
		ePKP	03 40 09	
		eipPKP	24	
1.V	Iles Tonga, NEIS: 17,4°S, 172,9°W, H=10h29m04,9s, h=48 km; mb=4,4			
	NIE	Δ=146,6°		
		iPKP	10 48 43,6	
		Z: 0,8s; 0,012 μ		
		i	49 28,6	
1.V	Philippines, Moskva: 13,6°N, 121,0°E H=12h36m58s; mPV(SKM)=5,3, mPV=5,4(Kraków)			
	NIE	Δ=86,7°		
		eP	12 49 41	

Date	Station	Phase	T.U. h m s	
1.V	NIE	eipP	12 49 55	
	KRA	Δ=86,7°		
	(SKM)	eP	12 49 44	
		Z: 0,9s; 0,026 μ		
1.V	Ryu-Kyu, Moskva: 27,0°N, 128,1°E, H=16h50m21s, h=20 km; mPV(SKM)=5,4, mPV=5,0(Niedzica)			
	KRA	Δ=80,6°		
	(SKM)	eP	17 02 32	
		ipP	41,7	
		i	54,2	
	NIE	Δ=80,7°		
		eiP	17 02 35	
		Z: 1,2s; 0,016 μ		
1.V	Aléoutiennes, Moskva: 52,9°N, 167,3°W, H=18h47m58s, h=30 km; mPV(SKM)=5,4, mPV=5,4(Kraków), 5,3(Niedzica)			
	KRA	Δ=77,5°		
	(SKM)	eP	18 59 52	D
		Z: 1,0s; 0,036 μ		
		eiPcP	19 00 01	
	NIE	Δ=78,1°		
		eiP	18 59 56	
		Z: 0,9s; 0,023 μ		

International Seismological Centre

Date	Station	Phase	T.U. h m s
1.V	NIE	ipP	19 00 09,1
(suite)		isP	12,7
1.V	Luçon, Philippines, Moskva: 13,9°N, 120,8°E, H=21h09m41s; mPV(SKM)=5,3		
	NIE	Δ=86,3°	
		eP	21 22 23
2.V	Région du Japon, Moskva: 26,5°N, 141,7°E, H=20h35m27s; mPV(SKM)=5,1		
	NIE	Δ=88,4°	
		eP	20 48 14
		Pm	16,8
		Z: 1,0s; 0,004 μ	
3.V	KRA	Traces	
	(SKM)	eiP	01 37 04,4
		Z: 0,7s; 0,025 μ	
3.V	Mer d'Okhotsk, NEIS: 46,9°N, 145,1°E, H=05h16m11,5s, h=367 km; mb=4,6		
	KSP	Δ=73,1°	
		iP	05 27 07,7
3.V	Iles Ryu-Kyu, NEIS: 26,0°N, 128,1°E, H=16h46m40,4s, h=58 km; mb=4,8		
	NIE	Δ=81,5°	
		eiP	16 58 52
3.V	Iles Ryu-Kyu, NEIS: 25,9°N, 128,1°E, H=17h05m12,8s, h=63 km; mb=5,0		
	KRA	Δ=81,5°. Traces	
	(SKM)	eP	17 17 23
	NIE	Δ=81,6°	
		eiP	17 17 25
		ipP	39
		isP	44,5
3.V	Iles Ryu-Kyu, NEIS: 26,0°N, 128,5°E, H=17h18m36,0s, h=42 km; mb=5,0		
	NIE	Δ=81,7°	
		eP	17 30 52
		eipP	31 05
3.V	Ryu-Kyu, Moskva: 26,9°N, 128,2°E, H=18h29m08s; mPV(SKM)=5,3		
	KRA	Δ=80,7°	
	(SKM)	eP	18 41 19
		eipP	29
		eisP	32
	NIE	Δ=80,8°	
		eiP	18 41 19
4.V	Ryu-Kyu, NEIS: 26,0°N, 128,9°E, H=02h18m01,9s, h=37 km; mb=4,7		
4.V	NIE	Δ=81,7°	
		eP	02 30 18
4.V	Hondo, Japon, NEIS: 37,1°N, 142,1°E, H=09h31m59,5s, h=24 km; mb=5,8, mPV=6,2 (Kraków), 5,5(Niedzica), MLH=5,9(Kraków)		
	WAR	Δ=79,3°	
	(GW)	iP	09 43 49,5 C
	(SKD)	eiPcP	44 17
		ei(S)	53 41
	KRA	Δ=79,5°	
	(SKM)	eiP	09 44 04 C
		Pm	06,7
		Z: 1,0s; 0,204 μ	
		iPcP	10,7
		ipP	16,1
	(GW)	eS	54 03
		eL	10 14,3
		Lm	22,3
		NEZ: 13s; 3,4 μ, 1,7 μ, 0,7 μ	
	NIE	Δ=79,8°	
		iP	09 44 06,5 C
		Pm	09,5
		Z: 1,0s; 0,046 μ	
		iPcP	14
4.V	Hondo, Japon, NEIS: 40,0°N, 142,1°E, H=12h58m06,3s, h=67 km; mb=4,5		
	KSP	Δ=77,9°	
		eiP	13 09 58,2
4.V	Iles Fidji, NEIS: 20,7°S, 178,3°W, H=21h19m30,1s, h=560 km; mb=4,8		
	KSP	Δ=147,8°	
		eiPKHKP	21 38 13,1
5.V	Iles Tonga, NEIS: 17,1°S, 173,8°W, H=02h16m40,8s, h=27 km; mb=4,9		
	NIE	Δ=146,0°. Traces	
		ePKIKP	02 36 21
		eiPKHKP	24
5.V	Chine, Moskva: 41,2°N, 80,1°E, H=04h16m20s; mPV(SKM)=5		
	NIE	Δ=41,9°. Traces	
		eP	04 24 07
5.V	Chine, Moskva: 33,4°N, 92,9°E, H=05h18m47s; mPV(SKM)=6,1, mPV=6,1(Niedzica, Kraków), MLH=6,3(Kraków)		
	WAR	Δ=56,5°	
	(SKD)	ei(P)	05 28 12

Date	Station	Phase	T.U. h m s
5.V	WAR	ei	05 35 44
(suite)		ei	40 02
		Lm	51 34
		Z: 16s; 35 μ	
		Lm	53 36
		NE: 12s, 16s; 20 μ, 30 μ	
	NIE	Δ=54,7°	
		eiP	05 28 17
		Pm	22,5
		Z: 2,0s; 0,374 μ	
	KRA	Δ=54,8°	
	(SKM)	eP	05 28 20
		Pm	22,5
		Z: 2,0s; 0,411 μ	
		ei	35
		ei	47
	(GW)	eiS	36 06
		eL	40,9
		Lm	51,5
		NEZ: 11s; 16 μ, 5,1 μ, 0,8 μ	
5.V	Cachemire-Tibet, NEIS: 35,9°N, 79,9°E, H=19h27m44,5s, h=22 km; mb=5,0		
	KRA	Δ=44,9°. Traces	
	(SKM)	eP	19 36 00
5.V	Iles Fidji, NEIS: 23,0°S, 176,3°W, H=20h28m09,6s, h=101 km; mb=5,5		
	WAR	Δ=144,2°	
	(SKD)	eiPKP	20 47 45
		ei	58
		eiPKS	51 34
		eiSKKS	57 58
		eL	21 38,1
	KRA	Δ=150,4°	
	(SKM)	ePKIKP	20 47 45
		iPKHKP	50,1
		Z: 0,9s; 0,179 μ	
		$iPKP_2$	55,2
		eipPKHKP	48 14
	(GW)	eiPP	51 24
6.V	Hondo, Japon, NEIS: 31,0°N, 141,8°E, H=10h08m41,4s, h=19 km; mb=4,7, mPV=5,5 (Kraków)		
	KRA	Δ=84,5°. Traces	
	(SKM)	eiP	10 21 14
		Z: 0,8s; 0,028 μ	
		eiPcP	19
6.V	Hondo, Japon, NEIS: 31,0°N, 141,8°E,		

Date	Station	Phase	T.U. h m s
6.V	H=10h18m41,2s, h=18 km; mb=4,7, mPV=6,3(Kraków), MLH=6,3(Kraków)		
	KRA	Δ=84,5°	
	(SKM)	eP	10 30 51
		Pm	53,3
		Z: 1,0s; 0,210 μ	
		iPcP	57,8
		i	31 07,8
	(GW)	i	41 13
		eL	11 03,2
		Lm	06,7
		NE: 16s; 9,6 μ, 5,6 μ	
8.V	KRA	Traces	
	(SKM)	eP	02 12 46
		Z: 0,6s; 0,019 μ	
8.V	Aléoutiennes, Moskva: 50,2°N,180,0°, H=10h26m53s; mPV(SKM)=5,3, mPV=5,3(Kraków)		
	KRA	Δ=78,9°. Traces	
	(SKM)	eP	10 38 54
		Z: 0,9s; 0,026 μ	
8.V	Iles Loyauté, NEIS: 21,9°S, 170,5°E, H=20h34m37,9s, h=83 km; mb=5,3		
	KSP	Δ=144,8°	
		iPKP	20 54 04,1
9.V	Sumatra, NEIS: 4,6°S, 102,1°E, H=04h11m31,0s, h=34 km; mb=5,3, mPV=5,6(Kraków)		
	KRA	Δ=88,4°	
	(SKM)	eP	04 24 20
		Pm	22,8
		Z: 1,1s; 0,055 μ	
9.V	Iran, NEIS: 30,2°N, 52,0°E, H=18h01m45,6s, h=57 km; mb=4,9		
	KRA	Δ=31,0°	
	(SKM)	eP	18 08 01
		epP	15
9.V	Iles Kermadec, NEIS: 32,8°S, 179,2°W, H=18h35m05,0s, h=48 km; mb=5,6		
	WAR	Δ=157,5°	
	(GW)	eiPKIKP	18 54 51
	(SKD)	eipPKP	55 07
		$eiPKP_2$	28
		eiPP	58 56
		eiSKKS	19 05 48
	KRA	Δ=157,8°	
	(SKM)	eiPKIKP	18 54 55
		Z: 1,3s; 0,064 μ	

Date	Station	Phase	T.U. h m s	
9.V	KRA	e1PKP$_2$	18 55 28	
	(GW)	e1PP	59 09	
10.V	Chili, NEIS: 38,1°S, 73,1°W, H=14^{h}27^{m}40,5^s, h=16 km; mb=6,4, MLH=7,3(Kraków)			
	WAR	Δ=118,6°		
	(SKD)	e1(P)	14 43 01	
		e1PKIKP	46 33	
		e1	53	
		1PP	48 01	
		1	09	
		Z: 12^s; 37 μ		
		1	54	
		1	56 05	
		i	58 01	
	KRA	Δ=119,7°		
	(SKM)	e1PKP	14 46 30	C
		Z: 0,8^s; 0,032 μ		
		1	43	
	(GW)	1PP	48 10	
		1SKS	53 24	
		e1PKKP	58 02	
		1	15 01 04	
		Lm	48,9	
		NE: 18^s; 67 μ, 12 μ		
11.V	Iles Ryu-Kyu, NEIS: 27,8°N, 130,7°E, H=02^{h}24^{m}05,4^s, h=33 km; mb=4,8			
	KSP	Δ=82,7°		
		eP	02 36 28	
11.V	Iles Kouriles, Moskva: 49,6°N, 155,7°E, H=06^{h}56^{m}47^s; mPV(SKM)=5,9, mPV=6,1(Kraków), MLH=6,0(Kraków)			
	WAR	Δ=72,8°		
	(SKD)	e1(P)	07 08 03	
		e1	17 00	
		e1PS	18 23	
		eL	31,4	
		Lm	42 31	
		Z: 20^s; 16 μ		
	KRA	Δ=74,0°		
	(SKM)	eP	07 08 17	
		Pm	19,6	
		Z: 1,1^s; 0,165 μ		
		e1PcP	32	
	(GW)	eSKS	18 11	
		e1	32	
		Lm	46,3	
		NE: 15^s; 6,0 μ, 3,8 μ		

Date	Station	Phase	T.U. h m s	
11.V	Philippines, Moskva: 19,8°N, 121,6°E, H=14^{h}15^{m}58^s; mPV(SKM)=5,1, mPV=5,4(Kraków)			
	KRA	Δ=82,3°. Traces		
	(SKM)	eP	14 28 17	
		Z: 1,0^s; 0,032 μ		
11.V	Iles Kouriles, NEIS: 49,4°N, 156,1°E, H=20^{h}21^{m}54,6^s, h=61 km; mPV=5,4(Kraków)			
	KRA	Δ=74,3°. Traces		
	(SKM)	eP	20 33 26	
		Z: 0,9^s; 0,026 μ		
	NIE	Δ=74,6°		
		e1P	20 33 29	
		1PcP	44	
11.V	Iles Kouriles, NEIS: 49,4°N, 156,0°E, H=20^{h}35^{m}17,9^s, h=55 km; mPV=5,5(Kraków), 5,1(Niedzica)			
	KRA	Δ=74,2°		
	(SKM)	e1P	20 46 49	
		Z: 1,0^s; 0,041 μ		
		e1PcP	47 01	
	NIE	Δ=74,7°		
		e1P	20 46 53	
		Z: 0,9^s; 0,014 μ		
12.V	Iles Kouriles, Moskva: 49,3°N, 156,2°E, H=08^{h}31^{m}19^s; mPV(SKM)=5,2, mPV=5,5(Kraków)			
	KRA	Δ=74,4°. Traces		
	(SKM)	eP	08 42 52	
		Z: 1,2^s; 0,047 μ		
12.V	Iles Kouriles, Moskva: 49,4°N, 156,1°E, H=10^{h}11^{m}52^s; mPV(SKM)=5,7, mPV=5,3(Niedzica), 5,8(Kraków), MLH=5,3(Kraków)			
	KRA	Δ=74,3°		
	(SKM)	eP	10 23 25	C
		Z: 1,2^s; 0,118 μ		
		e1PcP	39,8	
	(GW)	Lm	11 00,8	
		NE: 12^s; 0,7 μ, 0,7 μ		
	NIE	Δ=74,7°		
		1P	10 23 29	
		Z: 1,0^s; 0,028 μ		
13.V	Grèce, BCIS: 38,2°N, 22,8°E, H=00^{h}22^{m}52^s; MLH=4,3(Skopje)			
	NIE	Δ=11,1°		
		eP	00 25 35	
		Pm	38,5	
		Z: 0,9^s; 0,009 μ		

International Seismological Centre

Date	Station	Phase	T.U. h m s	
13.V	Iles Tonga, NEIS: 21,4°S, 174,2°E, H=09^{h}34^{m}00,7^s, h=25 km; mb=5,0			
	KRA	Δ=145,1°		
	(SKM)	ePKP	09 53 47	
		Z: 0,7^s; 0,020 μ		
13.V	Iles Samoa, NEIS: 16,8°S, 171,9°W, H=21^{h}06^{m}50,4^s, h=34 km; mb=4,9			
	KRA	Δ=145,7°		
	(SKM)	1PKP	21 26 26,8	
		Z: 0,6^s; 0,039 μ		
	NIE	Δ=146,2°		
		e1PKP	21 26 27	
		Z: 1,0^s; 0,008 μ		
13.V	Détroit des Moluques, NEIS: 1,0°N, 126,1°E, H=21^{h}18^{m}41,3^s, h=36 km; mb=5,8, MLH=6,0(Kraków)			
	KRA	Δ=99,6°. Traces		
	(SKM)	eP	21 32 25	
		Pm	27,5	
		Z: 1,6^s; 0,10 μ		
		i	31,8	
	(GW)	1PP	36 33	
		e1SKS	43 04	
		Lm	22 19,7	
		NE: 16^s; 3,6 μ, 3,8 μ		
	WAR	Δ=101,2°		
	(SKD)	e1P	21 32 30	
		e1	42 54	
		Lm	22 18 06	
		Z: 24^s; 22 μ		
14.V	NIE			
		e1P	02 35 43,2	
		Z: 1,0^s; 0,011 μ		
14.V	Iles Fidji, NEIS: 24,9°S, 179,6°E, H=04^{h}35^{m}27,5^s, h=584 km; mb=4,7			
	NIE	Δ=150,9°. Traces		
		e1PKIKP	04 54 15,5	
14.V	Pruhonice: Iles Tonga			
	KRA			
	(SKM)	e1PKP	09 58 55	
	NIE			
		e1PKP	09 58 57,2	
		Z: 1,1^s; 0,008 μ		
		1	59 04	
		i	12	

Date	Station	Phase	T.U. h m s	
14.V	KRA			
	(SKM)	e1P	14 12 36,8	C
		Z: 1,3^s; 0,346 μ		
14.V	KRA	Traces		
	(SKM)	e1P	17 14 44,6	
		Z: 0,5^s; 0,020 μ		
14.V	Hindou-Kouch, NEIS: 36,0°N, 70,9°E, H=22^{h}23^{m}02,6^s, h=99 km; mb=5,5			
	NIE	Δ=38,8°		
		e1P	22 30 19	
		Pm	21,8	
		Z: 1,1^s; 0,055 μ		
		1pP	43,2	
		1sP	55,3	
	KRA	Δ=39,0°		
	(SKM)	e1P	22 30 28	
15.V	KRA			
	(SKM)	1P	13 22 00,4	
		Z: 0,6^s; 0,019 μ		
15.V	Iles Fidji, Moskva: 19,8°S, 177,3°W, H=18^{h}32^{m}37^s; mPV(SKM)=5,5			
	KRA	Δ=147,1°		
	(SKM)	ePKIKP	18 52 20	
		1PKHKP	21,7	
		Z: 0,7^s; 0,058 μ		
	NIE	Δ=147,5°		
		ePKIKP	18 52 22	
		1PKHKP	24	
		Z: 1,0^s; 0,037 μ		
		i	40,3	
15.V	Iles Andaman, NEIS: 12,1°N, 93,7°E, H=21^{h}07^{m}34,4^s, h=103 km; mb=5,0			
	NIE	Δ=70,1°		
		eP	21 18 38	
		Z: 0,9^s; 0,009 μ		
	KRA	Δ=70,4°		
	(SKM)	1P	21 18 38,5	
		Z: 0,7^s; 0,020 μ		
16.V	Mer du Japon, Moskva: 41,7°N, 136,0°E, H=01^{h}14^{m}11^s, h=20 km; mPV(SKM)=5,6, mPV=5,6 (Niedzica), 6,0(Kraków), MLH=5,4(Kraków)			
	NIE	Δ=73,3°		
		eP	01 25 40	
		Pm	44	
		Z: 0,9^s; 0,049 μ		

International Seismological Centre

Date	Station	Phase	T.U. h m s	
16.V	NIE	ipP	01 25 48,7	
(suite)		iPcP	51	
	KRA	Δ=73,0°		
	(SKM)	iP	01 25 40,3	C
		Z: 0,9s; 0,095 μ		
		ipP	47,6	
		iPcP	52,6	
	(GW)	ePP	28 29	
		eS	35 09	
		eL	59,5	
		Lm	02 08,9	
		NE: 10s; 0,7 μ, 0,9 μ		

16.V Açores, BCIS: 43,8°N, 29 3/4°W, H=02h 29m43s; MLH=5,2(Skopje), mPV=4,9(Kraków), 4,4(Niedzica)

	KRA	Δ=34,0°		
	(SKM)	eP	02 36 29	
		Z: 0,8s; 0,014 μ		
	NIE	Δ=34,4°		
		eiP	02 36 33	D
		Z: 1,0s; 0,008 μ		

16.V Iles Unimak, NEIS: 54,1°N, 163,1°E, H=07h57m47,5s, h=9 km; mb=5,4, mPV=5,2(Niedzica)

	KRA	Δ=71,9°		
	(SKM)	eP	08 09 36	C
		iPcP	57,0	
	NIE	Δ=72,1°		
		eP	08 09 41	
		Pm	45	
		Z: 0,9s; 0,019 μ		

16.V Açores, BCIS: 44,0°N, 29 1/2°W, H=17h 26m38s; mPV=4,5(Niedzica)

	NIE	Δ=34,1°		
		eiP	17 33 25	
		Z: 1,1s; 0,008 μ		

16.V Yougoslavie, BCIS: 45,6°N, 14,4°E, H=19h41m22s; MLV=3,7(Skopje)

	NIE	Δ=5,4°		
		eiPn	19 42 47	
		eiSn	43 52	
	KRA	Δ=5,6°		
	(SKM)	eSn	19 44 00	

17.V NIE

		iP	12 32 30,6	
		Z: 0,9s; 0,006 μ		

Date	Station	Phase	T.U. h m s	

17.V Iran, BCIS: 28,0°N, 57,6°E, H=16h19m 26s, h=105 km; MLH=5,3(Skopje)

	NIE	Δ=35,5°		
		eP	16 26 13	
		eipP	34	
		eisP	39	
	KRA	Δ=36,0°		
	(SKM)	iP	16 26 15,8	C
		Z: 0,7s; 0,037 μ		
	(GW)	i	32 08	

18.V NIE

		iP	02 53 41	
		Z: 0,8s; 0,008 μ		
		i	54 01,7	

18.V Iran, NEIS: 27,4°N, 57,9°E, H=14h 44m33,1s, h=66 km

	NIE	Δ=36,1°		
		eP	14 51 33	
	KRA	Δ=36,6°		
	(SKM)	eP	14 51 33,7	

18.V Péninsule de l'Alaska, Moskva: 63,0°N, 149,8°W, H=15h42m57s, h=110 km; mPV(SKM)= 5,8

	KRA	Δ=67,3°		
	(SKM)	eiP	15 53 40	
		Z: 1,3s; 0,054 μ		
		i	49,7	
		ipP	54 08	
	(GW)	ePP	57 57	
		eiS	16 02 22	
	NIE	Δ=67,9°		
		eP	15 53 45	C
		Z: 1,2s; 0,012 μ		
		isP	54 17,8	

18.V Chili, Moskva: 46,2°S, 78,1°W, H=16h 48m38s, M 6,5

	KRA	Δ=127,6°. Traces		
	(SKM)	ePKIKP	17 07 39	
		Z: 1,8s; 0,10 μ		

18.V Hindou-Kouch, Moskva: 36,3°N, 71,1°E, H=17h51m33s, h=100 km; mPV(SKM)=4,6

	NIE	Δ=38,7°		
		eP	17 58 49	
		Pm	53,9	
		Z: 0,9s; 0,022 μ		
		esP	59 22	

Date	Station	Phase	T.U. h m s	

18.V Iles Kouriles, Moskva: 45,3°N, 147,4°E H=22h34m22s, h=100 km; mPV(SKM)=5,4

	KRA	Δ=74,8°		
	(SKM)	iP	22 45 52,2	C
		Z: 1,1s; 0,110 μ		
		eipP	46 12	
		eisP	25	
	NIE	Δ=75,2°		
		iP	22 45 55,8	C
		Z: 1,0s; 0,031 μ		
		ipPcP	46 08,7	
		ipP	18,5	
		isP	31	

19.V KRA

	(SKM)	eP	00 13 38	
		i	50,7	

NIE

		eP	00 13 38	
		Pm	44,2	
		Z: 0,9s; 0,057 μ		
		i	49,3	

19.V Grèce, BCIS: 38,4°N, 22,4°E, H=03h 26m24s, h=40 km; MS=5,1(Athènes)

	NIE	Δ=10,8°		
		eP	03 29 03	
		i	14	
	KRA	Δ=11,5°		
	(SKM)	eP	03 29 04	
	(GW)	eL	32,5	

19.V Mer d'Arabie, NEIS: 21,0°N, 61,9°E, H=07h59m59,7s, h normale

	NIE	Δ=43,3°		
		eP	08 08 02	
		eipP	10	

19.V NIE

		eP	08 50 12	
		Z: 0,9s; 0,006 μ		
		i	26	

19.V Cachemire-Tibet, NEIS: 35,2°N,80,8°E, H=19h47m46,2s, h normale; mPV=5,6(Kraków)

	KRA	Δ=45,9°. Traces		
	(SKM)	eP	19 56 08	
		Z: 0,9s; 0,063 μ		
		ipP	57 55,1	
	(GW)	ei	20 06 27	

19.V Iles Kouriles, Moskva: 49,9°N,157,2°E.

19.V H=22h42m18s; mPV(SKM)=5,6, mPV=6,1 (Kraków)

	KRA	Δ=74,1°		
	(SKM)	iP	22 53 48,6	C
		Z: 0,9s; 0,131 μ		
		eiPcP	54 03	

20.V Iles Tonga, Moskva: 25,2°S, 178,6°W, H=14h31m35s; mPV(SKM)=5,6

	KRA	Δ=151,5°		
	(SKM)	ePKP	14 50 55	
		Z: 1,3s; 0,045 μ		
		i	51 01,8	
		m	03,0	
		Z: 1,0s; 0,264 μ		
		i	13,0	
	NIE	Δ=151,9°		
		ei(PKP)	14 50 56	C
		i	51 03,3	

20.V Philippines, Moskva: 9,8°N, 126,6°E, H=15h40m06s; mPV(SKM)=5,3 , mPV=5,1(Niedzica)

	NIE	Δ=93,1°		
		eP	15 53 18	
		Z: 0,8s; 0,008 μ		

20.V Mer Egée, NEIS: 40,3°N, 25,2°E, H=17h55m52,7s, h=32 km

	NIE	Δ=9,5°		
		eP	17 58 18	
		e	18 00 25	

20.V NIE

		eP	20 00 08	
		Pm	12,6	
		Z: 1,0s; 0,013 μ		

20.V NIE

		eiP	21 41 02,8	
		Z: 0,9s; 0,008 μ		

20.V Ile Sumbawa, NEIS: 9,3°S, 118,8°E, H=21h33m08,6s, h normale; mb=6,3

	NIE	Δ=102,5°		
		ePP	21 51 13	

21.V Birmanie, Moskva: 23,3°N, 94,3°E, H=03h16m15s; mPV(SKM)=5,7, mPV=5,9(Niedzica), 5,6(Kraków)

	NIE	Δ=62,4°		
		eiP	03 26 35	D
		Z: 0,8s; 0,090 μ		

International Seismological Centre

Date	Station	Phase	T.U. h m s
21.V	NIE	i	03 26 50,8
(suite)		m	55,4
		Z: 0,8^s; 0,060 μ	
	KRA	Δ=62,6^o	
	(SKM)	eiP	03 26 35
		Z: 0,8^s; 0,037 μ	
		ipP	46,5
		ei	29 10
		Z: 1,4^s; 0,073 μ	
21.V	NIE		
		eP	03 52 22
		Z: 0,9^s; 0,006 μ	

21.V Péninsule de l'Alaska, Moskva: 60,8^{o}N, 146,^{o}W, H=06^{h}34^{m}57^s, h=15 km; mPV(SKM)=5,4

	NIE	Δ=69,9^o	
		eP	06 46 07
		ipP	12,5

21.V Hondo, Japon, Moskva: 33,7^{o}N, 136,3^{o}E, H=06^{h}48^{m}46^s, h=430 km; mPV(SKM)=5,0

	KRA	Δ=79,6^o	
	(SKM)	iP	07 00 07,5
		Z: 1,0^s; 0,090 μ	
	NIE	Δ=79,8^o	
		iP	07 00 09,7 D
		Z: 1,0^s; 0,034 μ	
		iPcP	13,6
		i	25,6

21.V Pamir, Moskva: 37,8^{o}N, 72,2^{o}E, H=17^{h}26^{m}17^s, h=120 km; mPV(SKM)=4,6

	NIE	Δ=38,6^o	
		eiP	17 33 31
		Z: 0,9^s; 0,016 μ	
		i	38,5
	KRA	Δ=38,8^o. Traces	
	(SKM)	iP	17 33 31,1

22.V	NIE		
		iP	12 58 37,9 D
		Z: 0,9^s; 0,009 μ	
		i	46,1
		i	59 01,5
	KRA		
	(SKM)	eiP	12 58 51,1
		i	59 08,8
23.V	NIE		
		eiP	02 44 14,4
		Z: 0,8^s; 0,007 μ	

Date	Station	Phase	T.U. h m s
23.V	KRA	Traces	
	(SKM)	eP	06 22 00
	NIE		
		eiP	06 22 03,6
		Z: 0,9^s; 0,008 μ	

23.V Taiwan, Moskva: 23,0^{o}N, 122,6^{o}E, H=15^{h}43^{m}58^s; mPV(SKM)=5,6, mPV=5,6(Kraków), 5,3(Niedzica)

	KRA	Δ=80,5^o	
	(SKM)	iP	15 56 07,2
		Z: 0,9^s; 0,041 μ	
		ipP	18,3
	NIE	Δ=80,5^o	
		iP	15 56 08,5
		Z: 1,0^s; 0,017 μ	
		eipP	19,5
		m	20,2
		Z: 0,9^s; 0,023 μ	

23.V Taiwan, Moskva: 23,0^{o}N, 122,7^{o}E, H=16^{h}01^{m}54^s; mPV(SKM)=6,3, mPV=6,1 (Kraków, Niedzica), MLH=6,4(Kraków)

	WAR	Δ=81,6^o	
	(SKD)	eiP	16 13 59
		eiPP	17 07
		i	23 54
		Lm	45 31
		NE: 20^s; 40 μ, 45 μ	
	KRA	Δ=80,6^o	
	(SKM)	iP	16 14 04,2 D
		Pm	06,2
		Z: 0,9^s; 0,168 μ	
		iPcP	09,8
		ipP	15,2
	(GW)	eiPP	17 09
		iS	24 09
		eL	34,2
		Lm	47,8
		NE: 13^s; 11 μ, 4,7 μ	
	NIE	Δ=80,6^o	
		eiP	16 14 05,1 D
		Pm	07,6
		Z: 0,8^s; 0,105 μ	
		iPcP	10,7
		PcPm	13,5
		Z: 0,9^s; 0,115 μ	

23.V Philippines, Moskva: 14,1^{o}N, 120,8^{o}E, H=23^{h}16^{m}14^s; mPV(SKM)=5,4, mPV=5,0(Niedzica)

Date	Station	Phase	T.U. h m s
23.V	NIE	Δ=86,2^o	
		eP	23 28 53
		eiPcP	57,5
		m	58,3
		Z: 0,9^s; 0,009 μ	
		ipP	29 06,5
	KRA	Δ=86,2^o	
	(SKM)	eP	23 28 56

24.V Taiwan, Moskva: 24,9^{o}N, 122,9^{o}E, H=00^{h}55^{m}10^s; mPV(SKM)=5,1, mPV=5,4(Kraków), 4,9(Niedzica)

	KRA	Δ=79,2^o	
	(SKM)	eiP	01 07 13
		Z: 0,8^s; 0,032 μ	
	NIE	Δ=79,3^o	
		eP	01 07 14
		Z: 0,9^s; 0,009 μ	
		ePcP	23

24.V Iles Tonga, NEIS: 20,8^{o}S, 173,5^{o}W, H=01^{h}53^{m}41,6^s, h normale; mb=5,1

	NIE	Δ=149,6^o	
		ePKIKP	02 13 26
		iPKHKP	29,4
		m	32,5
		Z: 0,9^s; 0,023 μ	
		ipPKHKP	40,8
	KRA	Δ=149,2^o	
	(SKM)	eiPKHKP	02 13 27
		ipPKHKP	37,7

24.V	KRA	Traces	
	(SKM)	eiP	10 56 38,3
		Z: 0,7^s; 0,025 μ	
	NIE		
		eiP	10 56 39,4
		Z: 0,9^s; 0,046 μ	
		i	50,6

24.V Iles Kouriles, Moskva: 44,8^{o}N, 149,8^{o}E, H=22^{h}12^{m}06^s; mPV(SKM)=5,0, mPV=5,1(Niedzica)

	NIE	Δ=76,5^o	
		iP	22 23 55,1 D
		Z: 0,9^s; 0,013 μ	
		eiPcP	24 11,2

24.V	NIE		
		eP	23 30 18 D
		Z: 1,0^s; 0,007 μ	

24.V Iles Fidji, NEIS: 17,6^{o}S, 178,6^{o}W, H=23^{h}40^{m}55,5^s, h=574 km; mb=5,7

	KRA	Δ=144,6^o	
	(SKM)	iPKP	23 59 27,7 D
		Z: 0,9^s; 0,11 μ	
	NIE	Δ=145,0^o	
		iPKP	23 59 30,2
		i	35

25.V Mer d'Arabie, Moskva: 13,8^{o}N, 56,3^{o}E, H=01^{h}32^{m}32^s, mPV(SKM)=5,1

	NIE	Δ=46,0^o. Traces	
		eP	01 40 57

25.V Ile Kodiak, Moskva: 57,9^{o}N, 150,4^{o}W, H=15^{h}47^{m}28^s; mPV(SKM)=5,3, mPV=4,7(Niedzica)

	NIE	Δ=73,0^o	
		eiP	15 59 00
		Z: 1,0^s; 0,006 μ	

25.V Ile Kodiak, Moskva: 57,6^{o}N, 150,7^{o}W, H=19^{h}04^{m}34^s, h=20 km; mPV(SKM)=6,1, mPV=5,8(Kraków), 5,5(Niedzica)

	KRA	Δ=72,7^o	
	(Ch)	iP	19 16 00,5
		Z: 1,6^s; 0,14 μ	
		eipP	09,5
		ei	32,0
	(GW)	ei(PP)	19 09
		iS	25 23
	NIE	Δ=73,3^o	
		iP	19 16 05,3 C
		Z: 1,0^s; 0,039 μ	
		iPcP	23,4

26.V Iles Salomon, Moskva: 6,6^{o}S, 155,5^{o}E, H=04^{h}36^{m}44^s; mPV(SKM)=5,7

	KRA	Δ=123,1^o. Traces	
	(SKM)	ePKP	04 55 37
	NIE	Δ=123,3^o	
		ePKP	04 55 38
		i	56 04,2

26.V Océan Atlantique, NEIS: 35,8^{o}N, 17,6^{o}W, H=09^{h}11^{m}50,9^s, h normale; MS=8,0, mPV=6,6(Kraków)

	KRA	Δ=30,5^o	
	(Ch)	iP	09 18 04
		Z: 2,0^s; 1,7 μ	
		ipP	12,6
		i	21 49,5
	(SKM)	iL	28 40,8

Date	Station	Phase	T.U. h m s	
26.V	KRA	Lm	09 29 51,3	
(suite)		NEZ: $14,5^s$; 43 μ, 9 μ, 14 μ		
		Lm	31,3	
		NEZ: 14^s; 36 μ, 17 μ, 38 μ		
26.V	Chine, Moskva: 40,2°N, 78,1°E, H=$18^h01^m32^s$; mPV(SKM)=5,4, mPV=5,2(Kraków), 5,0 (Niedzica)			
	NIE	Δ=41,1°		
		eP	18 09 15	D
		m	18,6	
		Z: $0,9^s$; 0,019 μ		
	KRA	Δ=41,3°		
	(SKM)	eP	18 09 15	
		Pm	18,0	
		Z: $0,7^s$; 0,025 μ		
		epP	25	
		ePP	10 59	
26,V	Roumanie, BCIS: 45,7°N, 27,1°E, H=$18^h14^m23^s$; mb=4,2(Demirkoy)			
	NIE	Δ=5,7°		
		iPn	18 15 51,8	
		Z: $0,8^s$; 0,021 μ		
26.V	Hokkaido, Japon, Moskva: 43,6°N, 145,0°E, H=$18^h23^m10^s$, h=10 km; mPV(SKM)=5,0, mPV=5,9(Kraków), 5,3(Niedzica)			
	KRA	Δ=75,3°		
	(SKM)	eiP	18 34 46	C
		Z: $0,6^s$; 0,062 μ		
		i	35 09	
	NIE	Δ=75,7°		
		iP	18 34 48,7	
		Z: $0,9^s$; 0,023 μ		
26.V	Océan Atlantique, NEIS: 36,3°N, 17,6°W H=$20^h19^m36,2^s$, h normale; mb=5,7, mPV=5,3 (Kraków), 5,2(Niedzica)			
	KRA	Δ=30,2°		
	(SKM)	eiP	20 25 46	C
		Z: $1,0^s$; 0,054 μ		
		ipP	59	
	(GW)	ePP	26 41	
		ePcP	28 46	
		eL	36,0	
	NIE	Δ=30,3°		
		eiP	20 25 48	C
		Z: $1,2^s$; 0,048 μ		
26.V	NIE			
		iP	22 03 11,5	C

Date	Station	Phase	T.U. h m s	
26.V	NIE	Z: $0,9^s$; 0,025 μ		
		i	22 03 25,6	
		i	05 06,7	
	KRA			
	(SKM)	eiP	22 03 21,2	
		Z: $0,6^s$; 0,027 μ		
		ei	36	
27.V	Ryu-Kyu, Moskva: 28,3°N, 129,4°E, H=$00^h36^m25^s$, mPV(SKM)=5,1, mPV=4,9(Niedzica)			
	NIE	Δ=80,4°		
		eP	00 48 30	D
		Z: $0,9^s$; 0,008 μ		
		isP	48,5	
		Z: $0,9^s$; 0,014 μ		
27.V	Iles Kouriles, NEIS: 44,2°N,148,3°E, H=$06^h41^m18,9^s$, h normale; mb=4,7, mPV=5,6 (Kraków, Niedzica)			
	KRA	Δ=76,1°		
	(SKM)	eiP	06 53 04	
		Z: $1,0^s$; 0,054 μ		
	NIE	Δ=76,5°		
		eiP	06 53 06	C
		Pm	09	
		Z: $0,9^s$; 0,053 μ		
		ipP	16,5	
		i	30	
27.V	Iles Tonga, Moskva: 21,1°S,175,8°W, H=$09^h11^m22^s$; mPV(SKM)=5,3			
	NIE	Δ=149,2°		
		eiPKIKP	09 31 03	
		iPKHKP	07,3	
		Z: $0,9^s$; 0,017 μ		
		$eiPKP_2$	12	
		ipPKHKP	27	
		i	48	
27.V	Indonésie, Moskva: 0,7°N, 122,9°E, H=$10^h18^m35^s$, h=180 km; mPV(SKM)=6,2			
	KRA	Δ=97,8°		
	(SKM)	eiP	10 32 03	
		Z: $0,8^s$; 0,037 μ		
	(GW)	eS	43 23	
	NIE	Δ=97,7°		
		eiP	10 32 03	D
		Z: $1,0^s$; 0,014 μ		
27.V	NIE			
		iP	10 35 09	

Date	Station	Phase	T.U. h m s	
28.V	Iles Tonga, Moskva: 15,7°S, 172,6°W, H=$02^h55^m22^s$; M=5,3			
	KRA	Δ=144,8°		
	(SKM)	eiPKP	03 14 58	D
	NIE	Δ=145,1°		
		iPKP	03 15 00,5	
		PKPm	03,4	
		Z: $0,9^s$; 0,029 μ		
		i	06,1	
		i	18,2	
28.V	Chili, Moskva: 38,1°S, 74,5°W, H=$13^h57^m35^s$; M=5,7			
	KRA	Δ=120,5°		
		ePKIKP	14 16 23	
		ePP	17 50	
	NIE	Δ=120,5°		
		iPKIKP	14 16 24,6	C
		Z: $0,8^s$; 0,012 μ		
28.V	Iles Kouriles, Moskva: 46,7°N,153,5°E, H=$22^h54^m51^s$, h=40 km; mPV(SKM)=5,0, mPV=5,0 (Niedzica)			
	NIE	Δ=76,2°		
		eP	23 06 36	
		Z: $0,8^s$; 0,010 μ		
		eiPcP	49	
29.V	Iles Fidji, Moskva: 21,9°S, 179,6°E, H=$06^h42^m13^s$, h=600 km; mPV(SKM)=5,8			
	KRA	Δ=147,9°		
	(SKM)	ePKIKP	07 00 47	D
		eiPKHKP	52	
		Z: $1,0^s$; 0,300 μ		
		i	55,7	
	NIE	Δ=148,2°		
		eiPKIKP	07 00 49	
		Z: $0,9^s$; 0,023 μ		
29.V	Japon, Moskva: 33,4°N, 137,0°E, H=$15^h44^m47^s$, h=390 km; mPV(SKM)=5,2			
	KRA	Δ=80,2°		
	(SKM)	iP	15 56 16,6	
29.V	KRA			
	(SKM)	iP	15 57 43,1	D
		Z: $0,8^s$; 0,046 μ		
		ei	48,6	
		i	58 10,1	
29.V	Hondo, Japon, Moskva: 37,1°N, 138,6°E, H=$19^h07^m55^s$; mPV(SKM)=4,9, mPV=5,3(Kraków, Niedzica)			

Date	Station	Phase	T.U. h m s	
29.V	KRA	Δ=77,9°		
	(SKM)	eP	19 19 50	
		Z: $0,9^s$; 0,026 μ		
	NIE	Δ=78,2°		
		eiP	19 19 53	
		Z: $1,0^s$; 0,015 μ		
		i	57,4	
29.V	Portugal, BCIS: 35,7°N, 17,5°W, H=$22^h58^m39^s$; MLH=4,9(Moxa)			
	KRA	Δ=30,5°		
	(SKM)	eP	23 04 50	
	NIE	Δ=30,6°		
		eP	23 04 55	
		Pm	57,1	
		Z: $1,1^s$; 0,008 μ		
30.V	NIE			
		eiP	01 35 50	
		Z: $1,0^s$; 0,009 μ		
30.V	Mer d'Okhotsk, Moskva: 46,3°N, 149,8°E, H=$04^h07^m28^s$, h=190 km; mPV (SKM)=5,0			
	NIE	Δ=75,3°		
		eiP	04 18 52,6	
		Z: $0,9^s$; 0,011 μ		
		ePcP	19 05	
30.V	NIE			
		iP	13 28 09,9	
		Z: $0,9^s$; 0,013 μ		
		i	21,8	
		Z: $0,9^s$; 0,031 μ		
30.V	Taiwan, Moskva: 22,9°N, 123,1°E, H=$13^h36^m57^s$; mPV(SKM)=5,2			
	NIE	Δ=80,9°. Traces		
		eP	13 49 13	
30.V	Taiwan, Moskva: 23,2°N, 122,8°E, H=$14^h14^m44^s$; mPV(SKM)=5,4, mPV=5,3 (Niedzica)			
	NIE	Δ=80,5°		
		eP	14 26 54,3	
		Z: $0,9^s$; 0,006 μ		
		i	27 03,4	
		Z: $0,9^s$; 0,025 μ		
30.V	Birmanie, Moskva: 26,5°N, 97,2°E, H=$17^h44^m59^s$, h=55 km; mPV(SKM)=6,0, mPV=5,6(Niedzica)			

International Seismological Centre

Date	Station	Phase	T.U. h m s	
30.V (suite)	NIE	Δ=62,1°		
		eP	17 55 16	
		Pm	19,9	
		Z: 1,0s; 0,048 μ		
	KRA	Δ=62,2°		
	(SKM)	e1P	17 55 16	
	(GW)	ePP	57 31	
		e1S	18 03 38	
30.V	KRA			
	(SKM)	e1P	18 09 02,0	
		e1	12,5	
	NIE			
		eP	18 09 02,5	
		i	17,8	

30.V Japon, Moskva: 43,1°N, 142,4°E, H=21h57m31s, h=130 km; mPV(SKM)=5,0
NIE Δ=75,0°
e1P 22 09 00
Pm 08,6
Z: 0,9s; 0,019 μ

31.V NIE
1P 07 38 55,3
Z: 0,9s; 0,014 μ

31.V Philippines, Moskva: 8,2°N, 123,0°E, H=07h42m59s; mPV(SKM)=5,5
NIE Δ=92,0°. Traces
eP 07 56 07

1975 — JUIN — 1975

1.VI Philippines, Moskva: 18,9°N, 121,1°E, H=01h39m49s; mPV(SKM)=5,2
NIE Δ=82,7°
eP 01 52 10

2.VI Mer Egée, BCIS: 36,5°N, 26,6°E, H=03h19m07s; ML=4,3(Athènes)
NIE Δ=13,4°
eP 03 22 16
KRA Δ=14,1°
(SKM) e1(P) 03 22 37
Z: 0,9s; 0,026 μ
(GW) e 24 38

2.VI Nouvelles Hébrides, Moskva: 20,7°S, 173,1°E, H=19h32m52s; mPV(SKM)=5,3
NIE Δ=144,3°
ePKP 19 52 27
i 33,7
m 35,5
Z: 0,9s; 0,014 μ
i 43,2
KRA Δ=144,0°
(SKM) ePKP 19 52 28

3.VI Birmanie, Moskva: 26,3°N, 97,1°E, H=00h37m39s; mPV(SKM)=5,4, mPV=5,6(Kraków)
NIE Δ=62,1°
eP 00 47 59
i 48 13,5

3.VI KRA Δ=62,3°
(SKM) eP 00 47 59
Pm 48 01,2
Z: 1,9s; 0,096 μ

3.VI Birmanie, NEIS: 26,4°N, 97,1°E, H=00h59m11,3s; h=37 km; mb=4,8
NIE Δ=62,1°
eP 01 09 30
e1pP 37

3.VI Birmanie, Moskva: 26,3°N, 97,1°E, H=03h23m36s; mPV(SKM)=5,6, mPV=5,5(Kraków)
KRA Δ=62,3°
(SKM) e1P 03 33 56
Z: 1,3s; 0,054 μ
e1 34 10

3.VI Philippines, Moskva: 10,4°N, 126,2°E, H=05h21m09s; mPV(SKM)=5,5, mPV=5,5(Kraków), 5,1(Niedzica)
KRA Δ=92,4°
(SKM) 1P 05 34 17,0 C
Z: 1,0s; 0,03 μ
NIE Δ=92,4°
1P 05 34 17,9
Z: 1,1s; 0,012 μ
1PcP 22,1

3.VI KRA
(SKM) 1P 14 32 37,0 D
Z: 1,0s; 0,120 μ
e1 46,0

NIE
1P 14 32 39,8 C
Z: 1,0s; 0,077 μ
i 45,8
m 49,1
Z: 1,0s; 0,028 μ
i 33 04,5

3.VI KRA
(SKM) e1 14 52 36,8 C
Pm 39,3
Z: 1,3s; 0,182 μ

NIE
1P 14 52 40,0 C
Z: 1,3s; 0,064 μ

3.VI Philippines, Moskva: 10,8°N, 126,0°E, H=18h08m26s; mPV(SKM)=5,8, mPV=6,1(Kraków)
KRA Δ=92,0°. Traces
(SKM) eP 18 21 33
Pm 35,7
Z: 0,7s; 0,19 μ
e1 22 02,6
(GW) eSKS 32 06
e1S 36

4.VI Cachemire-Tibet, NEIS: 35,9°N, 79,8°E, H=02h24m32,9s, h=33 km; mb=5,7, mPV=6,1 (Kraków), MLH=5,9(Kraków)
KRA Δ=44,9°
(SKM) e1P 02 32 46,1
Pm 53,8
Z: 0,7s; 0,14 μ
i 33 03,8
(GW) e1PP 34 32,8
e1S 39 23,8
Lm 50
NE: 9,0s; 6,6 μ, 2,4 μ
NIE Δ=44,7°
e1P 02 32 49,5

4.VI Nouvelles Hébrides, Moskva: 21,4°S, 170,5°E, H=04h32m24s; mPV(SKM)=5,4
KSP Δ=144,3°
ePKP 04 52 01

5.VI Pérou, NEIS: 13,7°S, 76,1°W, H=03h32m42,8s, h=35 km; mb=5,5

5.VI KRA Δ=104,2°
(Ch) ePP 03 50 57

5.VI Chine, Moskva: 43,3°N, 83,6°E, H=06h43m18s; mPV(SKM)=4,8
KRA Δ=43,1°
(Ch) e1P 06 51 16

5.VI Hindou-Kouch, Moskva: 35,8°N, 71,4°E, H=19h28m44s, h=90 km
NIE Δ=39,2°
eP 19 36 12
Z: 0,9s; 0,008 μ

6.VI Région des Iles Fidji, NEIS: 20,6°S, 179,1°W, H=01h08m40,8s, h=655 km; mb=5,9
KRA Δ=147,2°
(SKM) ePKHKP 01 27 09,6 D
Z: 1,0s; 0,060 μ
iPKIKP 13,5
PKIKPm 14,3
Z: 0,6s; 0,232 μ
iPKP2 17,2
i 29 43,3
NIE Δ=147,6°
iPKHKP 01 27 11 D
Z: 1,0s; 0,020 μ
iPKIKP 14,6
PKIKPm 16
Z: 0,9s; 0,200 μ
iPKP2 20

6.VI Nouvelle Irlande, NEIS: 4,5°S, 153,5°E, H=05h18m52,9s, h normale; mb=6,0
NIE Δ=120,4°
ePKP 05 37 41
i 55,5

6.VI Iles Fidji, NEIS: 15,6°S, 177,8°W, H=05h47m34,5s, h=419 km; mb=5,4
KRA Δ=143,0°
(SKM) e1PKIKP 06 06 17,1 D
Z: 0,8s; 0,046 μ
i 24,0
NIE Δ=143,4°
iPKIKP 06 06 18,1 D
PKIKPm 20,5
Z: 0,9s; 0,070 μ

6.VI
NIE
e1P 08 01 08,5
i 31,5

International Seismological Centre

International Seismological Centre

Date	Station	Phase	T.U. h m s	
6.VI	NIE			
		eiP	11 00 04,2	
		Pm	05,1	
		Z: 0,9^s; 0,006 μ		
		e	30	
6.VI	Iles Kouriles, NEIS: 23,4°N, 126,6°E, H=15^{h}49^{m}24,9^s, h=16 km; mb=5,6, mPV=5,7 (Kraków), 5,2(Niedzica)			
	KRA	Δ=82,5°		
	(SKM)	iP	16 01 48,0	
		Z: 1,4^s; 0,094 μ		
		i	02 02,2	
		iPP	04 57,7	
	NIE	Δ=82,6°		
		iP	16 01 48,8	D
		Pm	53	
		Z: 1,2^s; 0,022 μ		
		i	02 03	
		i	11,6	
7.VI	Californie, Moskva: 40,9°N, 124,3°W, H=08^{h}46^{m}20^s; mPV(SKM)=5,6, mPV=6,0(Kraków), 5,6(Niedzica), MLH=5,6(Kraków)			
	KRA	Δ=84,4°		
	(SKM)	iP	08 58 54,8	
		Z: 1,0^s; 0,11 μ		
		i	59 15,0	
	(GW)	i	09 07 33	
		eiSKS	09 17	
		eL	35,2	
		Lm	38,8	
		NE: 15^s; 1,7 μ, 1,1 μ		
	NIE	Δ=85,0°		
		iP	08 58 59,6	
		Z: 0,9^s; 0,047 μ		
7.VI	Kamtchatka, NEIS: 51,3°N, 158,3°E, H=15^{h}12^{m}48,7^s, h=54 km; mb=5,2, mPV=5,6 (Kraków), 5,4(Niedzica)			
	KRA	Δ=73,2°		
	(SKM)	iP	15 24 14,1	
		Z: 0,6^s; 0,031 μ		
	NIE	Δ=73,7°		
		eP	15 24 17	C
		Z: 0,9^s; 0,029 μ		
		i	24	
8.VI	URSS, Semipalatinsk, BCIS: 49,8°N, 78,7°E, H=03^{h}27^{m}00^s; mPV=5,5(Moxa), 5,4 (Kraków)			
8.VI	NIE	Δ=37,1°		
		iP	03 34 09	
		i	16,6	
		i	30	
		iPP	35 32,9	
	KRA	Δ=37,1°		
	(SKM)	eiP	03 34 06,9	C
		Pm	08,2	
		Z: 0,9^s; 0,047 μ		
8.VI	Mer Méditerranée, Moskva: 34,6°N, 23,7°E, H=17^{h}22^{m}27^s; mPV(SKM)=4,9			
	KSP	Δ=17,1°		
		eiP	17 26 27,1	
9.VI	Région frontière Afghanistan-URSS, NEIS: 38,8°N, 70,3°E, H=18^{h}36^{m}47,6^s, h=21 km; mb=5,3, mPV=5,5(Kraków), 5,1 (Niedzica)			
	KRA	Δ=37,0°		
	(SKM)	eiP	18 43 56,3	
		Z: 0,6^s; 0,035 μ		
		ipP	44 00,3	
	NIE	Δ=37,2°		
		iP	18 43 58,4	
		Z: 0,9^s; 0,017 μ		
		eipP	44 05	
		eisP	07	
10.VI	Taiwan, NEIS: 22,7°N, 122,7°E, H=03^{h}30^{m}54,8^s, h normale; mb=5,2, mPV=5,5 (Kraków), 5,2(Niedzica)			
	KRA	Δ=80,8°		
	(SKM)	iP	03 43 05,5	C
		Z: 0,7^s; 0,029 μ		
		eipP	19	
	NIE	Δ=80,8°		
		iP	03 43 08,3	C
		Z: 0,9^s; 0,017 μ		
		eiPcP	14	
10.VI	Açores, NEIS: 40,4°N, 29,4°W, H=06^{h}04^{m}48,0^s, h normale; mb=5,1, mPV=5,4(Kraków), 4,7(Niedzica)			
	KRA	Δ=35,5°		
	(SKM)	eP	06 11 42	
		Pm	48	
		Z: 1,1^s; 0,055 μ		
		eipP	53	
	NIE	Δ=35,8°		
10.VI	NIE (suite)	eiP	06 11 50	
		Z: 1,0^s; 0,010 μ		
		eipP	12 04	
10.VI	Açores, NEIS: 40,2°N, 29,4°W, H=07^{h}28^{m}32,4^s, h normale; mb=4,5			
	KRA	Δ=35,5°. Traces		
	(SKM)	eP	07 35 27	
10.VI	Acores, NEIS: 40,3°N, 29,5°W, H=08^{h}52^{m}19,3^s, h normale; mb=4,7; mPV=4,5(Niedzica)			
	KRA	Δ=35,5°. Traces		
	(SKM)	eP	08 59 15	
	NIE	Δ=35,9°		
		eP	08 59 20	
		Z: 0,9^s; 0,006 μ		
		eipP	31	
10.VI	Iles Fidji, NEIS: 17,9°S, 178,3°W, H=09^{h}00^{m}19,2^s, h=589 km; mb=5,6			
	KRA	Δ=145,0°		
	(SKM)	eiPKP	09 18 51	
		Z: 0,9^s; 0,195 μ		
		i	55,0	
		ipPKP	19 03,5	
	NIE	Δ=145,4°		
		eiPKP	09 18 59	
10.VI	Nouvelle Zélande, NEIS: 40,3°S, 175,9°E, H=10^{h}11^{m}18,6^s, h normale; mb=5,6			
	NIE	Δ=160,6°		
		eiPKIKP	10 31 13,9	
		Z: 1,4^s; 0,045 μ		
		i	33,4	
		iPKP$_2$	56	
	KRA	Δ=160,6°		
	(SKM)	iPKP$_2$	10 31 55,2	
		Z: 0,9^s; 0,032 μ		
		isPKP$_2$	32 10,6	
		i	17,9	
10.VI	Inde-Chine, NEIS: 28,2°N, 95,9°E, H=11^{h}50^{m}09,1^s, h=26 km; mb=5,1, mPV=5,1 (Niedzica)			
	NIE	Δ=60,1°		
		eiP	12 00 16	
		Z: 0,9^s; 0,014 μ		
		epP	27	
		i	35,3	
10.VI	Iles Kouriles, NEIS: 43,3°N, 147,0°E, H=13^{h}47^{m}21,7^s, h normale; ms=7,1, mPV=5,8(Kraków), MLH=7,1(Kraków)			
	KRA	Δ=76,4°		
	(SKM)	eP	13 59 06	
		Pm	11,2	
		Z: 1,7^s; 0,14 μ		
		iPcP	21,1	
		i	38,1	
	(GW)	iSKS	14 09 08	
		iPS	36	
		eiL	33,7	
		Lm	37,5	
		NEZ: 15^s; 66 μ, 44 μ, 6,4 μ		
10.VI	Iles Kouriles, NEIS: 43,3°N, 147,8°E, H=14^{h}11^{m}19,1^s, h normale; mb=5,5, mPV=5,8 (Kraków)			
	KRA	Δ=76,7°		
	(SKM)	eiP	14 23 07	
		Pm	10,8	
		Z: 1,2^s; 0,10 μ		
		iPcP	16,6	
		isP	22,2	
10.VI	Iles Kouriles, NEIS: 43,0°N, 147,6°E, H=14^{h}18^{m}35,4^s, h normale; mb=5,5, mPV=5,1 (Kraków)			
	KRA	Δ=76,9°		
	(SKM)	eiP	14 30 24	C
		Pm	26,2	
		Z: 1,4^s; 0,021 μ		
		iPcP	35,6	
		i	51,5	
10.VI	Iles Kouriles, NEIS: 43,4°N, 147,6°E, H=14^{h}29^{m}22,5^s, h normale; mb=4,9			
	KRA	Δ=76,7°		
	(SKM)	iP	14 41 12,1	
		i	32,8	
10.VI	Iles Kouriles, NEIS: 43,4°N, 147,8°E, H=14^{h}37^{m}49,5^s, h normale; mb=5,5, mPV=5,2 (Kraków)			
	KRA	Δ=76,7°		
	(SKM)	eP	14 49 37	C
		Z: 0,9^s; 0,019 μ		
		iPcP	49,1	
10.VI	NIE			
		eP	14 59 09	C
		Z: 1,7^s; 0,046 μ		
		i	20,6	

Date	Station	Phase	T.U. h m s	
10.VI	Iles Kouriles, NEIS: 43,8°N,147,3°E, H=14h49m22,7s, h normale; mb=5,2, mPV=4,9 (Kraków)			
	KRA	Δ=76,5°		
	(SKM)	iP	15 01 07,4	
		Pm	09,5	
		Z: 1,1s; 0,096 μ		
		iPcP	19,5	
		i	27,8	
10.VI	Iles Kouriles, NEIS: 43,3°N, 147,2°E H=14h58m57,7s, h normale; mb=5,6, mPV=5,5 (Kraków)			
	KRA	Δ=76,7°		
	(SKM)	eiP	15 10 45	C
		Pm	49,1	
		Z: 1,0s; 0,037 μ		
		iPcP	53,0	
		isP	11 01,0	
10.VI	Iles Kouriles, NEIS: 43,2°N,147,2°E, H=15h21m17,9s, h normale; mb=5,8, mPV=5,3 (Kraków)			
	KRA	Δ=76,7°		
	(SKM)	iP	15 33 05,5	C
		Z: 0,9s; 0,024 μ		
10.VI	Iles Kouriles, NEIS: 43,3°N,147,4°E, H=15h51m09,2s, h=29 km; mb=5,3, mPV=5,0 (Kraków), 5,6(Niedzica)			
	KRA	Δ=76,5°		
	(SKM)	eiP	16 02 56,8	C
		Z: 1,1s; 0,012 μ		
		ipP	03 04,6	
	NIE	Δ=76,9°		
		iP	16 03 00,5	
		Z: 1,0s; 0,047 μ		
		isP	12	
10.VI	Iles Kouriles, Moskva: 43,2°N, 147,8°E, H=16h14m39s; mPV(SKM)=5,5, mPV=5,6(Kraków), 5,2(Niedzica)			
	KRA	Δ=76,7°		
	(SKM)	iP	16 26 32,8	D
		Pm	35,0	
		Z: 1,1s; 0,062 μ		
	NIE	Δ=77,1°		
		eiP	16 26 36	
		Z: 1,1s; 0,020 μ		
		i	28 30	

Date	Station	Phase	T.U. h m s	
10.VI	Iles Kouriles, Moskva: 44,8°N, 147,1°E, H=16h20m43s; mPV(SKM)=5,3, mPV=5,3(Kraków), 5,4(Niedzica)			
	KRA	Δ=75,2°		
	(SKM)	iP	16 32 22,9	
		Z: 1,0s; 0,03 μ		
		iPcP	36,5	
	NIE	Δ=75,5°		
		eiP	16 32 26	
		Z: 0,9s; 0,027 μ		
		ipP	37,5	
10.VI	Iles Kouriles, Moskva: 42,8°N, 148,6°E, H=16h23m50s; mPV(SKM)=5,3, mPV=5,5(Kraków), 5,7(Niedzica)			
	KRA	Δ=77,4°		
	(SKM)	iP	16 35 43,4	
		Z: 0,7s; 0,029 μ		
		iPcP	55,0	
	NIE	Δ=77,8°		
		iP	16 35 46,4	
		Z: 0,9s; 0,064 μ		
		iPcP	56	
		ipP	57,5	
10.VI	Mer d'Okhotsk, Moskva: 45,2°N, 146,8°E, H=18h26m56s, h=190 km; mPV(SKM)=4,7			
	NIE	Δ=75,1°		
		iP	18 38 20,8	
		Pm	23,2	
		Z: 0,9s; 0,010 μ		
		eiPcP	30	
10.VI	Iles Kouriles, Moskva: 44,4°N, 147,1°E, H=18h57m53s, h=100 km; mPV(SKM)=5,0			
	KRA	Δ=75,5°		
	(SKM)	eiP	19 09 26,9	
		Z: 1,4s; 0,073 μ		
		eiPcP	33	
	NIE	Δ=75,9°		
		eiP	19 09 29,7	
		Z: 1,0s; 0,006 μ		
		eiPcP	43	
10.VI	Iles Kouriles, Moskva: 43,5°N, 147,7°E, H=19h06m19s; mPV(SKM)=5,3, mPV=5,7(Kraków), 5,3(Niedzica)			
	KRA	Δ=76,5°		
	(SKM)	iP	19 18 07,6	
		Z: 0,9s; 0,063 μ		
		i	11,4	
		eiPcP	19,6	

Date	Station	Phase	T.U. h m s	
10.VI (suite)	NIE	Δ=76,9°		
		iP	19 18 11,6	
		Z: 1,1s; 0,028 μ		
		iPcP	26,6	
10.VI	Mer d'Okhotsk, Moskva: 45,2°N, 146,4°E, H=20h32m59s; mPV=5,3(Kraków), 5,2 (Niedzica)			
	KRA	Δ=74,5°. Traces		
	(SKM)	eiP	20 44 21	
		Z: 0,9s; 0,026 μ		
	NIE	Δ=74,9°		
		eP	20 44 24	
		Z: 0,9s; 0,016 μ		
10.VI	Iles Kouriles, Moskva: 43,5°N, 147,9°E, H=20h45m07s; mPV(SKM)=5,1, mPV=5,5 (Kraków), 5,2(Niedzica)			
	KRA	Δ=76,6°		
	(SKM)	eP	20 56 58	
		Pm	57 14,1	
		Z: 0,9s; 0,037 μ		
		i	15,0	
	NIE	Δ=76,9°		
		eP	20 57 00	
		Pm	04,6	
		Z: 0,9s; 0,017 μ		
		eiPcP	13,6	
10.VI	Iles Kouriles, Moskva: 44,3°N, 147,5°E, H=22h14m23s; mPV(SKM)=5,2, mPV=5,5(Kraków), 4,8(Niedzica)			
	KRA	Δ=75,7°		
	(SKM)	eP	22 26 06	
		Z: 1,3s; 0,054 μ		
		iPcP	14,3	
	(GW)	eS	36 00	
		eL	23 02,8	
	NIE	Δ=76,1°		
		eiP	22 26 09	
		Z: 1,1s; 0,009 μ		
		iPcP	21,1	
10.VI	Mer d'Okhotsk, Moskva: 45,0°N, 146,9°E, H=23h03m27s, h=140 km; mPV(SKM)=4,8			
	NIE	Δ=75,3°		
		eP	23 14 58	
		iPcP	15 10,9	
10.VI	Iles Kouriles, NEIS: 43,2°N,147,6°E, H=23h37m41,9s, h normale; mb=5,0, mPV=5,6 (Kraków), 5,1(Niedzica)			

Date	Station	Phase	T.U. h m s	
10.VI	KRA	Δ=76,7°		
	(SKM)	eiP	23 49 29,7	
		Z: 1,3s; 0,064 μ		
	NIE	Δ=77,1°		
		eP	23 49 33	
		Pm	35	
		Z: 1,2s; 0,020 μ		
		i	38	
		ePcP	46	
11.VI	Hokkaido, Japon, Moskva: 43,1°N, 147,4°E, H=00h17m41s; mPV(SKM)=5,2			
	NIE	Δ=77,1°		
		iP	00 29 33	
		eiPcP	44	
11.VI	Hokkaido, Japon, Moskva: 43,0°N, 147,9°E, H=01h26m10s; mPV(SKM)=4,9			
	NIE	Δ=77,4°		
		eP	01 38 04	
11.VI	NIE	Traces		
		iP	02 10 13,5	
		Z: 0,9s; 0,008 μ		
11.VI	Iles Kouriles, NEIS: 43,0°N,147,7°E, H=05h21m15,6s, h=38 km; mb=5,1, mPV=5,6 (Kraków), 5,4(Niedzica)			
	KRA	Δ=76,9°		
	(SKM)	iP	05 33 04,4	C
		Z: 0,9s; 0,042 μ		
	NIE	Δ=77,3°		
		iP	05 33 07,6	C
		Z: 0,9s; 0,030 μ		
		eiPcP	17	
11.VI	Iles Kouriles, Moskva: 43,4°N, 147,8°E, H=06h31m56s; mPV(SKM)=5,1, mPV=5,2(Niedzica)			
	KRA	Δ=76,7°		
	(SKM)	eP	06 43 46	
		iPcP	56,1	
	NIE	Δ=77,0°		
		eiP	06 43 50	
		Pm	53,4	
		Z: 0,9s; 0,019 μ		
		ipP	44 03,8	
11.VI	Iles Kouriles, NEIS: 43,2°N,147,7°E, H=14h20m10,8s, h normale; mb=5,2			
	KSP	Δ=77,2°		
		eP	14 32 04	

International Seismological Centre

Date	Station	Phase	T.U. h m s	

11.VI Iles Kouriles, Moskva: 43,4°N, 147,9°E, H=15h32m34s; mPV(SKM)=5,0, mPV=5,1(Niedzica)

	NIE	Δ=77,0°		
		e1P	15 44 27	
		Pm	29,3	
		Z: 0,9s; 0,013 μ		

11.VI Iles Kouriles, NEIS: 43,3°N, 147,6°E, H=16h52m55,1s, h normale; mb=4,9, mPV=5,1 (Niedzica)

	KRA	Δ=76,8°		
	(SKM)	e1P	17 04 44	
		Z: 1,0s; 0,036 μ		
	NIE	Δ=77,0°		
		e1P	17 04 46,3	
		Pm	48,5	
		Z: 1,1s; 0,015 μ		
		ipP	05 02,5	
		isP	08,6	

11.VI Iles Kouriles, Moskva: 43,2°N, 147,6°E, H=16h57m30s; mPV(SKM)=5,1

	KRA	Δ=76,7°		
	(SKM)	eP	17 09 19	
		e1	20,7	
	NIE	Δ=77,1°		
		eP	17 09 20	
		i	23,8	
		e1PcP	33	

11.VI Iles Kouriles, NEIS: 43,3°N, 147,3°E, H=17h43m42,6s, h normale; mb=5,5, mPV=5,4 (Kraków), 5,0(Niedzica)

	KRA	Δ=76,5°		
	(SKM)	e1P	17 55 31	
		Z: 0,6s; 0,019 μ		
	NIE	Δ=76,9°		
		e1P	17 55 34	
		Z: 1,0s; 0,014 μ		
		e1PcP	46	

11.VI Hondo, Japon, NEIS: 29,4°N, 141,9°E, H=18h31m49,0s, h=32 km; mb=5,8, mPV=5,4 (Kraków)

	NIE	Δ=86,1°		
		eP	18 43 22	
		e1pP	35	
		e1	44 42	
	KRA	Δ=85,8°		
	(SKM)	eP	18 43 31	
		Z: 1,1s; 0,035 μ		

Date	Station	Phase	T.U. h m s	

12.VI Iles Kouriles, NEIS: 46,8°N, 152,7°E, H=00h14m27,6s, h normale; mb=5,4, mPV=5,9 (Kraków), 5,5(Niedzica), 5,7(Książ)

	KRA	Δ=75,4°		
	(SKM)	iP	00 26 07,1	
		Z: 0,7s; 0,070 μ		
	NIE	Δ=75,9°		
		e1P	00 26 11,2	C
		Z: 1,0s; 0,034 μ		
		e1sP	26	

12.VI Iles Kouriles, Moskva: 43,5°N, 148,1°E, H=01h07m52s; mPV(SKM)=5,3, mPV=5,3(Kraków), 5,0(Niedzica)

	KRA	Δ=76,6°		
	(SKM)	e1P	01 19 40	
		Z: 0,9s; 0,026 μ		
		iPcP	52,8	
	NIE	Δ=77,0°		
		eP	01 19 43	
		Z: 0,9s; 0,011 μ		
		iPcP	56	

12.VI Hokkaido, Japon, Moskva: 42,8°N, 147,7°E, H=01h49m11s; mPV(SKM)=5,0

	KRA	Δ=77,1°		
	(SKM)	eP	02 01 02	
		iPcP	12,7	
	NIE	Δ=77,4°		
		e1P	02 01 05	
		Z: 1,1s; 0,005 μ		
		e1PcP	15	

12.VI Iles Kouriles, Moskva: 43,2°N, 148,3°E, H=03h02m02s; mPV(SKM)=5,2, mPV=4,6(Niedzica)

	NIE	Δ=77,3°		
		e1P	03 13 55	
		Z: 1,0s; 0,005 μ		
		e1PcP	14 04	
		i	16	

12.VI Iles Kouriles, Moskva: 43,4°N, 148,3°E, H=04h27m29s

	NIE	Δ=77,2°		
		eP	04 39 22	

12.VI Iles Kouriles, Moskva: 43,5°N, 147,8°E, H=04h34m05s; mPV(SKM)=5,2, mPV=5,3(Niedzica)

	KRA	Δ=76,5°		
	(SKM)	e1P	04 45 53	

Date	Station	Phase	T.U. h m s	

12.VI Iles Kouriles, Moskva: 43,9°N, 147,4°E, H=05h33m36s; mPV(SKM)=4,9, mPV=4,9(Niedzica)

	NIE	Δ=76,4°		
		eP	05 45 23	
		Z: 1,4s; 0,013 μ		
		e1PcP	37	

12.VI Iles Kouriles, Moskva: 44,0°N, 147,1°E, H=08h13m56s; mPV(SKM)=5,3, mPV=5,6(Kraków), 5,3(Niedzica)

	KRA	Δ=75,8°		
	(SKM)	eP	08 25 44	
		Z: 1,0s; 0,048 μ		
		e1PcP	54	
	NIE	Δ=76,2°		
		e1P	08 25 46	C
		Z: 0,9s; 0,023 μ		

12.VI Iles Kouriles, NEIS: 43,2°N, 147,3°E, H=13h15m20,6s, h=36 km; mb=5,2

	KRA	Δ=76,5°. Traces		
	(SKM)	eP	13 27 07	
		epP	19	
	NIE	Δ=76,9°		
		eP	13 27 10	

12.VI Iles Kouriles, Moskva: 43,7°N, 146,8°E, H=14h31m18s; mPV(SKM)=5,3, mPV=5,6(Kraków)

	KRA	Δ=76,0°		
	(SKM)	e1P	14 43 02	
		Z: 1,1s; 0,055 μ		
		iPcP	13,4	
	NIE	Δ=76,3°		
		e1P	14 43 05	C
		iPcP	16,1	
		i	39	

12.VI Hokkaido, Japon, Moskva: 43,0°N, 148,0°E, H=14h37m10s; mPV(SKM)=5,1

	KRA	Δ=77,0°. Traces		
	(SKM)	eP	14 49 01	

Date	Station	Phase	T.U. h m s	

12.VI NIE (suite) Δ=76,9°

e1P	04 45 55	C	
Pm	59		
Z: 0,9s; 0,023 μ			
i	46 03,7		
iPcP	07,0		
i	18,6		

12.VI NIE Δ=77,4°

eP	14 49 06	
iPcP	20	

12.VI Iles Kouriles, Moskva: 43,4°N, 147,8°E, H=14h58m37s; mPV(SKM)=5,2, mPV=5,5(Kraków)

	KRA	Δ=76,5°		
	(SKM)	e1P	15 10 27	
		Z: 0,6s; 0,027 μ		
	NIE	Δ=77,0°		
		iP	15 10 30	

12.VI Hokkaido, Japon, Moskva: 43,1°N, 147,3°E, H=15h23m32s; mPV(SKM)=4,9

	KSP	Δ=77,2°		
		eP	15 35 36	

12.VI Iles Kouriles, Moskva: 43,3°N, 148,3°E, H=20h14m31s; mPV(SKM)=5,1, mPV=4,9(Niedzica)

	NIE	Δ=77,3°		
		eP	20 26 24	
		Pm	28,1	
		Z: 0,9s; 0,010 μ		

12.VI Iles Kouriles, Moskva: 43,3°N, 148,1°E, H=21h37m04s; mPV(SKM)=5,2, mPV=4,7(Niedzica)

	KRA	Δ=76,8°		
	(SKM)	eP	21 48 53	
	NIE	Δ=77,2°		
		eP	21 48 56	
		Z: 1,0s; 0,006 μ		

12.VI Iles Kouriles, NEIS: 43,2°N, 147,8°E, H=23h21m05,5s, h normale; mb=5,0, mPV=5,8(Kraków), 5,4(Niedzica)

	KRA	Δ=76,8°		
	(SKM)	eP	23 32 53	
		Z: 1,0s; 0,072 μ		
		e1PcP	33 03,5	
		m	05,5	
		Z: 1,1s; 0,089 μ		
		isP	11,5	
		i	21,5	
	NIE	Δ=77,3°		
		eP	23 32 56	C
		Z: 0,9s; 0,030 μ		

13.VI Philippines, NEIS: 12,2°N, 125,3°E, H=06h08m33,8s, h=21 km; mb=5,7, mPV=5,7 (Kraków), 5,4(Niedzica)

International Seismological Centre

Date	Station	Phase	T.U. h m s	
13.VI	KRA	Δ=90,4°		
(suite)	(SKM)	eiP	06 21 34	D
		Z: 1,0s; 0,060 μ		
		iPcP	40,3	
		isP	49,3	
	(GW)	iS	32 26	
		eL	49,7	
		Lm	07 00,0	
		NE: 15s; 2,6 μ, 1,2 μ		
		Lm	05,2	
		NEZ: 16s; 2,4 μ, 3,6 μ, 0,8μ		
	NIE	Δ=90,4°		
		eiP	06 21 35	
		Z: 1,1s; 0,028 μ		

13.VI Iran, NEIS: 26,8°N, 55,0°E, H=10h 12m49,1s, h=61 km; mb=4,9, mPV=5,4(Kraków)

	KRA	Δ=35,3°		
	(SKM)	eiP	10 19 41	D
		Z: 0,7s; 0,041 μ		

13.VI Iles Kouriles, NEIS: 43,4°N, 147,5°E, H=12h57m05,9s, h normale; mb=5,1, mPV=5,6 (Kraków), 5,0(Niedzica)

	KRA	Δ=76,6°		
	(SKM)	eiP	13 08 53	
		Z: 1,0s; 0,048 μ		
		iPcP	09 03,9	
		m	04,8	
		Z: 1,0s; 0,090 μ		
		eisP	08	
	NIE	Δ=76,9°		
		eiP	13 08 55	
		Z: 1,1s; 0,013 μ		
		iPcP	09 06	
		m	07,5	
		Z: 0,9s; 0,053 μ		
		ipP	19,8	
		isP	24	

13.VI Iles Kouriles, Moskva: 43,2°N, 147,5°E, H=13h10m49s; mPV(SKM)=5,2

	NIE	Δ=77,0°		
		eP	13 22 42	
		Z: 1,1s; 0,006 μ		
		iPcP	53,1	

13.VI Iles Kouriles, NEIS: 43,6°N, 147,4°E H=18h08m12,8s, h normale; ms=6,6; mPV=6,8 (Kraków), 6,0(Niedzica), MLH=7,0(Kraków)

	KRA	Δ=76,3°		
13.VI	KRA	eP	18 20 01	
		Pm	18,9	
		Z: 1,0s; 0,75 μ		
		i	50,1	
		eiS	29 44	
	(GW)	iL	39,8	
		Lm	59,3	
		NEZ: 13s; 34 μ, 39 μ, 5,4 μ		
	NIE	Δ=76,7°		
		iP	18 20 03,1	C
		Z: 1,5s; 0,21 μ		

13.VI Iles Kouriles, NEIS: 43,1°N, 147,8°E, H=18h25m13,6s, h=14 km; mb=4,8, mPV=5,3 (Niedzica)

	NIE	Δ=76,5°		
		iP	18 37 08,3	D
		Z: 0,9s; 0,023 μ		
		ipP	20	
		i	34,5	

13.VI Iles Kouriles, Moskva: 43,7°N, 148,2°E, H=19h14m07s; mPV(SKM)=5,0, mPV=5,4(Kraków)

	KRA	Δ=76,5°. Traces		
	(SKM)	eP	19 26 00	
		Z: 1,0s; 0,030 μ		

13.VI Iles Kouriles, Moskva: 44,5°N, 147,6°E, H=19h40m38s, h=90 km; mPV(SKM)= 5,4, mPV=5,5(Kraków), 5,3(Niedzica)

	KRA	Δ=75,6°		
	(SKM)	eiP	19 52 15	C
		Z: 0,6s; 0,027 μ		
		iPcP	27,0	
		ipP	31,8	
	NIE	Δ=76,0°		
		eiP	19 52 18	C
		Z: 0,9s; 0,023 μ		

13.VI Iles Kouriles, Moskva: 44,2°N, 147,5°E, H=19h52m42s, h=50 km; mPV(SKM)= 5,3, mPV=5,7(Kraków), 5,3(Niedzica)

	KRA	Δ=75,8°		
	(SKM)	eiP	20 04 24	C
		Z: 0,9s; 0,053 μ		
		iPcP	36	
		eipP	39	
	NIE	Δ=76,2°		
		iP	20 04 27,2	C
		Z: 0,9s; 0,024 μ		
		iPcP	39,5	

13.VI Iles Kouriles, NEIS: 43,6°N,147,7°E, H=20h18m25,7s, h normale; mb=4,9, mPV=5,5 (Kraków), 4,9(Niedzica)

	KRA	Δ=76,4°		
	(SKM)	eP	20 30 12	
		Z: 1,1s; 0,041 μ		
	NIE	Δ=76,8°		
		eiP	20 30 15	
		Pm	18,1	
		Z: 1,2s; 0,012 μ		
		i	21	
		eiPcP	28	

13.VI Iles Kouriles, NEIS: 43,3°N,147,7°E, H=20h20m56,4s, h normale; mb=5,1, mPV=5,8 (Kraków), 5,6(Niedzica)

	KRA	Δ=76,7°		
	(SKM)	eiP	20 32 44	C
		Z: 1,0s; 0,066 μ		
		eiPcP	56,7	
	NIE	Δ=77,0°		
		eP	20 32 47	C
		Pm	49,7	
		Z: 0,9s; 0,047 μ		
		iPcP	59,7	
		i	33 08,5	

14.VI NIE

		eP	00 09 34	
		Z: 0,9s; 0,010 μ		
		i	46	
		Z: 0,9s; 0,022 μ		

14.VI Iles Kouriles, NEIS: 43,8°N,147,8°E, H=00h00m08,2s, h normale; mb=5,0

	KRA	Δ=76,3°		
	(SKM)	iP	00 11 53,6	C
		Z: 1,0s; 0,042 μ		
	NIE	Δ=76,6°		
		iP	00 11 57,1	C
		Z: 0,9s; 0,023 μ		
		i	12 03,8	
		iPcP	08,3	
		isP	15,5	

14.VI Iles Kouriles, NEIS: 43,1°N,147,9°E, H=01h41m42,0s, h=38 km; mb=4,7

	KRA	Δ=76,9°. Traces		
	(SKM)	eP	01 53 30	
	NIE	Δ=77,3°		
		eP	01 53 33	
		Z: 0,9s; 0,006 μ		

14.VI Iles Kouriles, Moskva: 43,8°N, 147,9°E, H=01h47m53s; mPV(SKM)=5,5

	KRA	Δ=76,3°		
	(SKM)	eiP	01 59 40	C
		Pm	43,6	
		Z: 1,1s; 0,062 μ		
		eiPcP	52	
	(GW)	eS	02 09 24	
	NIE	Δ=76,7°		
		eP	01 59 40	
		i	45,9	
		m	47	
		Z: 0,9s; 0,023 μ		

14.VI Iles Kouriles, NEIS: 43,3°N,147,8°E, H=01h56m32,1s, h normale; mb=4,9, mPV=5,5 (Kraków), 5,3(Niedzica)

	KRA	Δ=76,7°		
	(SKM)	eiP	02 08 20	
		Z: 1,0s; 0,042 μ		
	NIE	Δ=77,1°		
		iP	02 08 24	
		Z: 1,0s; 0,023 μ		
		iPcP	33	

14.VI Iles Kouriles, Moskva: 43,4°N, 147,6°E, H=02h14m34s; mPV(SKM)=5,2, mPV=5,5(Kraków), 5,2(Niedzica)

	KRA	Δ=76,5°		
	(SKM)	eP	02 26 22	
		Z: 0,9s; 0,032 μ		
	NIE	Δ=76,9°		
		iP	02 26 25,1	
		Z: 0,9s; 0,017 μ		
		i	31,5	
		eiPcP	45	

14.VI Iles Kouriles, NEIS: 43,6°N,148,0°E, H=02h59m22,0s, h normale; mb=5,3, mPV=5,8 (Kraków), 5,9(Niedzica)

	KRA	Δ=76,5°		
	(SKM)	iP	03 11 08,3	
		Z: 1,0s; 0,084 μ		
		eiPcP	19	
		ei	31	
		ei	13 11	
		m	14,5	
		Z: 0,7s; 0,049 μ		
	(GW)	eiS	20 52	
		Lm	48,8	
		NE: 14s; 2,2 μ, 1,5 μ		

Date	Station	Phase	T.U. h	m	s	
14.VI	NIE	Δ=76,9°				
(suite)		eiP	03	11	11	D
		Z: 0,9s; 0,081 μ				
		iPcP			23,2	
		isP			26,7	
14.VI	Iles Kouriles, NEIS: 43,7°N,147,9°E, H=03h01m24,7s, h normale; mb=5,2, mPV=5,5 (Niedzica)					
	NIE	Δ=76,8°				
		iP	03	13	14	
		Pm			18,5	
		Z: 1,0s; 0,042 μ				
14.VI	Iles Kouriles, Moskva: 43,3°N, 147,7°E, H=03h52m23s; mPV(SKM)=5,0					
	KRA	Δ=76,7°. Traces				
	(Ch)	eP	04	04	11	
	NIE	Δ=77,0°				
		eiP	04	04	14	
14.VI	Iles Kouriles, Moskva: 44,2°N, 147,2°E, H=04h07m16s; mPV(SKM)=5,2, mPV=5,5(Kraków), 5,1(Niedzica)					
	KRA	Δ=75,7°				
	(SKM)	eiP	04	19	00	
		Z: 0,5s; 0,020 μ				
		iPcP			10,9	
	NIE	Δ=76,1°				
		eiP	04	19	02	
		Pm			04,5	
		Z: 0,8s; 0,012 μ				
		iPcP			14,8	
14.VI	NIE					
		eP	04	25	05	C
		Z: 1,5s; 0,033 μ				
		i			12,5	
		i			22,6	
14.VI	Iles Kermadec, Moskva: 31,0°S, 178,1°W, H=04h12m21s; M=5,4					
	NIE	Δ=157,1°				
		ePKIKP	04	32	20	
		Z: 1,5s; 0,029 μ				
		ipPKP			42,4	
		iPKP2			48,9	
14.VI	Iles Kouriles, Moskva: 44,8°N, 146,8°E, H=04h36m00s, h=110 km; mPV(SKM)=5,4					
	KRA	Δ=75,0°				

Date	Station	Phase	T.U. h	m	s	
14.VI	KRA	iP	04	47	30,5	C
	(SKM)	Z: 1,0s; 0,114 μ				
		iPcP			42,5	
	NIE	Δ=75,4°				
		eiP	04	47	34	C
		iPcP			45,1	
		ipP	48	06,5		
		isP			18,2	
14.VI	Hokkaido, Japon, Moskva: 43,0°N, 149,2°E, H=04h42m54s; mPV(SKM)=5,4, mPV=5,6 (Kraków), 5,4(Niedzica)					
	KRA	Δ=77,5°				
	(SKM)	eiP	04	54	49	
		Z: 0,9s; 0,042 μ				
		ipP		55	01,5	
	NIE	Δ=77,9°				
		iP	04	54	52,3	
		Z: 0,8s; 0,026 μ				
		ipP		55	04,1	
14.VI	Iles Kouriles, Moskva: 43,6°N, 147,9°E, H=05h03m01s; mPV(SKM)=5,4, mPV=5,5(Kraków)					
	KRA	Δ=76,5°				
	(SKM)	eiP	05	14	48,9	
		Z: 0,7s; 0,029 μ				
		ePcP			57	
		esP		15	03	
14.VI	Iles Kouriles, Moskva: 43,5°N, 147,6°E, H=06h16m44s; mPV(SKM)=5,1, mPV=5,5(Kraków)					
	KRA	Δ=76,4°				
	(SKM)	eiP	06	28	31	
		Z: 0,9s; 0,037 μ				
		eiPcP			43	
	NIE	Δ=76,8°				
		iP	06	28	34,9	D
		Z: 0,9s; 0,023 μ				
		eiPcP			45,5	
14.VI	Iles Kouriles, NEIS: 43,4°N,147,3°) H=07h51m24,8s, h normale; mb=4,6					
	NIE	Δ=76,8°				
		eP	08	03	15	
14.VI	Iles Kouriles, Moskva: 44,2°N, 147,0°E, H=08h43m20s; mPV(SKM)=5,5, mPV=5,7(Kraków), 5,4(Niedzica)					
	KRA	Δ=76,4°				
	(SKM)	eiP	08	55	03	

Date	Station	Phase	T.U. h	m	s	
		Z: 1,0s; 0,060 μ				
14.VI	KRA	iPcP	08	55	13,5	
(suite)	(SKM)	eL	09	31,1		
	(GW)	Lm		34,6		
		NE: 16s; 2,9 μ, 1,7 μ				
	NIE	Δ=76,0°				
		eiP	08	55	05	C
		Pm			07,7	
		Z: 1,0s; 0,029 μ				
		i			10,1	
		iPcP			17	
		isP			19,4	
14.VI	Iles Kouriles, NEIS: 43,3°N,147,6°E, H=09h02m17,0s, h normale; mb=5,1, mPV=5,6 (Niedzica)					
	KRA	Δ=76,6°				
	(SKM)	eiP	09	14	05	C
	NIE	Δ=77,0°				
		eiP	09	14	07	
		Pm			09,8	
		Z: 1,0s; 0,056 μ				
		iPcP			18,7	
14.VI	Chili-Argentine, NEIS: 32,5°S, 70,7°W, H=10h40m21,2s, h=97 km; mb=5,7					
	KRA	Δ=114,4°				
	(SKM)	eiPP	10	59	45	
14.VI	Iles Kouriles, Moskva: 44,2°N, 147,3°E, H=17h11m25s, h=80 km; mPV(SKM)=5,7, mPV=6,1(Kraków)					
	KRA	Δ=76,4°				
	(SKM)	iP	17	23	03,0	D
		Z: 0,9s; 0,16 μ				
		iPcP			14,0	
14.VI	Iles Kouriles, NEIS: 43,3°N,147,9°E, H=17h37m13,1s, h normale; mb=5,2, mPV=5,7 (Kraków), 4,9(Niedzica)					
	KRA	Δ=75,7°				
	(SKM)	eiP	17	49	01	
		Z: 1,1s; 0,069 μ				
		iPcP			11,3	
		PcPm			13,0	
		Z: 1,0s; 0,084 μ				
		eisP			17,0	
	(GW)	eS		18	46	
		Lm		18	26,8	
		NE: 13s; 1,0 μ, 0,9 μ				
	NIE	Δ=77,1°				

Date	Station	Phase	T.U. h	m	s	
14.VI	NIE	eiP	17	49	04,2	
		Z: 1,2s; 0,012 μ				
		i			08,3	
		iPcP			14,9	
		isP			20,7	
14.VI	KRA					
	(SKM)	eiP	17	53	29,0	D
		Z: 0,8s; 0,023 μ				
	NIE					
		iP	17	53	32,5	
14.VI	Iles Kouriles, NEIS: 43,5°N,147,9°E, H=18h38m01,8s, h normale; mb=5,8					
	KRA	Δ=76,6°				
	(SKM)	iP	18	49	48,2	C
		Pm			52,5	
		Z: 1,0s; 0,25 μ				
		i			56,0	
		iPcP		50	00,0	
		isP			07,2	
	(GW)	eiS		59	30	
		eiSKS			34	
		eL	19	23,6		
		Lm			26,6	
		NEZ: 15s; 20 μ, 8,7 μ, 2,0 μ				
	NIE	Δ=76,9°				
		eiP	18	49	51	C
		Pm			56	
		Z: 1,0s; 0,146 μ				
		iPcP		50	02,4	
14.VI	Iles Kouriles, Moskva: 44,1°N, 147,9°E, H=18h49m46s, h=80 km; mPV(SKM)=5,3, mPV=5,9(Kraków)					
	KRA	Δ=76,1°				
	(SKM)	iP	19	01	26,9	C
		Z: 1,0s; 0,096 μ				
		iPcP			39,4	
14.VI	KRA					
	(Ch)	eiP	19	03	54,4	
	NIE					
		eiP	19	03	57,5	
		Z: 0,9s; 0,019 μ				
		i		04	10	
14.VI	KRA					
	(SKM)	iP	19	06	22,5	C
		Z: 0,9s; 0,037 μ				
	NIE					
		iP	19	06	25,1	

International Seismological Centre

Date	Station	Phase	T.U. h	m	s	
14.VI	KRA	Z: 0,9^{s}; 0,023 μ				
(suite)	(SKM)	i	19	06	42,6	
14.VI	Iles Kouriles, NEIS: 43,8^{o}N, 147,8^{o}E, H=19^{h}14^{m}05,3^{s}, h normale; mb=5,2, mPV=5,8(Kraków, Niedzica)					
	KRA	Δ=76,3^{o}				
	(SKM)	iP	19	25	50,9	C
		Z: 0,9^{s}; 0,084 μ				
	NIE	Δ=76,6^{o}				
		iP	19	25	54,1	C
		Z: 0,9^{s}; 0,081 μ				
14.VI	KRA					
	(Ch)	eiP	20	32	18,5	D
	NIE					
		iP	20	32	22	
		Z: 0,9^{s}; 0,010 μ				
14.VI	Iles Kouriles, Moskva: 44,8^{o}N, 147,0^{o}E, H=20^{h}31^{m}46^{s}, h=60 km; mPV(SKM)=5,2, mPV=5,3(Kraków, Niedzica)					
	KRA	Δ=75,1^{o}				
	(SKM)	eiP	20	43	23	
		Z: 1,0^{s}; 0,024 μ				
	NIE	Δ=75,5^{o}				
		eiP	20	43	25	
		Pm			28	
		Z: 0,9^{s}; 0,023 μ				
		eiPcP			38	
		i			47,5	
14.VI	Iles Kouriles, Moskva: 43,8^{o}N, 148,1^{o}E, H=20^{h}35^{m}24^{s}; mPV(SKM)=5,5, mPV=5,5(Kraków, Niedzica)					
	KRA	Δ=76,4^{o}				
	(SKM)	eiP	20	47	11	C
		Z: 0,9^{s}; 0,037 μ				
	NIE	Δ=76,8^{o}				
		eiP	20	47	14	C
		Z: 0,9^{s}; 0,040 μ				
		iPcP			26,2	
		i			42	
14.VI	Mer de Beaufort, Moskva: 72,2^{o}N, 132,5^{o}W, H=20^{h}50^{m}28^{s}; mPV(SKM)=5,3, mPV=5,2(Kraków), 4,7(Niedzica)					
	KRA	Δ=57,0^{o}				
	(SKM)	eiP	21	00	09	D
		Z: 0,6^{s}; 0,012 μ				
	NIE	Δ=57,4^{o}				
		eP	21	00	14	

Date	Station	Phase	T.U. h	m	s	
14.VI	NIE	Z:1,1^{s}; 0,008 μ				
		i	21	00	28,9	
14.VI	Iles Kouriles, Moskva: 43,4^{o}N, 148,4^{o}E, H=22^{h}13^{m}56^{s}; mPV(SKM)=5,0,					
	KRA	Δ=76,8^{o}. Traces				
	(SKM)	eP	22	25	50	
	NIE	Δ=77,2^{o}				
		eP	22	25	53	
		iPcP			56,2	
		i		26	05,9	
14.VI	NIE					
		eP	22	45	30	
		Z: 0,9^{s}; 0,006 μ				
		i			53,3	
14.VI	Hondo, Japon, NEIS: 36,2^{o}N, 143,4^{o}E, H=23^{h}36^{m}29,9^{s}, h normale; mb=6,0, mPV=6,2(Kraków), 6,0(Niedzica)					
	KRA	Δ=80,9^{o}				
	(SKM)	iP	23	48	41,3	D
		Z: 1,0^{s}; 0,22 μ				
		iPcP			48,8	
		eiPP		51	44,9	
	(GW)	eS		58	48	
	NIE	Δ=81,2^{o}				
		eiP	23	48	43	D
		Z: 0,9^{s}; 0,11 μ				
15.VI	Iles Kouriles, Moskva: 44,7^{o}N, 147,6^{o}E, H=00^{h}19^{m}44^{s}, h=80 km, mPV(SKM)=6,4, mPV=6,9(Kraków, Niedzica)					
	KRA	Δ=75,4^{o}				
	(SKM)	iP	00	31	19,6	C
		Pm			22,8	
		Z: 2,0^{s}; 2,1 μ				
		iPcP			32,3	
		iPP		34	23,8	
	NIE	Δ=75,8^{o}				
		iP	00	31	22	C
		Pm			25	
		Z: 0,9^{s}; 0,088 μ				
		ipP			40	
		isP			45	
		iPP		34	28	
		Z: 1,0^{s}; 0,184 μ				
		ipPP			56,6	
15.VI	Hokkaido, Japon, NEIS: 42,6^{o}N, 148,0^{o}E, H=02^{h}09^{m}12,3^{s}, h normale, mb=5,6, mPV=6,0(Kraków), 5,5(Niedzica)					

Date	Station	Phase	T.U. h	m	s	
15.VI	KRA	Δ=77,4^{o}				
	(SKM)	eiP	02	21	04	D
		Z: 1,5^{s}; 0,2 μ				
	NIE	Δ=77,7^{o}				
		eiP	02	21	06	D
		Pm			09	
		Z: 1,0^{s}; 0,039 μ				
		i			12	
		iPcP			15,1	
15.VI	Hokkaido, Japon, Moskva:43,1^{o}N, 148,6^{o}E, H=02^{h}16^{m}03^{s}; mPV(SKM)=5,3, mPV=5,1(Kraków)					
	KRA	Δ=77,2^{o}				
	(SKM)	eP	02	27	54	D
		Z: 1,0^{s}; 0,018 μ				
		eiPcP		28	06,5	
		eisP			09,9	
	NIE	Δ=77,5^{o}				
		eP	02	27	58	D
15.VI	Iles Carolines, NEIS: 11,9^{o}N,141,3^{o}E, H=04^{h}42^{m}49,4^{s}, h=50 km; mb=5,6, mPV=5,8 (Kraków), 5,0(Niedzica)					
	KRA	Δ=100,0^{o}				
	(SKM)	eP	04	56	30	C
		Z: 1,5^{s}; 0,037 μ				
		ePP	05	00	41	
	NIE	Δ=100,1^{o}				
		eiP	04	56	31	C
		Z: 1,1^{s}; 0,004 μ				
15.VI	Iles Kouriles, Moskva: 43,7^{o}N, 147,8^{o}E, H=06^{h}02^{m}29^{s}; mPV(SKM)=5,3, mPV=5,6 (Kraków), 4,9(Niedzica)					
	KRA	Δ=76,4^{o}				
	(SKM)	eiP	06	14	17	
		Z: 1,4^{s}; 0,073 μ				
	NIE	Δ=76,7^{o}				
		eP	06	14	19	C
		Z: 1,0^{s}; 0,010 μ				
		iPcP			29,7	
		i			38,2	
15.VI	Iles Kouriles, Moskva: 43,7^{o}N, 147,9^{o}E, H=07^{h}15^{m}41^{s}; mPV(SKM)=5,3, mPV=4,8 (Niedzica)					
	NIE	Δ=76,8^{o}				
		iP	07	26	30,1	D
		Z: 1,0^{s}; 0,009 μ				
15.VI	Iles Kouriles, NEIS: 43,4^{o}N,147,8^{o}E,					

Date	Station	Phase	T.U. h	m	s	
15.VI	H=07^{h}15^{m}40,6^{s}, h normale; mb=5,1, mPV=5,6(Kraków), 5,4(Niedzica)					
	KRA	Δ=76,4^{o}				
	(SKM)	eiP	07	27	29	C
		Z: 0,9^{s}; 0,042 μ				
		eiPcP			40,8	
	NIE	Δ=77,0^{o}				
		eiP	07	27	31	C
		Z: 0,9^{s}; 0,027 μ				
		i			40,6	
		iPcP			43,2	
		PcPm			45	
		Z: 0,9^{s}; 0,023 μ				
15.VI	Iles Kouriles, Moskva: 43,4^{o}N, 148,6^{o}E, H=07^{h}42^{m}10^{s}; mPV(SKM)=4,8, mPV=4,9(Niedzica)					
	NIE	Δ=77,3^{o}				
		eP	07	54	03	
		iPcP			17,5	
		PcPm			19,1	
		Z: 0,9^{s}; 0,009 μ				
15.VI	Iles Aléoutiennes, NEIS: 51,6^{o}N, 179,6^{o}E, H=07^{h}53^{m}57,0^{s}, h=80 km; mb=5,1, mPV=4,6(Niedzica)					
	NIE	Δ=78,1^{o}. Traces				
		eP	08	05	47	
		Z: 0,9^{s}; 0,005 μ				
15.VI	Iles Kouriles, Moskva: 44,3^{o}N, 147,7^{o}E, H=08^{h}47^{m}17^{s}; mPV(SKM)=5,3, mPV=5,4(Kraków), 5,3(Niedzica)					
	KRA	Δ=75,8^{o}				
	(SKM)	eiP	08	59	01	C
	NIE	Δ=76,2^{o}				
		iP	08	59	03,4	C
		Pm			06	
		Z: 0,9^{s}; 0,025 μ				
		iPcP			15,5	
		ipP			18,8	
		i			27,5	
15.VI	Iles Kouriles, Moskva: 43,5^{o}N, 147,5^{o}E, H=09^{h}57^{m}09^{s}; mPV(SKM)=5,0, mPV=5,4(Kraków), 4,7(Niedzica)					
	KRA	Δ=76,4^{o}				
	(SKM)	eiP	10	08	57	D
		Z: 1,0^{s}; 0,030 μ				
	NIE	Δ=76,8^{o}				

International Seismological Centre

Date	Station	Phase	T.U. h m s	
15.VI	NIE	eiP	10 09 00,5	
(suite)		Z: 0,9^{s}; 0,006 μ		
		isP	18	
15.VI	Iles Kouriles, Moskva: 44,3°N, 147,7°E, H=10^{h}46^{m}44^{s}; mPV(SKM)=5,3, mPV=5,5(Kraków), 5,3(Niedzica)			
	KRA	Δ=75,8°		
	(SKM)	eiP	10 58 27	C
		Z: 0,9^{s}; 0,032 μ		
		eiPcP	39	
	NIE	Δ=76,2°		
		iP	10 58 27,3	C
		Pm	32,5	
		Z: 0,9^{s}; 0,023 μ		
		esP	42	
15.VI	Hondo, Japon, NEIS: 40,1°N, 142,4°E H=18^{h}01^{m}55,7^{s}, h=59 km; mb=5,0, mPV=5,2 (Kraków), 4,9(Niedzica)			
	KRA	Δ=77,2°		
	(SKM)	eiP	18 13 44	C
		Z: 0,8^{s}; 0,018 μ		
	NIE	Δ=77,5°		
		eiP	18 13 46,2	C
		Z: 1,0^{s}; 0,011 μ		
		eiPcP	58	
		eisP	14 04	
15.VI	Hokkaido, Japon, NEIS: 42,4°N, 147,6°E, H=20^{h}24^{m}15,7^{s}, h=59 km; mb=4,6, mPV=4,6(Niedzica)			
	NIE	Δ=77,7°		
		eP	20 36 11	
		Pm	14	
		Z: 1,0^{s}; 0,005 μ		
		eipP	26	
15.VI	NIE			
		eP	20 46 28,5	
		Pm	33,5	
		Z: 1,0^{s}; 0,008 μ		
15.VI	Iles Kouriles, Moskva: 44,8°N, 147,9°E, H=23^{h}08^{m}59^{s}, h=80 km; mPV(SKM)=5,3, mPV=5,2(Niedzica), 5,5(Kraków)			
	NIE	Δ=75,8°		
		eiP	23 20 37	C
		Z: 1,0^{s}; 0,019 μ		
		iPcP	49	
		ipP	53,2	

Date	Station	Phase	T.U. h m s	
15.VI	KRA	Δ=75,5°		
	(SKM)	eiP	23 20 45	
		Z: 1,0^{s}; 0,042 μ		
15.VI	Iles Kouriles, NEIS: 43,5°N, 148,1°E, H=23^{h}30^{m}47,1^{s}, h normale; mb=5,2, mPV=5,7 (Kraków), 5,4(Niedzica, Książ)			
	KRA	Δ=76,6°		
	(SKM)	eiP	23 42 35	
		Z: 1,0^{s}; 0,060 μ		
		eiPcP	47	
	NIE	Δ=77,0°		
		eiP	23 42 37,5	C
		Z: 1,0^{s}; 0,034 μ		
		iPcP	49,7	
		PcPm	51,5	
		Z: 1,0^{s}; 0,038 μ		
16.VI	KRA			
	(SKM)	iP	00 49 27,4	
		Z: 0,5^{s}; 0,020 μ		
	NIE			
		iP	00 49 29,4	C
		Z: 0,7^{s}; 0,059 μ		
		i	35,3	
16.VI	Iles Kouriles, Moskva: 43,4°N, 147,9°E, H=21^{h}09^{m}00^{s}; mPV(SKM)=5,0, mPV=4,5(Niedzica)			
	NIE	Δ=77,0°		
		eiP	21 20 51	
		Z: 1,0^{s}; 0,004 μ		
16.VI	Région de la Nouvelle Guinée, NEIS: 2,6°S, 148,4°E, H=22^{h}35^{m}25,8^{s}, h normale; ms=6,5			
	KRA	Δ=115,9°		
	(SKM)	ePKIKP	22 54 08	
17.VI	Autriche, BCIS: 47,2°N, 11,3°E, H=07^{h}06^{m}18^{s}; MLV=2,7(Wiedeń)			
	KSP	Δ=4,9°. Traces		
		eiPg	07 07 46,5	
	KRA	Δ=6,3°. Traces		
	(SKM)	eiSg	07 09 40,7	
		i	59,2	
	NIE	Δ=6,3°		
		eSg	07 09 41	
17.VI	Hondo, Japon, Moskva: 38,5°N, 141,9°E, H=15^{h}54^{m}46^{s}; mPV(SKM)=5,2, mPV=5,3(Kraków), 4,8(Niedzica)			

Date	Station	Phase	T.U. h m s	
17.VI	KRA	Δ=78,3°. Traces		
	(SKM)	eiP	16 06 44,4	
		Z: 1,0^{s}; 0,030 μ		
	NIE	Δ=78,6°		
		eiP	16 06 46,4	
		Z: 1,1^{s}; 0,009 μ		
17.VI	Hondo, Japon, NEIS: 40,1°N, 142,4°E, H=21^{h}29^{m}37,4^{s}, h=67 km; mb=5,0, mPV=5,3 (Kraków)			
	KRA	Δ=77,2°		
	(SKM)	eiP	21 41 25,0	C
		Z: 0,7^{s}; 0,020 μ		
18.VI	Iran, Moskva: 32,2°N, 60,1°E, H=02^{h} 34^{m}02^{s}; mPV(SKM)=4,7			
	KSP	Δ=37,0°		
		eP	02 41 10	
18.VI	Philippines, NEIS: 13,9°N, 120,6°E, H=04^{h}11^{m}02,0^{s}, h=131 km; mb=5,4			
	KRA	Δ=86,2°		
	(SKM)	iP	04 23 30,0	C
		Z: 0,8^{s}; 0,092 μ		
		epP	24 10	
18.VI	Hondo, Japon, NEIS: 40,9°N, 143,0°E, H=05^{h}44^{m}03,8^{s}, h=30 km; mb=5,3, mPV=5,6 (Kraków), 5,3(Niedzica)			
	KRA	Δ=76,8°		
	(SKM)	eiP	05 55 53,6	
		Z: 1,0^{s}; 0,060 μ		
		isP	56 08,8	
	NIE	Δ=77,1°		
		iP	05 55 55	C
		Z: 1,0^{s}; 0,023 μ		
		ipP	56 07	
		isP	12,2	
18.VI	Ile Kodiak, NEIS: 56,9°N, 151,8°W, H=08^{h}30^{m}56,9^{s}, h=24 km; mb=4,8, mPV=4,7 (Niedzica)			
	NIE	Δ= 74,1°		
		eiP	08 42 16	
		Z: 1,0^{s}; 0,007 μ		
		eisP	32	
18.VI	Hondo, Japon, NEIS: 31,3°N, 140,9°E, H=09^{h}16^{m}53,5^{s}, h=46 km; mb=5,3, mPV=5,9 (Kraków), 5,4(Niedzica)			
	KRA	Δ=83,8°		
	(SKM)	iP	09 29 19,2	C
		Z: 1,0^{s}; 0,096 μ		

Date	Station	Phase	T.U. h m s	
18.VI	KRA	ipP	09 29 35,7	
	NIE	Δ=84,0°		
		eiP	09 29 20,7	C
		Z: 1,0^{s}; 0,029 μ		
		isP	38,5	
18.VI	KRA	Traces		
	(SKM)	eiP	12 31 37,6	
		Z: 0,5^{s}; 0,029 μ		
	NIE			
		eiP	12 31 39	
		Z: 0,8^{s}; 0,033 μ		
		i	32 00	
18.VI	Hokkaido, Japon, Moskva: 42,9°N, 147,8°E, H=13^{h}34^{m}56^{s}; mPV(SKM)=5,1, mPV=4,7(Niedzica)			
	KRA	Δ=77,0°		
	(SKM)	eP	13 46 50	
	NIE	Δ=77,4°		
		eiP	13 46 54	
		Z: 1,0^{s}; 0,006 μ		
18.VI	Atlantique, Moskva: 35,3°N, 16,8°W, H=14^{h}07^{m}02^{s}; mPV(SKM)=5,1			
	NIE	Δ=30,4°		
		eP	14 13 15	
18.VI	Yougoslavie, BCIS: 46,4°N, 13,8°E, H=15^{h}38^{m}26^{s}; I_{o}=V(Lubljana)			
	NIE	Δ=5,2°		
		eiPn	15 39 47,5	
		eiP^{x}	55,7	
		i(Pg)	40 15	
18.VI	Nouvelles Hébrides, NEIS: 13,7°S, 167,2°E, H=16^{h}32^{m}29,7^{s}, h=208 km; mb=5,5			
	KRA	Δ=135,1°		
	(SKM)	eiPKIKP	16 51 25,1	
		Z: 1,0^{s}; 0,060 μ		
		eiPP	54 04	
	NIE	Δ=135,4°		
		ePKIKP	16 51 14	
		iPKIKP	27	
		Z: 1,0^{s}; 0,061 μ		
		i	35,5	
18.VI	NIE			
		eiP	21 15 29	
		i	34	
19.VI	Iles Kouriles, Moskva: 43,5°N, 147,9°E, H=08^{h}27^{m}08^{s}; mPV(SKM)=5,3, mPV=5,3(Kraków), 5,1(Niedzica)			

International Seismological Centre

Date	Station	Phase	T.U. h m s	
19.VI	KRA	Δ=76,6°		
(suite)	(SKM)	eP	08 38 56	
		Z: 1,3s; 0,036 μ		
	NIE	Δ=76,9°		
		eP	08 38 58	
		i	39 12,6	
		Z: 0,9s; 0,014 μ		
19.VI	Iles Kouriles, Moskva: 43,6°N, 147,6°E, H=08h52m15s; mPV(SKM)=5,3, mPV=5,3(Kraków), 5,1(Niedzica)			
	KRA	Δ=76,4°		
	(SKM)	eiP	09 04 04,4	
		Z: 0,6s; 0,016 μ		
	NIE	Δ=76,7°		
		iP	09 04 05	D
		Pm	09,5	
		Z: 0,9s; 0,014 μ		
		i	23,4	
19.VI	KRA	Traces		
	(SKM)	eP	09 10 25	
		Z: 0,8s; 0,014 μ		
	NIE			
		eP	09 10 29	
		i	33,5	
19.VI	Italie, BCIS: 41,5°N, 15,8°E, H=10h11m14s; ML=5,0(Roma), MLH=4,8(Kraków)			
	NIE	Δ=8,3°		
		iPn	10 13 21	D
		Z: 0,9s; 0,037 μ		
		iPx	32,1	
	KRA	Δ=8,8°		
	(SKM)	ePn	10 13 24	
		Pnm	28,7	
		Z: 1,2s; 0,031 μ		
		e(Px)	37	
		i	15 26,2	
	(GW)	esx	40	
		Lm	16 42	
		NEZ: 4,0s; 2,2 μ, 2,6 μ 1,0 μ		
19.VI	KRA			
	(SKM)	eiP	12 35 52,7	
		Pm	58,7	
		Z: 1,1s; 0,041 μ		
19.VI	KRA			
	(SKM)	eiP	13 12 36,0	C
		Z: 1,5s; 0,34 μ		

Date	Station	Phase	T.U. h m s	
19.VI	KRA	ei	13 13 06,6	
	NIE			
		iP	13 12 40	C
		Z: 1,0s; 0,063 μ		
		i	46	
		i	13 03,1	
19.VI	NIE	Traces		
		iP	15 55 58,8	
		Z: 0,7s; 0,011 μ		
19.VI	KRA	Traces		
	(SKM)	eiP	17 45 47,7	
		Z: 0,7s; 0,016 μ		
	NIE			
		eiP	17 45 58,0	
		Z: 0,9s; 0,009 μ		
20.VI	NIE			
		iP	00 38 55,1	
		Z: 0,9s; 0,009 μ		
20.VI	KRA	Traces		
	(SKM)	eP	05 39 14	
		Z: 1,4s; 0,021 μ		
20.VI	Spitsberg, Moskva: 77,6°N, 18,9°E, H=08h50m40s; mPV(SKM)=4,8, mPV=4,4(Niedzica)			
	NIE	Δ=28,6°		
		eP	08 56 33	
		Z: 0,9s; 0,006 μ		
		eiPP	57 31	
20.VI	Hokkaido, Japon, NEIS: 42,6°N, 147,9°E, H=13h05m18,5s, h normale, mb=5,0			
	NIE	Δ=77,7°		
		eP	13 17 13	
		esP	31	
20.VI	Caucase, NEIS: 42,6°N, 47,9°E, H=13h53m22,6s, h=20 km; mb=4,7, mPV=4,6(Kraków)			
	NIE	Δ=20,2°		
		eP	13 58 00	
		iPP	14,2	
		iPm	17,5	
		Z: 0,9s; 0,022 μ		
	KRA	Δ=20,6°		
	(SKM)	iP	13 58 08,5	
		Z: 0,4s; 0,015 μ		
		Lm	14 02 42	
		Z: 0,8s; 0,018 μ		

Date	Station	Phase	T.U. h m s	
20.VI	Iran, BCIS: 27,4°N, 59,9°E, H=14h10m34s; mPV=5,6(Kraków)			
	NIE	Δ=37,3°		
		eP	14 17 50	
	KRA	Δ=37,8°		
	(SKM)	iP	14 17 52,0	
		Z: 0,4s; 0,035 μ		
		i	18 08,5	
20.VI	NIE			
		eiP	14 58 47	
		i	59 22,1	
20.VI	NIE			
		eiP	16 45 21,3	D
		Z: 1,0s; 0,015 μ		
		i	33	
		ei	47 12	
20.VI	Atlantique, Moskva: 32,5°N, 41,2°W, H=21h20m30s; mPV(SKM)=5,1, mPV=5,3(Kraków)			
	KRA	Δ=47,5°		
	(SKM)	eP	21 29 10	
		Z: 1,1s; 0,035 μ		
21.VI	KRA			
	(SKM)	eiP	04 36 26,1	C
		Z: 1,4s; 0,21 μ		
		i	34,5	
	(GW)	e(S)	47 57	
		Lm	05 04 06	
		NE: 9s; 0,4 μ, 0,7 μ		
22.VI	Iles Kouriles, NEIS: 43,3°N, 147,4°E, H=01h50m39,3s, h normale, mb=4,9, mPV=5,3(Kraków), 4,8(Niedzica)			
	KRA	Δ=76,5°		
	(SKM)	iP	02 02 27,5	
		Z: 0,9s; 0,021 μ		
		epP	39	
	NIE	Δ=76,9°		
		eP	02 02 30	C
		Z: 1,1s; 0,008 μ		
22.VI	Hondo, Japon, NEIS: 30,0°N, 142,1°E, H=02h23m58,5s, h normale; mb=5,9, mPV=5,8(Niedzica), 6,0(Kraków), MLH=6,4(Kraków)			
	NIE	Δ=85,7°		
		eiP	02 36 30,0	D
		Pm	37,6	
		Z: 1,0s; 0,065 μ		
		ipP	41,9	

Date	Station	Phase	T.U. h m s	
22.VI	KRA	Δ=85,4°		
	(SKM)	eiP	02 36 32,7	D
		Pm	34,5	
		Z: 0,8s; 0,10 μ		
		ipP	43,5	
		i	37 05,0	
	(GW)	iPP	39 54	
		iS	47 02	
		Lm	03 12,6	
		NEZ: 14s; 10,6 μ, 4,9 μ, 0,4 μ		
		Lm	18,5	
		NEZ: 12s; 7,3 μ, 0,2 μ, 0,7 μ		
22.VI	Kamtchatka, NEIS: 51,9°N, 157,7°E, H=04h25m15,4s, h=134 km; mb=5,4			
	NIE	Δ=73,0°		
		iP	04 36 30,2	C
		Pm	33,6	
		Z: 0,9s; 0,077 μ		
		iPcP	40,0	
		ipP	37 04,5	
22.VI	Japon, Moskva: 30,3°N, 142,0°E, H=07h22m43s, h=20 km; mPV(SKM)=5,2, mPV=4,8(Niedzica)			
	NIE	Δ=85,4°		
		eP	07 35 21	
		Z: 1,0s; 0,007 μ		
22.VI	NIE			
		iP	12 01 58,3	C
		Z: 0,9s; 0,014 μ		
22.VI	Iles Kouriles, Moskva: 43,9°N, 146,8°E, H=22h44m11s; mPV(SKM)=6,0, mPV=6,3(Kraków, Niedzica), MLH=5,8(Kraków)			
	KRA	Δ=75,8°		
	(SKM)	eP	22 55 59	D
		Pm	56 02,3	
		Z: 1,4s; 0,38 μ		
	(GW)	iS	23 05 44	
		Lm	32,4	
		NEZ: 16s; 17 μ, 10 μ, 1,7 μ		
	NIE	Δ=76,2°		
		eP	22 56 02	D
		Pm	06,5	
		Z: 1,0s; 0,086 μ		
22.VI	Hokkaido, Japon, Moskva: 42,9°N, 147,5°E, H=23h00m46s, mPV(SKM)=5,6,			

International Seismological Centre

Date	Station	Phase	T.U. h m s	
22.VI (suite)	mPV=5,7(Kraków), 5,2(Niedzica)			
	KRA	Δ=77,1°		
	(SKM)	eP	23 12 40,9	
		Z: 1,2s; 0,087 μ		
		e1(pP)	51,5	
		Z: 1,1s; 0,15 μ		
	NIE	Δ=77,3°		
		eP	23 12 43	C
		Z: 1,0s; 0,021 μ		
		i	48	
		i(pP)	52,5	
		i(sP)	54,9	
22.VI	Hokkaido, Japon, Moskva: 41,9°N, 148,0°E, H=23h36m59s; mPV(SKM)=5,1, mPV=5,7(Kraków), 5,2(Niedzica)			
	KRA	Δ=78,0°		
	(SKM)	eP	23 49 04	
		i	12,5	
		Z: 0,6s; 0,046 μ		
	NIE	Δ=76,3°		
		e1P	23 49 04,6	C
		Pm	17,1	
		Z: 1,0s; 0,022 μ		
22.VI	KRA	Traces		
	(SKM)	eP	23 55 27	
	NIE			
		eP	23 55 38,7	C
		Z: 0,9s; 0,006 μ		
		i	53,1	
23.VI	Iles Kouriles, Moskva: 44,5°N, 147,0°E, H=01h22m59s, h=110 km; mPV(SKM)=5,2			
	NIE	Δ=75,7°		
		eP	01 34 35	
		Z: 0,9s; 0,009 μ		
		iPcP	46,1	
		eipP	35 02	
		eisP	18	
23.VI	Hokkaido, Japon, NEIS: 42,8°N, 147,3°E, H=01h27m57,1s, h=38 km; mb=5,0, mPV=5,0(Niedzica)			
	NIE	Δ=77,3°		
		eP	01 39 50	D
		Pm	53	
		Z: 0,9s; 0,010 μ		
		ipP	40 01,1	
		isP	03,9	

Date	Station	Phase	T.U. h m s	
23.VI	Kamtchatka, Moskva: 55,1°N, 162,5°E, H=01h44m20s, h=70 km; mPV(SKM)=4,9			
	NIE	Δ=71,4°		
		eP	01 55 35	
23.VI	Hokkaido, Japon, NEIS: 42,9°N, 147,2°E, H=09h13m40,8s, h normale; mb=5,4, mPV=5,8(Kraków), 5,6(Niedzica), MLH=5,6 (Kraków)			
	KRA	Δ=76,8°		
	(SKM)	e1P	09 25 29,9	C
		Z: 0,9s; 0,074 μ		
		1PcP	38,9	
	(GW)	e1S	35 12	
		eL	58,8	
		Lm	10 02,3	
		NE: 12s; 1,9 μ, 0,9 μ		
	NIE	Δ=77,2°		
		e1P	09 25 32,4	C
		Z: 0,9s; 0,044 μ		
23.VI	Région des Iles Fidji, NEIS:17,3°S, 179,0°W, H=09h26m01,4s, h=563 km; mb=5,4			
	KRA	Δ=144,2°		
	(SKM)	iPKHKP	09 44 33,8	D
		Z: 0,5s; 0,053 μ		
		iPKIKP	38,1	
	NIE	Δ=144,6°		
		e1PKHKP	09 44 35,3	D
		Z: 1,0s; 0,048 μ		
		i(pPKP)	44,8	
23.VI	Grèce, BCIS: 38,1°N, 21,5°E, H=10h 41m08s; MLH=4,1(Skopje)			
	NIE	Δ=11,1°		
		eP	10 43 50	
		i	44 02,1	
23.VI	Iles Kouriles, Moskva: 43,2°N, 147,3°E, H=11h56m26s; mPV(SKM)=5,2, mPV=5,5(Kraków), 4,9(Niedzica)			
	KRA	Δ=76,6°		
	(SKM)	iP	12 08 15,2	D
		Z: 0,8s; 0,032 μ		
		i	25,4	
	NIE	Δ=76,9°		
		iP	12 08 18,0	D
		Z: 1,0s; 0,011 μ		
		i	28,5	
23.VI	Iles Kouriles, Moskva: 43,1°N, 147,1°E, H=12h45m24s; mPV=5,5(Kraków), 5,1(Niedzica)			

Date	Station	Phase	T.U. h m s	
23.VI (suite)	KRA	Δ=76,6°		
	(SKM)	e1P	12 57 12,4	
		Z: 0,8s; 0,032 μ		
		i	23,4	
	NIE	Δ=77,0°		
		iP	12 57 15,2	D
		Z: 0,9s; 0,014 μ		
		i	26,5	
23.VI	Région frontière RFA-RDA, BCIS: 50°50'N, 9°58'E, H=13h17m36s; MH=5,2(Moxa)			
	KSP	Δ=4,3°		
		iPn	13 18 36,7	
		NEZ: 0,9s; +0,086 μ		
		-0,42 μ, 0,48 μ		
	KRA	Δ=8,6°		
	(SKM)	iP	13 19 10,2	D
		Z: 1,3s; 0,36 μ		
	(GW)	iS	20 32	
		Lm	21,8	
		NEZ: 6s; 15 μ, 28 μ, 10 μ		
23.VI	KSP			
		eP	14 05 19	
23.VI	KSP			
		e1P	15 30 37,0	
	KRA			
	(SKM)	iP	15 30 37,6	
		Z: 0,5s; 0,029 μ		
	NIE			
		e1P	15 30 40,0	D
		Z: 1,0s; 0,030 μ		
		e1	52	
24.VI	Iles Kouriles, Moskva: 44,1°N, 147,6°E, H=18h52m37s, h=70 km; mPV(SKM)=4,7, mPV=4,6(Niedzica)			
	NIE	Δ=76,3°		
		iP	19 04 21,0	D
		Z: 0,9s; 0,006 μ		
		e1PcP	34	
		esP	50	
24.VI	Iles Tonga, Moskva: 20,3°S,175,8°W, H=21h15m25s; mPV(SKM)=5,5			
	NIE	Δ=148,4°		
		ePKIKP	21 35 03	
		iPKHKP	07,5	
		Z: 1,1s; 0,020 μ		
		$iPKP_2$	19	

Date	Station	Phase	T.U. h m s	
24.VI	KRA	Δ=148,0°		
	(SKM)	iPKHKP	21 35 05,7	C
		Z: 1,1s; 0,048 μ		
		i	11,1	
24.VI	Taiwan, Moskva: 23,4°N, 123,0°E, H=23h28m44s; mPV(SKM)=5,6, mPV=5,7(Kraków), 5,2(Niedzica)			
	KRA	Δ=80,4°		
	(SKM)	e1P	23 40 53,1	
		Z: 0,9s; 0,058 μ		
		e1PcP	58	
	NIE	Δ=80,5°		
		e1P	23 40 54	D
		Pm	55,6	
		Z: 1,0s; 0,019 μ		
		e1PcP	59	
		i	41 08,5	
25.VI	Hokkaido, Japon, Moskva: 43,0°N, 147,2°E, H=04h58m08s; mPV(SKM)=5,0			
	NIE	Δ=77,1°		
		e1P	05 10 00,5	
		i	03,6	
		iPcP	11,9	
25.VI	Iles Kouriles, Moskva: 44,4°N, 147,5°E, H=16h14m34s, h=90 km; mPV(SKM)=5,0, mPV=5,5(Kraków), 5,2(Niedzica)			
	KRA	Δ=75,6°		
	(SKM)	e1P	16 26 12,3	
		Z: 0,9s; 0,037 μ		
	NIE	Δ=76,0°		
		iP	16 26 14,3	C
		Z: 0,9s; 0,017 μ		
25.VI	NIE	Traces		
		iP	21 34 58,6	D
26.VI	Aléoutiennes, NEIS: 52,4°N,168,7°W, H=07h59m28,5s, h=49 km, mb=5,0, mPV=5,4 (Kraków), 4,9(Niedzica)			
	KRA	Δ=77,9°		
	(SKM)	eP	08 11 21	
		Z: 1,0s; 0,036 μ		
		e1pP	37	
	NIE	Δ=78,5°		
		e1P	08 11 25	
		Pm	28,4	
		Z: 1,0s; 0,010 μ		
		ipP	39,1	
		isP	42	

International Seismological Centre

Date	Station	Phase	T.U. h m s	
26.VI	Hondo, Japon, Moskva: 32,1°N,137,9°E H=09h52m22s, h=400 km; mPV(SKM)=5,5			
	KRA	Δ=81,7°		
	(SKM)	e1P	10 03 57,4	D
		Z: 1,0s; 0,13 μ		
		iPcP	04 00,7	
		e1pP	05 33	
	(GW)	eS	13 37	
	NIE	Δ=81,9°		
		iP	10 03 59	D
		Pm	04 01	
		Z: 1,1s; 0,041 μ		
		iPcP	03	
26.VI	Iles Kouriles, Moskva: 44,5°N, 147,5°E, H=10h31m23s, h=90 km; mPV(SKM)=5,5			
	KRA	Δ=75,6°		
	(SKM)	e1P	10 42 58,7	C
		Z: 1,1s; 0,055 μ		
		iPcP	43 08,7	
		esP	40	
	(GW)	eS	52 42	
		Lm	11 21,2	
		NE: 14s; 2,0 μ, 1,5 μ		
	NIE	Δ=75,9°		
		iP	10 43 00,5	
		Pm	04,1	
		Z: 0,9s; 0,022 μ		
		iPcP	13,5	
26.VI	KRA			
	(SKM)	iP	12 42 37,3	
		Z: 1,4s; 0,55 μ		
		i	40,7	
		i	47,6	
	NIE			
		iP	12 42 40	C
		Z: 1,0s; 0,13 μ		
		i	52	
26.VI	Hokkaido, Japon, Moskva: 43,1°N, 148,2°E, H=13h06m56s; mPV(SKM)=5,6, mPV=5,8(Kraków), 5,2(Niedzica)			
	KRA	Δ=77,0°		
	(SKM)	iP	13 16 51,6	D
		Z: 1,3s; 0,11 μ		
		iPcP	19 06,1	
	(GW)	eS	28 39	
	NIE	Δ=77,1°		
		e1P	13 18 54	

Date	Station	Phase	T.U. h m s	
26.VI	NIE	Pm	13 18 55,5	
		Z: 1,3s; 0,030 μ		
		i	19 02,1	
		iPcP	09,2	
26.VI	Taiwan, Moskva: 24,3°N, 122,1°E, H=15h25m30s; mPV(SKM)=5,3			
	KRA	Δ=79,2°		
	(SKM)	eP	15 37 31,6	
26.VI	Tadzhik, URSS, Moskva: 38,0°N, 69,7°E, H=16h54m17s; mPV(SKM)=4,7, mPV=5,0(Niedzica), 5,3(Kraków)			
	NIE	Δ=36,8°		
		iP	17 01 30	C
		Z: 0,9s; 0,019 μ		
		ei	34,7	
		ei(PP)	02 46	
	KRA	Δ=37,1°		
	(SKM)	iP	17 01 30,8	
		Z: 0,7s; 0,033 μ		
26.VI	NIE			
		e1P	18 13 47	
		i	14 03,9	
26.VI	NIE			
		e1P	18 51 32,7	
		i	52,5	
26.VI	NIE			
		e1P	23 55 51,6	
		Z: 0,9s; 0,008 μ		
		ei	56 03	
		i	10,1	
28.VI	Iles Kouriles, Moskva: 43,5°N, 147,8°E, H=02h50m51s; mPV(SKM)=5,2, mPV=4,8(Niedzica)			
	KRA	Δ=76,5°		
	(SKM)	eP	03 02 38	
		e1PcP	51	
	NIE	Δ=76,9°		
		iP	03 02 42	
		Z: 1,1s; 0,008 μ		
		iPcP	55,9	
28.VI	Hindou-Kouch, NEIS: 36,5°N, 70,2°E, H=04h26m32,8s, h=216 km; mb=4,9			
	NIE	Δ=38,0°		
		iP	04 33 33,5	D
		Z: 0,9s; 0,023 μ		
		epP	34 20	

Date	Station	Phase	T.U. h m s	
28.VI	KRA	Δ=38,3°		
	(SKM)	e1P	04 33 33,8	C
		Z: 0,7s; 0,029 μ		
28.VI	KRA			
	(SKM)	e1P	04 37 21,6	
		Z: 1,0s; 0,042 μ		
	NIE			
		e1P	04 37 23,9	
		i	36	
		Z: 1,0s; 0,016 μ		
28.VI	Iran, Moskva: 31,5°N, 48,9°E, H=16h 31m05s; mPV(SKM)=4,8			
	KRA	Δ=28,3°. Traces		
	(SKM)	eP	16 37 00	
29.VI	Nouvelles Hébrides, NEIS: 13,3°S, 167,1°E, H=00h30m16,7s, h=200 km; mb=5,4			
	KRA	Δ=134,8°		
	(SKM)	ePKIKP	00 49 12	
		ePP	51 49	
29.VI	Mer du Japon, Moskva: 39,1°N, 130,1°E, H=10h37m45s, h=600 km; mPV(SKM)=6,9			
	KRA	Δ=72,3°		
	(SKM)	iP	10 48 11,6	D
		Z: 0,8s; 0,84 μ		
		iPcP	24,7	
		iPP	50 10,2	
		Z: 2,0s; 2,96 μ		
	(GW)	e1S	56 46	
29.VI	KRA			
	(SKM)	iP	10 51 04,7	D
		Z: 1,5s; 1,0 μ		
	(GW)	i	36	
29.VI	KRA			
	(SKM)	iPe	11 15 43,7	
		Z: 1,8s; 0,86 μ		
		ei	18 29	
29.VI	Mer de Rouge, Moskva:17,9°N, 39,6°E, H=21h45m53s; mPV(SKM)=5,2			
	KRA	Δ=35,5°. Traces		
	(SKM)	eP	21 52 53	

Date	Station	Phase	T.U. h m s	
30.VI	KRA	Traces		
	(SKM)	e1P	08 53 56,4	
		Z: 0,8s; 0,018 μ		
30.VI	Iles Andaman, NEIS: 13,1°N, 93,2°E, H=08h50m43,5s, h normale; mb=5,1			
	KRA	Δ=69,7°		
	(SKM)	iP	09 01 49,5	C
	KSP	Δ=71,7°		
		eP	09 02 04	
30.VI	KRA			
	(SKM)	iP	10 52 48,0	
		Z: 0,6s; 0,031 μ		
		i	55,8	
30.VI	Grèce, BCIS: 38°21´N, 21°38´E, H=13h26m56s; Ms=5,4(Athènes), MLH=5,2 (Kraków)			
	KRA	Δ=11,6°		
	(SKM)	iP	13 29 48,8	
		iPP	53,4	
		i	30 07,1	
	(GW)	iS	32 05	
		e1L	33,2	
		Lm	34,8	
		EZ: 7,5s; 11 μ, 1,1 μ		
		Lm	35,1	
		N: 10s; 9,9 μ		
30.VI	Grèce, BCIS: 38,3°N, 21,7°E, H=18h40m29s; MLH=4,5(Skopje)			
	KRA	Δ=11,5°. Traces		
	(SKM)	eP	18 43 22	
30.VI	États-Unis, NEIS: 44,7°N, 110,8°W, H=18h54m14,0s, h=10 km; mb=6,0, mPV=5,5 (Kraków), MLH=5,8(Kraków)			
	KRA	Δ=76,6°		
	(SKM)	eP	19 06 04	
		Pm	07,3	
		Z: 1,1s; 0,041 μ		
		iPcP	15,0	
	(GW)	eL	34,2	
		Lm	42,6	
		NE: 5s; 3,6 μ, 2,0 μ		

Cena zł 20,–

POLISH ACADEMY OF SCIENCES
PUBLICATIONS OF THE INSTITUTE OF GEOPHYSICS

B. SEISMOLOGY

The following volumes, which have been published previously in years 1963–1975, have been devoted to the problems of seismology:

2 Droste Z., Hordejuk J., Obsługa i wyznaczanie stałych sejsmografów polskiej sieci sejsmologicznej; PWN, Łódź–Warszawa 1964.
3 Wyniki rejestracji sejsmologicznych w polskich obserwatoriach 1959; PWN, Łódź–Warszawa 1964.
4 Wyniki rejestracji sejsmologicznych w polskich obserwatoriach 1960; PWN, Łódź–Warszawa 1964.
8 Wyniki rejestracji sejsmologicznych w polskich obserwatoriach 1961; PWN, Łódź–Warszawa 1965.
9 Wyniki rejestracji sejsmologicznych w polskich obserwatoriach 1962; PWN, Warszawa 1967.
15 Wyniki rejestracji sejsmologicznych w polskich obserwatoriach 1963; PWN, Warszawa 1967.
17 Hordejuk J., Application of electromechanical filters to low-frequency seismological investigations; PWN, Warszawa 1967.
21 Wyniki rejestracji sejsmologicznych w polskich obserwatoriach 1964; PWN, Warszawa 1968.
29 Résultats des enregistrements séismologiques dans les observatoires polonais 1965; PWN, Warszawa 1969.
40 Résultats des enregistrements séismologiques dans les observatoires polonais 1969, Bulletin séismologique préliminaire (parts 1–13); PWN, Warszawa 1974.
43 Résultats des enregistrements séismologiques dans les observatoires polonais 1966; PWN, Warszawa 1971.
45 Résultats des enregistrements séismologiques dans les observatoires polonais 1970, Bulletin séismologique preliminaire (parts 1–13); PWN, Warszawa 1971.
51 Catalogue of earthquake in Poland in 1000–1970 years; PWN, Warszawa 1972.
52 Résultats des enregistrements séismologiques dans les observatoires polonais 1967, PWN, Warszawa 1972.
59 Résultats des enregistrements séismologiques dans les observatoires polonais 1971, Bulletin séismologique (parts 1–13); PWN, Warszawa 1972.
61 Résultats des enregistrements séismologiques dans les observatoires polonais 1968, Bulletin séismologique (parts 1–13); PWN, Warszawa 1972.
65 Wojtczak-Gadomska B., Distribution of the released seismic energy and the number of earthquakes in deep structures of the Pacific area; PWN, Warszawa 1973.
66 Resultats des enregistrements séismologiques dans les observatoires polonais 1972, Bulletin séismologique (parts 1–5); PWN, Warszawa 1973.
79 Bulletin séismologique 1973 (parts 1–5); PWN, Warszawa 1974.
84 Kijko A., Methods for determining positions of very near earthquakes; PWN, Warszawa 1975.
95 Bulletin séismologique 1974 (parts 1–5); PWN, Warszawa 1974–1976.

International Seismological Centre

POLISH ACADEMY OF SCIENCES

PUBLICATIONS OF THE INSTITUTE OF GEOPHYSICS

B–1 (113)

part 3

BULLETIN SÉISMOLOGIQUE

1975

JUILLET AOÛT SEPTEMBRE

PAŃSTWOWE WYDAWNICTWO NAUKOWE
WARSZAWA 1976

Beginning from 1976, the Publications of the Institute of Geophysics, Polish Academy of Sciences (previously Materiały i Prace) are divided into the following series:

A – Physics of the Earth interior
B – Seismology
C – Earth magnetism
D – Atmosphere physics
E – Ionosphere physics
F – Planetary geodesy
G – Numerical methods in geophysics
M – Miscellanea

Starting with the present volume, every volume will have two indices: the first one describing the current number in the series and the second one, in brackets, will denote the general successive number, as it has been previously.

International Seismological Centre

POLISH ACADEMY OF SCIENCES

PUBLICATIONS OF THE INSTITUTE OF GEOPHYSICS

B–1 (113)

part 3

BULLETIN SÉISMOLOGIQUE

1975

JUILLET AOÛT SEPTEMBRE

PAŃSTWOWE WYDAWNICTWO NAUKOWE
WARSZAWA 1976

Editorial Committee
Roman TEISSEYRE (Editor), Zdzisław MAŁKOWSKI (Deputy Editor), Jan SŁOMKA, Jerzy JANKOWSKI, Maria WERNIK (Managing Editor)

Editor of Series
Roman TEISSEYRE

Editorial Address
Instytut Geofizyki Polskiej Akademii Nauk
ul. Pasteura 3, 02-093 Warszawa, Poland

All inquiries regarding the subscription rate and the price of each issue should be addressed to:
Export-Import Enterprise „Ruch"
ul. Wronia 23, 00-840 Warszawa, Poland

Printed in Poland

Państwowe Wydawnictwo Naukowe
Oddział w Łodzi 1976

Wydanie I. Nakład 375+85 egz. Arkuszy wyd. 3.25. Ark. druk. 2.25
Papier offset. kl. III. 80 g. 70×100. Podpisano do druku w listopadzie 1976 r.
Druk ukończono w listopadzie 1976 r. Zam. 629/76. Cena zł 20.–

Zakład Graficzny Wydawnictw Naukowych
Łódź, ul. Żwirki 2

International Seismological Centre

INTRODUCTION

Cette publication contient une élaboration des tremblements de terre distants enregistrés par les observatoires séismologiques de l´Institut du Géophysique de l´Académie Polonaise des Sciences. Un relevé des secousses les plus fortes provenant du territoire de la Haute Silésie en 1975, ainsi que des secousses locales dont les épicentres sont situés en dehors de la région de la Haute Silesie, sera présenté séparement dans un cahier du même volume. L´identification des secousses distantes s´appuie sur les données fournies par les centres séismologiques de NEIS (U.S. Department of the Interior), BCIS, ISC et Moskva. Les distances épicentrales Δ sont calculées d´après les coordonnées géocentriques avec une exactitude de $\pm 0{,}01^{\circ}$. Les valeurs des magnitudes des secousses dont les distances épicentrales sont $\geq 5^{\circ}$ ont été établies à base des ondes volumétriques et des ondes superficielles.

Les diagrammes de l´amplification dynamique des séismographes sont presentés dans les premier cahier du même volume (vol. 113 - part 1, p. 6-15).

CONSTANTES DES SÉISMOGRAPHES

Station	Type séismo-graphe	Comp.	Ts sec	Tg sec	Ds	Dg	σ^2	Vo	Vm	Tm sec	Période de validité
Warszawa (WAR)	GW	N-S	10,1	11,7	0,80	1,00	0,075	1410	1430	6,5-10,5	I - III
φ=52°14′30″N		E-W	9,80	11,3	1,01	1,00	0,077	1675	1030	4,0-9,7	
λ=21°01′25″E		Z	8,65	11,2	0,54	1,00	0,057	1130	1110	5,6-8,0	
h=110 m	SKD	N-S	25	80,0	1,0	0,4	0,114	645	700	18-60	I - III
		E-W	25	83,8	1,0	0,4	0,091	583	620	17-52	
		Z	25	83,2	1,1	0,5	0,137	723	790	17-60	
Kraków (KRA)	Ch	N-S	1,27	0,281	0,50	2,0	0,132	10500	11200	0,15-1,05	I - III
φ=50°03′22″N		E-W	1,27	0,280	0,50	2,0	0,139	10500	11200	0,15-1,05	
λ=19°56′23″E		Z	1,27	0,282	0,50	2,0	0,155	10500	11570	0,15-1,05	
h=223 m	SKM-3	N-S	1,28	0,580	0,50	0,49	0,013	21670	23670	0,47-0,78	I - III
		E-W	1,30	0,575	0,50	0,47	0,012	21440	23490	0,48-0,77	
		Z	1,45	0,580	0,60	0,49	0,014	24840	25790	0,47-0,75	
	GW	N-S	9,7	1,01	0,49	5,0	0,1	1475	1590	0,3-8	I - III
		E-W	11,1	1,00	0,47	5,0	0,1	1475	1530	0,3-8,5	
		Z	10,5	1,01	0,47	5,0	0,1	1010	1075	0,3-8	
	SKD	Z	25,0	91,5	1,0	0,50	0,204	760	810	17-59	I - III
Racibórz (RAC)	SK-58	N-S	1,18	1,00	0,61	0,5	0,011	3000	2900	0,75-1,1	I - III
φ=50°05′00″N		E-W	1,18	1,00	0,50	0,5	0,015	3000	3420	0,77-1,14	
λ=18°11′39″E		Z	1,11	1,05	0,50	0,5	0,015	3000	3300	0,78-1,13	
h=209 m	M	N-S	9,0	-	0,14	-	-	107	380	8-10	I - III
		E-W	9,0	-	0,22	-	-	124	300	6,5-9,5	
		Z	2,0	-	0,09	-	-	198	1100	1,8-2,1	
Niedzica (NIE)	SK-58	N-S	1,82	0,366	3,63	4,5	0,813	39500	44450	0,56-0,91	I - III
φ=49°25′25″N		E-W	2,01	0,312	3,44	4,1	0,904	37800	66780	0,68-0,88	
λ=20°19′19″E		Z	1,77	0,426	2,34	4,8	0,950	40480	128000	0,99-1,16	
h=555 m											
Książ (KSP)	SU-59	N-S	1,19	0,250	0,50	1,37	0,089	87450	90000	0,14-0,67	I - III
φ=50°50,6′N		E-W	1,22	0,240	0,62	1,44	0,142	108700	110000	0,16-0,75	
λ=16°17,6′E		Z	1,00	0,208	0,50	1,53	0,171	106300	110000	0,13-0,57	
h=380 m											

S y m b o l e s

Ts - période du pendule
Tg - période du galvanomètre
Ds - amortissement du pendule
Dg - amortissement du galvanomètre
σ^2 - coefficient du couplage

Vo - amplification statique $Vo = \frac{2A}{Io}\sqrt{\frac{Ks}{Kg}}\sqrt{\frac{Ds}{Dg}\frac{Tg}{Ts}\sigma^2}$

Vo - amplification statique pour les séismographes SKD $Vo = \frac{2A}{Io}\sqrt{\frac{Ks}{Kg}}\sqrt{\frac{Dg}{Ds}\frac{Ts}{Tg}\sigma^2}$

Vm - valeur de l'amplification maximalle de l'appareil séismique

Tm - intervalle des périodes pour lesquelles l'amplification est supérieure ou égale à 0,9 Vm

International Seismological Centre

International Seismological Centre

RESULTATS DES ENREGISTREMENTS

Date	Station	Phase	T.U. h m s
1975		JUILLET	1975
1.VII	Mer du Groenland, Moskva: 80,5°N, 5,6°W, H=03h27m22s; mPV(SKM)=4,8		
	KRA	Δ=32,0°. Traces	
	(SKM)	eP	03 33 50
2.VII	Cachemire-Tibet, NEIS: 32,2°N, 78,6°E, H=11h06m27,8s, h normale; mb=4,9		
	KRA	Δ=46,4°	
	(SKM)	eP	11 14 53
2.VII	Iles Kouriles, NEIS: 48,2°N, 154,4°E, H=19h42m30,1s, h normale; mb=5,0		
	KRA	Δ=74,8°	
	(SKM)	e1P	19 54 06,6 D
3.VII	Iles Fidji, NEIS: 17,2°S, 177,2°W, H=01h34m01,8s, h=422 km; mb=4,6		
	KSP	Δ=144,7°	
		1PKIKP	01 52 49,7 C
3.VII	Iles Kouriles, Moskva: 43,4°N, 148,0°E, H=03h47m27s, mPV(SKM)=5,0		
	KSP	Δ=77,2°	
		e1P	03 59 15,4
4.VII	Iles Tonga, NEIS: 21,1°S, 174,4°W, H=11h25m27,3s, h=32 km; mb=5,7		
	KRA	Δ=149,2°	
	(SKM)	e1PKP	11 45 13,4
		PKPm	16,5
		Z: 1,6s; 0,13 μ	
		$1PKP_2$	25
4.VII	Iles Flores, NEIS: 8,2°S, 123,0°E, H=20h40m10,9s, h=132 km, mb=5,6		
	KRA	Δ=104,6°	
	(SKM)	e1P	20 54 02,9
		e1PKP	58 27,4
4.VII			
	KRA	Traces	
	(SKM)	e1P	21 09 48,4
5.VII	Hondo, Japon, NEIS: 36,7°N, 140,2°E, H=02h18m46,8s, h=117 km; mb=4,8		
	KRA	Δ=79,0°. Traces	
	(SKM)	e1P	02 30 38,6
5.VII	Méditerranée, NEIS: 35,7°N, 22,8°E, H=10h31m49,8s, h=65 km; mb=3,3		
	KSP	Δ=15,8°	
		e1P	10 35 21
5.VII	Autriche, NEIS: 47,9°N, 14,1°E, H=12h49m01,5s, h=33 km		
	KSP	Δ=3,3°	
		ePn	12 49 51
		1S*	50 44,7
		Lm	48
		NEZ: 0,9s; 0,18 μ, 0,11 μ, 0,10 μ	
	KRA	Δ=4,3°. Traces	
	(SKM)	eSn	12 51 05
		eSg	18
6.VII	Iles Kouriles, NEIS: 43,8°N, 147,7°E, H=02h38m08,9s, h=33 km; mb=4,6		
	KRA	Δ=76,2°. Traces	
	(SKM)	e1P	02 49 55,4
		epP	50 07
6.VII	Indonésie, Moskva: 0,1°N, 124,8°E, H=21h05m08s; mPV(SKM)=5,7		
	KRA	Δ=99,5°. Traces	
	(SKM)	eP	21 18 49
7.VII	Iles Volcano, NEIS: 23,9°N, 142,9°E, H=12h15m53,9s, h=33 km; mb=5,6		
	KRA	Δ=90,9°	
	(SKM)	e1P	12 28 55,5
		ipP	29 05,5
		isP	12,0
7.VII	Taiwan, NEIS: 23,0°N, 120,0°E, H=17h50m00,1s, h=23 km; mb=4,8		
	KRA	Δ=78,9°. Traces	
	(SKM)	e1P	18 02 03,4
		Z: 1,0s; 0,024 μ	
7.VII	Iles Volcano, NEIS: 25,9°N, 141,0°E, H=19h28m43,3s, h=129 km; mb=5,8		
	KRA	Δ=88,3°	
	(SKM)	e1P	19 41 19,4 C
		Z: 0,9s; 0,053 μ	
	(GW)	e1S	51 51
7.VII	Iles Kouriles, NEIS: 43,8°N, 147,7°E, H=02h38m08,9s, h=33 km; mb=4,6		
(suite)	KRA	Δ=86,2°	
	(SKM)	e1SKS	19 51 24
		1S	36
		e1PS	52 32
		e1	53 40
8.VII	Golfe de Californie, NEIS: 29,5°N, 113,3°W, H=09h37m27,3s, h=33 km; mb=5,8		
	WAR	Δ=89,4°	
	(SKD)	e1P	09 50 24
		e1PP	53 56
		1S	10 01 20
		eL	07,6
		Lm	34 28
		Z: 18s; 75 μ	
	KRA	Δ=90,3°	
	(SKM)	eP	09 50 31
		Z: 1,7s; 0,07 μ	
		e1pP	40
		ePP	54 08
	(GW)	e1SKS	10 01 05
		Lm	33,6
		NEZ: 13s; 9,7 μ, 11 μ, 1,4 μ	
8.VII	Iles Tonga, NEIS: 20,0°S, 173,5°W, H=10h45m31,2s, h=12 km; mb=5,0		
	KRA	Δ=148,4°	
	(SKM)	e1PKIKP	11 05 18,1
		1PKHKP	21,0
		i(pPKP)	29,7
8.VII	Birmanie, NEIS: 21,5°N, 94,7°E, H=12h04m42,4s, h=157 km; mb=6,5		
	WAR	Δ=63,3°	
	(SKD)	iP	12 14 57 D
		i	15 25
		ipP	41
		e1PP	17 49
		i	18 49
		e1S	23 17
		1PS	27
	KRA	Δ=64,1°	
	(SKM)	iP	12 15 01,3 D
		Pm	04,1
		Z: 1,2s; 0,18 μ	
		1PcP	30,7
	(GW)	ipP	37
		isP	50
		iS	23 14
		Lm	31,6
		NEZ: 11s; 11 μ, 12 μ, 1,0 μ	
8.VII	Tibet, Moskva: 35,5°N, 87,7°E, H=14h51m28s, mPV(SKM)=5,1		
	KRA	Δ=50,2°. Traces	
	(SKM)	eP	15 00 26
8.VII	Iles Philippines, NEIS: 13,4°N, 120,1°E, H=18h07m37,5s, h=43 km; mb=4,9		
	KRA	Δ=86,3°	
	(SKM)	eP	18 20 17
		Z: 0,8s; 0,018 μ	
		e1pP	28
8.VII	Hondo, Japon, NEIS: 32,8°N, 142,2°E, H=22h46m19,2s, h=49 km, mb=6,0; MPV=6,2 (Kraków) MLH=5,9 (Kraków)		
	KRA	Δ=52,5	
	(SKM)	e1P	22 58 41,1 D
		Z: 0,9s; 0,18 μ	
		1PcP	47,8
		ipP	51,2
		isP	53,7
	(GW)	eS	23 08 59
		Lm	38,6
		NE: 15s; 3,8 μ, 2,7 μ	
9.VII			
	KRA	Traces	
	(SKM)	e1P	09 49 56,1
		Z: 0,7s; 0,016 μ	
9.VII	Birmanie, NEIS: 21,4°N, 94,6°E, H=11h30m27,4s, h=71 km; mb=5,0		
	KSP	Δ=66,4°	
		e1P	11 41 10,4
9.VII	Iles Kouriles, NEIS: 43,5°N, 147,3°E, H=11h34m45,7s, h=36 km; mb=5,1; MPV=5,4 (Kraków), MLH=5,8 (Kraków)		
	KRA	Δ=76,3°	
	(SKM)	e1P	11 46 31,1
		Z: 0,8s; 0,028 μ	
		ipP	41,8
	(GW)	eS	56 15
		Lm	12 26,2
		NE: 12s; 2,9 μ, 0,9 μ	
9.VII	Iles Ryu-Kyu, NEIS: 28,1°N, 130,2°E, H=12h55m25,0s, h=49 km; mb=5,3; MPV=5,9 (Kraków), 5,6 (Książ)		
	KRA	Δ=80,9°	
	(SKM)	e1P	13 07 33,6 C
		Z: 0,6s; 0,066 μ	
		ipP	46,5

ate	Station	Phase	T.U. h m s
.VII	KRA	i	13 16 21,1
uite)			
.VII	Chine. NEIS: 24,1°N, 103,4°E, $13^h55^m44,6^s$, h=33 km; mb=4,9		
	KSP	Δ=69,9°	
		eP	14 06 56
0.VII	Hondo, Japon, NEIS: 33,1°N, 137,2°E, $H=05^h31^m20,3^s$, h=373 km, mb=5,1		
	KRA	Δ=80,5°	
	(SKM)	eiP	05 42 52,7
		Z: 0,8s; 0,037 µ	
		ePcP	43 03
		epP	44 19
0.VII	Iles Philippines, NEIS: 6,5°N, 126,6°E, $H=18^h29^m16,0^s$, h=86 km; mb=6,2		
	WAR	Δ=94,2°	
	(SKD)	eiP	18 42 29
		eipP	49
		eiPP	46 25
		ei	29
		iSKS	53 03
		iS	21
		Lm	19 30 25
		Z: 24s; 75 µ	
	KRA	Δ=95,7°	
	(SKM)	eP	18 42 33 C
		Pm	36
		Z: 0,9s; 0,042 µ	
	(GW)	iS	53 29
		eL	19 18,0
		Lm	33,1
		NEZ: 17s; 10 µ, 19 µ, 1,9 µ	
11.VII			
	KRA		
	(SKM)	eiP	07 22 38,2
		Z: 0,7s; 0,016 µ	
11.VII	Iles Salomon, NEIS: 10,3°S, 161,2°E, $H=18^h54^m27,1^s$, h=79 km; mb=5,9		
	KRA	Δ=129,2°	
	(SKM)	ePKIKP	19 13 28
		Z: 1,5s; 0,061 µ	
		eiPP	15 36
		Z: 1,5s; 0,098 µ	
	WAR	Δ=127,2°	
	(SKD)	eiPP	19 15 29
		eiSKKS	22 09
		eiPcSPKP	25 21
		eL	55,1

Date	Station	Phase	T.U. h m s
12.VII	Nouvelles Hébrides, NEIS: 14,7°S, 167,2°E, $H=17^h08^m23,2^s$, h=125 km, mb=5,7		
	KRA	Δ=136,0°	
	(SKM)	eiPKIKP	17 27 31,1 D
		Z: 1,3s; 0,054 µ	
12.VII			
	KRA		
	(SKM)	eP	17 30 42
12.VII	Iles Kermadec, NEIS: 29,1°S, 177,5°W, $H=19^h04^m45,2^s$, h=63 km, mb=5,6		
	KRA	Δ=155,4°	
	(SKM)	eiPKIKP	19 24 32,8 D
		Z: 1,0s; 0,030 µ	
		eiPKHKP	42
		ePP	28 34
13.VII	Iles Fidji, NEIS: 17,8°S, 178,5°W, $H=23^h50^m44,7^s$, h=553 km; mb=3,9		
	KSP	Δ=145,0°	
		eiPKP	00 09 21,8
13.VII	Océan Atlantique, NEIS: 12,1°N, 44,0°W, $H=21^h05^m31,7^s$, h=33 km; mb=4,7; MPV=5,4(Kraków)		
	KRA	Δ=64,1°	
	(SKM)	eiP	21 16 06,1 C
		Z: 0,8s; 0,023 µ	
		eipP	13
14.VII	Turquie, Moskva: 39,8°N, 41,1°E, $H=07^h09^m13^s$; mPV(SKM)=4,8		
	KRA	Δ=17,9°. Traces	
	(SKM)	eP	07 13 21
14.VII			
	KRA		
	(SKM)	eiP	11 16 16,5
14.VII	Indonesie, NEIS: 1,6°S, 138,1°E, $H=14^h41^m39,8^s$, h=33 km; mb=5,6		
	KRA	Δ=109,1°	
	(SKM)	eiP	14 56 04,0
		eiPP	15 00 25
14.VII			
	KRA	Traces	
	(SKM)	eiP	15 11 24,0
14.VII	Crête médiane Indienne, NEIS: 40,4°S, 78,4°E, $H=23^h27^m55,0^s$, h=33 km; mb=5,6; MLH=6,0(Kraków)		
	KRA	Δ=103,4°	
	(SKM)	eiPP	23 46 17

International Seismological Centre

Date	Station	Phase	T.U. h m s
14.VII	KRA	Lm	00 38,2
(suite)		NE: 17s; 2,8 µ, 3,1 µ	
15.VII	Hokkaido, Japon, Moskva: 42,9°N, 148,4°E, $H=18^h08^m51^s$, mPV(SKM)=4,9		
	KRA	Δ=77,3°. Traces	
	(SKM)	eP	18 20 43
15.VII	Iles Kermadec, NEIS: 30,6°S, 177,4°W, $H=20^h03^m03,1^s$, h=54 km, mb=5,0		
	KSP	Δ=157,3°	
		ePKP	20 22 45
15.VII	Turquie, BCIS: 40,9°N, 36,1°E, $H=21^h59^m26^s$, mb=4,5(Demirkoy)		
	KRA	Δ=14,4°	
	(SKM)	eP	22 02 51
		Pm	03 01
		Z: 0,8s; 0,06 µ	
		iPP	04
16.VII	Iles Kouriles, NEIS: 43,2°F, 146,4°E, $H=03^h24^m42,7^s$, h=73 km, mb=4,9; MPV=5,5(Kraków)		
	KRA	Δ=76,1°	
	(SKM)	eiP	03 36 23,8 C
		Z: 0,9s; 0,032 µ	
		epP	11
		isP	48
16.VII	Hondo, Japon, NEIS: 37,1°N, 141,4°E, $H=09^h51^m34,3^s$, h=52 km; MPV=5,5(Kraków)		
	KRA	Δ=79,2°	
	(SKM)	eiP	10 03 34,6 D
		Z: 1,1s; 0,048 µ	
16.VII	Iles Kermadec, NEIS: 30,7°S, 177,5°W $H=18^h17^m41,0^s$, h=24 km, mb=5,3		
	WAR	Δ=154,5°	
	(SKD)	eiPKIKP	18 37 31
		eiPP	41 26
		eL	19 41,1
	KRA	Δ=156,8°	
	(SKM)	ePKIKP	18 37 35
		$eiPKP_2$	38 06
	(GW)	ePP	41 31
16.VII	Iles Kermadec NEIS: 30,9°S, 177,4°W, $H=19^h38^m23,4^s$, h=37 km, mb=5,3		
	KRA	Δ=157,1°	
	(SKM)	ePKIKP	19 58 17
		eiPKHKP	30
		$ePKP_2$	49

Date	Station	Phase	T.U. h m s
17.VII	Sumatra, NEIS: 4,4°S, 102,7°E, $H=02^h35^m21,9^s$, h=100 km; mb=5,1		
	KRA	Δ=88,7°	
	(SKM)	eP	02 48 07 D
		Z: 1,3s; 0,045 µ	
17.VII	Océan Atlantique, NEIS: 52,8°N, 34,9°W, $H=11^h42^m42,5^s$, h=33 km; mb=4,3		
	KRA	Δ=33,7°. Traces	
	(SKM)	eP	11 49 22
		eipP	29
17.VII	Cachemire-Tibet, NEIS: 35,5°N, 79,8°E, $H=13^h35^m31,1^s$, h=12 km, mb=4,7; MPV=5,2(Kraków)		
	KRA	Δ=45,1°	
	(SKM)	eP	13 43 48. D
		Pm	52
		Z: 0,8s; 0,023 µ	
18.VII	Afghanistan, NEIS: 31,0°N, 66,7°E, $H=09^h30^m12,2^s$, h=35 km, mb=4,9		
	KRA	Δ=39,5°	
	(SKM)	eP	09 37 41
18.VII	Iles Fidji, NEIS: 17,9°S, 178,3°W, $H=18^h43^m00,7^s$, h=464 km, mb=4,2		
	KSP	Δ=145,1°	
		eiPKP	19 01 45,1
19.VII	Hondo, Japon, NEIS: 29,3°N, 142,0°E, $H=04^h02^m14,1^s$, h=35 km, mb=5,7; MPV=5,8 (Kraków)		
	WAR	Δ=83,8°	
	(SKD)	eiP	04 14 30
		eiPP	17 42
		eiSKS	24 54
	KRA	Δ=86,0°	
	(SKM)	eiP	04 14 51,2 C
		Z: 1,1s; 0,081 µ	
		ipP	15 03,1
		eisP	08
		eiPP	18 12
	(GW)	eS	25 23
19.VII	Tibet-Inde, NEIS: 31,9°N, 78,6°E, $H=06^h10^m54,9^s$, h=40 km; mb=5,3; MPV=5,5 (Kraków)		
	KRA	Δ=45,6°	
	(SKM)	eiP	06 19 21,1 C
		Z: 1,0s; 0,048 µ	
	(GW)	eiPS	26 08

Date	Station	Phase	T.U. h m s
19.VII	Yougoslavie, BCIS: 43,5°N, 17,5°E, H=06h41m37s		
	KSP	Δ=7,4°	
		e1Pg	06 43 53,3
20.VII	Hondo, Japon, Moskva: 33,2°N, 140,6°E, H=01h02m43s; mPV(SKM)=5,7; MPV=5,5 (Kraków)		
	KRA	Δ=87,1°	
	(SKM)	1P	01 15 01,1 D
		Z: 0,8s; 0,028 µ	
		e1	23
20.VII	Iles Kermadec, NEIS: 30,9°S, 178,6°W, H=05h58m01,2s, h=103 km, mb=5,3		
	KRA	Δ=156,8°. Traces	
	(SKM)	ePKIKP	06 17 44
		ePKHKP	50
		1PKP2	18 14,6
20.VII	Iles Kouriles, NEIS: 44,4°N, 148,0°E, H=08h02m40,6s, h=82 km; mb=5,8; MPV=6,4 (Kraków)		
	KRA	Δ=75,8°	
	(SKM)	1P	08 14 18,4 C
		Z: 1,1s; 0,41 µ	
		1	28,6
		1sP	44,6
	(GW)	e1S	23 49
20.VII	Ile Macquarie, NEIS: 54,7°S, 144,5°E, H=08h48m04,8s, h=33 km; mb=5,2		
	KRA	Δ=146,5°. Traces	
	(SKM)	ePKP	09 07 45
		epPKP	56
20.VII			
	KRA		
	(SKM)	eP	09 18 57
		Z: 1,5s; 0,061 µ	
20.VII	Iles Salomon, NEIS: 6,8°S, 154,4°E, H=14h37m35,8s, h normale, ms=7,8		
	WAR	Δ=120,7°	
	(SKD)	e1Pdif	14 52 45
		e1PKIKP	56 45
		1PP	57 53
		Lm	15 43 06
		Z: 24s; 110 µ	
	KRA	Δ=122,7°	
	(SKM)	e1PKIKP	14 56 31,9 D
		1	36,2
		1pPKIKP	40,7

Date	Station	Phase	T.U. h m s
20.VII	KRA	ePP	14 58 14
	(GW)	1	38
		Lm	15 54,2
		NEZ: 20s; 100 µ, 70 µ, 10 µ	
20.VII	Taiwan, Moskva: 24,8°N, 121,7°E, H=15h38m27s; mPV(SKM)=5,6; MPV=5,3 (Kraków)		
	KRA	Δ=78,6°	
	(SKM)	eP	15 50 26
		Z: 1,2s; 0,031 µ	
		1pP	38
		e1sP	41
20.VII	Iles Salomon, NEIS: 6,9°S, 154,8°E, H=17h10m51,5s, h=24 km, mb=5,4		
	KSP	Δ=124,3°	
		ePKIKP	17 19 51
20.VII	Iles Salomon, Moskva: 7,0°S, 155,3°E, H=19h54m27s; mPV(SKM)=6,2		
	WAR	Δ=121,4°	
	(SKD)	e1Pdif	20 09 33
		e1PKIKP	13 17
		e1PP	14 47
	KRA	Δ=123,4°	
	(SKM)	ePKIKP	20 13 25
	(GW)	e1PP	15 10
		ePKKP	23 22
	(SKM)	e1PKKS	27 12,8
	(GW)	e1SKKS	30 39
		Lm	21 19,7
		NEZ: 18s; 36 µ, 20 µ 4,7 µ	
20.VII	Iles Salomon, NEIS: 6,6°S, 154,6°E, H=23h05m20,6s, h=64 km, mb=6,3		
	KRA	Δ=122,6°	
	(SKM)	1PKIKP	23 24 11,3
		Z: 2,0s; 0,26 µ	
		1	35,2
	(GW)	1(PP)	25 48
		Lm	00 21,7
		NE: 21s; 6,3 µ, 5,4 µ	
20.VII			
	KRA		
	(SKM)	e1P	23 34 06,2 D
		Z: 0,8s; 0,041 µ	
	(GW)	e1(S)	41 33
20.VII	Iles Salomon, Moskva: 5,9°S, 154,8°E, H=23h27m54s, mPV(SKM)=5,7		

International Seismological Centre

Date	Station	Phase	T.U. h m s
20.VII	KRA	Δ=122,2°	
(suite)	(SKM)	ePKIKP	23 46 48
		Z: 0,7s; 0,016 µ	
		ePP	48 40
21.VII	Mer de Banda, NEIS: 4,3°S, 127,3°E, H=00h08m29,2s, h=33 km; mb=5,8		
	KRA	Δ=104,4°	
	(SKM)	eP	00 22 33
21.VII	Iles Salomon, NEIS: 6,7°S, 155,3°E, H=02h03m59,8s, h=47 km; mb=5,7		
	WAR	Δ=121,1°	
	(SKD)	e1PKIKP	02 22 38
		1PP	24 12
		Lm	03 53 06
		Z: 20s; 37 µ	
	KRA	Δ=123,1°	
	(SKM)	1PKIKP	02 22 53,3
		Z: 1,4s; 0,13 µ	
		1pPKIKP	23 06,4
	(GW)	ePP	24 32
	(SKM)	ePKKP	32 45
21.VII	Iles Salomon, NEIS: 6,9°S, 155,3°E, H=02h39m01,2s, h=95 km, mb=6,1		
	KRA	Δ=123,3°	
	(SKM)	e1PKIKP	02 57 49,0 C
		Z: 1,1s; 0,15 µ	
		1(pPKP)	58 03,3
	(GW)	ePKS	03 01 20
		Lm	56,5
		NEZ: 20s; 14 µ, 13 µ, 1,9 µ	
21.VII			
	KRA		
	(SKM)	eP	03 07 40
		Z: 1,4s; 0,073 µ	
21.VII	Iles Salomon, Moskva: 6,9°S, 154,8°E, H=04h09m50s, mPV(SKM)=5,7		
	KRA	Δ=123,0°	
	(SKM)	e1PKIKP	04 28 51,0
		e1PP	30 28
21.VII	Iles Salomon, NEIS: 7,0°S, 154,6°E, H=04h21m05,3s, h=28 km; mb=5,2		
	KSP	Δ=124,3°	
		ePKIKP	04 39 58
21.VII	Golfe d'Aden, NEIS: 13,9°N, 51,6°E, H=13h27m44,7s, h normale, mb=5,1		
	KRA	Δ=44,1°	

Date	Station	Phase	T.U. h m s
21.VII	KRA	eP	13 35 55
	(SKM)	1pP	36 05
		sPP	37 40
22.VII	Iles Salomon, NEIS: 6,4°S, 154,9°E, H=04h50m18,0s, h=58 km, mb=5,5		
	KSP	Δ=123,9°	
		e1PKIKP	05 09 10,3
22.VII	Iles Fidji, NEIS: 21,0°S, 178,6°W, H=12h13m53,8s, h=572 km; mb=4,5		
	KSP	Δ=148,0°	
		e1PKHKP	12 32 35,1
22.VII	Iles Salomon, NEIS: 6,4°S, 155,0°E, H=13h31m42,9s, h=65 km, mb=5,4		
	KSP	Δ=124,0°	
		e1PKIKP	13 50 33,7
22.VII	Iles Salomon, Moskva: 7,1°S, 155,8°E, H=19h20m14s, mPV(SKM)=6,1		
	KRA	Δ=123,7°	
	(SKM)	1PKIKP	19 39 09,4 D
		Z: 0,7s; 0,025 µ	
23.VII	Iles Tonga, NEIS: 17,3°S, 175,3°W, H=01h58m54,0s, h=258 km; mb=4,8		
	KRA	Δ=145,3°	
	(SKM)	e1PKP	02 18 02,0
		Z: 1,0s; 0,029 µ	
23.VII	Océan Atlantique, NEIS: 23,2°N, 45,1°W, H=02h34m55,1s, h=33 km; mb=4,7		
	KRA	Δ=56,6°. Traces	
	(SKM)	eP	02 44 37
		e1pP	48
23.VII	Birmanie, NEIS: 26,5°N, 96,4°E, H=03h03m11,6s, h=33 km; mb=5,2; MPV=5,4 (Kraków)		
	KRA	Δ=61,7°	
	(SKM)	1P	03 13 28,2 D
		Z: 0,7s; 0,025 µ	
23.VII	Iles Salomon, NEIS: 7,2°S, 155,1°E, H=23h22m43,8s, h=42 km, mb=5,6		
	KRA	Δ=123,4°	
	(SKM)	ePKIKP	23 41 42
24.VII	Iles Fidji, NEIS: 23,5°S, 179,8°W, H=19h01m42,6s, h=579 km; mb=5,6		
	KRA	Δ=149,5°	
	(SKM)	1PKHKP	19 20 28,3 D
		Z: 0,7s; 0,037 µ	

Date	Station	Phase	T.U. h m s	
24.VII	KRA	$iPKP_2$	19 20 35,3	
(suite)		ipPKP	22 44,7	
25.VII	Alaska, Moskva: 55,8°N, 161,0°W, H=10h40m31s; mPV(SKM)=6,0; MPV=5,8(Kraków Książ)			
	KRA	Δ=74,8°		
	(SKM)	e1P	10 52 08,3	C
		Z: 1,0s; 0,090 μ		
		i	23,3	
	(GW)	eSKS	11 02 17	
25.VII	Grèce, BCIS: 38,3°N, 21,8°E, H=19h17m11s, Ms=5,0(Athènes); MLH=4,4(Kraków)			
	KRA	Δ=11,6°		
	(SKM)	eP	19 20 03	
		Pm	05	
		Z: 1,9s; 0,145 μ		
	(GW)	eL	23,0	
		Lm	25 52	
		NEZ: 7,0s; 0,8 μ, 1,3 μ, 0,3 μ		
25.VII	Iles Kouriles, Moskva: 43,6°N, 146,7°E, H=22h47m48s; mPV(SKM)=5,4; MPV=5,6(Kraków)			
	KRA	Δ=76,0°		
	(SKM)	e1P	22 59 32,3	
		Z: 1,0s; 0,048 μ		
27.VII	Méditerranée, NEIS: 33,1°N, 13,7°E H=11h49m00,6s, h=33 km; mb=3,9			
	KSP	Δ=17,8°		
		eP	11 53 00	
27.VII	Japon, NEIS: 33,0°N, 131,2°E, H=17h16m42,8s, h=136 km; mb=4,7			
	KRA	Δ=77,6°		
	(SKM)	eP	17 28 23	
		Z: 1,0s; 0,030 μ		
28.VII	Indonésie, Moskva: 0,3°N, 124,9°E, H=02h59m38s, h=55 km; mPV(SKM)=5,8			
	KRA	Δ=99,4°		
	(SKM)	eP	03 13 15	
		Z: 1,5s; 0,074 μ		
28.VII	Iles Fidji, NEIS: 20,4°S, 178,6°W, H=05h08m32,1s, h=609 km; mb=5,0			
	KRA	Δ=147,2°		
	(SKM)	ePKIKP	05 27 05	
		iPKIKP	09,4	

Date	Station	Phase	T.U. h m s	
28.VII	Iles Salomon, NEIS: 6,9°S, 154,5°E, H=08h44m55,3s, h=38 km; mb=5,7			
	KRA	Δ=122,8°		
	(SKM)	i(PKIKP)	09 03 17,6	
		Z: 0,6s; 0,039 μ		
		eipPKIKP	04 04	
28.VII	Espagne, BCIS: 38,7°N, 0,2°E, H=09h13m19s; M=4,1(Porto)			
	KSP	Δ=16,6°		
		eP	09 17 13	
28.VII	Dodécanèse, NEIS: 35,9°N, 27,3°E, H=11h04m28,9s, h=33 km; mb=4,1			
	KRA	Δ=14,9°		
	(SKM)	e1P	11 08 09,0	
		Z: 0,9s; 0,037 μ		
28.VII	Kirghiz, NEIS: 39,2°N, 72,5°E, H=12h32m03,3s, h=47 km; mb=5,2; MPV=5,5(Kraków)			
	KRA	Δ=38,2°		
	(SKM)	e1P	12 39 19,1	
		Pm	23,5	
		Z: 0,6s; 0,041 μ		
		isP	40 34,1	
29.VII	Oregon, NEIS: 43,7°N, 126,0°W, H=01h48m16,2s, h=33 km; mb=5,2			
	KRA	Δ=82,2°		
	(SKM)	eP	02 00 35	
29.VII	Cachemire-Tibet, NEIS: 32,6°N, 78,5°E, H=02h40m58,2s, h=51 km; mb=5,5; MPV=5,5(Kraków), MLH=5,2(Kraków)			
	KRA	Δ=46,1°		
	(SKM)	e1P	02 49 18,6	D
		Z: 1,5s; 0,086 μ		
		eisP	35	
		i	50 05	
	(GW)	e1S	56 03	
		e(SS)	59 10	
		Lm	03 08,3	
		NE: 11s; 1,4 μ, 0,6 μ		
29.VII	Dodécanèse, NEIS: 35,4°N, 27,8°E, H=10h30m37,9s, h=68 km; mb=3,4			
	KRA	Δ=15,5°. Traces		
	(SKM)	e1P	10 34 21,0	
		Z: 0,9s; 0,037 μ		

International Seismological Centre

Date	Station	Phase	T.U. h m s	
29.VII	Pakistan, NEIS: 25,2°N, 63,1°E, H=13h25m21,8s, h=33 km, mb=5,4; MPV=5,6 (Kraków)			
	KRA	Δ=41,3°		
	(SKM)	eP	13 33 07	
		Z: 0,7s; 0,062 μ		
		ipP	15	
		eisP	20	
29.VII	Iles Kouriles, NEIS: 46,6°N, 151,5°E, H=14h00m32,4s, h=83 km, mb=5,2			
	KRA	Δ=75,2°		
	(SKM)	eP	14 12 07	
		esP	30	
29.VII	Crète, BCIS: 34,8°N, 25,1°E, H=15h07m15s, h=60 km ± 10 km, MLH=4,7(Skopje)			
	KRA	Δ=15,4°		
	(SKM)	e1P	15 10 50,7	
		Z: 1,5s; 0,074 μ		
		e1PP	11 00	
29.VII	Océan Atlantique, Moskva: 0,7°S, 15,8°W, H=21h13m46s; mPV(SKM)=5,0			
	KRA	Δ=58,9°. Traces		
	(SKM)	eP	21 23 48	
29.VII	Albanie, NEIS: 41,6°N, 19,3°E, H=22h21m08,1s, h=48 km; mb=3,9			
	KRA	Δ=8,2°		
	(SKM)	ePn	22 23 12	
30.VII	Indonésie, Moskva: 9,4°S, 123,7°E, H=09h17m13s, mPV(SKM)=6,1; MLH=6,0(Kraków)			
	KRA	Δ=106,0°		
	(SKM)	ePKIKP	09 35 43	
	(GW)	eSKS	42 10	
		Lm	10 29,5	
		NEZ: 20s; 3,4 μ, 3,9 μ, 0,3 μ		

Date	Station	Phase	T.U. h m s	
30.VII	WAR	Δ=105,1°		
	(SKD)	e1SKS	09 42 07	
		ePS	44 55	
30.VII	Turquie, BCIS: 39,4°N, 32,0°E, H=16h25m20s; ML=4,6(Istanbul-K); MLH=4,4 (Kraków)			
	KRA	Δ=13,5°		
	(SKM)	eP	16 28 34	
		Pm	36	
		Z: 1,7s; 0,053 μ		
		iPP	46,1	
	(GW)	Lm	35,0	
		NE: 13s; 2,1 μ, 1,6 μ		
31.VII	Iles Tonga, NEIS: 15,9°S, 173,0°W, H=08h38m57,3s, h=25 km; mb=5,2			
	KRA	Δ=144,6°		
	(SKM)	e1PKP	08 58 33,6	C
		Z: 1,0s; 0,024 μ		
31.VII	Tadzhikistan, NEIS: 39,7°N, 70,6°E, H=11h07m14,9s, h=40 km; mb=4,9; MPV=5,0 (Kraków)			
	KRA	Δ=36,7°		
	(SKM)	eP	11 14 22	
		Z: 1,1s; 0,021 μ		
		e1PP	15 49	
31.VII	Nouvelle Bretagne, NEIS: 5,2°S, 152,8°E, H=16h24m32,5s, h=53 km; mb=5,7			
	KRA	Δ=120,5°		
	(SKM)	e1PKIKP	16 43 20,6	D
		Z: 1,5s; 0,037 μ		
31.VII				
	KRA			
	(SKM)	iP	22 43 45,4	D
		Z: 0,5s; 0,025 μ		

1975 A O Û T 1975

Date	Station	Phase	T.U. h m s	
1.VIII				
	KRA			
	(SKM)	iP	05 37 38,3	D
		Z: 0,7s; 0,033 μ		
1.VIII	Californie, Moskva: 39,6°N, 121,5°W, H=20h20m11s, mPV(SKM)=5,9, MPV=6,3(Kraków, Niedzica)			

Date	Station	Phase	T.U. h m s	
1.VIII	WAR	Δ=82,9°		
	(SKD)	iP	20 32 41	
		e1SKS	42 53	
		e1ScS	43 05	
		eL	21 05	
	KRA	Δ=84,7°		
	(SKM)	eΓ	20 32 47	

Date	Station	Phase	T.U. h m s	
1.VIII (suite)	KRA (SKM)	Pm	20 32 52,5	
		Z: 1,6^s; 0,38 μ		
	(GW)	e1SKS	43 11,5	
		eL	21 02,0	
		Lm	09,6	
		NE: 17^s; 4,2 μ, 5,1 μ		
	NIE	Δ=85,4°		
		1P	20 33 00,5	
		Pm	05,2	
		Z: 1,5^s; 0,38 μ		
		1	20	
1.VIII	Iles Tonga, NEIS: 15,6°S, 173,7°W, H=23^{h}24^{m}24,7^s, h=83 km, mb=4,9			
	KRA	Δ=144,1°		
	(SKM)	ePKP	23 43 49	
		Z: 0,8^s; 0,028 μ		
	NIE	Δ=144,6°		
		e1PKP	23 44 02,1	D
		Z: 0,9^s; 0,040 μ		
2.VIII	Iles Fidji, NEIS: 22,0°S, 179,5°W, H=01^{h}45^{m}18,5^s, h=576 km; mb=5,3			
	NIE	Δ=148,7°		
		ePKIKP	02 04 07	
		iPKHKP	12	
		Z: 0,9^s; 0,070 μ		
2.VIII	Alaska, NEIS: 53,4°N, 161,5°W, H=10^{h}18^{m}17,9^s, h=33 km; mb=6,2; MPV=6,3 (Kraków)			
	WAR	Δ=74,7°		
	(GW)	1P	10 29 56	
		1S	39 33	
	KRA	Δ=77,2°		
	(SKM)	1P	10 30 08,7	D
		Pm	14,0	
		Z: 1,4^s; 0,39 μ		
		isP	21,7	
		Z: 1,1^s; 0,29 μ		
		1	27,0	
	(GW)	1PP	32 58,5	
		1S	39 55,5	
		e1L	11 01,8	
		Lm	09,8	
		NEZ: 18^s; 8,1 μ, 6,3 μ, 1,1 μ		
2.VIII	Californie, Moskva: 39,7°N, 121,5°W, H=20^{h}22^{m}21^s; mPV(SKM)=5,3; MPV=5,7(Kraków)			
	KRA	Δ=84,6°		

Date	Station	Phase	T.U. h m s	
2.VIII	KRA (SKM)	iP	20 34 51,0	C
		Z: 1,5^s; 0,090 μ		
2.VIII	Californie, Moskva: 40,0°N, 121,4°W, H=20^{h}59^{m}09^s, mPV(SKM)=5,5; MPV=6,0(Kraków)			
	KRA	Δ=84,3°		
	(SKM)	e1P	21 11 38,5	
		Z: 1,9^s; 0,26 μ		
3.VIII	Pérou, Moskva: 15,6°S, 75,8°W, H=11^{h}59^{m}17^s, M=5,8; MLH=5,9(Kraków)			
	KRA	Δ=105,4°		
	(GW)	eP	12 13 28	
	(SKM)	ePKP	17 42	
	(GW)	e1SKS	24 13	
		ePS	27 16	
		Lm	13 00,1	
		NE: 18^s; 2,9 μ, 1,9 μ		
4.VIII	Chine, Moskva: 39,7°N, 74,0°E, H=08^{h}23^{m}50^s; mPV(SKM)=4,8; MPV=5,0(Niedzica), 5,2(Kraków)			
	NIE	Δ=38,7°		
		iP	08 31 16	C
		Z: 0,9^s; 0,017 μ		
	KRA	Δ=38,9°		
	(SKM)	iP	08 31 16,7	D
		Z: 0,8^s; 0,028 μ		
4.VIII	Iles Kouriles, NEIS: 48,9°N, 156,1°E, H=18^{h}51^{m}05,4^s, h=33 km; mb=4,7; MPV=4,7(Niedzica)			
	NIE	Δ=75,2°		
		e1P	19 02 46	
		Z: 1,0^s; 0,007 μ		
		esP	58	
4.VIII	Iles Kouriles, NEIS: 46,1°N, 150,8°E, H=18^{h}59^{m}54,8^s, h=33 km, mb=4,9; MPV=5,1(Niedzica)			
	NIE	Δ=75,8°		
		iP	19 11 38,8	D
		Z: 0,9^s; 0,016 μ		
		esP	51	
4.VIII	Iles Volcano, Moskva: 23,6°N, 142,8°E, H=23^{h}19^{m}15^s, h=55 km; mPV(SKM)=5,6; MPV=5,1(Kraków)			
	KRA	Δ=91,1°		
	(SKM)	e1P	23 32 14,5	D
		Z: 1,2^s; 0,016 μ		
		epP	29	

International Seismological Centre

Date	Station	Phase	T.U. h m s	
4.VIII (suite)	NIE	Δ=91,3°		
		eP	23 32 16	C
5.VIII				
	KRA (SKM)	iP	06 15 04,7	
		Z: 0,8^s; 0,023 μ		
	NIE			
		iP	06 15 10,9	
		Z: 0,9^s; 0,006 μ		
6.VIII				
	KRA (SKM)	e1P	00 07 03,4	D
		Z: 0,9^s; 0,021 μ		
	NIE			
		iP	00 07 15,3	D
		Z: 0,8^s; 0,008 μ		
6.VIII	Caucase, NEIS: 40,7°N, 48,6°E, H=00^{h}54^{m}58,7^s, h=20 km; mb=4,4			
	KRA	Δ=22,0°		
	(SKM)	eP	00 59 53	
	NIE	Δ=21,6°		
		eP	00 59 55	
		iPP	01 00 08	
6.VIII	Californie, Moskva: 39,8°N, 121,6°W, H=03^{h}50^{m}33^s; mPV(SKM)=5,3; MPV=5,4(Kraków), 4,9(Niedzica)			
	KRA	Δ=84,6°		
	(SKM)	e1P	04 03 04,0	C
		Z: 1,2^s; 0,039 μ		
	NIE	Δ=84,9°		
		1P	04 03 07,9	C
		Z: 1,1^s; 0,009 μ		
6.VIII	Océan Atlantique. NEIS: 33,8°N, 39,3°W, H=18^{h}01^{m}39,1^s, h=33 km; mb=5,4; MPV=5,8(Kraków), 5,5(Niedzica), MLH=5,1 (Kraków)			
	KRA	Δ=45,8°		
	(SKM)	e1P	18 09 58,8	
		Z: 1,9^s; 0,19 μ		
	(GW)	1PP	12 00	
		e1S	16 49	
		Lm	27,5	
		NEZ: 9^s; 0,9 μ, 0,7 μ, 0,1 μ		
	NIE	Δ=46,0°		
		e1P	18 10 02,0	C
		Z: 1,6^s; 0,089 μ		

Date	Station	Phase	T.U. h m s	
6.VIII	NIE	ipP	18 10 13,0	
		isP	16,8	
	WAR	Δ=46,4°		
	(SKD)	e1P	18 10 03	
		eL	23,5	
6.VIII	Iles Fidji, Moskva: 21,7°S, 179,6°W, H=20^{h}14^{m}12^s, mPV(SKM)≈5,5			
	NIE	Δ=148,0°		
		e1PKP	20 33 54,4	D
		Z: 1,0^s; 0,016 μ		
		1PKP$_2$	59,1	
6.VIII	Mer du Japon, Moskva: 44,4°N, 139,2°E, H=21^{h}37^{m}41^s, h=225 km; mPV(SKM)=5,8			
	KRA	Δ=72,3°		
	(SKM)	iP	21 48 43,7	D
		Z: 0,8^s; 0,388 μ		
7.VIII	Grèce, BCIS: 38,3°N, 21,6°E, H=01^{h}00^{m}55^s; mb=4,0(Skopje)			
	NIE	Δ=10,9°		
		eP	01 03 34	
7.VIII				
	NIE			
		iP	01 14 13,6	C
		Z: 0,9^s; 0,022 μ		
	KRA			
	(SKM)	e1P	01 14 41,9	C
		Z: 1,4^s; 0,073 μ		
7.VIII	Kazakstan, BCIS: 49,9°N, 78,9°E, H=03^{h}57^{m}00^s; mPV=5,3(Moxa); MPV=5,5(Kraków)			
	KRA	Δ=37,2°		
	(SKM)	iP	04 04 07,9	C
		Z: 0,7^s; 0,049 μ		
	NIE	Δ=37,2°		
		e1P	04 04 08,8	
		1	22,2	
7.VIII	Turquie, NEIS: 39,0°N, 27,7°E, H=09^{h}13^{m}35,4^s, h=38 km			
	KSP	Δ=14,3°		
		e1P	09 16 55	
7.VIII	Nouvelle Guinée, Moskva: 3,7°S, 140,1°E, H=13^{h}28^{m}27^s; mPV(SKM)=5,7			
	NIE	Δ=111,9°		
		ePKP	13 46 56	
7.VIII	Malaga, BCIS: 36,4°N, 4,6°W, H=15^{h}30^{m}24^s, h=95 km			
	KRA	Δ=22,2°		

Date	Station	Phase	T.U. h m s	
7.VIII	KRA	eiP	15 35 11,9	
(suite)	(SKM)	Z: 0,8^s; 0,037 µ		
		eipP	33,4	
		eiPPP	54,9	
	(GW)	eiL	43,0	
	NIE	Δ=22,2°		
		iP	15 35 12,1	D
		Z: 0,7^s; 0,022 µ		
		ipP	33,3	
		isP	40,6	
7.VIII	Iles Fidji, Moskva: 22,9°S, 179,4°E, H=20^{h}12^{m}07^s, h=550 km; mPV(SKM)=5,5			
	NIE	Δ=149,0°		
		ePKIKP	20 30 49,3	D
		Z: 1,1^s; 0,012 µ		
		iPKHKP	54,8	
		Z: 1,0^s; 0,17 µ		
	KRA	Δ=148,7°		
	(SKM)	iPKHKP	20 30 53,1	C
		Z: 1,5^s; 0,44 µ		
	(GW)	ePP	34 10	
8.VIII	Iles Salomon, Moskva: 6,2°S, 154,5°E, H=00^{h}39^{m}24^s; mPV(SKM)=5,6			
	NIE	Δ=122,4°		
		eiPKIKP	00 58 22,0	
		Z: 1,1^s; 0,005 µ		
8.VIII				
	NIE			
		eP	04 34 34	
8.VIII	Californie, Moskva: 39,9°N, 121,5°W, H=07^{h}00^{m}54^s; mPV(SKM)=5,2; MPV=5,3(Kraków), 5,0(Niedzica)			
	KRA	Δ=84,5°. Traces		
	(SKM)	eP	07 13 24	
		Z: 1,4^s; 0,032 µ		
	NIE	Δ=85,1°		
		iP	07 13 28,2	C
		Z: 1,4^s; 0,016 µ		
8.VIII	Région des Iles Fidji, NEIS: 23,1°S, 177,3°W, H=12^{h}43^{m}52,0^s, h=239 km; mb=4,9			
	NIE	Δ=150,5°		
		eiPKP$_2$	13 03 17	
		Z: 1,0^s; 0,017 µ		
8.VIII	Taiwan, NEIS: 22,6°N, 122,4°E, H=17^{h}07^{m}42,5^s, h=15 km; mb=5,6			
	NIE	Δ=80,7°		
		eP	17 19 57	
9.VIII	Nouvelles Hébrides, NEIS: 20,8°S, 168,5°E, H=06^{h}35^{m}12,1^s, h=5 km, mb=5,3			
	NIE	Δ=142,0°		
		ePKP	06 54 43	
		Z: 0,9^s; 0,008 µ		
9.VIII	Iles Philippines, Moskva: 9,6°N, 126,0°E, H=07^{h}35^{m}16^s; mPV(SKM)=5,5			
	KRA	Δ=92,9°. Traces		
	(SKM)	eP	07 48 24	
	(GW)	eSKS	59 15	
	NIE	Δ=92,9°		
		eP	07 48 26	
		Z: 0,9^s; 0,009 µ		
10.VIII	Colombie, NEIS: 5,3°N, 77,5°W, H=00^{h}07^{m}43,3^s, h=50 km; mb=4,6			
	KSP	Δ=88,3°		
		eP	00 20 31	
10.VIII	Iles Aléoutiennes, Moskva: 51,3°N, 173,9°E, H=03^{h}12^{m}47^s; mPV(SKM)=5,2; MPV=5,5 (Kraków), 4,8(Niedzica)			
	KRA	Δ=76,9°		
	(SKM)	eiP	03 24 39	
		Z: 1,5^s; 0,074 µ		
	NIE	Δ=77,4°		
		eP	03 24 43	D
		Z: 1,1^s; 0,009 µ		
10.VIII	Pamir, Moskva: 38,9°N, 70,7°E, H=03^{h}31^{m}56^s, mPV(SKM)=4,6			
	NIE	Δ=37,0°		
		eP	03 39 06	
10.VIII	Iles Salomon, NEIS: 7,0°S, 154,8°E, H=04^{h}10^{m}38,9^s, h=34 km, mb=5,1			
	NIE	Δ=123,2°		
		ePKIKP	04 29 37	
		ipPKIKP	47	
10.VIII	Argentine, NEIS: 22,6°S, 66,6°W, H=10^{h}25^{m}43,3^s, h=166 km; mb=6,2			
	KRA	Δ=104,8°		
	(SKM)	eP	10 39 31	
		epP	40 11	
		eiPP	43 46	
		eipPP	45 31	
		e(PS)	53 52	
10.VIII	KRA	iPKKP	10 55 33,4	
(suite)	NIE	Δ=104,8°		
		eiP	10 39 34,5	
		Z: 1,4^s; 0,016 µ		
		iPP	43 47,5	
		i	55 15,7	
		Z: 1,0^s; 0,029 µ		
		iPKKP	33,9	
10.VIII	Iles Philippines, Moskva: 6,3°N, 127,0°E, H=17^{h}28^{m}40^s, h=70 km, mPV(SKM)=6,1; MPV=6,0(Kraków), 5,7(Niedzica)			
	WAR	Δ=94,6°		
	(SKD)	eiP	17 41 55	
		eiPP	45,47	
	KRA	Δ=96,1°		
	(SKM)	eiP	17 42 00,2	
		Z: 1,2^s; 0,063 µ		
		isP	33	
		eiPP	46 02	
	(GW)	eSKS	52 31	
	NIE	Δ=96,0°		
		eiP	17 42 01,7	C
		Z: 1,4^s; 0,045 µ		
		iPcP	14,9	
		eipP	23	
10.VIII	Iles Loyauté, NEIS: 21,9°S, 170,2°E, H=20^{h}25^{m}27,8^s, h=52 km			
	KSP	Δ=144,6°		
		ePKP	20 44 58	
10.VIII	Italie, BCIS: 38,7°N, 15,9°E, H=20^{h}55^{m}53^s, h=240 ± 20 km; ML=4,1(Athènes)			
	NIE	Δ=10,9°		
		eP	20 58 31	
		ei	42	
11.VIII				
	NIE			
		eiP	02 50 00,5	
		Z: 1,0^s; 0,009 µ		
	KRA	Traces		
	(SKM)	ei	02 50 57,7	
11.VIII				
	KRA	Traces		
	(SKM)	eP	06 24 11	
		Z: 1,4^s; 0,052 µ		
	NIE	Traces		
		eP	06 24 16	D
		Z: 1,3^s; 0,015 µ		
11.VIII				
	NIE			
		iP	20 49 41,6	C
		Z: 1,0^s; 0,004 µ		
12.VIII				
	KRA			
	(SKM)	eiP	01 31 25,2	
		Z: 0,6^s; 0,027 µ		
12.VIII	Iles Tonga, NEIS: 16,6°S, 173,8°W, H=01^{h}29^{m}47,4^s, h=43 km; mb=4,6			
	NIE	Δ=145,5°		
		ePKP	01 49 23	
12.VIII	Hondo, Japon, Moskva: 32,2°N, 138,0°E, H=08^{h}51^{m}43^s, h=390 km; mPV(SKM)=4,7			
	KRA	Δ=81,6°		
	(SKM)	e(P)	09 03 07	
		eisP	04 51	
12.VIII	Hondo, Japon, NEIS: 32,0°N, 137,7°E, H=14^{h}21^{m}04,7^s, h=391 km; mb=5,7			
	WAR	Δ=79,5°		
	(SKD)	iP	14 32 34	
		eipP	33 58	
		iS	41 58	
		eiPS	44 10	
	KRA	Δ=81,7°		
	(SKM)	eiP	14 32 40,5	
		Pm	44,5	
		Z: 1,2^s; 0,28 µ		
		iPcP	47,0	
		Z: 1,3^s; 0,56 µ		
	(GW)	eipP	34 11	
		iS	42 19	
		Lm	15 07,7	
		NEZ: 16^s; 11 µ, 6,4 µ, 0,8 µ		
12.VIII	URSS, Moskva: 70,8°N, 126,6°E, H=14^{h}59^{m}58^s; mPV(SKM)=5,2; MPV=5,5(Kraków)			
	KRA	Δ=48,9°		
	(SKM)	eiP	15 08 46,5	
		Z: 0,9^s; 0,042 µ		
12.VIII				
	NIE	Traces		
		eiP	19 07 06,8	D
		Z: 0,9^s; 0,006 µ		
13.VIII	Iles Tonga, NEIS: 21,0°S, 174,5°W, H=00^{h}42^{m}36,3^s, h=109 km, mb=4,8			

International Seismological Centre

Date	Station	Phase	T.U. h m s	
13.VIII	KRA	Δ=149,1°		
(suite)	(SKM)	ePKP	01 02 06	
		e1PKP$_2$	13	
		e1pPKP	29	
	NIE	Δ=149,5°		
		ePKP	01 02 10	
		1PKP$_2$	15,3	
		Z: 0,9^s; 0,029 μ		
		1pPKP	26,6	
13.VIII				
	NIE	Traces		
		iP	04 21 15	
		Z: 0,9^s; 0,006 μ		
13.VIII				
	KRA	Traces		
	(SKM)	e1P	06 51 11,5	
		Z: 0,5^s; 0,025 μ		
	NIE			
		eP	06 51 22	
		Z: 0,9^s; 0,006 μ		
13.VIII	Islande, BCIS: 66,6°N, 18,3°W, H=10^{h}06^{m}54^s; MPV=4,4(Niedzica)			
	NIE	Δ=26,3°		
		eP	10 12 30	
		Z: 0,9^s; 0,008 μ		
13.VIII				
	NIE			
		iP	13 14 29,5	
		Z: 0,9^s; 0,008 μ		
13.VIII	Iles Kouriles, NEIS: 43,1°N, 148,0°E, H=13^{h}52^{m}53,2^s, h=33 km; mb=4,8; MPV=4,7(Niedzica)			
	NIE	Δ=77,3°		
		e1P	14 04 48	
		Z: 1,0^s; 0,006 μ		
13.VIII				
	KRA			
	(SKM)	eP	17 13 24	
		1	30,5	
	NIE			
		eP	17 13 30	
		1	14 02	
13.VIII	Guatemala, NEIS: 14,5°N, 89,9°W, H=23^{h}07^{m}43,5^s, h=256 km; mb=4,7			
	KSP	Δ=88,8°		
		e1P	23 20 07,3	

Date	Station	Phase	T.U. h m s	
14.VIII				
	NIE			
		eP	03 58 59	
14.VIII				
	NIE			
		e1P	13 37 34,7	
		1	47,1	
14.VIII	Iles Fidji, NEIS: 20,0°S, 178,7°W, H=14^{h}53^{m}15,8^s, h=609 km; mb=5,0			
	NIE	Δ=146,5°		
		ePKHKP	15 11 47	
		1PKIKP	51,4	
		Z: 1,0^s; 0,019 μ		
		1PKP$_2$	56,1	
	KRA	Δ=146,8°		
	(SKM)	e1PKHKP	15 11 49,5	
		1PKIKP	53,7	
14.VIII	Nouvelle Guinée, NEIS: 6,9°S, 147,7°E, H=17^{h}44^{m}23,8^s, h=44 km; mb=5,8			
	KRA	Δ=119,0°		
	(SKM)	ePKIKP	18 03 09	
		Z: 0,9^s; 0,032 μ		
		e1PP	04 39	
	NIE	Δ=119,1°		
		1PKIKP	18 03 09,9 C	
		Z: 0,9^s; 0,028 μ		
		1PP	31	
14.VIII				
	NIE			
		e1P	18 13 24,9 C	
		Z: 1,1^s; 0,008 μ		
14.VIII	Hondo, Japon, Moskva: 37,4°N, 141,0°E, H=18^{h}09^{m}29^s, h=50 km; mPV(SKM)=5,8; MPV=6,0(Kraków), 5,5(Niedzica)			
	KRA	Δ=78,8°		
	(SKM)	1P	18 21 27,0 C	
		Z: 1,5^s; 0,20 μ		
		1pP	42	
		e1sP	52	
	NIE	Δ=79,1°		
		1P	18 21 28,5 C	
		Z: 1,1^s; 0,041 μ		
		1PcP	36,1	
		1pP	45,8	
15.VIII	Kamtchatka, Moskva: 54,1°N, 160,2°E, H=03^{h}42^{m}25^s, h=100 km; mPV(SKM)=4,8			

Date	Station	Phase	T.U. h m s	
15.VIII	NIE	Δ=71,7°		
(suite)		eP	03 53 37	
		ePcP	52	
		e1sP	54 12,6	
15.VIII	Iles Komandeur, NEIS: 54,9°N, 167,8°E, H=07^{h}28^{m}18,9^s, h=4 km, mb=6,0; MPV=5,9(Kraków), 5,6(Niedzica), MLR=6,5 (Kraków)			
	WAR	Δ=69,7°		
	(SKD)	1P	07 39 39	
		e1PP	42 05	
		1S	48 41	
		eL	08 02	
	KRA	Δ=72,3°		
	(SKM)	1P	07 39 46,4 D	
		Z: 0,8^s; 0,078 μ		
		1(PcP)	58	
		1PP	42 27	
	(GW)	1S	49 10	
		Lm	08,15,3	
		NEZ: 15^s; 1,4 μ, 20 μ, 1,2 μ		
	NIE	Δ=72,8°		
		1P	07 39 49 D	
		Z: 1,1^s; 0,056 μ		
		1PcP	40 01,5	
		Z: 2,4^s; 2,0 μ		
15.VIII	Iles Komandeur, Moskva: 54,6°N, 167,7°E, H=08^{h}47^{m}49^s, mPV(SKM)=5,0			
	KRA	Δ=72,5°. Traces		
	(SKM)	eP	08 59 17	
	NIE	Δ=73,0°		
		eP	08 59 17	
15.VIII	Iles Tonga, NEIS: 15,9°S, 175,0°W, H=15^{h}32^{m}47,2^s, h=200 km, mb=3,9			
	KSP	Δ=143,9°		
		ePKP	15 51 57	
16.VIII	Yougoslavie, BCIS: 46,3°N, 14,5°E, H=00^{h}31^{m}58^s, mPV=5,1(Moxa)			
	KSP	Δ=4,7°		
		e1Pn	00 33 07,1	
		e1(Pg)	22,1	
		e1Sn	34 03,1	
		e1S*	19,1	
		Lm	28	
		NE: 1^s; 0,15 μ, 0,14 μ		
		Lm	38	
		Z: 1^s; 0,14 μ		

Date	Station	Phase	T.U. h m s	
16.VIII	NIE	Δ=4,8°		
		ePn	00 33 14	
		eP*	21	
		1	38,5	
		e1Sn	34 09,1	
	KRA	Δ=5,0°		
	(SKM)	eP*	00 33 21	
16.VIII	Pérou, NEIS: 5,4°S, 76,1°W, H=00^{h}53^{m}54,7^s, h=123 km, mb=5,7			
	KRA	Δ=98,0°		
	(SKM)	e1P	01 07 17,4 D	
		Z: 1,1^s; 0,055 μ		
		e1pP	50	
	NIE	Δ=98,2°		
		e1P	01 07 19,6 D	
		Z: 1,1^s; 0,012 μ		
16.VIII	Iles Tonga, NEIS: 21,2°S, 179,0°W, H=07^{h}24^{m}17,4^s, h=631 km, mb=5,6			
	KRA	Δ=147,8°		
	(SKM)	ePKIKP	07 42 49	
		Z: 1,0^s; 0,030 μ		
		1PKHKP	53,0	
		1PKP$_2$	57,5	
16.VIII				
	KRA			
	(SKM)	1P	12 45 40,2	
		Z: 0,6^s; 0,031 μ		
		1	50,2	
16.VIII				
	KRA			
	(SKM)	eP	15 05 44	
		Z: 1,0^s; 0,036 μ		
16.VIII				
	KRA			
	(SKM)	eP	23 57 39	
		Z: 1,1^s; 0,041 μ		
17.VIII	Nouvelles Hébrides, Moskva: 15,7°S 167,8°E, H=01^{h}29^{m}23^s, h=80 km; mPV(SKM)=5,4			
	NIE	Δ=137,4°		
		ePKHKP	01 48 19	
		ePKIKP	39	
		e1pPKP	49	
17.VIII	Iles Tonga, NEIS: 17,2°S, 175,0°W, H=03^{h}30^{m}22,1^s, h=273 km; mb=5,6			
	KRA	Δ=145,3°		
	(SKM)	1PKP	03 49 28,6 D	
		Z: 0,9^s; 0,153 μ		

International Seismological Centre

Date	Station	Phase	T.U. h m s	
17.VIII (suite)	KRA	ei	03 49 36,1	
		ipPKP	50 39,6	
	NIE	Δ=145,6°		
		ePKP	03 49 30	D
		Z: 1,0s; 0,046 μ		
17.VIII	Iles Kermadec, Moskva: 32,7°S, 179,3°E, H=06h12m54s, h=60 km; M=5,1			
	NIE	Δ=145,8°		
		ePKP	06 32 42	
		Z: 1,1s; 0,006 μ		
		epPKP	54	
18.VIII				
	NIE			
		eiP	11 57 13	
		Z: 0,7s; 0,013 μ		
18.VIII	Nouvelle Zelande, Moskva: 38,7°S, 175,6°E, H=14h31m40s, h=149 km; mb=5,3			
	NIE	Δ=159,4°		
		eiPKP_2	14 51 59	
18.VIII	Ile Kodiak, NEIS: 57,4°N, 150,2°W, H=14h56m42,1s, h=25 km, mb=5,2; MPV=5,4(Kraków), 5,1(Niedzica)			
	KRA	Δ=72,9°		
	(SKM)	iP	15 08 08,9	
		Z: 1,0s; 0,030 μ		
		ipP	17,3	
		ePP	10 43	
	NIE	Δ=73,5°		
		eiP	15 08 13,2	
		Z: 1,0s; 0,015 μ		
		ipP	21,8	
		isP	30,0	
19.VIII	Sumatra, Moskva: 4,5°S, 102,0°E, H=23h50m50s, mPV(SKM)=5,2; MPV=4,8(Niedzica)			
	NIE	Δ=87,9°		
		eP	00 03 38	
		ePP	07 06	
19.VIII	Afghanistan, Moskva: 36,7°N,71,2°E H=09h40m44s, h=130 km; mPV(SKM)=4,5; MPV=4,6(Niedzica)			
	NIE	Δ=38,6°		
		eiP	09 48 00	
		Z: 0,8s; 0,007 μ		
19.VIII	Iles Kermadec, NEIS: 32,7°S, 178,7°W, H=10h29m10,6s, h=31 km; mb=4,7			
	NIE	Δ=157,0°		

Date	Station	Phase	T.U. h m s	
19.VIII	NIE	ePKIKP	10 49 04,2	
		eipPKIKP	18	
19.VIII	Mexique, Moskva: 17,4°N, 94,2°W, H=14h57m19s, h=100 km; mPV(SKM)=5,7			
	KRA	Δ=91,5°		
	(SKM)	iP	15 10 14,9	
		Z: 0,9s; 0,14 μ		
	NIE	Δ=92,1°		
		iP	15 10 17,5	C
		Z: 1,0s; 0,066 μ		
		i	26	
		ipP	41	
		isP	51.	
20.VIII	Iles Fidji, NEIS: 21,2°S, 179,0°W, H=05h17m41,2s, h=628 km, mb=4,9			
	KRA	Δ=147,8°		
	(SKM)	eiPKP_2	05 36 16,5	
		Z: 0,7s; 0,033 μ		
	NIE	Δ=148,1°		
		ePKP	05 36 14	
		iPKP_2	18,6	
		Z: 1,0s; 0,029 μ		
20.VIII	Hokkaido, Japon, NEIS: 41,9°N, 142,5°E, H=16h17m31s, h=64 km, mb=5,0			
	NIE	Δ=76,1°		
		iP	16 29 12,8	D
		epP	31	
		esP	39	
20.VIII				
	NIE			
		eiP	20 15 30	
		Z: 0,8s; 0,024 μ		
		i	16 15,4	
20.VIII	Iles Fidji, Moskva: 20,4°S, 177,9°W, H=20h18m40s, h=455 km, mPV(SKM)=5,7			
	KRA	Δ=147,4°		
	(SKM)	eiPKIKP	20 37 28	D
		iPKP_2	31,2	
		PKPm	32,2	
		Z: 1,2s; 0,314 μ		
		i	39 43,2	
	NIE	Δ=147,8°		
		eiPKIKP	20 37 29	D
		iPKP_2	33,3	
		PKPm	34,5	
		Z: 1,0s; 0,11 μ		
		i	42,9	

International Seismological Centre

Date	Station	Phase	T.U. h m s	
21.VIII	Iles Salomon, NEIS: 5,9°S, 154,4°E, H=06h48m30,3s, h=430 km, mb=5,3			
	KSP	Δ=123,2°		
		eiPKIKP	07 06 39	
21.VIII	Iles Aléoutiennes, NEIS: 51,1°N, 177,8°E, H=07h24m19,8s, h=33 km; mb=5,0; MPV=5,5(Kraków), 4,7(Niedzica)			
	KRA	Δ=77,7°		
	(SKM)	iP	07 36 14,1	D
		Z: 0,9s; 0,037 μ		
	NIE	Δ=78,3°		
		iP	07 36 17,4	C
		Z: 1,1s; 0,008 μ		
		ipP	36,6	
21.VIII	Région des Iles Fidji, NEIS: 17,7°S, 178,7°W, H=08h38m00,2s, h=546 km; mb=4,9			
	KSP	Δ=144,8°		
		iP	08 56 36,3	
		Z: 0,8s; 0,052 μ		
21.VIII	Iles Salomon, NEIS: 6,6°S,154,9°E, H=09h46m42,4s, h=50 km; mb=5,8			
	KRA	Δ=122,8°		
	(SKM)	eiPKP	10 05 35	
		ePP	07 14	
	NIE	Δ=122,9°		
		eiPKP	10 05 35,3	D
		Z: 1,0s; 0,014 μ		
		eiPKKP	15 40	
21.VIII				
	NIE			
		eiP	20 00 33,1	
		Z: 0,8s; 0,017 μ		
		i	53,1	
21.VIII	Alaska, Moskva: 59,9°N, 150,3°W, H=22h19m13s; mPV(SKM)=5,2			
	NIE	Δ=71,0°		
		eP	22 30 30	
22.VIII	Iles Bonin, NEIS: 28,1°N, 139,7°E, H=00h59m46,8s, h=456 km; mb=5,0			
	KRA	Δ=85,8°		
	(SKM)	iP	01 11 37,0	
		Z: 0,8s; 0,028 μ		
		ePP	15 05	
	NIE	Δ=86,0°		
		eiP	01 11 39	D
		Z: 1,0s; 0,010 μ		

Date	Station	Phase	T.U. h m s	
22.VIII				
	NIE	Traces		
		eP	17 46 12	
	KRA	Traces		
	(SKM)	eiP	17 46 14	C
		Z: 1,0s; 0,024 μ		
22.VIII				
	NIE			
		eiP	19 11 38	
		Z: 0,7s; 0,013 μ		
22.VIII	Hondo, Japon, NEIS: 31,4°N, 138,1°E, H=19h36m24,2s, h=399 km, mb=5,1			
	KRA	Δ=82,3°		
	(SKM)	eiP	19 48 03	C
	NIE	Δ=82,6°		
		eiP	19 48 04	
		Z: 0,9s; 0,009 μ		
		epP	49 32	
22.VIII	Taiwan, NEIS: 23,3°N, 121,7°E, H=22h48m47,2s, h=62 km; mb=4,7			
	NIE	Δ=79,8°		
		eiP	23 00 50	
22.VIII	Mexique, NEIS: 14,6°N, 93,5°W, H=23h08m16,9s, h=38 km; mb=5,2; MPV=5,5 (Kraków)			
	KRA	Δ=93,4°		
	(SKM)	eiP	23 21 29,5	D
		Z: 0,8s; 0,023 μ		
	NIE	Δ=93,9°		
		iP	23 21 33	D
		eipP	43	
23.VIII	Nouvelle Guinée, Moskva: 3,5°S, 137,0°E, H=04h05m57s, h=50 km; mPV(SKM)=6,1			
	KRA	Δ=109,9°		
	(SKM)	ePdif	04 20 45	
		ePKP	24 26	
		i	47,6	
	NIE	Δ=109,9°		
		eiPKP	04 24 28	
		i	42,7	
23.VIII	Novaya Ziemle, NEIS: 73,4°N, 54,6°E, H=08h59m57,9s, h=0, mb=6,4; MPV=6,2(Kraków, Książ), MLH=5,9(Kraków)			
	KRA	Δ=28,0°		
	(SKM)	iP	09 05 49,5	C
		Z: 1,1s; 0,58 μ		

Date	Station	Phase	T.U. h m s	
23.VIII	KRA	i	09 08 27	
(suite)	(GW)	iS	10 43	
		i	11 06	
		Lm	29,0	
		NEZ: 9^s; 10 μ, 10 μ, 1,7 μ		
	NIE	Δ=28,6°		
		iP	09 05 54,5	C
23.VIII				
	NIE			
		eP	09 38 14	
		Z: $1,0^s$; 0,016 μ		
23.VIII	Kamtchatka, Moskva: 54,6°N, 159,8°E, H=$13^h51^m26^s$, h=160 km, mPV(SKM)=5,7			
	KRA	Δ=70,7°		
	(SKM)	eiP	14 02 24	C
		Z: $1,1^s$; 0,17 μ		
		ipP	59,6	
	(GW)	i	07 36	
		e	21 27	
	NIE	Δ=71,2°		
		eP	14 02 27	C
		Z: $1,5^s$; 0,20 μ		
		iPcP	48	
23.VIII	Iles Philippines, Moskva: 10,1°N, 125,9°E, H=$15^h06^m41^s$, mPV(SKM)=6,3; MPV=6,1(Kraków)			
	KRA	Δ=92,5°		
	(SKM)	eiP	15 19 47	D
		Z: $1,2^s$; 0,134 μ		
	NIE	Δ=92,4°		
		eiP	15 19 47	
23.VIII	Iles Fidji, Moskva: 24,9°S, 178,5°W, H=$19^h37^m22^s$, mPV(SKM)=5,7			
	NIE	Δ=151,7°		
		ePKIKP	19 57 05	
		iPKHKP	11	
		PKHKPm	12,2	
		Z: $1,0^s$; 0,034 μ		
		$iPKP_2$	17,6	
		i	30	
	KRA	Δ=151,3°		
	(SKM)	iPKHKP	19 57 09,0	D
		Z: $0,6^s$; 0,078 μ		
		e	37	
23.VIII	Éthiopie, Moskva: 9,7°N, 39,5°E, H=$21^h35^m15^s$, mPV(SKM)=5,3			
	NIE	Δ=42,5°		

Date	Station	Phase	T.U. h m s	
23.VIII	NIE	eP	21 43 12	
	KRA	Δ=43,1°. Traces		
	(SKM)	eiP	21 43 16	
24.VIII				
	KRA			
	(SKM)	eiP	01 15 59,0	
		Z: $1,0^s$; 0,048 μ		
		ei	16 13,7	
	NIE			
		eiP	01 16 00	
		Z: $1,1^s$; 0,013 μ		
24.VIII				
	NIE			
		eP	08 36 32	
		Z: $0,7^s$; 0,018 μ		
24.VIII	Iles Fidji, NEIS: 24,3°S, 176,8°W, H=$13^h46^m50,6^s$, h=110 km, mb=5,0			
	KRA	Δ=151,4°		
	(SKM)	eiPKHKP	14 08 30,9	C
		Z: $1,1^s$; 0,048 μ		
	NIE	Δ=151,8°		
		iPKHKP	14 08 33	C
		Z: $0,9^s$; 0,027 μ		
		$eiPKP_2$	53	
		i	09 04	
24.VIII	Iles Aléoutiennes, Moskva: 52,7°N, 171,0°E, H=$16^h05^m15^s$, mPV(SKM)=5,5; MPV=5,5 (Kraków), 5,4(Niedzica)			
	KRA	Δ=75,0°		
	(SKM)	eiP	16 16 53	C
		Z: $1,0^s$; 0,042 μ		
	NIE	Δ=75,5°		
		eP	16 16 58	C
		Z: $0,8^s$; 0,021 μ		
		i	17 05,5	
		eiPcP	13	
24.VIII	Iles Kouriles, NEIS: 43,9°N, 146,9°E, H=$20^h44^m36,6^s$, h=33 km, mb=5,0; MPV=5,3(Kraków)			
	KRA	Δ=75,8°		
	(SKM)	eiP	20 56 20	
		Z: $0,7^s$; 0,016 μ		
	NIE	Δ=76,2°		
		eP	20 56 24	
		eipP	37	
25.VIII	Colombie, NEIS: 6,9°N, 77,8°W, H=$03^h57^m20,2^s$, h=47 km, mb=5,2			

International Seismological Centre

Date	Station	Phase	T.U. h m s	
25.VIII	KRA	Δ= 89,8°		
(suite)	(SKM)	eP	04 10 15	
		Z: $1,1^s$; 0,062 μ		
		eipP	31,2	
	NIE	Δ= 90,1°		
		eP	04 10 18	C
		Z: $1,2^s$; 0,013 μ		
		ipP	35,5	
25.VIII	Iles Salomon, Moskva: 7,0°S, 155,6°E, H=$08^h11^m20^s$, mPV(SKM)=5,2			
	KRA	Δ=123,5°. Traces		
	(SKM)	ePKIKP	08 30 14	
	NIE	Δ=123,7°		
		eP	08 30 16	
		i	33	
25.VIII	Hindou-Kouch, Moskva: 36,6°N, 69,2°E, H=$10^h46^m29,9^s$, h=32 km, mb=5,2			
	NIE	Δ=37,3°		
		eiP	10 53 42	
25.VIII	Aléoutiennes, NEIS: 51,6°N, 176,2°E, H=$14^h29^m58,6^s$, h=37 km, mb=4,7; MPV=5,4(Kraków)			
	KRA	Δ=77,0°. Traces		
	(SKM)	eiP	14 41 48,4	
		Z: $0,4^s$; 0,015 μ		
	NIE	Δ=77,5°. Traces		
		eP	14 41 52	
		ePcP	42 05	
25.VIII				
	KRA			
	(SKM)	eP	15 37 45	
	NIE			
		eiP	15 37 48,5	
		Z: $1,0^s$; 0,011 μ		
		i	52,5	
		i	38 11	
25.VIII	Chili, NEIS: 19,2°S, 69,2°W, H=$21^h42^m10,8^s$, h=119 km, mb=5,7			
	KRA	Δ=103,9°		
	(SKM)	eP	21 56 01	
		ePP	22 00 15	
26.VIII	Hokkaido, Japon, Moskva: 41,5°N 142,9°E, H=$05^h10^m46^s$, h=45 km, mPV(SKM)=5,6; MPV=5,3(Niedzica)			
	KRA	Δ=76,2°		
	(SKM)	eiP	05 22 31,0	C

Date	Station	Phase	T.U. h m s	
26.VIII	NIE	Δ=76,6°		
		iP	05 22 33,7	
		Z: $1,4^s$; 0,038 μ		
		eiPcP	46	
		isP	54,5	
		iPP	25 23	
26.VIII	Iles Fidji, Moskva: 24,2°S, 178,5°W, H=$12^h19^m24^s$			
	KRA	Δ=150,7°		
	(SKM)	ePKP	12 39 07	
		i	12,9	
		PKPm	13,5	
		Z: $0,8^s$; 0,069 μ		
		i	19,5	
	NIE	Δ=151,0°		
		ePKIKP	12 39 12	
		iPKHKP	14,3	
		Z: $0,9^s$; 0,057 μ		
		i	17,5	
		$iPKP_2$	21	
		PKP_2m	24,5	
		Z: $0,9^s$; 0,13 μ		
		i	36,1	
26.VIII	Mexique, NEIS: 15,0°N, 94,1°W, H=$20^h06^m02,8^s$, h=50 km, mb=4,9			
	NIE	Δ=93,9°		
		eP	20 19 19	
27.VIII	Nouvelles Hébrides, Moskva: 21,9°S, 172,5°E, H=$02^h35^m16^s$			
	NIE	Δ=145,0°		
		eiPKIKP	02 54 50	
		Z: $1,1^s$; 0,016 μ		
27.VIII	Chine, Moskva: 34,5°N, 80,9°E, H=$07^h40^m10^s$, mPV(SKM)=4,6; MPV=5,1(Niedzica)			
	NIE	Δ=46,2°		
		iP	07 48 39,1	
		Pm	45	
		Z: $0,9^s$; 0,017 μ		
		i	49 17	
27.VIII				
	NIE			
		iP	12 06 41,2	
		i	57,5	
27.VIII	Iran, NEIS: 27,5°N, 56,2°E, H=$16^h59^m31,2^s$, h=43 km, mb=5,1; MPV=5,0(Kraków)			
	KRA	Δ=35,5°		

Date	Station	Phase	T.U. h m s
27.VIII (suite)	KRA (SKM)	iP	17 06 25,6
		Z: 0,7^{s}; 0,016 µ	
		eipP	37
29.VIII	NIE		
		iP	05 45 32
		Z: 1,0^{s}; 0,010 µ	

29.VIII Iles Hébrides, NEIS: 15,7°S, 167,8°E, H=07^{h}03^{m}55,3^{s}, h=192 km, mb=5,5

	NIE	Δ=137,4°	
		ePKHKP	07 22 49
		iPKIKP	57,5
		Z: 0,9^{s}; 0,019 µ	
		i	23 08
		iPP	25 47
	KRA (SKM)	Δ=137,2°. Traces	
		eiPKIKP	07 22 58,0
		Z: 0,9^{s}; 0,026 µ	
		iPP	25 44
		ei	26 11,9

29.VIII Hondo, Japon, Moskva: 41,0°N, 143,5°E, H=10^{h}16^{m}18^{s}, h=25 km, mPV(SKM)=5,4; MPV=5,6(Kraków), 5,2(Niedzica)

	KRA (SKM)	Δ=76,9°	
		iP	10 28 09,7
		Z: 1,4^{s}; 0,073 µ	
		ipP	19,9
	NIE	Δ=77,2°	
		eP	10 28 12
		Z: 1,7^{s}; 0,037 µ	

29.VIII Nouvelles Hébrides, NEIS: 15,8°S, 167,8°E, H=11^{h}00^{m}19,2^{s}, h=200 km, mb=5,3

	NIE	Δ=137,5°	
		eiPKIKP	11 19 20,9
		Z: 0,9^{s}; 0,015 µ	

29.VIII Nicobar, Moskva: 8,7°N, 94,3°E, H=20^{h}39^{m}57^{s}, mPV(SKM)=5,3; MPV=5,1(Niedzica)

	KRA	Δ=73,3°. Traces	

Date	Station	Phase	T.U. h m s
29.VIII	KRA	eP	20 51 23
	(SKM)	i	34,8
	NIE	Δ=73,0°	
		eP	20 51 25
		Pm	34,4
		Z: 1,0^{s}; 0,014 µ	
30.VIII	NIE		
		eiP	18 56 59
30.VIII	KRA	Traces	
	(SKM)	eiP	20 35 48
	NIE		
		eP	20 35 49
		i	54,5
31.VIII	NIE		
		eiP	07 37 11,7

31.VIII Ile Kodiak, Moskva: 57,8°N,152,5°W, H=12^{h}02^{m}16^{s}, mPV(SKM)=5,3; MPV=5,5(Kraków), 5,1(Niedzica)

	KRA	Δ=72,5°	
	(SKM)	eiP	12 13 39,5
		Z: 1,1^{s}; 0,041 µ	
	NIE	Δ=73,2°	
		eP	12 13 43 C
		Z: 1,0^{s}; 0,014 µ	
		i	53

31.VIII Région frontière Bulgarie-Yougoslavie, NEIS: 42,0°N, 23,2°E, H=23^{h}49^{m}57,2^{s}; h=33 km, mb=3,8

	NIE	Δ=7,4°	
		iPn	23 51 49,8 D
		Z: 0,9^{s}; 0,008 µ	
		iSn	53 16,5
	KRA (SKM)	Δ=9,1°	
		eSn	23 53 54

1975 SEPTEMBRE 1975

1.IX Iran, NEIS: 27,6°N, 56,2°E, H=16^{h}53^{m}49,5^{s}, h=49 km, mb=4,3

	NIE	Δ=34,9°	
		iP	17 00 33,5 D

1.IX Costa-Rica, NEIS: 8,6°N, 83,2°W, H=21^{h}50^{m}36,8^{s}, h=28 km, mb=5,2

	NIE	Δ=92,3°	
		eiP	22 03 46 D

International Seismological Centre

Date	Station	Phase	T.U. h m s

1.IX Chine, NEIS: 43,8°N, 83,7°E, H=22^{h}45^{m}26,4^{s}, h=33 km, mb=4,8

	NIE	Δ=42,8°. Traces	
		iP	22 53 22,2

1.IX Iran, NEIS: 33,3°N, 49,1°E, H=23^{h}15^{m}52,5^{s}, h=16 km, mb=4,9; MPV=5,1(Kraków), 4,7(Niedzica)

	NIE	Δ=26,6°	
		eP	23 21 35,1
		Pm	38,5
		Z: 1,1^{s}; 0,018 µ	
		i	41,8
		eiPP	22 11
	KRA (SKM)	Δ=27,1°. Traces	
		eiP	23 21 38
		Z: 0,7^{s}; 0,037 µ	

2.IX Iles Moluques, Moskva: 2,0°N, 126,4°E, H=10^{h}12^{m}13^{s}, mPV(SKM)=5,6; MPV=5.3(Niedzica)

	NIE	Δ=98,9°	
		eP	10 25 56
		Z: 0,9^{s}; 0,008 µ	

2.IX Hondo, Japon, NEIS: 30,2°N, 140,1°E, H=10^{h}16^{m}38,7^{s}, h=24 km, mb=5,3

	KRA	Δ=84,2°	
	(SKM)	eiP	10 29 11
		eiPcP	15
		eipP	23
	NIE	Δ=84,5°	
		eP	10 29 14
		i	24,6

2.IX Hondo, Japon, Moskva: 30,3°N, 140,0°E, H=10^{h}23^{m}25^{s}, h=25 km, mPV(SKM)=5,2; MPV=5,1(Niedzica)

	KRA	Δ=84,2°	
	(SKM)	eiP	10 35 55
	NIE	Δ=84,4°	
		eiP	10 35 57,6 C
		Pm	36 07
		Z: 1,1^{s}; 0,015 µ	
		i	19,3
2.IX			
	NIE		
		eiP	10 39 46,6

2.IX Hondo, Japon, NEIS: 30,1°N, 140,1°E, H=10^{h}44^{m}38,8^{s}, h=25 km, mb=5,0

2.IX	KRA	Δ=84,3°	
	(SKM)	eP	10 57 08
		eipP	30
	NIE	Δ=84,6°	
		eP	10 57 12

2.IX Hondo, Japon, Moskva: 30,4°N, 139,9°E, H=10^{h}57^{m}50^{s}, mPV(SKM)=5,4; MPV=5,6(Kraków), 5,0(Niedzica)

	KRA	Δ=84,2°	
	(SKM)	eiP	11 10 19
		Z: 0,5^{s}; 0,025 µ	
		eipP	31
	NIE	Δ=84,3°	
		iP	11 10 20,5
		Z: 1,0^{s}; 0,012 µ	
		iPcP	28

2.IX Mer de Sawu, NEIS: 10,0°S, 121,7°E, H=15^{h}31^{m}59,5^{s}, h=68 km, mb=5,9

	KRA	Δ=105,2°	
	(SKM)	ePdif	15 46 09
		i	50 15,1
2.IX			
	NIE		
		iP	15 48 47
		Z: 0,9^{s}; 0,008 µ	
		i	50 18
		i	42

2.IX Nord du Péloponèse, BCIS: 38,2°N, 21,8°E, H=19^{h}35^{m}24^{s}; ML=3,7(Athènes)

	NIE	Δ=11,0°	
		iP	19 38 13
		Z: 1,0^{s}; 0,006 µ	

2.IX Hondo, Japon, Moskva: 34,1°N, 142,2°E, H=19^{h}38^{m}10^{s}, h=20 km, mPV(SKM)=5,2; MPV=5,5 (Kraków), 4,9(Niedzica)

	KRA	Δ=82,1°	
	(SKM)	eiP	19 50 29
		Z: 0,7^{s}; 0,025 µ	
	NIE	Δ=82,3°	
		iP	19 50 32
		Z: 0,9^{s}; 0,011 µ	
		iPcP	36
3.IX			
	KRA (SKM)	eiP	11 05 09

3.IX Océan Atlantique, NEIS: 59,9°N, 29,8°W, H=19^{h}50^{m}01,6^{s}, h=33 km, mb=5,0

Date	Station	Phase	T.U. h m s	
3.IX	KRA	Δ=29,7°		
(suite)	(SKM)	eP	19 56 05	
	NIE	Δ=30,3°		
		eP	19 56 07	
3.IX				
	KRA			
	(SKM)	eP	21 02 53	
		e1	03 12	

3.IX Chine, NEIS: 25,8°N, 99,8°E, H=21h 50m32,8s, h=25 km, mb=4,8; MPV=5,9(Kraków)

KRA	Δ=64,4°			
(SKM)	e1P	22 01 17		
	Z: 0,6s; 0,054 μ			
	1sP	31,1		
NIE	Δ=64,2°			
	1P	22 01 24,5	C	
	1pP	28,3		
	1PcP	44,2		

4.IX Océan Atlantique, NEIS: 59,7°N, 29,8°W, H=13h02m17,4s, h=33 km, mb=4,6

KRA	Δ=29,7°. Traces			
(SKM)	eP	13 08 19		

4.IX Iles Kouriles, Moskva: 43,6°N, 147,9°E, H=15h49m13s, mPV(SKM)=5,1; MPV=5,4(Kraków)

KRA	Δ=76,5°			
(SKM)	eP	16 01 00		
	Z: 1,1s; 0,035 μ			
	1PcP	13,0		

4.IX

KRA				
(SKM)	1P	22 12 02,8		
	Z: 0,8s; 0,032 μ			

4.IX Iles Fidji, Moskva: 23,6°S, 179,6°W H=23h40m03s, mPV(SKM)=5,8

KRA	Δ=149,7°			
(SKM)	1PKIKP	23 59 44,3	C	
	Z: 0,8s; 0,018 μ			
	e1PKHKP	49		
	Z: 0,9s; 0,115 μ			
	e1PKP2	56		
NIE	Δ=150,1°			
	1PKIKP	23 59 47	C	
	Z: 1,1s; 0,008 μ			
	1PKHKP	52		
	Z: 1,0s; 0,091 μ			
	1	00 02 01		

5.IX Région de Vrancea, Roumanie, BCIS: 45,6°N, 26,6°E, H=00h39m26s, h=130 ± 10 km

NIE	Δ=5,5°			
	1Pn	00 40 46,5		
	Z: 0,8s; 0,017 μ			

5.IX

KRA	Traces			
(SKM)	1P	16 26 18,9		
	Z: 0,8s; 0,028 μ			
NIE				
	e1P	16 26 20,5	D	
	Z: 0,9s; 0,017 μ			
	1	39,4		

5.IX Iles Salomon, Moskva: 7,8°S, 154,8°E, H=22h41m22s, mPV(SKM)=5,4

NIE	Δ=123,9°			
	1PKIKP	23 00 21,9		
	Z: 1,1s; 0,008 μ			

6.IX Nepal, Moskva: 29,6°N, 81,8°E, H=04h44m36s, h=15 km, mPV(SKM)=5,1

NIE	Δ=49,9°			
	e1P	04 53 32,5	C	
	Z: 0,9s; 0,011 μ			
	1	37,9		
	Z: 1,0s; 0,013 μ			

6.IX Anatolie, BCIS: 38,5°N, 41,0°E, H=09h20m09s, ML=7,5(Athènes)

NIE	Δ=18,2°			
	eP	09 24 23		
	Pm	27		
	Z: 1,5s; 0,423 μ			
	1	29,5		
	max	35,5		
	Z: 1,5s; 0,828 μ			
KRA	Δ=16,8°			
(SKM)	e1P	09 24 29	C	
	Z: 1,0s; 0,24 μ			
	1PP	44,2		
(GW)	1	28 11		
	Lm	41,7		
	NE: 12s; 42 μ, 44 μ,			
WAR	Δ=19,5°			
(SKD)	1P	09 24 37	D	
	Pm	41		
	Z: 6s; 50 μ			
	1PP	57		
	1S	28 09		

International Seismological Centre

Date	Station	Phase	T.U. h m s	

6.IX Iles Fidji, NEIS: 22,0°S, 179,7°W, H=09h35m38,2s, h=630 km, mb=4,6

NIE	Δ=148,6°			
	1PKIKP	09 54 20,4		
	e1	24		

6.IX Turquie, NEIS: 38,5°N, 40,6°E, H=10h 13m08,5s, h=33 km, mb=5,1

NIE	Δ=18,0°			
	eP	10 17 21		
	Z: 0,8s; 0,017 μ			
	1	27,1		
	1PP	35		
KRA	Δ=18,6°			
(SKM)	eP	10 17 25		
	ePP	39		

6.IX Anatolie, BCIS: 38,6°N, 40,8°E, H=10h31m08s

NIE	Δ=18,1°			
	1P	10 35 13,9		
	Z: 0,7s; 0,013 μ			

6.IX Turquie, NEIS: 38,4°N, 40,8°E, H=10h 52m15,0s, h=33 km, mb=5,2

NIE	Δ=18,2°			
	eP	10 56 30	C	
	Pm	33		
	Z: 1,0s; 0,048 μ			
	1PP	44,1		
KRA	Δ=18,7°			
(SKM)	1P	10 56 35,2	C	
	Z: 1,9s; 0,268 μ			
	1PP	48,7		
(GW)	1	57 16		
	eS	11 00 09		

6.IX Turquie, NEIS: 38,4°N, 40,6°E, H=12h 10m47,2s, h=33 km, mb=4,9

NIE	Δ=18,1°			
	eP	12 14 59		
	Pm	15 06,5		
	Z: 0,9s; 0,032 μ			
	e1PP	23		
KRA	Δ=18,6°			
(SKM)	e1P	12 15 03		
	Z: 0,9s; 0,026 μ			
	1	07,1		
	e1PP	20,2		
(GW)	e1S	18 40		
	Lm	27,6		
	NE: 12s; 1,3 μ, 1,5 μ			

6.IX Turquie, NEIS: 38,2°N, 40,5°E, H=12h24m00,5s, h=33 km, mb=4,5

NIE	Δ=18,2°			
	eP	12 28 14	C	
	Z: 1,1s; 0,009 μ			
	1	19,7		

6.IX Anatolie, BCIS: 38,5°N, 41,0°E, H=13h20m51s

NIE	Δ=18,3°			
	eP	13 25 06,6		
	Z: 1,3s; 0,011 μ			
	e1PP	12		

6.IX Ile Kodiak, Moskva: 55,9°N,152,3°W, H=18h04m55s, mPV(SKM)=5,2; MPV=5,4(Kraków), 4,6(Niedzica)

KRA	Δ=74,5°. Traces			
(SKM)	e1P	18 16 31		
	Z: 0,7s; 0,025 μ			
NIE	Δ=75,1°			
	eP	18 16 35		
	Z: 1,1s; 0,006 μ			

6.IX Anatolie, BCIS: 38,5°N, 40,6°E, H=22h42m50s; MLV=4,4(Skopje)

NIE	Δ=18,0°			
	e1P	22 47 02,5		
	Pm	03,5		
	Z: 1,6s; 0,022 μ			
KRA	Δ=18,6°			
(SKM)	eP	22 47 07		
	Z: 1,4s; 0,042 μ			
	ePP	20		

7.IX

NIE				
	1P	02 18 17,9	C	
	Z: 1,0s; 0,010 μ			

7.IX Mer du Japon, Moskva: 43,7°N, 138,3°E, H=11h40m30s, mPV(SKM)=5,1; MPV=5,5(Kraków), 5,1(Niedzica)

KRA	Δ=72,5°. Traces			
(SKM)	1P	11 51 52		
	Z: 0,6s; 0,027 μ			
NIE	Δ=72,8°			
	1P	11 51 55		
	Z: 0,8s; 0,015 μ			
	e1	52 45		

7.IX Iles Philippines, Moskva: 12,4°N, 125,2°E, H=14h40m43s, mPV(SKM)=5,5; MPV=4,9 (Niedzica)

Date	Station	Phase	T.U. h m s	
7.IX (suite)	NIE	Δ=90,2°		
		eP	14 53 42	D
		Z: 0,9s; 0,008 μ		
7.IX	Yougoslavie, NEIS: 45,8°N, 15,7°E, H=16h22m52,4s, h=33 km; mb=4,4			
	NIE	Δ=4,6°		
		e1Pn	16 24 03,8	D
		1P^X	07,5	
		Pm	23,7	
		Z: 1,0s; 0,039 μ		
7.IX	Allemagne, NEIS: 47,1°N, 9,7°E, H=20h39m11,2s, h=33 km;			
	KRA (SKM)	Δ=7,3°. Traces		
		eL	20 42,9	
8.IX				
	NIE			
		1P	07 00 38,1	
		Z: 0,9s; 0,016 μ		
		1	42,9	
8.IX	Hondo, Japon, Moskva: 41,4°N, 140,8°E, H=09h28m58s, h=140 km, mPV(SKM)=5,1			
	KRA (SKM)	Δ=75,4°		
		1P	09 40 27,3	
		Pm	28,2	
		Z: 0,8s; 0,069 μ		
	NIE	Δ=75,7°		
		e1P	09 40 30,2	
		Z: 0,9s; 0,029 μ		
		1	40,8	
8.IX				
	NIE			
		e1P	13 17 30,2	
		Z: 0,9s; 0,066 μ		
9.IX	Californie, NEIS: 40,9°N, 124,4°W, H=02h43m42,5s, h=27 km, mb=4,9; MPV=5,5 (Kraków), 4,7(Niedzica)			
	KRA (SKM)	Δ=84,4°		
		1P	02 56 13,1	
		Z: 0,6s; 0,023 μ		
		1PcP	19,8	
	NIE	Δ=85,1°		
		1P	02 56 17,1	C
		Z: 1,0s; 0,006 μ		
		e1PcP	24	
		e1pP	28	

Date	Station	Phase	T.U. h m s	
9.IX	Hokkaido, Japon, NEIS: 41,6°N, 142,7°E, H=05h56m38,2s, h=50 km, mb=5,1; MPV=5,0(Niedzica)			
	NIE	Δ=76,4°		
		1P	06 08 23,6	
		Z: 0,8s; 0,010 μ		
		1PcP	35,4	
		Z: 0,9s; 0,014 μ		
		e1sP	43	
9.IX	Chine, Moskva: 39,9°N, 78,7°E, H=18h 32m32s, mPV(SKM)=5,3; MPV=5,6(Kraków,Niedzica)			
	NIE	Δ=41,7°		
		1P	18 40 19,9	C
		Z: 0,9s; 0,069 μ		
		1	32,2	
		1	35,9	
		1	51,4	
	KRA (SKM)	Δ=41,8°		
		1P	18 40 20,4	C
		Z: 1,0s; 0,090 μ		
	WAR (SKD)	Δ=40,7°		
		e1S	18 46 29	
		eL	57,2	
9.IX				
	NIE			
		1P	20 00 21,5	
9.IX	Iles Hébrides, Moskva: 13,7°S, 166,9°E, H=23h21m02s, mPV(SKM)=5,6			
	NIE	Δ=135,2°		
		e1PKIKP	23 40 21	
		Z: 1,1s; 0,069 μ		
10.IX				
	KRA (SKM)	eP	00 52 33	
		e	56 19	
10.IX				
	KRA (SKM)	eP	04 45 59	
10.IX	Hondo, Japon, NEIS: 40,3°N, 142,8°E, H=09h26m57,4s, h=45 km, mb=4,9; MPV=5,6(Kraków), 4,9(Niedzica)			
	KRA (SKM)	Δ=77,2°		
		e1P	09 38 48	C
		Z: 1,0s; 0,054 μ		
	NIE	Δ=77,5°		
		eP	09 38 49	
		Z:1,2s; 0,012 μ		

International Seismological Centre

Date	Station	Phase	T.U. h m s	
10.IX (suite)	NIE	e1PcP	09 38 58,4	
		epP	39 05,3	
10.IX				
	NIE			
		e1P	11 04 19	
		e1	27,7	
		1	31,4	
		Pm	33,5	
		Z: 1,0s; 0,019 μ		
11.IX				
	NIE			
		eP	19 59 07	
		1	29,9	
11.IX				
	KRA (SKM)	eP	21 58 48	
		e1	59 10	
	NIE			
		eP	21 58 50,5	
		1	59 03,2	
		Z: 1,0s; 0,007 μ		
		1	24	
11.IX	Région du Mexique, Moskva: 8,3°N, 104,4°W, H=22h00m09s, h=90 km, mPV(SKM)=6,6			
	KRA (SKM)	Δ=104,6°		
		eP	22 14 05	
		Z: 2,3s; 0,245 μ		
		ePP	18 22	
		PPm	28	
		Z: 2,5s; 0,792 μ		
	(GW)	1PPP	20 39	
		e1SKS	24 46	
	(SKM)	ePKKP	29 44	
		e1	30 09	
	(GW)	Lm	23 04,2	
		NE: 16s; 0,9 μ, 3,7 μ		
	WAR (SKD)	Δ=103,9°		
		e1PP	22 18 37	
		e1SKS	24 45	
		e1PS	27 25	
		e1(PPS)	28 37	
		e1(SS)	33 20	
		eL	39,0	
		Lm	54 29	
		NE: 28s; 7,1 μ, 11 μ		

Date	Station	Phase	T.U. h m s	
11.IX	Birmanie, NEIS: 20,8°N, 99,1°E, H=23h07m44,3s, h=35 km, mb=4,0			
	NIE	Δ=67,3°		
		eP	23 18 39	
12.IX				
	KRA (SKM)	1P	01 21 49,6	
		Z: 0,7s; 0,033 μ		
	NIE			
		1P	01 21 51,1	D
		Z: 1,0s; 0,026 μ		
		1	22 08,1	
12.IX	Au Sud de Péloponèse, BCIS: 36,1°N, 21,8°E, H=13h10m17s; mPV(SKM)=5,3(Moskva)			
	NIE	Δ=13,1°		
		eP	13 13 23	
		Pm	29,2	
		Z: 0,9s; 0,019 μ		
	KRA	Δ=13,7°		
		eP	13 13 34	
		Z: 0,8s; 0,032 μ		
		1	49,3	
	(GW)	eS	16 12	
	WAR (SKD)	Δ=16,1°		
		e1S	13 17 06	
12.IX	Kamtchatka, Moskva: 51,8°N, 157,4°E, H=15h28m38s, h=130 km, mPV(SKM)=5,4			
	KRA (SKM)	Δ=72,5°		
		1P	15 39 51,4	C
		Z: 1,6s; 0,118 μ		
		1	40 40,6	
		1PP	42 52	
	NIE	Δ=73,0°		
		1P	15 39 54,6	C
		Z: 1,2s; 0,013 μ		
13.IX	Iles Kermadec, NEIS: 32,7°S, 178,4°W, H=06h34m50,8s, h=28 km; mb=5,1			
	NIE	Δ=158,4°		
		ePKIKP	06 54 47	
		Z: 1,0s; 0,004 μ		
		e1	55 13	
		e1PKP2	17	
13.IX	Iles Fidji, NEIS: 20,8°S, 178,7°W, H=11h14m36,8s, h=619 km, mb=5,3			
	KRA (SKM)	Δ=147,5°		
		ePKIKP	11 33 09,1	

Date	Station	Phase	T.U. h m s	
13.IX (suite)	KRA	iPKHKP	11 33 12,1	
		Z: 1,1^s; 0,062 μ		
		$iPKP_2$	16,9	
	NIE	Δ=147,9°		
		ePKIKP	11 33 11	
		iPKHKP	14,9	
		Z: 1,0^s; 0,039 μ		
		$iPKP_2$	19,5	
		Z: 1,0^s; 0,052 μ		
13.IX	Grèce, BCIS: 38,6°N, 22,2°E, H=14^{h}30^{m}42^s, h=55 ± 15 km; ML=4,3(Athènes)			
	NIE	Δ=10,6°		
		eiP	14 33 19	D
		Pm	23,3	
		Z: 1,0^s; 0,017 μ		
15.IX	Hokkaido, Japon, NEIS: 42,1°N, 141,9°E, H=01^{h}24^{m}06,0^s, h=88 km, mb=4,1			
	NIE	Δ=75,6°		
		eP	01 35 44	
		Z: 0,8^s; 0,013 μ		
		eipP	36 07	
15.IX				
	NIE			
		eiP	17 07 17	
		i	22,3	
		Z: 1,1^s; 0,013 μ		
		i	27,1	
		i	34	
		i	40,7	
	KRA			
	(SKM)	iP	17 07 20,8	
		Z: 1,8^s; 0,185 μ		
16.IX	Nouvelle Zélande, NEIS: 47,3°S, 165,6°E, H=00^{h}00^{m}48,8^s, h=30 km; mb=5,6			
	KRA	Δ=157,2°		
	(SKM)	ePKIKP	00 20 45	
		ePKHKP	53	
		$iPKP_2$	21 13,4	
	NIE	Δ=156,9°		
		ePKIKP	00 20 47	
		ePKHKP	52	
		$iPKP_2$	21 10,7	
16.IX	Adriatique, BCIS: 41,5°N, 19,3°E, H=05^{h}06^{m}18^s; ML=5,2(Athènes)			
	NIE	Δ=7,7°		
		eiP	05 08 16	
		Z: 1,0^s; 0,029 μ		

Date	Station	Phase	T.U. h m s	
16.IX	NIE	iP^x	05 08 27,5	
		iPg	39,1	
	KRA	Δ=8,3°		
	(SKM)	iP	05 08 24,7	C
		iP^H	05,4	
	(GW)	ei	09 27	
		i	11 11	
16.IX	Iles Donin, NEIS: 27,3°N, 140,1°E, H=11^{h}09^{m}07,8^s, h=374 km; mb=5,2			
	NIE	Δ=86,9°		
		eiP	11 21 12	D
		Z: 1,2^s; 0,017 μ		
16.IX	Iles Fidji, NEIS: 18,0°S, 177,9°W, H=11^{h}52^{m}48,4^s, h=523 km; mb=5,1			
	KRA	Δ=145,2°		
	(SKM)	iPKP	12 11 27	
		Z: 0,7^s; 0,049 μ		
	NIE	Δ=145,6°		
		ePKP	12 11 28	
		Z: 1,0^s; 0,057 μ		
		i	36,7	
16.IX	Anatolie, BCIS: 38,5°N, 40,6°E, H=12^{h}51^{m}17^s; mPV(SKM)=4,9(Moskva)			
	NIE	Δ=18,0°		
		eP	12 55 30	
		ei	34	
16.IX				
	NIE			
		eiP	14 31 10	
16.IX	Albanie, NEIS: 41,5°N, 19,2°E, H=18^{h}45^{m}47,4^s, h=50 km, mb=4,6			
	NIE	Δ=7,7°		
		eiP	18 47 45	
		Z: 0,8^s; 0,008 μ		
		i	55,5	
		i	48 40	
16.IX	Adriatique, BCIS: 41,5°N, 19,3°E, H=18^{h}54^{m}59^s; ML=4,5(Athènes)			
	NIE	Δ=7,7°		
		eiP	18 56 59	
		Z: 1,0^s; 0,006 μ		
17.IX	Anatolie, BCIS: 38,5°N, 40,8°E, H=00^{h}14^{m}22^s; mPV(SKM)=4,8(Moskva)			
	NIE	Δ=18,2°		
		eP	00 18 35	
		Z: 1,0^s; 0,009 μ		
		ei	50	

International Seismological Centre

Date	Station	Phase	T.U. h m s	
17.IX	Birmanie, NEIS: 22,4°N, 94,2°E, H=03^{h}00^{m}20,1^s, h=88 km; mb=4,9			
	NIE	Δ=63,0°		
		eiP	03 10 41	
		Pm	49	
		Z: 1,0^s; 0,013 μ		
		ipP	11 09,5	
		eiPcP	20	
17.IX	Pamir, Moskva: 37,4°N, 71,6°E, H=03^{h}48^{m}32^s, h=135 km, mPV(SKM)=4,9			
	NIE	Δ=38,4°		
		eP	03 55 44	
		epP	56 13	
		esP	30	
17.IX	Turquie, NEIS: 38,5°N, 40,5°E, H=11^{h}21^{m}24,5^s, h=44 km, mb=4,6			
	NIE	Δ=18,0°		
		eiP	11 25 36,7	
		Z: 0,7^s; 0,013 μ		
17.IX				
	NIE			
		eiP	20 17 50,3	
		Z: 0,9^s; 0,008 μ		
		ei	18 08	
17.IX	Grèce, NEIS: 36,4°N, 23,1°E, H=23^{h}04^{m}07,1^s, h=35 km, mb=4,8			
	NIE	Δ=12,9°		
		e(P)	23 07 22	
		Z: 1,0^s; 0,009 μ		
		i	26,2	
	KRA	Δ=13,6°. Traces		
	(SKM)	eP	23 07 23	
		ePP	36	
17.IX	Iles Ioniennes, BCIS: 38,3°N, 20,4°E, H=23^{h}44^{m}21^s; ML=4,2(Athènes)			
	NIE	Δ=10,8°		
		iP	23 47 00,0	
		Pm	03,2	
		Z: 0,8^s; 0,018 μ		
		ei(PP)	09	
	KRA	Δ=11,5°. Traces		
	(SKM)	eP	23 47 10	
18.IX	Iles Fidji, NEIS: 16,8°S, 177,2°W, H=05^{h}29^{m}12,1^s, h=33 km; mb=5,2			
	NIE	Δ=144,7°		
		eiPKP	05 48 46	D
		Z: 1,0^s; 0,007 μ		

Date	Station	Phase	T.U. h m s	
18.IX	NIE	ipPKP	05 49 01,2	
18.IX	Iles Fidji, NEIS: 18,2°S, 177,8°W, H=10^{h}04^{m}02,0^s, h=623 km, mb=5,1			
	NIE	Δ=145,8°		
		eiPKP	10 22 33	
		Z: 1,0^s; 0,012 μ		
18.IX				
	NIE			
		eiP	15 48 45	
		Z: 1,0^s; 0,007 μ		
18.IX				
	NIE			
		eP	16 29 23	
18.IX				
	NIE			
		iP	16 52 49,5	
		Z: 0,9^s; 0,006 μ		
		ei	53 01	
18.IX	Tailand, Moskva: 19,2°N, 98,6°E, H=23^{h}01^{m}53^s; mPV(SKM)=5,1; MPV=4,9(Niedzica)			
	NIE	Δ=68,1°		
		eiP	23 12 56	
		Z: 0,9^s; 0,008 μ		
		ei	13 12	
19.IX	Kamtchatka, NEIS: 53,0°N, 159,7°E, H=02^{h}43^{m}36,6^s, h=41 km; mb=5,3; MPV=5,7 (Kraków), 5,6(Niedzica)			
	KRA	Δ=72,1°		
	(SKM)	eiP	02 54 57	D
		Z: 0,6^s; 0,043 μ		
	NIE	Δ=72,6°		
		iP	02 55 00	
		Z: 0,8^s; 0,039 μ		
		iPcP	19	
		i	35	
19.IX	Iles Kouriles, NEIS: 47,0°N, 151,9°E, H=03^{h}15^{m}21,1^s, h=119 km, mb=5,5			
	KRA	Δ=75,0°		
	(SKM)	eiP	03 26 49	C
		Z: 1,4^s; 0,179 μ		
		iPcP	27 05	
	NIE	Δ=75,4°		
		iP	03 26 52,3	C
		Z: 1,0^s; 0,021 μ		
19.IX	NIE			
		eiP	08 20 13	
		Z: 1,0^s; 0,005 μ		

Date	Station	Phase	T.U. h m s	
19.IX	Anatolie, BCIS: 38,7°N, 40,9°E, H=12h00m31s			
	NIE	Δ=18,1°		
		eiP	12 04 42	
		Z: 1,0s; 0,009 μ		
19.IX				
	NIE			
		iP	12 37 40	
		Z: 1,0s; 0,011 μ		
		i	44,3	
19.IX	Hokkaido, Japon, NEIS: 41,9°N, 142,7°E, H=17h54m37,0s, h=47 km; mb=5,5; MPV=6,0(Kraków), 5,6(Niedzica)			
	KRA	Δ=75,8°		
	(SKM)	eiP	18 06 18,4	C
		Pm	21	
		Z: 0,8s; 0,101 μ		
		i	24,6	
		ipP	32	
	(GW)	iS	16 22	
		eL	36,1	
		Lm	42,5	
		NE: 20s; 12 μ, 11 μ		
	NIE	Δ=76,1°		
		eP	18 06 21	C
		Pm	27	
		Z: 1,0s; 0,052 μ		
		ipP	35	
		isP	39	
	WAR	Δ=73,5°		
	(SKD)	eiS	18 15 34	
		iSKS	58	
		eiPPS	16 24	
		eL	34,0	
19.IX				
	NIE			
		eiP	19 16 32	
		Z: 0,7s; 0,015 μ		
19.IX				
	NIE			
		eiP	23 23 25	
		Z: 1,0s; 0,008 μ		
19.IX	Iles Salomon, NEIS: 6,4°S, 154,9°E, H=23h15m34,0s, h=47 km; mb=5,4			
	NIE	Δ=122,8°		
		ePKIKP	23 34 27	
		Z: 1,0s; 0,005 μ		
19.IX		NIE	ePKP	23 34 43
20.IX				
		KSP		
			eP	01 59 32
		NIE		
			eP	01 59 34
20.IX	Au Sud de la Crète, BCIS: 34,5°N, 26,4°E, H=05h22m19s, h=50 km			
	KSP	Δ=17,9°		
		eP	05 26 22	
20.IX	Turquie, NEIS: 30,2°N, 30,7°E, H=05h40m19,6s, h=33 km; mb=4,1; MPV=4,2 (Niedzica)			
	NIE	Δ=20,5°		
		eP	05 43 06	
		Z: 1,0s; 0,016 μ		
	WAR	Δ=23,1°		
	(SKD)	eL	05 50,0	
20.IX	Océan Indien, NEIS: 6,7°S, 68,3°E, H=06h11m50,0s, h=33 km; mb=5,4			
	KRA	Δ=70,1°		
	(SKM)	eiP	06 23 03	
20.IX	Iles Fidji, NEIS: 22,0°S, 178,9°W, H=13h18m05,8s, h=391 km, mb=4,2			
	NIE	Δ=148,9°		
		eiPKP	13 37 07	D
		Z: 1,0s; 0,011 μ		
20.IX	Anatolie, BCIS: 38,6°N, 40,5°E, H=15h53m27s			
	NIE	Δ=17,9°		
		eP	15 57 39	
		Z: 0,9s; 0,015 μ		
		ePP	55	
20.IX				
	NIE			
		eP	22 50 49	
		ei	58	
21.IX	Mexique, Moskva: 14.2°N, 94,2°W, H=13h13m00s, mPV(SKM)=5,6; MPV=5,8(Kraków)			
	KRA	Δ=94,1°		
	(SKM)	eiP	13 26 16	D
		Z: 1,1s; 0,055 μ		
	WAR	Δ=93,6°		
	(SKD)	eiSKS	13 36 50	
		eiSKKS	37 06	

International Seismological Centre

Date	Station	Phase	T.U. h m s	
21.IX	Iran, BCIS: 31,5°N, 51,2°E, H=14h 16m39s; MLH=6,0(Skopje), MPV=5,5(Kraków), 4,6(Niedzica)			
	NIE	Δ=29,1°		
		eP	14 22 38	
		Pm	42,7	
		Z: 1,0s; 0,010 μ		
		i	56,5	
	KRA	Δ=29,6°		
	(SKM)	eiP	14 22 41	
		Z: 0,7s; 0,062 μ		
		i	23 22,5	
	(GW)	eiS	27 41	
	WAR	Δ=30,1°		
	(SKD)	eP	14 23 06	
		eiS	27 50	
		eL	33,0	
21.IX	Turquie, NEIS: 38,3°N, 40,6°E, H=20h06m09,4s, h=33 km, mb=4,4			
	NIE	Δ=18,2°		
		eP	20 10 25	
		eiPP	36	
	KRA	Δ=18,7°		
	(SKM)	eP	20 10 28	C
		i	47	
22.IX	Crète, NEIS: 35,3°N, 26,2°E, H=00h 44m57,7s, h=63 km, mb=5,3			
	NIE	Δ=14,5°		
		eP	00 48 25	
		Pm	31,3	
		Z: 1,1s; 0,030 μ		
		iPP	38,2	
	KRA	Δ=15,2°		
	(SKM)	eiP	00 48 33	D
		Z: 0,9s; 0,063 μ		
		i	54,5	
	(GW)	eiS	51 30	
		i	54 29	
	WAR	Δ=17,3°		
	(SKD)	eiP	00 49 10	
		eiS	52 10	
		eiSS	30	
		ei(PoP)	53 46	
22.IX				
	NIE			
		eP	07 51 14	
22.IX	Anatolie, BCIS: 40,2°N, 33,2°E, H=12h56m03s; ML=4,0(Istanbul-K)			
	NIE	Δ=12,8°		
		iP	12 59 04,1	
		Z: 1,0s; 0,017 μ		
		iPP	25,5	
	KRA	Δ=13,4°. Traces		
	(SKM)	eP	12 59 21	
22.IX	Turquie, NEIS: 40,3°N, 33,4°E, H=16h31m04,4s, h=18 km, mb=4,4			
	NIE	Δ=12,8°		
		eiP	16 34 11,2	
		ei	15,5	
		i	35	
23.IX	Iles Kouriles, NEIS: 43,9°N, 148,8°E, H=07h30m17,3s, h=47 km, mb=4,7; MPV=5,3 (Kraków)			
	KRA	Δ=76,9°		
	(SKM)	eP	07 42 04	D
		Z: 0,8s; 0,023 μ		
	NIE	Δ=76,6°		
		eP	07 42 07	
23.IX				
	KRA			
	(SKM)	eiP	10 27 16,6	C
		Z: 1,2s; 0,11 μ		
	NIE			
		iP	10 27 18,4	C
		Z: 1,1s; 0,035 μ		
		i	23,6	
		i	36,6	
23.IX				
	NIE			
		iP	12 32 04,5	
		i	10,4	
23.IX	Mer Egée, BCIS: 36,7°N, 26,9°E, H=21h34m16s, h=160 ± 5 km			
	NIE	Δ=13,3°		
		eP	21 37 26	
		Z: 1,1s; 0,008 μ		
		iPP	38	
	KRA	Δ=14,0°. Traces		
	(SKM)	eiP	21 37 34	
		Z: 1,0s; 0,054 μ		
24.IX	Tian-Chan, Moskva: 39,7°N, 71,7°E, H=00h00m36s; MPV=5,8(Niedzica)			

Date	Station	Phase	T.U. h m s	
24.IX (suite)	NIE	Δ=37,2°		
		iP	00 07 31,7	D
		Z: 1,0s; 0,11 μ		
		i	42,2	
24.IX	Hondo, Japon, Moskva: 32,4°N, 142,3°E, H=00h55m00s, mPV(SKM)=6,0; MPV=6,3(Kraków)			
	KRA	Δ=83,5°		
	(SKM)	iP	01 07 29,4	D
		Z: 1,0s; 0,216 μ		
		iPcP	35,1	
24.IX	Iles Tonga, Moskva: 20,7°S, 174,0°W, H=01h47m45s, mPV(SKM)=6,2			
	KRA	Δ=148,9°		
	(SKM)	ePKIKP	02 07 33	
		iPKHKP	36,6	
		iPKP2	39	
		i	49,2	
		i	08 31,8	
	(GW)	eiPKS	11 05	
24.IX	Océan Atlantique, NEIS: 12,0°S, 14,5°W, H=11h03m00,5s, h=33 km, mb=5,4; MPV=5,6(Kraków), 5,2(Niedzica)			
	NIE	Δ=68,2°		
		eiP	11 14 00	
		Z: 0,9s; 0,019 μ		
		ipP	08	
	KRA	Δ=68,5°		
	(SKM)	eiP	11 14 02,2	D
		Z: 1,4s; 0,073 μ		
		ipP	09,7	
	(GW)	eS	23 16	
		Lm	45,5	
		NE: 15s; 3,4 μ, 4,0 μ		
24.IX	Anatolie, BCIS: 38,5°N, 40,5°E, H=15h41m16s, mPV(SKM)=4,9(Moskva)			
	NIE	Δ=18,0°		
		eP	15 45 28	
		Pm	37	
		Z: 0,9s; 0,015 μ		
	KSP	Δ=21,1°		
		eP	15 46 00	
24.IX				
	KRA			
	(GW)	e	18 03 20	
		ei	04 13	
		eL	08,7	

Date	Station	Phase	T.U. h m s	
24.IX	KRA	Lm	18 15,7	
		NE: 14s; 3,1 μ, 6,4 μ		
24.IX	Iles Ryu-Kyu, NEIS: 29,2°N, 129,5°E, H=22h45m07,7s, h=24 km, mb=5,3			
	NIE	Δ=79,8°. Traces		
		eP	22 57 19	
24.IX				
	NIE			
		eiP	23 19 00	
		Z: 0,9s; 0,014 μ		
24.IX				
	NIE			
		eiP	23 57 36	
		Z: 0,7s; 0,011 μ		
25.IX	Iles Ryu-Kyu, NEIS: 29,4°N, 129,5°E, H=00h19m35,1s, h=33 km, mb=5,1			
	NIE	Δ=79,6°		
		eP	00 31 43	
25.IX	Iles Fidji, NEIS: 18,5°S, 177,9°W, H=08h21m59,5s, h=591 km, mb=4,8			
	NIE	Δ=146,1°		
		eiPKP	08 40 33,2	
		i	52,6	
		epPKP	42 58	
25.IX				
	NIE			
		eiP	16 00 57	
		Z: 1,0s; 0,010 μ		
26.IX				
	NIE			
		eP	07 26 04	
		Z: 0,9s; 0,011 μ		
26.IX				
	KRA			
	(SKM)	eP	12 23 36	
		i	24 03,7	
26.IX				
	NIE			
		eP	22 02 37	
		i	44,8	
		Pm	45,9	
		Z: 0,9s; 0,011 μ		
27.IX	Oregon, Moskva: 42,4°N, 121,4°W, H=22h34m54s, mPV(SKM)=5,3			
	KRA	Δ=81,1°. Traces		

International Seismological Centre

Date	Station	Phase	T.U. h m s	
27.IX (suite)	KRA (SKM)	eiP	22 47 10,6	
		Z: 1,5s; 0,074 μ		
27.IX	Océan Atlantique Nord, BCIS: 62,2°N, 27 1/4°W, H=22h45m18s			
	KSP	Δ=26,0°		
		eP	22 50 50	
28.IX	Iles Fidji, NEIS: 18,0°S, 178,4°W, H=03h56m05,2s, h=612 km, mb=5,3			
	KRA	Δ=145,0°. Traces		
	(SKM)	iPKP	04 14 35,5	C
		Z: 0,7s; 0,025 μ		
28.IX	Iles Fidji, NEIS: 24,9°S, 180,0°, H=05h32m20,7s, h=499 km, mb=5,1			
	NIE	Δ=151,0°		
		eiPKIKP	05 51 17,2	C
		Z: 0,9s; 0,010 μ		
28.IX	Iles Fidji, NEIS: 24,6°S, 179,7°W, H=09h13m58,3s, h=500 km, mb=5,2			
	KRA	Δ=150,6°		
	(SKM)	iPKHKP	09 32 53,3	
		Z: 0,7s; 0,033 μ		
		iPKP2	33 01,7	
	NIE	Δ=150,9°		
		iPKHKP	09 32 54,9	D
		PKHKPm	56,1	
		Z: 0,9s; 0,030 μ		
		eiPKP2	33 05	
		i	23,1	
28.IX	Iles Kouriles, NEIS: 47,2°N, 152,8°E, H=20h19m13,3s, h=99 km, mb=4,5			
	NIE	Δ=75,6°		
		eiP	20 30 49	
		Z: 0,9s; 0,010 μ		
29.IX	Tadzhikistan, Moskva: 39,5°N, 73,7°E, H=12h14m12s, mPV(SKM)=4,8			
	NIE	Δ=38,6°		
		eP	12 21 34	
		i	49,7	
		Pm	51,5	
		Z: 0,8s; 0,030 μ		
29.IX	Birmanie, NEIS: 18,3°N, 96,4°E, H=13h42m47,1s, h=64 km, mb=5,1; MPV=5,5 (Niedzica)			
	NIE	Δ=67,3°		
		iP	13 53 38,1	
		Pm	47	
		Z: 0,9s; 0,033 μ		

Date	Station	Phase	T.U. h m s	
29.IX	KRA	Δ=67,5°		
	(SKM)	iP	13 53 39,8	
		ePcP	54 09,3	
29.IX	Mer des Moluques, NEIS: 0,5°S, 124,7°E, H=14h36m21,9s, h=23 km, mb=5,7; MPV=6,0(Kraków), 5,4(Niedzica)			
	KRA	Δ=99,9°		
	(SKM)	eiP	14 50 06	D
		Z: 1,0s; 0,042 μ		
		eiPP	54 26,4	
	NIE	Δ=99,7°		
		eP	14 50 07	D
		Z: 1,0s; 0,010 μ		
		ipP	14,8	
29.IX	Iles Talaud, NEIS: 3,7°N, 127,0°E, H=15h05m38,3s, h=67 km, mb=5,3; MPV=5,1 (Niedzica)			
	NIE	Δ=98,0°		
		eP	15 19 09	
		Z: 1,1s; 0,006 μ		
29.IX	Iles Tonga, NEIS: 24,9°S, 175,7°W, H=18h23m55,8s, h=76 km, mb=4,4			
	NIE	Δ=152,7°		
		ePKIKP	18 43 46	
		ei	57,3	
		ipPKP	44 21	
29.IX	Iles Tonga, NEIS: 25,1°S, 175,6°W, H=18h49m06,4s, h=33 km, mb=5,4			
	KRA	Δ=152,5°		
	(SKM)	ePKIKP	19 08 54	
		iPKHKP	09 00,8	
		iPKP2	11,3	
		PKPm	12,1	
		Z: 1,5s; 0,086 μ		
	NIE	Δ=152,9°		
		eiPKHKP	19 09 02,4	C
		iPKP2	15	
		PKPm	16,4	
		Z: 1,1s; 0,017 μ		
		ipPKP	25,8	
30.IX	Pérou, NEIS: 9,6°S, 74,7°W, H=03h50m59,3s, h=135 km, mb=5,8			
	KRA	Δ=100,2°. Traces		
	(SKM)	eiP	04 04 31,7	D
		Z: 1,1s; 0,041 μ		
	NIE	Δ=100,5°		
		eP	04 04 34	

Date	Station	Phase	T.U. h m s
30.IX	Sumatra, NEIS: 4',9°S, 102,2°E, F=18h17m49,5s, h=33 km, mb=5,6; MPV=5,4 (Niedzica)		
	NIE	Δ=88,4°	

Date	Station	Phase	T.U. h m s
30.IX	NIE	1P	18 30 41
		Z: 0,9s; 0,023 μ	
		1pP	51,0
	KRA	Δ=88,7°	
	(SKM)	e1P	18 30 42

International Seismological Centre

Cena zł 20,–

POLISH ACADEMY OF SCIENCES
PUBLICATIONS OF THE INSTITUTE OF GEOPHYSICS

B. SEISMOLOGY

The following volumes, which have been published previously in years 1963–1975, have been devoted to the problems of seismology:

2 Droste Z., Hordejuk J., Obsługa i wyznaczanie stałych sejsmografów polskiej sieci sejsmologicznej; PWN, Łódź–Warszawa 1964.
3 Wyniki rejestracji sejsmologicznych w polskich obserwatoriach 1959; PWN, Łódź–Warszawa 1964.
4 Wyniki rejestracji sejsmologicznych w polskich obserwatoriach 1960; PWN, Łódź–Warszawa 1964.
8 Wyniki rejestracji sejsmologicznych w polskich obserwatoriach 1961; PWN, Łódź–Warszawa 1965.
9 Wyniki rejestracji sejsmologicznych w polskich obserwatoriach 1962; PWN, Warszawa 1967.
15 Wyniki rejestracji sejsmologicznych w polskich obserwatoriach 1963; PWN, Warszawa 1967.
17 Hordejuk J., Application of electromechanical filters to low-frequency seismological investigations; PWN, Warszawa 1967.
21 Wyniki rejestracji sejsmologicznych w polskich obserwatoriach 1964; PWN, Warszawa 1968.
29 Résultats des enregistrements séismologiques dans les observatoires polonais 1965; PWN, Warszawa 1969.
40 Résultats des enregistrements séismologiques dans les observatoires polonais 1969, Bulletin séismologique préliminaire (parts 1–13); PWN, Warszawa 1974.
43 Résultats des enregistrements séismologiques dans les observatoires polonais 1966; PWN, Warszawa 1971.
45 Résultats des enregistrements séismologiques dans les observatoires polonais 1970, Bulletin séismologique preliminaire (parts 1–13); PWN, Warszawa 1971.
51 Catalogue of earthquake in Poland in 1000–1970 years; PWN, Warszawa 1972.
52 Résultats des enregistrements séismologiques dans les observatoires polonais 1967, PWN, Warszawa 1972.
59 Résultats des enregistrements séismologiques dans les observatoires polonais 1971, Bulletin séismologique (parts 1–13); PWN, Warszawa 1972.
61 Résultats des enregistrements séismologiques dans les observatoires polonais 1968, Bulletin séismologique (parts 1–13); PWN, Warszawa 1972.
65 Wojtczak-Gadomska B., Distribution of the released seismic energy and the number of earthquakes in deep structures of the Pacific area; PWN, Warszawa 1973.
66 Resultats des enregistrements séismologiques dans les observatoires polonais 1972, Bulletin séismologique (parts 1–5); PWN, Warszawa 1973.
79 Bulletin séismologique 1973 (parts 1–5); PWN, Warszawa 1974.
84 Kijko A., Methods for determining positions of very near earthquakes; PWN, Warszawa 1975.
95 Bulletin séismologique 1974 (parts 1–5); PWN, Warszawa 1974–1976.

International Seismological Centre

POLISH ACADEMY OF SCIENCES

PUBLICATIONS OF THE INSTITUTE OF GEOPHYSICS

B–1 (113)

part 4

BULLETIN SÉISMOLOGIQUE

1975

OCTOBRE NOVEMBRE DÉCEMBRE

PAŃSTWOWE WYDAWNICTWO NAUKOWE
WARSZAWA 1977

Beginning from 1976 the Publications of the Institute of Geophysics, Polish Academy of Sciences (previously Materiały i Prace) are divided into the following series:

A – Physics of the Earth interior
B – Seismology
C – Earth magnetism
D – Atmosphere physics
E – Ionosphere physics
F – Planetary geodesy
G – Numerical methods in geophysics
M – Miscellanea

Starting with the present volume, every volume will have two indices: the first one describing the current number in the series and the second one, in brackets, will denote the general successive number, as it has been previously.

International Seismological Centre

POLISH ACADEMY OF SCIENCES

PUBLICATIONS OF THE INSTITUTE OF GEOPHYSICS

B–1 (113)

part 4

BULLETIN SÉISMOLOGIQUE

1975

OCTOBRE NOVEMBRE DÉCEMBRE

PAŃSTWOWE WYDAWNICTWO NAUKOWE
WARSZAWA 1977

Editorial Committee

Roman TEISSEYRE (Editor), Zdzisław MAŁKOWSKI (Deputy Editor), Jan SŁOMKA, Jerzy JANKOWSKI, Maria WERNIK (Managing Editor)

Editor of Series

Roman TEISSEYRE

Editorial Address

Instytut Geofizyki Polskiej Akademii Nauk
ul. Pasteura 3, 02-093 Warszawa, Poland

All inquiries regarding the subscription rate and the price of each issue should be addressed to:
Export-Import Enterprise „Ruch"
ul. Wronia 23, 00-840 Warszawa, Poland

Printed in Poland

Państwowe Wydawnictwo Naukowe
Oddział w Łodzi 1977

Wydanie I. Nakład 370+80 egz. Arkuszy wyd. 3,50. Ark. druk. 2,6/16. Papier offset. kl. V, 80 g, 70×100. Podpisano do druku w styczniu 1977 r. Druk ukończono w marcu 1977 r. Zam. 51/77. Cena zł 20,–

Zakład Graficzny Wydawnictw Naukowych
Łódź, ul. Żwirki 2

International Seismological Centre

INTRODUCTION

Cette publication contient une élaboration des tremblements de terre distants enregistrés par les observatoires séismologiques de l'Institut de Géophysique de l'Académie Polonaise des Sciences. Un relevé des secousses les plus fortes provenant du territoire de la Haute Silésie en 1975, ainsi que des secousses locales dont les épicentres sont situés en dehors de la région de la Haute Silésie, sera présenté séparement dans un cahier du même volume. L'identification des secousses distantes s'appuie sur les données fournies par les centres séismologiques de NEIS - U.S. Department of the Interior, BCIS, ISC et Moskva. Les distances épicentrales Δ sont calculées d'après les coordonnées géocentriques avec une exactitude de $\pm$ 0,01°. Les valeurs des magnitudes des secousses dont les distances épicentrales sont $\geqslant 5^{\circ}$ ont été établies à base des ondes volumétriques (m) et des ondes superficielles (M).

Les diagrammes de l'amplification dynamique des séismographes sont présentés dans le cahier premier de ce volume /vol. 113 - part 1, p. 6-15/.

CONSTANTES DES SÉISMOGRAPHES

Station	Type séismo-graphe	Comp.	Ts sec	Tg sec	Ds	Dg	σ^2	Vo	Vm	Tm sec	Période de validité
Warszawa (WAR)	GW	N-S	10,1	11,7	0,80	1,00	0,075	1410	1430	6,5 -10,5	X - XII
$\varphi = 52^{o}14'30''N$		E-W	9,80	11,3	1,01	1,00	0,077	1675	1030	4,0 - 9,7	
$\lambda = 21^{o}01'25''E$		Z	8,65	11,2	0,54	1,00	0,057	1130	1110	5,6 - 8,0	
h = 110 m	SKD	N-S	25	80,0	1,0	0,4	0,114	645	700	18 - 60	X - XII
		E-W	25	83,8	1,0	0,4	0,091	583	620	17 - 52	
		Z	25	83,2	1,1	0,5	0,137	723	790	17 -60	
Kraków (KRA)	Ch	N-S	1,27	0,281	0,50	2,0	0,132	10500	11200	0,15-1,05	X - XII
$\varphi = 50^{o}03'22''N$		E-W	1,27	0,280	0,50	2,0	0,139	10500	11200	0,15-1,05	
$\lambda = 19^{o}56'23''E$		Z	1,27	0,282	0,50	2,0	0,155	10500	11570	0,15-1,05	
h = 223 m	SKM-3	N-S	1,28	0,580	0,50	0,49	0,013	21670	23670	0,47-0,78	X - XII
		E-W	1,30	0,575	0,50	0,47	0,012	21440	23490	0,48-0,77	
		Z	1,45	0,580	0,60	0,49	0,014	24840	25790	0,47-0,75	
	GW	N-S	9,7	1,01	0,49	5,0	0,1	1475	1590	0,3 -8	X - XII
		E-W	11,1	1,00	0,47	5,0	0,1	1475	1530	0,3 -8,5	
		Z	10,5	1,01	0,47	5,0	0,1	1010	1075	0,3 -8	
	SKD	Z	25,0	91,5	1,0	0,50	0,204	760	810	17 - 59	X - XII
Racibórz (RAC)	SK-58	N-S	1,18	1,00	0,61	0,5	0,011	3000	2900	0,75-1,1	X - XII
$\varphi = 50^{o}05'00''N$		E-W	1,18	1,00	0,50	0,5	0,015	3000	3420	0,77-1,14	
$\lambda = 18^{o}11'39''E$		Z	1,11	1,05	0,50	0,5	0,015	3000	3300	0,78-1,13	
h = 209 m	M	N-S	9,0	-	0,14	-	-	107	381	7,5 -9,5	1X - 26XI
		E-W	9,0	-	0,2	-	-	124	300	6,5 -9,2	
		Z	2,0	-	0,1	-	-	198	1100	1,8 -2,1	
	M	N-S	9,0	-	0,36	-	-	87	130	6,5 -9	27XI - 31XII
		E-W	9,0	-	0,38	-	-	86	120	6,5 -9,0	
		Z	2.0	-	0,13	-	-	165	625	1,8 -2,1	

Station	Type séismo-graphe	Comp.	Ts sec	Tg sec	Ds	Dg	σ^2	Vo	Vm	Tm sec	Période de validité
Niedzica (NIE)	SK-58	N-S	1,82	0,366	3,63	4,5	0,813	39500	44450	0,56-0,91	X -XII
$\varphi = 49^{o}25'25''N$		E-W	2,01	0,312	3,44	4,1	0,904	37800	66780	0,66-0,88	
$\lambda = 20^{o}19'19''E$		Z	1,77	0,426	2,34	4,8	0,950	40480	126000	0,99-1,16	
h = 555m											
Książ (KSP)	SU-59	N-S	1,19	0,250	0.50	1,37	0,089	87450	90000	0,14-0,67	X - XII
$\varphi = 50^{o}50,6'N$		E-W	1,22	0,240	0.62	1,44	0,142	108700	110000	0,16-0,75	
$\lambda = 16^{o}17,6'E$		Z	1,00	0,208	0,50	1,53	0,171	106300	110000	0,13-0,57	
h = 380 m											

International Seismological Centre

S y m b o l e s

Ts - période du pendule

Tg - période du galvanomètre

Ds - amortissement du pendule

Dg - amortissement du galvanomètre

σ^2 - coefficient du couplage

Vo - amplification statique $Vo = \frac{2A}{1o}\sqrt{\frac{Ks}{Kg}\ \frac{Ds}{Dg}\ \frac{Tg}{Ts}\ \sigma^2}$

Vo - amplification statique

pour les séismographes SKD $Vo = \frac{2A}{1o}\sqrt{\frac{Ks}{Kg}\ \frac{Dg}{Ds}\ \frac{Ts}{Tg}\ \sigma^2}$

Vm - valeur de l'amplification maximalle de l'appareil séismique

Tm - intervalle des périodes pour lesquelles l'amplification est supérieure ou égale à 0,9 Vm

Date	Station	Phase	T.U. h m s
1975		O C T O B R E	1975
1.X		Indonésie, Moskva: 4,5°S, 102,2°E, H=03h30m03s, M=6,9; MPV=5,9(Niedzica), 6,3(Kraków)	
	WAR	Δ=88,1°	
(SKD)		iP	03 42 46
		iS	53 36
		Lm	04 24 06
		N: 26s; 40 μ	
		Lm	28 22
		E: 20s; 125 μ	
	NIE	Δ=88,1°	
		eiP	03 42 49
		Pm	57
		Z: 1,0s; 0,096 μ	
	KRA	Δ=88,4°	
(SKM)		iP	03 42 53 D
		Pm	56,9
		Z: 1,3s; 0,36 μ	
		i	43 00,9
		iPP	46 35,4
		iSKS	53 21
		iS	34
1.X		Indonésie, Moskva: 4,9°S, 102,1°E, H=04h13m30s, h=45 km; M=6,1; MPV=5,9(Niedzica), 5,6(Kraków)	
	NIE	Δ=88,3°	
		iP	04 26 19,7
		i	29,1
	KRA	Δ=88,6°	
(SKM)		iP	04 26 20,7 C
		Z: 1,5s; 0,037 μ	
		ipP	36,9
		iPP	39 50,1
1.X		Région des Iles Fidji, NEIS: 25,169°S, 178,590°E, H=18h01m06,4s, h=556 km mb=5,3 /NEIS/	
	KRA	Δ=150,3°. Traces	
(SKM)		ePKIKP	18 19 50
		iPKHKP	54,3
		e	22 14
	NIE	Δ=150,6°	
		eiPKHKP	18 19 56 D
1.X			
	NIE		
		eiP	18 22 10
2.X			
	NIE		
		iP	04 00 06,9 D
2.X			
	NIE		
		eiP	08 47 49
2.X			
	NIE		
		eiP	10 59 33
2.X		Iles Kouriles, Moskva: 43,9°N, 145,8°E, H=11h06m50s, h=80 km, M=4,9	
	KRA	Δ=75,4°	
(SKM)		iP	11 18 26,2 C
		Z: 0,9s; 0,16 μ	
		ipP	46,6
		i	19 00,6
	NIE	Δ=75,8°	
		iP	11 18 28,4 C
		Pm	30
		Z: 1,0s; 0,067 μ	
		ipP	49,6
		i	19 12,2
2.X		Frontière Grèce-Albanie, BCIS: 40,3°N, 20,7°E, H=15h52m32s, ML=3,8(Athènes)	
	NIE	Δ=8,8°	
		eiP	15 54 47
		Pm	48,5
		Z: 0,9s; 0,008 μ	
2.X		Albanie, BCIS: 40,2°N, 20 1/2°E, H=15h 59m44s, ML=3,8(Athènes)	
	NIE	Δ=8,9°	
		eiP	16 02 01
2.X			
	NIE		
		iP	18 59 20,7
2.X			
	NIE		
		eP	19 42 12
3.X			
	NIE		
		eP	02 45 04
3.X		Frontière Pakistan-Afghanistan, Moskva: 30,6°N, 66,3°E, H=05h14m29s, M=6,8; MPV=5,3(Niedzica), MLH=6,9(Warszawa)	
	NIE	Δ=39,1°	
		eiP	05 21 56
		Pm	22 03,5
		Z: 1,0s; 0,052 μ	
		i	16,2
		i	26,4
	WAR	Δ=39,3°	
(SKD)		eiP	05 21 58
		iPP	23 32
		eiS	27 54
		ei	30 50
		Lm	42 22
		NE: 12s; 100 μ, 85 μ	
	KRA	Δ=39,5°	
(SKM)		eP	05 22 00
		i	11,6
		i	17,2
(GW)		eiS	28 04
		Lm	44,5
		N: 11s; 28 μ	
		Lm	44,8
		EZ: 12s; 24 μ, 6,9 μ	
3.X			
	KSP		
		eiP	05 37 22
3.X		Iles Aléoutiennes, Moskva: 51,5°N, 174,8°E, H=09h53m20s, M=5,6; MPV=5,9 (Kraków)	
	KRA	Δ=76,8°	
(SKM)		eiP	10 05 14
		Z: 2,0s; 0,23 μ	
		eiPcP	29
		i	40,7
3.X		Turquie, Moskva: 38,6°N, 40,6°E, H=14h58m15s	
	KSP	Δ=21,0°	
		eP	15 03 02
3.X		Frontière Pakistan-Afghanistan, Moskva: 30,5°N, 66,4°E, H=17h31m33s, M=6,5; MPV=5,4(Niedzica), 5,5(Kraków)	
3.X	NIE	Δ=39,3°	
		eiP	17 39 05
		Pm	09,7
		Z: 1,0s; 0,047 μ	
	KRA	Δ=39,6°	
(SKM)		iP	17 39 08,2
		Z: 1,6s; 0,12 μ	
		i	27,7
		iS	45 12
		Lm	18 00
		NE: 10s; 10 μ, 7 μ	
	WAR	Δ=39,5°	
(SKD)		eiP	17 39 16
		eiPP	40 36
		eiS	15 10
		eiSSS	48 16
		Lm	55 46
		Z: 24s; 63 μ	
		Lm	58 22
		N: 16s; 64 μ	
		Lm	18 00 58
		E: 16s; 61 μ	
3.X		Islande, BCIS: 64,5°N, 18,0°W, H=18h34m05s, MLV=5,5(Skopje); MPV=5,5 (Niedzica, Kraków)	
	KRA	Δ=24,8°	
(SKM)		ei(P)	18 39 24 D
		Z: 1,7s; 0,26 μ	
	NIE	Δ=25,4°	
		e(P)	18 39 30
		Pm	33,4
		Z: 1,0s; 0,034 μ	
3.X		Frontière Pakistan-Afghanistan, Moskva: 30,7°N, 66,4°E, H=19h08m11s	
	NIE	Δ=39,3°	
		eP	19 15 38
4.X		Indonésie, Moskva: 4,8°S, 102,3°E, H=00h16m34s, mb=5,5(NEIS); MPV=5,2(Niedzica), 5,6(Kraków)	
	NIE	Δ=88,4°	
		eiP	00 29 24
		Z: 1,0s; 0,017 μ	
	KRA	Δ=88,7°	
(SKM)		iP	00 29 26,2
		Z: 1,0s; 0,042 μ	

Date	Station	Phase	T.U. h m s
4.X			
	NIE		
		iP	14 40 40,5
4.X			
	NIE		
		eiP	20 20 04
4.X Hondo, Japon, Moskva: 33,7°N,142,1°E, H=20h14m56s; MPV=5,0(Niedzica)			
	NIE	Δ=82,6°	
		iP	20 27 17,7
		Z: 0,9s; 0,010 μ	
5.X Philippines, Moskva: 13,9°N,122,3°E, H=12h45m31s			
	NIE	Δ=87,3°	
		eiP	12 58 17
		iPcP	22,1
5.X Philippines, Moskva: 6,4°N, 127,0°E, H=15h31m10s, M=5,4; MPV=5,8(Kraków)			
	KRA	Δ=96,0°	
	(SKM)	eiP	15 44 35
		Z: 1,4s; 0,063 μ	
	NIE	Δ=95,9°	
		iP	15 44 35,8 D
		i	55,4
5.X			
	KRA		
	(SKM)	eiP	16 21 00
		Z: 1,0s; 0,030 μ	
	NIE		
		iP	16 21 03 C
		Z: 1,0s; 0,014 μ	
		i	22,4
6.X Région de Hondo, Japon, Moskva: 33,4°N, 141,6°E, H=05h25m27s; MPV=5,5 (Kraków)			
	KRA	Δ=82,4°	
	(SKM)	eiP	05 37 45
		Z: 0,7s; 0,029 μ	
	NIE	Δ=82,6°	
		iP	05 37 47,9
		i	38 05,5
6.X			
	NIE		
		iP	10 11 08,3
		i	15,5
		m	17,7
		Z: 0,9s; 0,11 μ	

Date	Station	Phase	T.U. h m s
6.X	NIE	i	10 11 43,6
	KRA		
	(SKM)	eP	10 11 09
		i	13,6
		m	15,6
		Z: 0,6s; 0,078 μ	
		ei	12 19
6.X Iran, Moskva: 38,1°N, 48,4°E, H=18h07m23s			
	NIE	Δ=23,0°	
		eP	18 12 26
		i	39,4
6.X Méditerranée, Moskva: 32,4°N, 24,5°E, H=21h27m41s			
	KSP	Δ=19,4°	
		eP	21 32 04
6.X Atlantique occidental au Sud de Terre Neuve, BCIS: 44 1/2°N, 57°W, H=22h21m38s, mb=4,9; MPV=5,4(Kraków)			
	KRA	Δ=50,4°	
	(SKM)	eiP	22 30 35
		Z: 0,7s; 0,029 μ	
		i	45,2
	NIE	Δ=50,9°	
		iP	22 30 39,8
		Pm	52,1
		Z: 0,9s; 0,049 μ	
		i	31 13
6.X Iles Santa Cruz, Moskva: 11,8°S, 166,6°E, H=22h24m20s, h=65 km, M=7,0; MLV=7,8(Warszawa)			
	KRA	Δ=133,2°	
	(SKM)	ePKIKP	22 43 28
		ipPKP	49,2
		iPP	46 03,7
		i	21,2
	NIE	Δ=133,5°	
		iPKIKP	22 43 29,9
		i	45,7
	WAR	Δ=131,0°	
	(SKD)	iPKS	22 46 43
		ei	47 45
		eiPKKP	53 45
		Lm	23 38 01
		Z: 20s; 190 μ	
		Lm	40 54
		N: 20s; 60 μ	

International Seismological Centre

Date	Station	Phase	T.U. h m s
6.X (suite)	WAR	Lm	23 43 35
		E: 20s; 80 μ	
7.X Indonésie, Moskva: 4,7°S, 102,0°E, H=04h57m06s; MPV=6,0(Kraków)			
	KRA	Δ=88,4°	
	(SKM)	eiP	05 09 51
		Z: 0,5s; 0,020 μ	
	NIE	Δ=88,1°	
		eiP	05 09 56,2
7.X			
	KRA		
	(SKM)	eiP	06 57 07
		Z: 1,5s; 0,074 μ	
	NIE		
		eiP	06 57 08,4
		Z: 1,1s; 0,013 μ	
7.X			
	NIE		
		iP	06 59 49,9
7.X Crête Atlantique, Moskva: 0,01°S, 27,6°W, H=08h27m59s, M=6,6; MPV=6,3 (Kraków), MLV=6,8(Warszawa)			
	NIE	Δ=63,9°	
		eiP	08 38 34
		Z: 1,5s; 0,024 μ	
	KRA	Δ=64,1°	
	(SKM)	iP	08 38 34,8 C
		Pm	37,8
		Z: 1,5s; 0,54 μ	
		i	43,8
		i	49,6
	(GW)	iPP	40 46
		iS	47 05
		iPPS	51
		Lm	09 09,3
		Z: 11s; 1,8 μ	
		Lm	10,4
		NE: 14s; 12 μ, 15 μ	
	WAR	Δ=66,1°	
	(SKD)	eiS	08 47 31
		Lm	09 00 01
		E: 40s; 74 μ	
		Lm	02
		NEZ: 28s; 0 μ, 54 μ, 110 μ	
7.X			
	KSP		
		eP	08 45 24

Date	Station	Phase	T.U. h m s
7.X			
	KRA		
	(SKM)	eP	09 07 48
		Pm	51,1
		Z: 0,6s; 0,031 μ	
7.X Crête Atlantique, Moskva: 0,2°S, 26,8°W, H=13h18m36s, M=5,5; MPV=5,6 (Niedzica), 5,9(Kraków)			
	NIE	Δ=63,6°	
		eiP	13 29 10
		Pm	18,2
		Z: 0,9s; 0,046 μ	
		i	28,2
	KRA	Δ=63,8°	
	(SKM)	iP	13 29 11,1 C
		Z: 1,0s; 0,10 μ	
7.X			
	KSP		
		eP	13 36 01
7.X			
	NIE		
		eiP	18 35 52
		i	56,4
8.X Hokkaido, Japon, Moskva: 42,2°N, 141,8°E, H=02h10m43s; MPV=5,4(Kraków), 4,9(Niedzica)			
	KRA	Δ=75,2°	
	(SKM)	eiP	02 22 23
		Z: 0,7s; 0,025 μ	
		eiPcP	42
	NIE	Δ=75,5°	
		eiP	02 22 25
		Z: 0,9s; 0,009 μ	
8.X Iran méridional, BCIS: 28,2°N, 55,7°E, H=08h15m53s, h=60 km, mb=5,5			
	KRA	Δ=34,7°	
	(SKM)	eiP	08 22 37
	NIE	Δ=34,2°	
		eP	08 22 37,5
		i	23 07,4
8.X Philippines, Moskva: 13,7°N,120,4°E, H=10h27m31s, M=5,4; MPV=6,3(Kraków)			
	KRA	Δ=86,3°	
	(SKM)	eP	10 40 10
		Z: 1,3s; 0,045 μ	
	NIE	Δ=86,2°	

Date	Station	Phase	T.U. h m s	
8.X	NIE	eP	10 40 11	
(suite)		Z: 1,4^{s}; 0,025 μ		
		i	24	
8.X				
	KRA			
	(SKM)	eP	17 37 11	
8.X				
	KRA			
	(SKM)	eiP	21 59 37	C
		Z: 0,8^{s}; 0,037 μ		
	NIE			
		eiP	21 59 37	C
		Z: 0,9^{s}; 0,019 μ		

9.X Hondo, Japon, Moskva: 38,5°N, 142,0°E, H=10^{h}17^{m}28^{s}; MPV=5,6 (Kraków)

	KRA	Δ=78,3°		
	(Ch)	eiP	10 29 26	
		Z: 1,0^{s}; 0,057 μ		
		ePcP	38	
		e	43	
	NIE	Δ=78,6°		
		eiP	10 29 28	
		Z: 1,0^{s}; 0,016 μ		
9.X				
	NIE			
		eiP	17 19 11	
		Z: 0,9^{s}; 0,006 μ		

9.X Pakistan, Moskva: 27,1°N, 65,5°E, H=21^{h}14^{m}39^{s}

	KRA	Δ=41,4°. Traces		
	(SKM)	eP	21 22 09	
10.X				
	KRA			
	(SKM)	eiP	06 08 58	
		Pm	09 00	
		Z: 0,6^{s}; 0,027 μ		
	KSP			
		iP	06 09 00,6	
		Z: 0,8^{s}; 0,075 μ		
11.X				
	NIE			
		iP	03 38 05,4	

11.X Région des Iles Tonga, Moskva: 26,1°S, 175,4°W, H=14^{h}35^{m}16^{s}, M=7,5

	WAR	Δ=151,0°		
11.X	WAR	iPKIKP	14 55 00	
	(SKD)	iPKP$_2$	15	
		iPP	58 33	
		iSKKS	15 05 33	
	KRA	Δ=153,5°		
	(SKM)	iPKIKP	14 55 04,5	C
		Z: 1,8^{s}; 0,35 μ		
		iPKiKP	08,5	
		i	12,7	
	(GW)	iPKS	58 52	
		Lm	16 14,1	
		NE: 22^{s}; 120 μ, 155 μ		
		Lm	15,7	
		Z: 22^{s}; 24 μ		

11.X Région des Iles Tonga, Moskva: 24,0°S, 175,6°W, H=14^{h}55^{m}01^{s}

	KRA	Δ=151,5°		
	(SKM)	ePKIKP	15 14 45	
		Z: 1,6^{s}; 0,11 μ		
		i	52,1	
		iPKP$_2$	15 06,6	

11.X Région de la Nouvelle Bretagne, Moskva: 3,2°S, 148,6°E, H=18^{h}00^{m}55^{s}, M=6,2

	KRA	Δ=116,5°. Traces		
	(SKM)	eP	18 16 04	

12.X Crète, ECIS: 37,9°N, 23,1°E, H=08^{h}23^{m}11^{s}

	KRA	Δ=12,1°		
	(SKM)	eP	08 26 07	
		Z: 1,1^{s}; 0,028 μ		
		e	23	
12.X				
	KRA			
	(SKM)	eiP	11 39 36,7	

13.X Région des Iles Fidji, Moskva: 26,4°S, 176,9°E, H=20^{h}51^{m}30^{s}

	KRA	Δ=150,6°		
	(SKM)	eiPKIKP	21 11 14	D
		Z: 0,8^{s}; 0,051 μ		
		i	25,2	
		iPKP$_2$	35,4	

13.X Région des Iles Fidji, Moskva: 25,0°S, 175,2°W, H=22^{h}12^{m}38^{s}

	KRA	Δ=152,6°		
	(SKM)	eiPKIKP	22 32 31	D
		Z: 0,8^{s}; 0,032 μ		
		eiPKP$_2$	43	

International Seismological Centre

Date	Station	Phase	T.U. h m s	
14.X				
	KRA			
	(SKM)	iP	09 29 58,0	
		Z: 0,7^{s}; 0,020 μ		

14.X Région des Iles Fidji, Moskva: 24,1°S, 175,8°W, H=19^{h}11^{m}58^{s}, M=5,3

	KRA	Δ=151,6°		
	(SKM)	eiPKIKP	19 31 48	
		PKIKPm	51,1	
		Z: 1,5^{s}; 0,086 μ		

15.X Iles Riou-Kiou, Moskva: 29,8°N, 129,8°E, H=14^{h}52^{m}28^{s}, M=5,0; MPV=5,4 (Kraków)

	KRA	Δ=79,3°		
	(SKM)	eiP	15 04 32	
		Z: 1,0^{s}; 0,036 μ		
		ePcP	45	
15.X				
	KRA			
	(SKM)	eP	17 44 25	
		Z: 1,1^{s}; 0,041 μ		

16.X Région des Iles Tonga, Moskva: 25,0°S, 176,5°W, H=03^{h}37^{m}43^{s}

	KRA	Δ=152,1°		
	(SKM)	eiPKIKP	03 57 35	C
		Z: 1,3^{s}; 0,073 μ		
		iPKP$_2$	44	
16.X				
	KRA			
	(SKM)	eP	07 49 02	
		Z: 1,3^{s}; 0,036 μ		
	NIE			
		eP	07 49 04	D
		Z: 1,1^{s}; 0,008 μ		
		i	32,2	

17.X Hindou-Kouch, Moskva: 37,5°N, 71,3°E, H=01^{h}09^{m}06^{s}, h=90 km

	KRA	Δ=38,4°		
	(SKM)	eiP	01 16 41	

17.X Région des Iles Fidji, Moskva: 22,8°S, 175,7°E, H=01^{h}58^{m}40^{s}

	KRA	Δ=147,0°		
	(SKM)	iPKIKP	02 18 16,6	D
		Z: 0,7^{s}; 0,041 μ		
	NIE	Δ=147,3°		
		eiPKIKP	02 18 18	D
		Z: 1,0^{s}; 0,039 μ		

17.X Indonésie, Moskva: 7,1°S, 128,8°E, H=03^{h}31^{m}55^{s}, h=120 km

	KRA	Δ=107,5°		
	(SKM)	eP	03 46 01	
		Z: 1,5^{s}; 0,031 μ		
		iPP	50 34	
	NIE	Δ=107,4°		
		eP	03 46 04	
	WAR	Δ=106,4°		
	(SKD)	eiPP	03 50 21	
		eiSKS	57 13	
17.X				
	NIE			
		iP	04 01 25	
		Z: 1,0^{s}; 0,009 μ		
17.X				
	NIE			
		iP	16 31 45	D
		Z: 0,9^{s}; 0,028 μ		

17.X Hokkaido, Japon, Moskva: 42,6°N, 145,0°E, H=17^{h}58^{m}12^{s}, h=50 km, M=5,2; MPV=5,7 (Kraków), 4,9 (Niedzica)

	KRA	Δ=76,2°		
	(SKM)	eP	18 09 56	
		Pm	58,2	
		Z: 1,0^{s}; 0,072 μ		
	NIE	Δ=76,5°		
		iP	18 09 59,8	
		Z: 1,1^{s}; 0,012 μ		
		eisP	10 16	
		i	42,6	

17.X Iles Aléoutiennes, Moskva: 56,9°N, 148,6°W, H=19^{h}39^{m}04^{s}, M=5,6; MPV=5,8 (Kraków), 5,6 (Niedzica)

	KRA	Δ=73,2°		
	(SKM)	eP	19 50 38	C
		Pm	48,1	
		Z: 0,9^{s}; 0,068 μ		
	NIE	Δ=73,9°		
		iP	19 50 43	C
		Pm	54,2	
		Z: 1,0^{s}; 0,047 μ		
		iPcP	51 04,1	
18.X				
	KSP			
		iP	01 11 41,0	

Date	Station	Phase.	T.U. h m s
18.X	Sud de la Nouvelle Zemble, BCIS: 71°N, 53°E, H=09h00m00s, mb=6,9		
	WAR	Δ=23,6°	
	(GW)	e1P	09 05 09
		e1PP	31
	(SKD)	e1PPP	45
		1S	09 33
	KRA	Δ=26,2°	
	(SKM)	1P	09 05 31,7 C
		Pm	34,9
		Z: 1,4s; 1,8 μ	
	(GW)	Lm	24,1
		NEZ: 5s; 13 μ, 11 μ, 6,7 μ	
	NIE	Δ=26,7°	
		1P	09 05 37,3 C
		Z: 0,9s; 0,43 μ	
18.X			
	NIE		
		eP	10 28 25
19.X			
	NIE		
		1P	08 01 56,6
		Z: 0,9s; 0,027 μ	
19.X	Indonésie, Moskva: 4,7°S, 102,2°E, H=14h19m23s		
	NIE	Δ=88,2°. Traces	
		eP	14 32 14
19.X			
	NIE		
		1P	14 48 06,5 C
		Z: 0,9s; 0,046 μ	
		1	22,6
	KRA		
	(SKM)	eP	14 48 07
19.X	Iles Mariannes, Moskva: 21,4°N, 143,2°E, H=14h49m53s, h=300 km		
	KRA	Δ=93,1°	
	(SKM)	e1P	15 02 33
		Z: 1,1s; 0,041 μ	
	NIE	Δ=93,3°	
		1P	15 02 34,8
		Z: 1,0s; 0,011 μ	
19.X	Honda, Japon, Moskva: 33,7°N, 141,9°E, H=20h32m19s; MPV=4,9(Niedzica)		
	KRA	Δ=82,3°. Traces	

Date	Station	Phase	T.U. h m s
19.X	KRA (SKM)	e1P	20 44 38
	NIE	Δ=82,5°	
		1P	20 44 39,2
		Z: 0,9s; 0,010 μ	
20.X	Caucase oriental, BCIS: 41 3/4°N, 48 1/2°E, H=03h20m01s		
	NIE	Δ=21,0°	
		e1P	03 24 51
		Z: 0,9s; 0,017 μ	
		1PP	25 08,4
	KRA	Δ=21,4°	
	(SKM)	e1P	03 24 52
		Z: 1,1s; 0,048 μ	
20.X			
	WAR		
	(SKD)	e1	22 44 59
		eL	23 06,5
	NIE		
		eP	22 44 59
		Z: 1,0s; 0,039 μ	
		1	45 29,7
	KRA		
	(SKM)	eP	22 45 00 C
		Pm	05,1
		Z: 2,7s; 1,02 μ	
	(GW)	e1	48 26
21.X	Nouvelle Zemble, BCIS: 73,4°N, 54,0°E, H=12h00m00s		
	WAR	Δ=25,3°	
	(SKD)	1P	12 05 29
	(GW)	e1PPP	06 17
	(SKD)	e1S	09 59
	KRA	Δ=27,9°	
	(SKM)	1P	12 05 49,3
		Z: 1,1s; 0,65 μ	
	(GW)	1	11 04
		Lm	18 00
		E: 8s; 6,7 μ	
		Lm	19,3
		N: 10s; 13 μ	
	NIE	Δ=28,4°	
		1P	12 05 55,4 C
21.X			
	NIE		
		e1P	12 43 06,8 C
		Z: 0,9s; 0,010 μ	

International Seismological Centre

Date	Station	Phase	T.U. h m s
21.X (suite)	NIE	i	12 43 31
21.X	KRA	Traces	
	(SKM)	e1P	15 50 35
		Z: 0,8s; 0,018 μ	
		i	39,9
	NIE		
		1P	15 50 37,7
		Z: 0,9s; 0,016 μ	
21.X	KRA	Traces	
	(SKM)	eP	16 16 40
		Z: 1,8s; 0,12 μ	
	NIE		
		eP	16 16 43
		Pm	50,4
		Z: 0,9s; 0,015 μ	
		i	58,3
21.X	KSP		
		eP	17 03 45
21.X	Philippines, Moskva: 11,9°N, 121,6°E, H=17h12m25s, M=6,2; MLH=6,4 (Kraków)		
	KRA	Δ=88,4°	
	(SKM)	e1P	17 25 14
		i	27,8
	(GW)	eSKS	36 00
		eS	29
		ePS	37 19
		Lm	18 07,7
		NEZ: 16s; 8,9 μ, 13 μ, 3,0 μ	
	NIE	Δ=88,3°	
		e1P	17 25 15
	WAR	Δ=87,0°	
	(SKD)	e1SKKS	17 35 45
		e1S	53
21.X	Iles Santa Cruz, Moskva: 12,1°S, 166,4°E, H=20h29m15s, M=5,6		
	NIE	Δ=133,6°	
		e1PKIKP	20 48 29
21.X	Philippines, Moskva: 12,8°N, 121,2°E, H=22h23m11s, M=5,4		
	NIE	Δ=87,4°	
		e1P	22 36 03

Date	Station	Phase	T.U. h m s
21.X	Yougoslavie, BCIS: 43,2°N,17,4°E, H=23h01m22s		
	NIE	Δ=6,3°	
		1Pn	23 03 01,8
		Z: 0,8s; 0,018 μ	
	KRA	Δ=6,8°	
	(SKM)	ePg	23 03 22
		1	04 31,1
		eSg	05 14
21.X	Philippines, Moskva: 11,9°N, 121,6°E, H=23h06m20s, M=6,4; MLH=6,0(Kraków)		
	KRA	Δ=88,5°	
	(SKM)	eP	23 19 13
		1	26,2
		1PP	22 49,3
	(GW)	e1S	30 07
		Lm	00 01,3
		E: 14s; 7,3 μ	
		Lm	01,7
		N: 14s; 7,5 μ	
	NIE	Δ=88,3°	
		eP	23 19 15
	WAR	Δ=87,0°	
	(SKD)	e1S	23 29 43
22.X			
	KRA		
	(SKM)	eP	09 57 39
		Z: 1,0s; 0,036 μ	
22.X	Philippines, Moskva: 11,8°N, 121,7°E, H=15h59m45s, M=5,9; MPV=5,5(Kraków)		
	WAR	Δ=87,1°	
	(SKD)	eP	16 12 37
		e1SKS	23 01
		eL	41,0
	KRA	Δ=88,5°	
	(SKM)	e1P	16 12 39
		Z: 1,0s; 0,036 μ	
		1	13 03,4
23.X			
	KRA		
	(SKM)	1P	13 07 16,6
23.X			
	KRA		
	(SKM)	1P	13 46 42,9
24.X	Hindou-Kouch, Moskva: 37,4°N, 71,5°E, H=13h35m28s, h=115 km		

Date	Station	Phase	T.U. h m s	
24.X	NIE	Δ=38,4°		
(suite)		eiP	13 42 42	
		iPP	43 08,1	
24.X	Frontière Autriche-Allemagne, BCIS: 47,4°N, 10,4°E, H=17h33m08s			
	KSP	Δ=5,2°		
		eiPg	17 34 39,2	
		ei	43,2	
		eiSg	35 56,7	
	NIE	Δ=6,8°		
		eL	17 36 04	
24.X				
	NIE			
		eP	20 25 42	
25.X	Frontière Pakistan-Afghanistan, Moskva: 36,3°N, 71,0°E, H=00h31m44s, h=90 km			
	KRA	Δ=38.9°		
	(SKM)	eiP	00 39 02	
		Z: 0,8s; 0,037 μ		
	NIE	Δ=38,7°		
		eiP	00 39 02	D
		Pm	05,3	
		Z: 0,9s; 0,013 μ		
25.X				
	NIE			
		iP	10 41 37,3	
25.X	Hokkaido, Japon, Moskva: 42,3°N, 141,6°E, H=10h55m51s			
	NIE	Δ=75,6°		
		iP	11 07 33,3	
		Z: 0,9s; 0,017 μ		
		e	50	
25.X	Tadzhikistan, URSS, Moskva: 38,4°N, 69,4°E, H=11h11m14s			
	NIE	Δ=36,6°		
		iP	11 18 20	
25.X	Hondo, Japon, Moskva: 33,4°N, 137,8°E, H=14h20m58s, h=380 km			
	KRA	Δ=80,6°		
	(SKM)	eiP	14 32 30	D
		Z: 0,8s; 0,037 μ		
	NIE	Δ=80,8°		
		iP	14 32 33,1	D
		Z: 1,0s; 0,014 μ		

Date	Station	Phase	T.U. h m s	
25.X	NIE	iPcP	14 32 43,1	
26.X	Philippines, Moskva: 7,4°N, 126,3°E, H=10h41m38s, h=60 km, M=6,1; MPV=5,9(Kraków), 5,5(Niedzica)			
	KRA	Δ=94,8°		
	(SKM)	eiP	10 54 54	D
		Z: 1,2s; 0,071 μ		
		ipP	55 08,1	
		e	58 20	
	NIE	Δ=94,7°		
		iP	10 54 55,9	D
		Z: 1,0s; 0,023 μ		
26.X	Iles Kouriles, Moskva: 47,0°N, 153,0°E, H=14h23m13s; MPV=4,9(Niedzica)			
	NIE	Δ=75,8°. Traces		
		iP	14 34 58,2	
		Z: 0,8s; 0,008 μ		
27.X	Chine, Moskva: 37,2°N, 78,2°E, H=14h27m10s, h=15 km, M=4,8; MPV=4,7(Niedzica), 5,1(Kraków)			
	NIE	Δ=42,9°		
		eiP	14 35 10	
		Z: 0,9s; 0,010 μ		
		i	20	
	KRA	Δ=43,0°		
	(SKM)	eiP	14 35 11	
		Z: 0,7s; 0,016 μ		
27.X				
	NIE			
		iP	16 27 53	
27.X	Philippines, Moskva: 8,9°N, 126,4°E, H=18h26m50s, M=6,0; MPV=5,3(Niedzica)			
	NIE	Δ=93,6°		
		iP	18 40 02,9	
		Pm	09,7	
		Z: 1,0s; 0,015 μ		
		i	17	
	KRA	Δ=93,7°		
	(SKM)	eP	18 40 03	
		ei	16	
27.X	Chine, Moskva: 21,3°N, 101,8°E, H=23h18m52s, M=5,4; MPV=5,0(Niedzica), 5,4 (Kraków)			
	NIE	Δ=68,7°		
		iP	23 29 55,5	D
		Pm	57,9	
		Z: 1,0s; 0,011 μ		

International seismological Centre

Date	Station	Phase	T.U. h m s	
27.X	NIE	iPcP	23 30 05,2	
(suite)	KRA	Δ=68,9°. Traces		
	(SKM)	eiP	23 29 59	C
		Z: 1,0s; 0,029 μ		
28.X	Région des Iles Andaman, Moskva: 10,6°N, 94,3°E, H=05h40m56s; MPV=4,9 (Niedzica), 5,5(Kraków)			
	NIE	Δ=71,6°		
		eiP	05 52 17	D
		Z: 1,0s; 0,010 μ		
		i	25,8	
	KRA	Δ=71,9°		
	(SKM)	iP	05 52 18,9	D
		Z: 1,0s; 0,036 μ		
28.X				
	KRA			
	(SKM)	iP	14 42 36,1	C
		Z: 1,4s; 0,598 μ		
		i	43 21,1	
	NIE			
		iP	14 42 40,1	C
		Z: 1,0s; 0,185 μ		
		i	57,8	
29.X	Région de Semipalatinsk, Kazakstan, Moskva: 50,0°N, 79,0°E, H=04h47m00s; MPV=6,1(Kraków), 6,3(Niedzica)			
	KRA	Δ=37,2°		
	(SKM)	iP	04 54 10	C
		Z: 0,8s; 0,21 μ		
		i	24,9	
	NIE	Δ=37,2°		
		iP	04 54 11,9	C
		Z: 0,9s; 0,34 μ		
29.X				
	NIE			
		eP	05 18 23	
29.X				
	KRA			
	(SKM)	eP	06 10 53	
		Pm	11 01,4	
		Z: 1,5s; 0,086 μ		
	NIE			
		iP	06 10 55	
		Z: 1,1s; 0,008 μ		

Date	Station	Phase	T.U. h m s	
29.X				
	KRA			
	(SKM)	iP	06 50 20,7	C
	NIE			
		eP	06 50 23	C
		Z: 0,9s; 0,032 μ		
		i	36,2	
		i	51 08	
30.X	Hokkaido, Japon, Moskva: 42,8°N, 142,4°E, H=01h41m35s, h=60 km, M=6,0; MLH=6,3(Kraków), MPV=6,5(Kraków)			
	WAR	Δ=72,6°		
	(SKD)	eiP	01 52 57	
		eiPcP	53 21	
		eiPPP	57 25	
		eiS	02 02 25	
		eiPS	57	
		eiPPS	03 17	
		eL	06,0	
		Lm	27 29	
		Z: 20s; 9 μ		
	KRA	Δ=74,9°		
	(SKM)	iP	01 53 11,2	C
		Pm	13,7	
		Z: 0,8s; 0,31 μ		
	(GW)	eS	02 03 12	
		eL	22,7	
		Lm	29,2	
		NEZ: 20s; 14 μ, 9,9 μ, 3,9 μ		
30.X	Région des Iles Nouvelles Hébrides, Moskva: 22,6°S, 171,2°E, H=10h04m50s			
	KRA	Δ=144,7°		
	(SKM)	ePKP	10 24 22	
30.X	Philippines, Moskva: 12,8°N, 126,1°E, H=12h13m58s. h=45 km, M=5,6; MPV=5,8(Kraków)			
	KRA	Δ=90,5°		
	(SKM)	eiP	12 26 56	D
		Z: 1,2s; 0,079 μ		
	NIE	Δ=90,5°		
		eiP	12 26 57	D
		Z: 1,0s; 0,039 μ		
		i	27 12,1	
30.X	Iles Aléoutiennes, Moskva: 50,9°N, 179,3°W, H=12h36m07s			
	NIE	Δ=78,9°		

Date	Station	Phase	T.U. h m s	
30.X	NIE	eiP	12 48 07	
		Z: 0,9^{s}; 0,010 μ		
		ePcP	22	
30.X	Kamtchatka, Moskva: 51,4°N, 159,4°E, H=22^{h}37^{m}27^{s}			
	KRA	Δ=73,4°. Traces		
	(SKM)	eP	22 48 59	
31.X	Philippines, Moskva: 20,4°N, 122,0°E, H=02^{h}52^{m}57^{s}; MPV=5,5(Kraków)			
	KRA	Δ=82,1°		
	(SKM)	eiP	03 05 16	
		Z: 1,2^{s}; 0,047 μ		
31.X	Philippines, Moskva: 12,8°N, 126,1°E, H=08^{h}28^{m}03^{s}, h=50 km, M=7,6; MPV=6,6(Kraków), MLH=7,5(Kraków)			
	WAR	Δ=88,9°		
	(SKD)	eiP	08 40 53	
		i	59	
		iPP	44 21	
		iS	51 43	
	KRA	Δ=90,5°		
	(SKM)	eiP	08 41 00	
		Pm	09,1	
		Z: 1,4^{s}; 0,59 μ		
	(GW)	iSKS	51 40	
		ei	48	
		Lm	09 19,1	
		NE: 15^{s}; 145 μ, 98 μ		
31.X				
	KRA			
	(SKM)	iP	16 21 40,9	C
		Z: 1,0^{s}; 0,048 μ		
31.X	Philippines, Moskva: 12,9°N, 125,9°E, H=18^{h}42^{m}20^{s}			
	NIE	Δ=90,3°		
		eP	18 55 19	
31.X	Philippines, Moskva: 12,7°N, 126,0°E, H=20^{h}11^{m}09^{s}			
	NIE	Δ=90,3°		
		eiP	20 24 09	
		Z: 0,9^{s}; 0,011 μ		
		i	33,5	
	KRA	Δ=90,5°. Traces		
	(SKM)	eiP	20 24 11	
		Z: 1,0^{s}; 0,024 μ		
31.X	Philippines, Moskva: 12,9°N, 126,0°E, H=22^{h}08^{m}49^{s}			
	NIE	Δ=90,3°		
		eiP	22 21 49	
31.X	Philippines, Moskva: 12,3°N, 125,9°E, H=23^{h}20^{m}20^{s}, M=5,1 ; MPV=5,3(Kraków)			
	KRA	Δ=90,7°		
	(SKM)	eiP	23 33 20	C
		Z: 1,3^{s}; 0,027 μ		
	NIE	Δ=90,7°		
		iP	23 33 22,1	D
		Z: 1,0^{s}; 0,009 μ		
31.X	Philippines, Moskva: 12,2°N, 125,6°E, H=23^{h}34^{m}13^{s}			
	NIE	Δ=90,6°. Traces		
		eP	23 47 14	

1975 NOVEMBRE 1975

Date	Station	Phase	T.U. h m s	
1.XI	Iles Aléoutiennes, Moskva: 53,6°N, 163,2°W, H=00^{h}48^{m}24^{s}, M=5,9; MPV=6,0 (Kraków), 5,6(Niedzica)			
	KRA	Δ=76,9°		
	(SKM)	iP	01 00 13,2	D
		Pm	16,3	
		Z: 1,1^{s}; 0,124 μ		
		iPcP	23,7	
	NIE	Δ=77,5°		
1.XI	NIE	eiP	01 00 17	C
		Pm	20,5	
		Z: 1,1^{s}; 0,058 μ		
		iPcP	30,9	
1.XI	Iles Mariannes, Moskva: 14,0°N, 145,1°E, H=01^{h}17^{m}32^{s}, h=100 km			
	NIE	Δ=100,5°		
		eP	01 31 10	
		Z: 0,9^{s}; 0,008 μ		

International Seismological Centre

Date	Station	Phase	T.U. h m s	
1.XI				
	NIE	Traces		
		eiP	01 47 23	
1.XI				
	NIE			
		eiP	04 09 24	
		Pm	42	
		Z: 0,7^{s}; 0,011 μ		
1.XI	Iles Philippines, Moskva: 12,2°N, 126,0°E, H=05^{h}55^{m}28^{s}, M=5,2			
	NIE	Δ=90,9°		
		eP	06 08 35	
1.XI	Région des Iles Fidji, Moskva: 18,2°S, 177,2°W, H=06^{h}14^{m}48^{s}, h=350 km			
	KRA	Δ=145,0°		
	(SKM)	eiPKP	06 33 45	
		Z: 0,6^{s}; 0,19 μ		
		i	36 46,3	
	(GW)	eSKS	40 23	
		ei	43 19	
	NIE	Δ=146,0°		
		eiPKP	06 33 46	
		PKPm	50,2	
		Z: 0,9^{s}; 0,23 μ		
		i	34 57,1	
		ipPKP	35 07,9	
1.XI	Philippines, Moskva: 12,8°N, 126,0°E, H=13^{h}57^{m}54^{s}; MPV=5,3(Kraków)			
	KRA	Δ=90,4°. Traces		
	(SKM)	eP	14 10 53	C
		Z: 1,1^{s}; 0,021 μ		
		ePP	14 12	
	NIE	Δ=90,4°		
		iP	14 10 53,9	
1.XI	Philippines, Moskva: 12,9°N, 125,9°E, H=14^{h}53^{m}51^{s}			
	NIE	Δ=90,3°		
		eP	15 06 50	
1.XI	Région des Iles Tonga, Moskva: 16,9°S, 172,5°W, H=18^{h}40^{m}33^{s}, M=5,4			
	KRA	Δ=145,7°		
	(SKM)	iPKP	19 00 08,0	C
		Z: 1,1^{s}; 0,39 μ		
		i	28,8	
	NIE	Δ=146,2°		
		ePKP	19 00 08	
		Z: 0,9^{s}; 0,29 μ		
2.XI	Philippines, Moskva: 11,4°N, 126,7°E, H=02^{h}39^{m}38^{s}; MPV=5,4(Kraków), 5,0(Niedzica)			
	KRA	Δ=91,9°		
	(SKM)	eiP	02 52 44	
		Z: 0,9^{s}; 0,021 μ		
	NIE	Δ=91,9°		
		eiP	02 52 47	
		Z: 0,9^{s}; 0,008 μ		
2.XI				
	NIE			
		eiP	06 40 44	
		e	43 03	
2.XI				
	KRA	Traces		
	(SKM)	eiP	06 52 49	C
		ei	52	
	NIE			
		iP	06 52 51	
		Z: 0,9^{s}; 0,015 μ		
		i	54,9	
2.XI				
	NIE			
		eiP	11 44 30	
4.XI				
	NIE			
		iP	02 53 05	
		Z: 1,0^{s}; 0,005 μ		
4.XI				
	KRA	Traces		
	(SKM)	eP	05 30 22	
		Z: 0,8^{s}; 0,014 μ		
4.XI	Hesse (République fédérale allemande), BCIS: 50,4°N, 8,9°E, H=08^{h}30^{m}12^{s}			
	KSP	Δ=4,7°		
		ePn	08 31 23	
		iS	32 40,1	
	NIE	Δ=7,5°		
		iSg	08 34 21,5	
		i	25,4	
4.XI	Iles du Commandeur, Moskva: 54,5°N, 167,4°E, H=12^{h}06^{m}00^{s}, h=45 km, M=5,5; MPV=5,6(Kraków), 5,1(Niedzica)			
	KRA	Δ=72,5°		
	(SKM)	eiP	12 17 23	C
		Z: 0,9^{s}; 0,047 μ		
		eipP	33	

Date	Station	Phase	T.U. h m s	
4.XI	NIE	Δ=73,1°		
(suite)		iP	12 17 27,1	C
		Z: 1,1s; 0,013 μ		
		ipP	36,4	
		iPcP	43,6	

5.XI Colombie, Moskva: 6,1°N, 76,8°W, H=01h58m53s; MPV=5,6(Kraków)

	KRA	Δ=89,7°		
	(SKM)	eiP	02 11 50	
		Z: 1,0s; 0,042 μ		
		iPcP	56,9	

5.XI Région des Iles Nicobar, Moskva: 7,2°N, 94,4°E, H=10h40m06s, M=5,3; MPV=5,1(Niedzica), 5,8(Kraków)

	NIE	Δ=74,2°		
		iP	10 51 41,5	
		Z: 1,2s; 0,017 μ		
		i	47,1	
		ePcP	53	
	KRA	Δ=74,5°		
	(SKM)	iP	10 51 43,4	
		Z: 0,4s; 0,035 μ		

5.XI Région des Iles Nicobar, Moskva: 7,8°N, 94,4°E, H=11h27m08s, h=25 km, M=5,0

	NIE	Δ=73,7°		
		eP	11 38 42	
		ipP	49,9	
		i	39 08,1	
	KRA	Δ=74,0°		
	(SKM)	eP	11 38 43	

5.XI

	NIE			
		eiP	12 59 54	
		i	13 00 19	

5.XI

	NIE			
		iP	15 07 13,2	
		Z: 0,6s; 0,012 μ		
		i	35	

5.XI

	NIE			
		iP	17 06 29,5	
		Z: 0,9s; 0,015 μ		

6.XI Iles Aléoutiennes, Moskva: 51,7°N, 176,1°E, H=01h06m38s, M=5,4; MPV=5,7 (Kraków), 6,2(Niedzica)

Date	Station	Phase	T.U. h m s	
6.XI	KRA	Δ=76,9°		
	(SKM)	eiP	01 18 27	C
		Z: 1,2s; 0,087 μ		
	NIE	Δ=77,4°		
		iP	01 18 31,1	C
		Z: 1,0s; 0,021 μ		
		i	50	
		i	19 11,5	

6.XI Iran, BCIS: 35,9°N, 53,1°E, H=04h 09m35s

	NIE	Δ=27,3°		
		eiP	04 15 03	

6.XI Iles Andaman, Moskva: 7,7°N, 95,7°E, H=09h49m57s, h=20 km, M=5,0; MPV=4,8(Niedzica)

	NIE	Δ=74,6°		
		eiP	10 01 39	

6.XI Philippines, Moskva: 12,9°N, 126,0°E, H=12h36m26s, h=90 km

	KRA	Δ=90,3°		
	(SKM)	eiP	12 49 18	D
		Z: 1,0s; 0,12 μ		
		iPcP	22	
		eiPP	52 54	
	WAR	Δ=88,8°		
	(SKD)	eP	12 49 21	
		eiSKS	59 37	
		eiS	13 00 01	
		eiPPS	01 31	

7.XI Chine, Moskva: 33,2°N, 95,5°E, H=05h 42m30s, h=20 km, M=4,8; MPV=5,2(Kraków)

	KRA	Δ=56,6°. Traces		
	(SKM)	eP	05 52 12	
		Z: 1,5s; 0,037 μ		

7.XI Indonesie, Moskva: 4,7°S, 102,4°E, H=09h24m57s

	KRA	Δ=88,7°. Traces		
	(SKM)	eiP	09 37 50	

8.XI

	KRA	Traces		
	(SKM)	eiP	04 57 27	

8.XI

	KRA			
	(SKM)	eP	11 19 30	
		Z: 1,0s; 0,036 μ		

International Seismological Centre

Date	Station	Phase	T.U. h m s	
8.XI				
(suite)	NIE			
		eiP	11 19 31	
		Z: 0,9s; 0,023 μ		
		i	53,4	

8.XI Philippines, Moskva: 6,9°N,126,8°E, H=14h53m32s, h=80 km, M=5,5

	KRA	Δ=95,5°		
	(SKM)	eP	15 06 48	
		Z: 0,8s; 0,032 μ		
		eisP	07 15	
	NIE	Δ=95,4°		
		iP	15 06 49,2	C
		Z: 1,1s; 0,009 μ		

8.XI

	KRA			
	(SKM)	eiP	18 12 10,4	
		Z: 0,9s; 0,026 μ		
		i	19,9	
	(GW)	ei	14 46	
	NIE			
		iP	18 12 12,9	
		Z: 0,9s; 0,041 μ		

9.XI Mongolie, Moskva: 47,8°N, 103,2°E, H=17h44m46s; MPV=5,1(Niedzica)

	NIE	Δ=52,3°		
		iP	17 53 45,8	
		Z: 0,9s; 0,017 μ		

9.XI Philippines, Moskva: 13,0°N,125,7°E, H=20h34m46s, h=45 km, M=5,6; MPV=5,8(Kraków), 5,6(Niedzica)

	WAR	Δ=88,5°		
	(SKD)	eiP	20 47 41	
		eiSKS	58 03	
		eiS	26	
		ei	21 00 29	
	KRA	Δ=90,1°		
	(SKM)	iP	20 47 42,4	D
		Z: 1,1s; 0,082 μ		
	NIE	Δ=90,1°		
		eiP	20 47 44	D
		Z: 1,0s; 0,042 μ		
		ipP	56,9	
		isP	48 03	

11.XI Kirghiz, Moskva: 40,8°N, 73,1°E, H=03h53m59s; MPV=4,5(Niedzica)

Date	Station	Phase	T.U. h m s	
11.XI	NIE	Δ=37,6°		
		iP	04 01 18	
		Z: 0,9s; 0,006 μ		
		ePP	02 54	
		ePPP	03 07	

11.XI Mer d'Okhotsk, Moskva: 46,8°N, 145,6°E, H=04h25m33s, h=355 km

	KRA	Δ=72,9°		
	(SKM)	iP	04 36 23,6	D
		Z: 1,0s; 0,24 μ		
		eipP	37 44	
	NIE	Δ=73,3°		
		iP	04 36 26,5	D
		Z: 0,9s; 0,16 μ		
		ipP	42,5	

11.XI

	KRA			
	(SKM)	eiP	07 34 30	
		Z: 1,0s; 0,036 μ		
		ei	45	
	NIE			
		eiP	07 34 33	D
		Z: 1,3s; 0,022 μ		
		i	36,2	

11.XI Japon, Moskva: 42,5°N, 143,8°E, H=08h54m23s, M=5,6; MPV=5,7(Kraków), 5,3(Niedzica), 5,6(Książ)

	KRA	Δ=75,8°		
	(SKM)	iP	09 06 06,4	
		Z: 0,7s; 0,049 μ		
		iPcP	17,5	
		iPP	08 46	
	NIE	Δ=76,1°		
		iP	09 06 08,6	C
		Pm	11,8	
		Z: 0,9s; 0,022 μ		

11.XI

	KRA			
	(SKM)	iP	09 08 20,4	C
		Z: 1,0s; 0,079 μ		
		i	39,9	
	NIE			
		eP	09 08 22	
		Z: 1,1s; 0,020 μ		
		i	42	

Date	Station	Phase	T.U. h m s	
12.XI	KSP	eiP	00 09 33	
12.XI	KSP	iP	01 02 18,4	
12.XI	Méditerranée au Voirisage de la côte orientale de Rhodes, BCIS: 36,2°N, 28,2°E, H=09h03m50s, h=65 km; MLV=4,6(Kraków)			
	KRA	Δ=14,8°		
	(SKM)	eP	09 07 10	
		Pm	22,7	
		Z: 1,5s; 0,14 μ		
	(GW)	eiS	10 11	
		Lm	14 39	
		NE: 7s; 1,0 μ, 1,9 μ		
		Lm	44	
		Z: 6s; 0,5 μ		
	WAR	Δ=16,8°		
	(SKD)	eiP	09 07 39	
		eiS	10 51	
		ei	12 25	
12.XI	Rift nord-atlantique à l'Est de Jan Mayen, BCIS: 71,8°N, 2,0°W, H=17h51m08s			
	KRA	Δ=24,2°		
	(SKM)	eP	17 56 24	
		Z: 1,2s; 0,055 μ		
		e	59 32	
	NIE	Δ=24,9°		
		eP	17 56 28	
		i	39,5	
12.XI	Rift nord-atlantique à l'Est de Jan Mayen, BCIS: 71,5°N, 1,5°W, H=23h38m34s; MPV=5,3(Kraków)			
	KRA	Δ=23,9°		
	(SKM)	eP	23 43 45	
		Z: 2,5s; 0,44 μ		
		i	44 14,3	
	(GW)	ei	48 21	
	NIE	Δ=24,5°		
		eP	23 43 52	
13.XI	NIE	eiP	01 25 54	
13.XI	NIE	Traces		
		eP	01 30 09	
13.XI	KRA	eP	01 51 17	
	(SKM)			
	NIE	eiP	01 51 19	
		Z: 0,9s; 0,010 μ		

Date	Station	Phase	T.U. h m s	
13.XI	NIE	i	01 51 29	
		i	40,3	
13.XI	Iles Aléoutiennes, Moskva: 54,8°N, 163,1°W, H=02h54m06s, h=50 km, M=4,7; MPV=5,6(Kraków), 5,1(Niedzica)			
	KRA	Δ=75,7°		
	(SKM)	eiP	03 05 46	C
		Z: 0,6s; 0,031 μ		
	NIE	Δ=76,4°		
		eiP	03 05 50	C
		Z: 1,0s; 0,014 μ		
		ePcP	06 07	
13.XI	Méditerranée au large de la côte de la Cyrénaique, BCIS: 33,3°N, 22,8°E, H=03h07m23s			
	NIE	Δ=15,9°		
		eP	03 11 08	
		Pm_1	12,6	
		Z: 1,0s; 0,021 μ		
		Pm_2	21,1	
		Z: 1,0s; 0,079 μ		
		iPP	26,6	
	KRA	Δ=16,6°		
	(SKM)	eP	03 11 16	
		Pm	22,8	
		Z: 0,9s; 0,079 μ		
		i	31,3	
	(GW)	eiS	14 25	
13.XI	NIE	eiP	14 04 57	
		Z: 0,9s; 0,011 μ		
		i	05 11,5	
13.XI	Iles Kouriles, Moskva: 50,5°N, 156,7°E, H=15h48m37s, h=70 km, M=4,8			
	KRA	Δ=73,5°		
	(SKM)	eiP	16 00 11	
		eiPcP	26	
	NIE	Δ=73,9°		
		eiP	16 00 20	
		i	38,2	
13.XI	Région de Taiwan, Moskva: 24,3°N, 122,0°E, H=16h24m56s, M=5,3			
	KRA	Δ=79,1°		
	(SKM)	eP	16 37 00	
		eiPcP	10	
	NIE	Δ=79,2°		
		eP	16 37 00	

International Seismological Centre

Date	Station	Phase	T.U. h m s	
13.XI	Iran, Moskva: 10,5°N, 57,4°E, H=19h12m34s, M=4,8			
	NIE	Δ=49,3°		
		eP	19 21 23	
		i	51,5	
13.XI	Apennins ligures, Italie, BCIS: 44,6°N, 9,5°E, H=19h55m14s			
	NIE	Δ=6,7°		
		eP	19 57 25	
		iS	59 06	
	KRA	Δ=8,8°		
	(SKM)	eL	19 59 28	
14.XI	Californie, Moskva: 41,2°N, 124,2°W, H=09h29m53s, M=4,7; MPV=5,0(Niedzica)			
	NIE	Δ=84,7°		
		iP	09 42 25	C
		Z: 1,1s; 0,012 μ		
		i	42,7	
14.XI	NIE	iP	09 57 04	D
		Z: 1,0s; 0,031 μ		
		ei	16	
14.XI	Turquie orientale, BCIS: 39,0°N, 40,9°E, H=12h32m04s			
	NIE	Δ=17,9°		
		eP	12 36 16	
14.XI	KSP	eP	14 08 31	
15.XI	Turquie orientale, BCIS: 38,0°N, 40,2°E, H=06h45m14s			
	NIE	Δ=18,1°		
		eP	06 49 29	
		Z: 1,4s; 0,020 μ		
		i	38,9	
	KRA	Δ=18,7°		
	(SKM)	eiP	06 49 33	
		Z: 1,0s; 0,030 μ		
15.XI	KRA	Traces		
	(SKM)	eP	08 39 18	
15.XI	KRA	eiP	09 55 41	
	(SKM)	Z: 0,9s; 0,026 μ		
15.XI	Mexique, Moskva: 18,3°N, 102,3°W, H=15h28m31s, M=6,0; MPV=6,2(Kraków), 5,4(Niedzica)			
	KRA	Δ=95,2°		
	(SKM)	eP	15 41 51	
		Z: 2,0s; 0,20 μ		

Date	Station	Phase	T.U. h m s	
15.XI	NIE	Δ=95,8°		
		eP	15 41 54	
		Z: 0,9s; 0,014 μ		
15.XI	Philippines, Moskva: 12,4°N, 126,2°E, H=20h39m26s, M=6,1; MPV=5,8(Kraków)			
	WAR	Δ=89,3°		
	(SKD)	eiP	20 52 19	
		eiSKS	21 02 49	
		eiS	03 21	
		eL	19,0	
		Lm	35 09	
		EZ: 16s; 28 μ, 13 μ		
	KRA	Δ=90,8°		
	(SKM)	eiP	20 52 27	D
		Z: 1,2s; 0,047 μ		
		ei	54	
		eiPP	56 04	
16.XI	Apennins ligures, Italie, BCIS: 44,6°N, 9,6°E, H=13h04m24s; MLV=4,6(Kraków), 4,5(Książ)			
	KSP	Δ=7,7°		
		iPn	13 06 14,9	
		iP^x	25,9	
		iS	07 39,9	
		Lm	08 41	
		NE: 1,5s; 0,71 μ, 0,78 μ		
		Lm	50	
		Z: 1,0s; 0,35 μ		
	KRA	Δ=8,7°		
	(SKM)	eiP	13 06 34	
		Z: 1,0s; 0,018 μ		
		ei	38	
		iSn	08 09,6	
		iSg	09 01,6	
	(GW)	Lm	11,2	
		NEZ: 6s; 1,5 μ, 3,0 μ, 1,0 μ		
	NIE	Δ=8.6°		
		iP	13 06 36	C
		Z: 0,9s; 0,028 μ		
17.XI	KSP	iP	05 58 20,0	
19.XI	Iles Salomon, NEIS: 6,82°S, 154,47°E, H=03h34m28,1s, h=24 km, mb=5,6			
	NIE	Δ=122,9°		
		iPKIKP	03 53 24,6	D
		PKIKPm	28	
		Z: 1,0s; 0,026 μ		
		i	38	

Date	Station	Phase	T.U. h m s	
19.XI	KRA	Δ=122,8°		
(suite)	(SKM)	ePKIKP	03 53 25	
		Z: 1,0s; 0,030 μ		
19.XI	NIE	eiP	04 10 20	

19.XI Rift nord-atlantique au nord-ouest du Spitzberg, BCIS: 82,0°N, 5,0°W, H=04h46m09s; MPV=5,6(Kraków), 5,1(Niedzica)

KRA	Δ=33,2°			
(SKM)	iP	04 52 44,6	D	
	Z: 1,0s; 0,096 μ			
NIE	Δ=33,9°			
	eP	04 52 51	D	
	Z: 1,1s; 0,021 μ			
	i	56		
	i	53 05,5		

19.XI Région des Iles Kermadec, Moskva: 26,6°S, 178,5°W, H=06h18m18s, h=450 km

KRA	Δ=152,8°		
(SKM)	eiPKIKP	06 37 15	
	eiPKHKP	21	
	Z: 1,4s; 0,29 μ		
NIE	Δ=153,2°		
	ePKIKP	06 37 16	C
	Z: 1,4s; 0,038 μ		
	iPKHKP	23	
	PKHKPm	24,5	
	Z: 1,2s; 0,13 μ		
	$eiPKP_2$	31	

19.XI Kamtchatka, Moskva: 54,3°N,161,2°E, H=11h06m30s, h=95 km; MPV=5,7(Kraków), 5,1(Niedzica)

KRA	Δ=71,3°			
(SKM)	eiP	11 17 41	C	
	Z: 1,1s; 0,069 μ			
	iPcP	18 03,7		
	eisP	15		
NIE	Δ=71,8°			
	eiP	11 17 44	C	
	Z: 1,0s; 0,016 μ			
	iPcP	57,7		

19.XI Région frontière Iran-URSS, NEIS: 38,357°N, 45,644°E, H=23h21m20,0s, h=39 km, mb=3,8; MPV=4,0(Niedzica)

NIE	Δ=21,1°		
	eP	23 26 01	
	Z: 1,0s; 0,008 μ		
	eiPP	31	

Date	Station	Phase	T.U. h m s	
19.XI	KRA	Δ=21,6°. Traces		
	(SKM)	eP	23 26 12	

20.XI Indonesie, Moskva: 4,2°S, 102,5°E, H=00h50m06s, h=60 km, M=4,9; MPV=5,8(Niedzica), 6,0(Kraków)

NIE	Δ=88,0°			
	iP	01 02 51,9	C	
	Z: 1,0s; 0,075 μ			
	ipP	03 05,1		
	isP	11,9		
KRA	Δ=88,4°			
(SKM)	eiP	01 02 53		
	Z: 1,1s; 0,11 μ			
	eiPP	06 22		
20.XI	KRA	eiP	15 12 37	C
	(SKM)	Z: 1,1s; 0,23 μ		
		i	47,8	
	NIE	eiP	15 12 40	
		Z: 1,0s; 0,159 μ		
		i	53,5	

21.XI Panama, Moskva: 7,5°N, 77,5°W, H=01h15m01s, M=5,5; MPV=5,9(Kraków), 5,5(Niedzica)

KRA	Δ=89,1°			
(SKM)	iP	01 27 54,4	C	
	Z: 1,5s; 0,14 μ			
NIE	Δ=89,5°			
	eP	01 27 55		
	Z: 1,3s; 0,049 μ			
	i	28 07		

21.XI Indonesie, Moskva: 7,5°S, 127,3°E, H=04h45m35s, h=100 km

NIE	Δ=106,7°		
	iPKIKP	05 03 51	
	ipPKIKP	04 12	

22.XI Philippines, Moskva: 8,0°N, 126,4°E, H=02h34m07s, h=50 km, M=5,6; MPV=6,0(Kraków), 6,1(Niedzica)

KRA	Δ=94,4°			
(SKM)	iP	02 47 23,3	C	
	Z: 0,9s; 0,068 μ			
	eipP	35		
NIE	Δ=94,3°			
	iP	02 47 24,3	C	
	Z: 1,0s; 0,077 μ			
	i	32		
	ipP	38		

International Seismological Centre

Date	Station	Phase	T.U. h m s	

22.XI Albanie méridionale, BCIS: 39,9°N, 20,1°E, H=10h00m11s

NIE	Δ=9,2°			
	eP	10 08 28	C	
	Pm	40,2		
	Z: 1,0s; 0,10 μ			
KRA	Δ=9,9°			
(SKM)	eiP	10 08 34	C	
	Z: 1,1s; 0,069 μ			
	iSg	11 32		

22.XI Grèce, BCIS: 38,4°N, 21,6°E, H=18h35m07s

NIE	Δ=10,8°		
	eiP	18 37 52	
	Z: 1,3s; 0,021 μ		
	i	38 05,5	
	i	13,5	

23.XI Japon, Moskva: 41,6°N, 140,1°E, H=23h02m09s, h=165 km

KRA	Δ=75,0°			
(SKM)	iP	23 13 32,6	D	
	Z: 0,9s; 0,20 μ			
	iPcP	48,4		

24.XI Iles Tonga, NEIS: 17,8°S, 173,5°W, H=03h34m56s

KRA	Δ=146,3°		
(SKM)	eiPKIKP	03 54 31	
	Z: 1,4s; 0,073 μ		
24.XI	KRA	eiP	05 56 20
	(SKM)		

24.XI Iles Kouriles, Moskva: 44,4°N, 147,0°E, H=07h58m09s, h=40 km, M=5,8; MPV=6,5(Kraków), 6,1(Książ)

KRA	Δ=75,5°			
(SKM)	eiP	08 09 49	C	
	Z: 1,1s; 0,44 μ			
	i	57,0		

24.XI Iles Kouriles, Moskva: 44,6°N, 147,0°E, H=08h25m20s, h=80 km, M=5,0

KRA	Δ=75,3°			
(SKM)	iP	08 36 55,0		
	Z: 1,0s; 0,078 μ			
	iPcP	37 06,0		

24.XI Iles Kouriles, Moskva: 44,3°N, 147,1°E, H=09h51m57s, h=80 km, M=5,5

24.XI	KRA	Δ=75,3°		
	(SKM)	eiP	10 03 34	C
		Z: 1,0s; 0,12 μ		
		iPcP	45,7	

24.XI Indonesie, Moskva: 6,5°S, 102,9°E, H=14h38m17s, M=5,7; MPV=5,7(Kraków)

KRA	Δ=90,4°			
(SKM)	eP	14 51 22		
	Z: 1,6s; 0,008 μ			
	i	30,9		
24.XI	KSP	eP	21 59 51	

25.XI Iles Salomon, Moskva: 8,9°S, 156,8°E, H=08h06m43s, M=6,0; MLV=6,3 (Warszawa)

KRA	Δ=125,7°		
(SKM)	ePKIKP	08 25 48	
	Z: 0,8s; 0,023 μ		
WAR	Δ=123,8°		
(SKD)	eL	08 59,0	
	Lm	09 06 29	
	NE: 32s; 6,3 μ, 8,9 μ		
	Lm	18 17	
	Z: 24s; 10 μ		

25.XI Japon, Moskva: 41,5°N, 144,3°E, H=09h57m18s; MPV=5,5(Kraków)

KRA	Δ=76,8°		
(SKM)	iP	10 09 07,7	
	Z: 0,7s; 0,029 μ		
	iPcP	24	
25.XI	KRA	iP	14 33 40,8
	Z: 0,8s; 0,043 μ		

26.XI Iran, Moskva: 13,5°N, 56,6°E, H=00h18m06s, M=5,3; MPV=5,5(Kraków)

KRA	Δ=47,0°			
(SKM)	iP	00 26 37	D	
	Z: 1,5s; 0,074 μ			
	iPP	28 28,6		

27.XI Iles Tonga, NEIS: 18,503°S, 173,346°W, H=10h44m05,1s, h=33 km, mb=4,6

KRA	Δ=147,0°		
(SKM)	eiPKIKP	11 03 54	
27.XI	KRA	eP	11 21 24
	(SKM)	Pm	38,0
		Z: 1,5s; 0,14 μ	
		i	52,4

International Seismological Centre

Date	Station	Phase	T.U. h m s	
1975		D É C E M B R E		1975
27.XI	KRA	eiP	15 42 33	
	(SKM)	Z: 0,7^{s}; 0,025 μ		
27.XI	Iles Kouriles, Moskva: 43,3°N, 147,7°E, H=19^{h}34^{m}40^{s}, M=4,9; MPV=5,7 (Kraków)			
	KRA	Δ=76,7°		
	(SKM)	iP	19 46 28,3	
		Z: 1,3^{s}; 0,091 μ		
		eiPcP	39	
28.XI	Iles Kouriles, Moskva: 43,2°N, 147,8°E, H=06^{h}00^{m}47^{s}; MPV=5,4(Kraków)			
	KRA	Δ=76,7°		
	(SKM)	eiP	06 12 39	D
		Z: 0,6^{s}; 0,023 μ		
		ePcP	50	
28.XI	Japon, Moskva: 40,6°N, 143,7°E, H=12^{h}15^{m}48^{s}, M=4,6; MPV=5,4(Kraków)			
	KRA	Δ=77,3°		
	(SKM)	eiP	12 27 41	
		Z: 1,0^{s}; 0,036 μ		
28.XI	KRA	eiP	17 04 16	C
		Z: 1,6^{s}; 0,11 μ		
		ei	32	
29.XI	Philippines, Moskva: 12,3°N, 125,7°E, H=02^{h}18^{m}01^{s}, h=50 km, M=6,2			
	KRA	Δ=90,6°		
	(SKM)	eiP	02 31 02	
		eipP	15	
		ePP	34 36	
	(GW)	iS	41 55	
	WAR	Δ=89,1°		
	(SKD)	eP	02 31 17	
		eiSKS	41 21	
		iS	41	
		Lm	03 17 55	
		NE: 12^{s}, 16^{s}; 10 μ, 13 μ		
29.XI	KRA	eiP	09 32 30	
	(SKM)	Z: 0,6^{s}; 0,023 μ		
		ei	42	
29.XI	Iles Sandwich, Moskva: 58,4°S, 27,0°W, H=10^{h}46^{m}52^{s}, M=6,0			
	KRA	Δ=114,5°		
29.XI	KRA	ePKIKP	11 05 28	
	(SKM)	Z: 1,8^{s}; 0,16 μ		
		eiPP	06 34	
29.XI	Hawai, NEIS: 19,334°N, 155,024°W, H=14^{h}47^{m}40,4^{s}, h=5 km, mb=6,0; MLV=6,4 (Kraków), 7,5(Warszawa)			
	KRA	Δ=111,0°		
	(SKM)	ePdif	15 02 18	
		ePKIKP	06 16	
		ePP	54	
	(GW)	iPKIKP	17 01	
		Lm	59,1	
		NZ: 18^{s}; 51 μ, 9,9 μ		
		Lm	16 01,2	
		E: 16^{s}; 24 μ		
	WAR	Δ=108,7°		
	(SKD)	eP	15 02 29	
		eiPP	06 45	
		eiPPPP	10 53	
		eiSKS	13 29	
		eiSKKKS	41	
		eiPcPPKP	20 37	
		eiSS	22 09	
		Lm	48 09	
		NEZ: 20^{s}; 104 μ, 119 μ, 124 μ		
30.XI	Chine, Moskva: 26,6°N, 100,8°E, H=18^{h}22^{m}20^{s}, M=4,8			
	KSP	Δ=66,5°		
		eP	18 33 08	
30.XI	Iles Aléoutiennes, NEIS: 52,599°N, 167,184°W, H=20^{h}30^{m}17,0^{s}, h=24 km, mb=5,7; MPV=6,3(Kraków), MLH=6,3(Kraków)			
	KRA	Δ=77,8°		
	(SKM)	eiP	20 42 12	C
		Pm	20,6	
		Z: 1,6^{s}; 0,50 μ		
		i	35,2	
	(GW)	iSKS	52 26	
		eL	21 08,1	
		Lm	18,1	
		NE: 20^{s}; 13 μ, 12 μ		
		Lm	21,5	
		Z: 18^{s}; 2,3 μ		
1.XII	Philippines, Moskva: 12,7°N, 126,1°E, H=12^{h}06^{m}58^{s}, M=5,1; MPV=5,9(Kraków), 5,5 (Niedzica)			
	KRA	Δ=90,5°		
	(SKM)	eiP	12 19 58	
		Z: 1,1^{s}; 0,096 μ		
		ei	20 04	
	NIE	Δ=90,5°		
		eiP	12 19 58	D
		Z: 1,0^{s}; 0,033 μ		
1.XII	Région frontière URSS-Mongolie, Moskva: 50,7°N, 91,4°E, H=14^{h}03^{m}16^{s}			
	NIE	Δ=44,1°		
		eiP	14 11 19	
2.XII	Indonesie, Moskva: 2,8°N, 125,4°E, H=23^{h}22^{m}12^{s}; MPV=5,8(Kraków), 5,3(Niedzica)			
	KRA	Δ=97,8°		
	(SKM)	eiP	23 35 45	
		Z: 0,7^{s}; 0,020 μ		
	NIE	Δ=97,7°		
		iP	23 35 46,6	D
		Z: 1,1^{s}; 0,010 μ		
3.XII	Iles Kouriles, Moskva: 43,6°N, 145,6°E, H=07^{h}14^{m}34^{s}, h=75 km, M=5,0			
	KRA	Δ=75,6°		
	(SKM)	iP	07 26 11,2	C
		Z: 0,8^{s}; 0,12 μ		
		iPcP	24,9	
	NIE	Δ=75,9°		
		iP	07 26 14,2	C
		Z: 1,1^{s}; 0,043 μ		
		iPcP	23,7	
		ipP	35,1	
3.XII	Crête Atlantique Sud, Moskva: 20,8°S, 11,7°W, H=11^{h}48^{m}43^{s}; MPV=5,3 (Kraków)			
	NIE	Δ=75,2°		
		eiP	12 00 25	
		i	49,9	
	KRA	Δ=75,7°		
	(SKM)	eiP	12 00 28	D
		Z: 0,7^{s}; 0,020 μ		
		ePcP	41	
3.XII	Philippines, Moskva: 9,5°N, 126,0°E, H=17^{h}06^{m}55^{s}; MPV=5,1(Niedzica)			
	NIE	Δ=92,9°		
		iP	17 20 06,5	D
		Z: 0,9^{s}; 0,010 μ		
4.XII	NIE	Traces		
		iP	10 18 18	
4.XII	Mexique, Moskva: 17,5°N, 94,4°W, H=14^{h}58^{m}17^{s}; MPV=5,8(Kraków)			
	KRA	Δ=91,6°		
	(SKM)	eP	15 11 22	
		Pm	47	
		Z: 1,0^{s}; 0,048 μ		
		ei	12 00	
	NIE	Δ=92,1°		
		iP	15 11 25,7	
5.XII	Inde, Moskva: 33,2°N, 76,0°E, H=07^{h}37^{m}13^{s}, M=5,2; MPV=5,6(Kraków)			
	NIE	Δ=43,8°		
		iP	07 45 18,5	C
		i	27,3	
		i	30,4	
	KRA	Δ=44,1°		
	(SKM)	iP	07 45 18,9	C
		Z: 0,8^{s}; 0,055 μ		
5.XII	KRA	eP	09 43 34	
	(SKM)	Z: 1,1^{s}; 0,048 μ		
		e	57	
	NIE	Traces		
		eP	09 43 34	
5.XII	Indonesie, Moskva: 6,5°S, 124,7°E, H=14^{h}27^{m}13^{s}, h=500 km			
	NIE	Δ=104,3°		
		eiPdif	14 40 24	
		Z: 0,9^{s}; 0,009 μ		
		iPP	44 47,1	
	KRA	Δ=104,5°		
	(SKM)	ePdif	14 40 25	
		Z: 1,3^{s}; 0,054 μ		
		eiPP	44 47	
5.XII	NIE	eP	15 32 05	
		Z: 0,9^{s}; 0,009 μ		
		i	19,6	

Date	Station	Phase	T.U. h m s	
5.XII	NIE	iP	20 25 00,5	
		Z: $0,9^s$; 0,25 μ		
		i	14	
		i	22,1	
5.XII	Iles Kouriles, Moskva: 44,7°N, 146,0°E, H=$20^h14^m25^s$, h=80 km; MPV=6,5 (Kraków)			
	KRA	Δ=74,6°		
	(SKM)	iP	20 25 57,6	D
		Z: $1,0^s$; 0,39 μ		
		ipP	26 15,1	
	NIE	Δ=75,2°		
		iP	20 26 00,5	
		Z: $0,9^s$; 0,255 μ		
6.XII	Philippines, Moskva: 17,3°N,119,9°E, H=$05^h13^m12^s$, M=5,6; MPV=5,9(Kraków), 5,4 (Niedzica)			
	KRA	Δ=83,2°		
		eiP	05 25 36	D
		Z: $1,1^s$; 0,10 μ		
	NIE	Δ=83,2°		
		iP	05 25 37,9	D
		Z: $1,1^s$; 0,039 μ		
		i	41,5	
		i	52	
6.XII	NIE	iP	05 30 56,1	
		Z: $0,8^s$; 0,015 μ		
		ei	31 07,5	
6.XII	Philippines, Moskva: 17,6°N, 120,0°E, H=$06^h58^m36^s$			
	KRA	Δ=83,0°. Traces		
	(SKM)	eP	07 11 00	
		i	09,2	
6.XII	NIE	eP	10 42 35	
		Z: $1,2^s$; 0,013 μ		
		i	49,6	
7.XII	NIE	eP	04 13 30	
		Z: $1,0^s$; 0,006 μ		
7.XII	Région des Iles Salomon, Moskva: 4,4°S, 153,6°E, H=$04^h02^m13^s$, M=5,6			
	NIE	Δ=120,4°		
		ePKIKP	04 21 08	
		i	25,6	
7.XII	Iles Kouriles, Moskva: 43,8°N, 147,2°E, H=$07^h57^m57^s$, h=55 km; MPV=4,9 (Niedzica)			
	NIE	Δ=76,4°		
		iP	08 09 43,6	
		Z: $0,9^s$; 0,009 μ		
		ipP	59	
7.XII	Japon, Moskva: 29,8°N, 130,8°E, H=$09^h44^m01^s$; MPV=4,8(Niedzica)			
	NIE	Δ=80,0°		
		eP	09 56 09	
		Z: $0,9^s$; 0,008 μ		
		iPcP	15,3	
7.XII	NIE	iP	12 53 33	
8.XII	KSP	eP	07 53 35	
8.XII	NIE	iP	11 13 45,5	
		Z: $0,7^s$; 0,013 μ		
		i	14 04,1	
8.XII	Kamtchatka, Moskva: 52,7°N, 159,8°E, H=$18^h55^m42^s$, h=70 km, M=4,9; MPV=5,2(Niedzica)			
	NIE	Δ=72,8°		
		iP	19 07 04,6	
		Z: $0,9^s$; 0,016 μ		
		iPcP	20	
8.XII	Océan Arctique à l'ouest du Spitzberg, BCIS: 78,8°N, i 3/4°E, H=$22^h52^m59^s$, mb=5,3; MPV=5,4(Kraków), 5,1(Niedzica)			
	WAR	Δ=27,5°		
	(SKD)	eiP	22 58 49	
		eiS	23 03 29	
		ei	04 19	
	KRA	Δ=29,9°		
	(SKM)	iP	22 59 07,5	
		Z: $1,5^s$; 0,098 μ		
	NIE	Δ=30,5°		
		eP	22 59 12	C
		Z: $0,9^s$; 0,028 μ		
		i	20,1	
		i	26,8	
9.XII	Philippines, Moskva: 5,9°N, 123,8°E, H=$01^h23^m22^s$, h=500 km; MPV=5,9(Niedzica), 6,1(Kraków)			
	NIE	Δ=94,3°		
		eP	01 35 47	
		Z: $1,1^s$; 0,058 μ		
	KRA	Δ=94,4°		
	(SKM)	iP	01 35 47,8	C
		eipP	37 51	
9.XII	Iles Samoa, Moskva: 14,5°S,172,1°W, H=$09^h14^m42^s$, M=6,1			
	KRA	Δ=143,5°		
	(SKM)	ePKHKP	09 34 10	
		PKHKPm	14,5	
		Z: $0,3^s$; 0,070 μ		
		i	24,1	
	NIE	Δ=144,0°		
		ePKHKP	09 34 12	
		iPKIKP	14,1	
		PKIKPm	16,5	
		Z: $0,9^s$; 0,068 μ		
		i	32,8	
	WAR	Δ=140,9°		
	(SKD)	eiPKIKP	09 34 23	
		eiSKS	41 19	
		Lm	10 24 27	
		Z: 36^s; 15 μ		
9.XII	NIE	iP	10 07 04,2	
		Z: $0,7^s$; 0,010 μ		
		i	23	
9.XII	NIE	iP	13 52 33,6	
		Z: $1,1^s$; 0,031 μ		
		i	50,5	
10.XII	Inde, Moskva: 33,1°N, 76,1°E, H=$03^h26^m10^s$, M=5,2; MPV=5,5(Kraków)			
	KRA	Δ=44,2°		
	(SKM)	eiP	03 34 18	
		Z: $0,7^s$; 0,041 μ		
10.XII	NIE	iP	13 45 55	
		Z: $0,9^s$; 0,010 μ		
10.XII	NIE	eiP	14 51 17	
		Z: $1,0^s$; 0,008 μ		
		i	39	
11.XII	KRA	iP	03 03 10,1	D
	(SKM)			
	NIE	iP	03 03 11,7	
		Z: $1,0^s$; 0,010 μ		
11.XII	KRA	Traces		
	(SKM)	eP	07 54 10	
		Z: $1,1^s$; 0,035 μ		
	NIE	eP	07 54 17	
		Z: $1,1^s$; 0,008 μ		
11.XII	Inde, Moskva: 33,0°N, 76,2°E, H=$10^h09^m49^s$, M=4,8; MPV=5,1(Niedzica), 5,4(Kraków)			
	NIE	Δ=44,1°		
		eiP	10 17 56	C
		Z: $1,0^s$; 0,019 μ		
		i	18 03,5	
	KRA	Δ=44,2°		
	(SKM)	eiP	10 17 57	D
		Z: $0,6^s$; 0,031 μ		
11.XII	Iles Kouriles, Moskva: 45,1°N, 148,9°E, H=$16^h43^m16^s$, h=80 km, M=5,0; MPV=6,2(Kraków), 6,1(Niedzica)			
	KRA	Δ=75,6°		
	(SKM)	iP	16 54 54,0	C
		Z: $1,0^s$; 0,22 μ		
	NIE	Δ=76,0°		
		iP	16 54 56,6	C
		Z: $0,9^s$; 0,15 μ		
		iPcP	55 07,5	
		ipP	15,7	
11.XII	Perou, Moskva: 11,6°S, 74,8°W, H=$20^h17^m00^s$			
	KRA	Δ=101,8°		
	(SKM)	eP	20 30 49	
	NIE	Δ=102,0°		
		eP	20 30 53	
12.XII	Philippines, Moskva: 12,1°N, 125,6°E, H=$08^h12^m53^s$, h=55 km; MPV=5,0 (Niedzica)			
	NIE	Δ=90,7°		
		eP	08 25 52	
		Z: $0,9^s$; 0,009 μ		
		epP	26 10	
12.XII	KRA	iP	13 00 11,5	
	(SKM)	Z: $0,7^s$; 0,049 μ		
		i	30,1	
13.XII	NIE	iP	05 04 07,6	
		Z: $0,9^s$; 0,047 μ		
		i	20,5	
		i	25	
	KRA	iP	05 04 07,7	
	(SKM)	Z: $0,8^s$; 0,055 μ		
13.XII	NIE	iP	12 06 08,5	
		Z: $0,9^s$; 0,008 μ		
		i	23	
13.XII	Birmanie, Moskva: 22,9°N, 94,6°E, H=$22^h35^m36^s$			
	KSP	Δ=65,3°		

International Seismological Centre

Date	Station	Phase	T.U. h m s	
13.XII	KSP	eiP	22 46 16	
(suite)				
14.XII	Philippines, Moskva: 10,1°N, 122,3°E, H=20h49m15s, M=5,2			
	KRA	Δ=90,2°		
	(SKM)	eP	21 02 13	
	NIE	Δ=90,1°		
		eP	21 02 14	
15.XII	Japon, Moskva: 35,6°N, 140,2°E, H=00h53m56s; MPV=5,4(Kraków), 5,1(Niedzica)			
	KRA	Δ=79,9°		
	(SKM)	eiP	01 06 02	
		Z: 0,7s; 0,025 μ		
	NIE	Δ=80,2°		
		iP	01 06 05	
		Z: 0,9s; 0,013 μ		
15.XII	Région des Iles Tonga, Moskva: 18,0°S, 176,3°W, H=01h08m42s, M=5,3			
	KRA	Δ=145,7°		
	(SKM)	ePKP	01 23 21	
		e	24	
	NIE	Δ=146,1°		
		ePKP	01 28 23	
		i	25,5	
		i	30,1	
15.XII	Crête Atlantique Nord, Moskva: 1,0°N, 25,7°W, H=13h38m04s, M=5,5; MPV=5,1 (Niedzica), 5,7(Kraków)			
	NIE	Δ=62,0°		
		eP	13 48 30	
		Z: 1,0s; 0,017 μ		
		i	43	
	KRA	Δ=62,2°		
	(SKM)	iP	13 48 31,0	
		Z: 0,6s; 0,039 μ		
		ei	37	
		i	49,0	
15.XII	NIE	eP	18 35 39	
		Z: 0,7s; 0,013 μ		
		e	56	
15.XII	NIE	eP	19 20 33	
		Pm	37,5	
		Z: 0,9s; 0,013 μ		
16.XII	NIE	iP	02 24 10,9	D
		Z: 1,0s; 0,014 μ		

Date	Station	Phase	T.U. h m s	
16.XII	Nord de l'Islande, BCIS: 66,6°N, 18 1/4°W, H=03h57m08s; MPV=4,3(Niedzica)			
	NIE	Δ=26,3°		
		eP	04 02 45	
		Z: 1,0s; 0,008 μ		
16.XII	Hokkaido, Japon, Moskva: 43,0°N, 147,2°E, H=04h49m43s, M=5,0, MPV=5,6(Kraków)			
	KRA	Δ=76,7°		
	(SKM)	eiP	05 01 32	
		Z: 1,2s; 0,063 μ		
		i	42,5	
	NIE	Δ=77,1°		
		eiP	05 01 34	D
16.XII	Caucase oriental, BCIS: 39,9°N, 48,4°E, H=07h42m46s			
	NIE	Δ=21,9°		
		eiP	07 47 44	
	KRA	Δ=22,3°		
	(SKM)	eiP	07 47 48	
16.XII	Japon, Moskva: 30,7°N, 130,8°E, H=10h07m22s, M=5,0			
	NIE	Δ=79,3°		
		eP	10 19 35	
	KRA	Δ=80,0°		
	(SKM)	eP	10 19 37	
		Z: 1,0s; 0,030 μ		
16.XII	Zone séismique trans-atlantique à l'Ouest du Portugal, BCIS: 35,6°N, 16,9°W, H=13h35m18s; MPV=4,4(Niedzica)			
	KRA	Δ=30,2°		
	(SKM)	eP	13 41 28	
	NIE	Δ=30,3°		
		eP	13 41 34,5	C
		Z: 1,1s; 0,006 μ		
		i	48,5	
16.XII	Hondo, Japon, Moskva: 30,2°N, 137,7°E, H=15h41m08s, h=550 km			
	KRA	Δ=83,1°		
	(SKM)	eP	15 52 35	
		Z: 1,3s; 0,064 μ		
		ePcP	42	
	NIE	Δ=83,3°		
		eP	15 52 37	D
		Z: 1,1s; 0,012 μ		

International Seismological Centre

Date	Station	Phase	T.U. h m s	
16.XII	NIE	eiP	21 21 19	
		Z: 0,9s; 0,009 μ		
17.XII	NIE	Traces		
		iP	05 19 05,5	D
		Z: 0,9s; 0,015 μ		
17.XII	Indonesie, Moskva: 5,0°N, 95,8°E, H=05h35m19s, M=6,2; MPV=5,6(Niedzica), 5,9(Kreków), MLH=6,0(Kraków), MLV=6,5 (Warszawa)			
	NIE	Δ=76,7°		
		eP	05 47 09	D
		Pm	15,9	
		Z: 1,2s; 0,072 μ		
		i	19,1	
		iPcP	23	
	KRA	Δ=77,1°		
	(SKM)	eiP	05 47 10	D
		Z: 0,7s; 0,070 μ		
	(GW)	ei	44	
		eiS	56 58	
		Lm	06 26,8	
		NE: 17s; 3,2 μ, 5,7 μ		
	WAR	Δ=76,7°		
	(SKD)	eiP	05 47 11	
		eiPP	49 59	
		eiS	56 55	
		ei	06 00 55	
		eL	11,5	
		Lm	25 47	
		NEZ: 16s, 20s, 20s; 10 μ, 18 μ, 14 μ		
17.XII	Iles Salomon, Moskva: 6,6°S, 155,8°E, H=07h42m07s, h=60 km, M=5,2			
	KRA	Δ=123,3°		
	(SKM)	iPKIKP	08 00 58,0	C
		Z: 0,9s; 0,053 μ		
17.XII	NIE	eP	08 14 35	
		i	39,5	
17.XII	NIE	eiP	08 35 26	
		i	48,5	
17.XII	Iran méridional, BCIS: 27,0°N, 58,2°E, H=13h34m37s; MPV=5,4(Kraków)			
	KRA	Δ=37,1°		
	(SKM)	iP	13 41 52,0	
		Z: 0,7s; 0,041 μ		

Date	Station	Phase	T.U. h m s	
18.XII	Philippines, Moskva: 19,2°N, 121,4°E, H=08h12m36s, M=4,6			
	KSP	Δ=84,4°		
		eP	06 25 09	
18.XII	KRA	Traces		
	(SKM)	eiP	12 02 07	
	NIE	eP	12 02 12	
		e	27	
		i	31,5	
19.XII	Région des Iles Santa Cruz, Moskva: 11,8°S, 164,7°E, H=02h14m25s, M=5,6			
	KRA	Δ=132,3°		
	(SKM)	eiPKIKP	02 33 42	
		Z: 1,5s; 0,061 μ		
		iPP	36 07,6	
	NIE	Δ=132,5°		
		ePKIKP	02 33 43	
19.XII	Iran méridional, BCIS: 26,8°N, 58,3°E, H=08h01m44s			
	KRA	Δ=37,1°		
	(SKM)	iP	08 08 59,2	D
		Z: 0,6s; 0,046 μ		
19.XII	Iles Kouriles, Moskva: 46,7°N, 152,9°E, H=23h06m41s; MPV=5,0(Niedzica)			
	NIE	Δ=76,0°		
		eiP	23 18 24	D
		Z: 0,8s; 0,010 μ		
20.XII	NIE	Traces		
		eiP	12 36 34	
		Z: 1,0s; 0,006 μ		
		i	54,9	
20.XII	KRA	iP	20 12 36,4	
	(SKM)	Z: 1,4s; 0,21 μ		
	NIE	eiP	20 12 40	C
		Z: 1,2s; 0,049 μ		
		i	47,5	
21.XII	Mer d'Okhotsk, Moskva: 51,9°N, 151,8°E, H=10h54m16s, h=550 km			
	KRA	Δ=70,7°		
	(Ch)	iP	11 04 37,1	D
		Pm	42	
		Z: 0,7s; 1,7 μ		
	(SKM)	ipP	06 33,3	
		pPm	36	
		Z: 2,0s; 2,8 μ		

International Seismological Centre

Date	Station	Phase	T.U. h m s	
21.XII (suite)	KRA (GW)	i	11 13 12	
		Lm	21,1	
		NE: 17s; 33 μ, 26 μ		
		Lm	24,4	
		Z: 9s; 1,3 μ		
	NIE	Δ=71,2°		
		iP	11 04 40	
	WAR	Δ=68,2°		
	(SKD)	eiPP	11 06 55	
		eiS	12 47	
		ei	13 23	
		Lm	21 27	
		NE: 20s; 40 μ, 53 μ		
21.XII	KSP	eP	12 56 54	
21.XII	Grèce, BCIS: 38,4°N, 21,6°E, H=16h07m50s			
	NIE	Δ=10,8°		
		eiP	16 10 32	
		Pm	41,5	
		Z: 1,5s; 0,44 μ		
	KRA	Δ=11,4°		
	(SKM)	eP	16 10 42	
		Pm	51	
		Z: 1,5s; 0,18 μ		
		eiS	12 44	
		i	15 34	
21.XII	Grèce, BCIS: 38,5°N, 21,9°E, H=21h05m17s			
	NIE	Δ=10,8°		
		eP	21 08 00	
		i	09	
21.XII	Région des Iles Kouriles, NEIS: 44,598°N, 150,221°E, H=21h36m22,7s, h=33 km, mb=5,0; MPV=5,0(Niedzica)			
	NIE	Δ=76,9°		
		iP	21 48 12	
		Z: 0,9s; 0,013 μ		
22.XII	Philippines, Moskva: 8,1°N, 126,4°E, H=02h30m47s			
	NIE	Δ=94,3°. Traces		
		eP	02 44 04	
23.XII	NIE	iP	01 00 39,5	
		Pm	42,6	
		Z: 1,0s; 0,019 μ		
23.XII	NIE	Traces		
		eiP	08 53 14	
23.XII	NIE	iP	11 56 08,5	
		Z: 1,1s; 0,012 μ		
		i	35,6	
23.XII	NIE	iP	13 51 25,4	
		Z: 0,8s; 0,010 μ		
		i	41,6	
24.XII	Nord de l'Islande, BCIS: 66,0°N, 17,1°W, H=09h33m56s, h=10 km; MPV=5,3(Kraków), 4,5(Niedzica)			
	KRA	Δ=25,0°		
	(SKM)	eP	09 39 17	
		Z: 2,0s; 0,15 μ		
		e	30	
	NIE	Δ=25,6°		
		eiP	09 39 23	
		Z: 1,0s; 0,011 μ		
24.XII	Iran, BCIS: 26,9°N, 55,6°E, H=11h48m51s; MPV=5,1(Niedzica), 6,0(Kraków), MLH=5,1(Kraków)			
	NIE	Δ=35,1°		
		iP	11 55 49,2	C
		Pm	52,5	
		Z: 1,0s; 0,027 μ		
	KRA	Δ=35,6°		
	(SKM)	iP	11 55 52,7	C
		Z: 1,0s; 0,20 μ		
		i	12 00 02,4	
	(GW)	eiPcS	02 10	
		Lm	23,4	
		NE: 12s; 1,3 μ, 2,1 μ		
24.XII	Iles Salomon, Moskva: 10,8°S, 163,3°E, H=14h57m30s, M=5,7			
	NIE	Δ=131,0°		
		ePKIKP	15 16 46	
24.XII	KRA	eP	15 18 58	D
	(SKM)	Pm	19 02	
		Z: 2,0s; 0,15 μ		
	NIE	eP	15 19 03	
24.XII	Grèce, BCIS: 36,7°N, 21,7°E, H=17h04m45s			
	NIE	Δ=12,5°		
		eP	17 07 51	
24.XII	Iran, BCIS: 26,9°N, 55,6°E, H=18h40m28s, mb=4,8			
	KRA	Δ=35,6°. Traces		
	(SKM)	eP	18 47 29	
24.XII (suite)	NIE	Δ=35,1°		
		eP	18 47 30	
24.XII	Iles Kouriles, Moskva: 46,0°N, 150,9°E, H=18h48m08s, h=40 km, M=5,0; MPV=6,1(Kraków), 5,6(Niedzica)			
	KRA	Δ=75,5°		
	(SKM)	iP	18 59 49,0	D
		Z: 0,8s; 0,11 μ		
	NIE	Δ=75,9°		
		iP	18 59 51,5	D
		Z: 1,0s; 0,048 μ		
		ipP	19 00 08,5	
		i	37,2	
24.XII	Iran, BCIS: 27,0°N, 55,7°E, H=19h55m05s, mb=4,9; MPV=5,3(Kraków)			
	NIE	Δ=35,1°		
		eP	20 02 02	
	KRA	Δ=35,6°		
	(SKM)	iP	20 02 06,6	
		Z: 0,7s; 0,033 μ		
		i	13,6	
24.XII	Iran, Moskva: 26,8°N, 55,5°E, H=21h04m10s; MPV=5,3(Kraków)			
	KRA	Δ=35,6°		
	(SKM)	eP	21 11 09	
		Z: 1,4s; 0,063 μ		
		ei	15	
24.XII	Iles Aléoutiennes, Moskva: 52,0°N, 168,6°W, H=23h32m37s; MPV=4,9(Niedzica)			
	NIE	Δ=78,9°		
		eP	23 44 38	
		Z: 1,0s; 0,010 μ		
		ei	56	
25.XII	KRA	iP	05 24 09,5	C
	(SKM)	Z: 0,7s; 0,033 μ		
		i	13,0	
	NIE	iP	05 24 10,5	C
		i	27,5	
25.XII	Iles Kouriles, Moskva: 45,6°N, 151,1°E, H=15h36m34s, h=65 km, M=5,0; MPV=6,0(Kraków), 5,8(Niedzica)			
	KRA	Δ=75,9°		
	(SKM)	iP	15 48 15,5	D
		Z: 0,8s; 0,092 μ		
		eiPcP	29	
	NIE	Δ=76,3°		
25.XII	NIE	iP	15 48 18,3	C
		Z: 0,9s; 0,063 μ		
		iPcP	35,4	
25.XII	Philippines, Moskva: 17,4°N, 120,2°E, H=15h44m54s, M=5,0			
	NIE	Δ=83,3°		
		eP	15 57 19	C
		i	28,2	
25.XII	Iles Kouriles, Moskva: 45,4°N, 151,5°E, H=16h00m14s, M=4,8; MPV=6,1 (Kraków), 5,8(Niedzica)			
	KRA	Δ=76,3°		
	(SKM)	iP	16 12 00,1	C
		Z: 0,8s; 0,120 μ		
		i	07,1	
	NIE	Δ=76,7°		
		iP	16 12 02,9	C
		Z: 1,0s; 0,069 μ		
		i	11	
		i	20	
25.XII	KRA	Traces		
	(SKM)	iP	17 51 08,4	
	NIE	eiP	17 51 10	
		Z: 1,0s; 0,014 μ		
25.XII	Hondo, Japon, Moskva: 43,0°N, 147,6°E, H=21h38m10s, M=5,4; MPV=4,7(Niedzica)			
	NIE	Δ=77,2°		
		eiP	21 50 08	
		Z: 1,2s; 0,009 μ		
		i	19,5	
25.XII	Islande, NEIS: 66,136°N, 16,446°W, H=22h04m35,1s, h=10 km, mb=5,1; MPV=5,1 (Niedzica), 5,4(Kraków)			
	WAR	Δ=23,2°		
	(SKD)	eiP	22 09 43	
		eiS	13 59	
		ei	14 47	
	KRA	Δ=24,8°		
	(SKM)	eP	22 09 57	
		Z: 1,9s; 0,19 μ		
		i	10 08,0	
	NIE	Δ=25,4°		
		eP	22 10 02	
		Pm	07	
		Z: 1,4s; 0,067 μ		
		i	11 48,8	

Date	Station	Phase	T.U. h m s	
25.XII		Nouvelle Guinée, Moskva: 4,0°S, 142,5°E, H=23h22m21s, h=115 km		
	WAR	Δ=112,0°		
	(SKD)	eiP	23 36 47	
		eiPP	41 32	
		eiSKS	47 23	
		eiPS	50 55	
	KRA	Δ=113,6°		
	(SKM)	ePdif	23 36 55	D
		Pm	59	
		Z: 2,0s; 0,18 μ		
		i	37 37,2	
		iPKIKP	40 50,0	
	(GW)	iPP	41 43	
	NIE	Δ=113,6°		
		ePdif	23 36 56	
25.XII	KRA	iP	23 51 34,8	
	(SKM)	Pm	39,3	
		Z: 1,3s; 0,13 μ		
		ei	55 49,9	
	NIE	eiP	23 51 35	
		Z: 1,1s; 0,045 μ		
26.XII	NIE	eP	00 55 56	
		Z: 1,4s; 0,031 μ		
		ei	56 11,5	
26.XII		Hokkaido, Japon, Moskva: 43,0°N, 147,4°E, H=10h38m19s, M=4,9; MPV=5,2 (Niedzica)		
	KRA	Δ=70,8°		
	(SKM)	eP	10 50 10	
		ei	22	
	NIE	Δ=77,2°		
		iP	10 50 13,4	D
		Pm	25,9	
		Z: 0,9s; 0,019 μ		
26.XII		Région des Iles Samoa, Moskva: 16,0°S, 172,3°W, H=15h56m41s, M=7,5		
	WAR	Δ=142,3°		
	(SKD)	iPKP	16 16 07	
		eiPP	19 33	
		Lm	26 41	
		NEZ: 16s; 160 μ, 190 μ, 130 μ		
	KRA	Δ=144,9°		
	(SKM)	iPKP	16 16 12,8	D
		PKPm	19,0	
		Z: 0,8s; 1,0 μ		

Date	Station	Phase	T.U. h m s	
26.XII	KRA	i	16 16 41	
	(GW)	i	17 52	
		iPP	19 45	
	NIE	Δ=145,4°		
		iPKP	16 16 14,8	D
26.XII		Nord de l'Islande, BCIS: 66,1°N, 17,0°W, H=16h56m35s		
	KRA	Δ=25,0°		
	(SKM)	eP	17 02 00	
26.XII	KRA	eiP	17 54 23	
	(SKM)			
26.XII	KRA	eP	18 03 21	
	(SKM)	Z: 0,6s; 0,010 μ		
		ei	33	
26.XII	KRA	eiP	18 31 45	
	(SKM)	Z: 1,1s; 0,062 μ		
	NIE	eiP	18 31 49	D
		Z: 1,2s; 0,030 μ		
		i	56,5	
		i	32 13,3	
26.XII	NIE	iP	18 42 23,3	
		Z: 0,9s; 0,008 μ		
26.XII	NIE	eiP	19 07 27	D
		Z: 0,9s; 0,009 μ		
26.XII	NIE	iP	19 26 23,3	C
		Z: 1,1s; 0,012 μ		
26.XII	KRA	eP	20 26 54	
	(SKM)	i	27 06,7	
	NIE	eP	20 26 56	
		Pm	59,3	
		Z: 1,0s; 0,008 μ		
		i	27 07	
		i	17	
26.XII	NIE	eP	20 54 26	
		Z: 1,0s; 0,010 μ		
26.XII	KRA	Traces		
	(SKM)	eP	21 24 54	
	NIE	eiP	21 24 55	
		Z: 1,0s; 0,013 μ		
26.XII	KRA	Traces		
	(SKM)	eiP	22 12 04	
		Z: 0,9s; 0,037 μ		
	NIE	eiP	22 12 06	D
		Z: 1,0s; 0,016 μ		

Date	Station	Phase	T.U. h m s	
26.XII		Iles Tonga, NEIS: 15,130°S, 173,010°W, H=22h18m26,4s, h=33 km, mb=4,2		
	NIE	Δ=144,4°		
		iPKP	22 37 57,4	
26.XII	KRA	Traces		
	(SKM)	eP	22 58 48	
		Z: 0,5s; 0,020 μ		
	NIE	iP	22 58 50	
		Z: 1,0s; 0,010 μ		
		ei	59 17	
27.XII	NIE	eP	00 54 54	
		ei	55 03	
27.XII	KRA	eP	01 53 43	C
	(SKM)	Z: 0,6s; 0,023 μ		
	NIE	iP	01 53 44,8	C
		Z: 1,4s; 0,025 μ		
		i	49,4	
27.XII		Italie, BCIS: 44,4°N, 11,9°E, H=04h31m47s		
	KSP	Δ=7,1°		
		ePn	04 33 30	
		eiPg	34 03	
		iSn	50	
27.XII		Hokkaido, Japon, Moskva: 43,1°N, 147,1°E, H=05h25m24s		
	KRA	Δ=76,6°		
	(SKM)	eiP	05 37 17	
27.XII		Hondo, Japon, Moskva: 40,0°N, 143,1°E, H=05h33m10s		
	NIE	Δ=77,9°		
		iP	05 45 05,5	
		ei	36	
27.XII		Hokkaido, Japon, Moskva: 43,0°N, 147,4°E, H=07h41m47s, M=6,0; MPV=5,7(Kraków), 5,4(Niedzica)		
	KRA	Δ=76,8°		
	(Ch)	eiP	07 53 42	
		Z: 1,3s; 0,094 μ		
		eiPcP	52	
		ei	54 01	
	NIE	Δ=77,2°		
		eiP	07 53 44	
		Pm	48	
		Z: 1,0s; 0,034 μ		
		iPcP	55	
		i	54 07,6	

Date	Station	Phase	T.U. h m s	
27.XII	NIE	eiP	08 51 43	
		Z: 1,2s; 0,011 μ		
27.XII	NIE	iP	09 31 42	
		Z: 1,0s; 0,014 μ		
		ei	49	
27.XII	KSP	iP	09 23 42,0	D
		Z: 1,0s; 0,038 μ		
27.XII		Hindou-Kouch, Moskva: 36,5°N, 69,4°E, H=09h35m31s, h=140 km		
	NIE	Δ=37,5°		
		iP	09 42 33	C
		Z: 1,0s; 0,026 μ		
		ipP	43 07,6	
	KRA	Δ=37,8°		
	(SKM)	iP	09 42 34,8	C
		Z: 1,0s; 0,066 μ		
		e	43 00	
27.XII	KRA	Traces		
	(SKM)	eiP	14 53 07	
		i	10,5	
	NIE	eiP	14 53 08	
27.XII	NIE	iP	15 15 55,4	C
		Z: 1,0s; 0,010 μ		
27.XII	NIE	iP	15 35 13,5	
		Z: 1,0s; 0,009 μ		
27.XII	NIE	eP	16 51 17	
27.XII		Iles Kouriles, NEIS: 43,240°N, 147,127°E, H=17h03m46,4s, h=44 km; MPV=5,4(Kraków), 4,8(Niedzica)		
	KRA	Δ=76,5°		
	(SKM)	eiP	17 15 33	
		iPcP	43,5	
	NIE	Δ=76,8°		
		eP	17 15 34	
		Z: 1,0s; 0,007 μ		
		iPcP	46	
		i	50	
27.XII	NIE	iP	18 12 49,6	
		i	20	
27.XII	NIE	iP	18 30 34,2	C
		Z: 1,0s; 0,028 μ		
		i	52,6	
27.XII		Roumanie, BCIS: 45,8°N, 26,9°E, H=18h32m20s		

International Seismological Centre

Date	Station	Phase	T.U. h m s	
27.XII	KRA	Δ=6,2°		
(suite)	(SKM)	eiPn	18 33 52	
27.XII	Région des Iles Samoa, NEIS: 16,072°S, 172,635°W, H=20h40m56,7s, h=31 km, mb=4,9			
	KRA	Δ=144,8°		
	(SKM)	ePKP	21 00 33	
	NIE	Δ=145,3°		
		e1PKP	21 00 36	
		i	41	
27.XII	Région des Iles Samoa, Moskva: 15,4°S, 171,7°W, H=23h33m00s, M=5,4			
	KRA	Δ=144,4°		
	(SKM)	iPKP	23 52 32	
		Z: 1,0s; 0,036 μ		
		ei	54 11	
	NIE	Δ=144,9°		
		e1PKP	23 52 32	D
		Z: 1,2s; 0,043 μ		
		i	58,7	
27.XII	NIE	eP	23 54 12	
		Pm	16,4	
		Z: 1,0s; 0,032 μ		
		i	26	
28.XII	NIE	eP	00 30 09	
		Z: 1,0s; 0,009 μ		
28.XII	Région des Iles Fidji, Moskva: 15,2°S, 177,1°W, H=02h16m56s, M=5,2			
	NIE	Δ=144,9°. Traces		
		ePKP	02 36 30	
28.XII	NIE	eP	03 03 13	
		Z: 1,0s; 0,007 μ		
28.XII	NIE	eP	12 47 58	
		Z: 1,0s; 0,007 μ		
		i	48 22	
28.XII	Indonesie, Moskva: 7,9°S, 115,2°E, H=15h24m47s, h=160 km			
	KRA	Δ=99,4°		
	(SKM)	iP	15 38 11,4	
		Z: 1,5s; 0,17 μ		
		iPP	42 15,4	
	NIE	Δ=99,1°		
		iP	15 38 10	C
		Z: 1,0s; 0,047 μ		
		ipP	55	
		iPP	42 15	
		Z: 1,0s; 0,12 μ		

Date	Station	Phase	T.U. h m s	
28.XII	NIE	eP	19 58 57	
28.XII	Autriche, BCIS: 47,7°N, 15,7°E, H=22h03m46s, h=0			
	NIE	Δ=3,4°		
		ePg	22 04 54	
29.XII	Birmanie, Moskva: 26,0°N, 97,3°E, H=01h19m55s, M=4,9			
	NIE	Δ=62,5°		
		eP	01 30 20	
29.XII	NIE	iP	02 54 39,5	
		Z: 1,1s; 0,016 μ		
29.XII	NIE	eP	03 14 50	
29.XII	Détroit de Drake, Moskva: 57,2°S, 70,6°W, H=03h39m44s, M=6,7			
	NIE	Δ=129,7°		
		e1PKIKP	03 58 49	
		ei	59 13,5	
	KRA	Δ=129,9°		
	(SKM)	iPKIKP	03 58 51,4	D
		Z: 0,9s; 0,068 μ		
		ei	04 00 00	
	WAR	Δ=132,2°		
	(SKD)	e1PP	04 01 21	
		e1PKS	02 33	
		Lm	56 35	
		Z: 20s; 19 μ		
29.XII	Birmanie, Moskva: 26,6°N, 97,3°E, H=05h07m55s, h=20 km, M=6,0; MPV=5,7(Niedzica), 5,0(Kraków)			
	NIE	Δ=62,1°		
		eP	05 18 14	
		Pm	18,6	
		Z: 1,4s; 0,094 μ		
		i	29,7	
	KRA	Δ=62,2°		
	(SKM)	e1P	05 18 16	
		Pm	17,4	
		Z: 1,4s; 0,052 μ		
		e	20 37	
29.XII	Nord de l'Islande, BCIS: 66°N, 16 3/4°W, H=10h45m09s; MPV=4,7(Niedzica)			
	KRA	Δ=24,8°. Traces		
	(SKM)	iP	10 50 34,1	
	NIE	Δ=25,5°		
		eP	10 50 39	
		Z: 1,3s; 0,026 μ		

Date	Station	Phase	T.U. h m s	
29.XII	NIE	e1P	14 42 26	
		Z: 1,0s; 0,018 μ		
29.XII	NIE	eP	21 09 40	
		Z: 1,0s; 0,010 μ		
29.XII	KSP	iP	23 14 47	C
30.XII	Iran, BCIS: 26,8°N, 56,4°E, H=01h09m26s; MPV=5,2(Kraków)			
	KRA	Δ=36,1°		
	(SKM)	e1P	01 16 33	
		Z: 0,7s; 0,025 μ		
30.XII	KRA	e1P	02 49 02	
	(SKM)	Z: 1,2s; 0,055 μ		
		e	37	
30.XII	Turquie, Moskva: 38,8°N, 40,6°E, H=14h36m09s			
	KSP	Δ=20,9°		
		eP	14 40 51	
31.XII	Grèce, Moskva: 38,5°N, 21,7°E, H=09h45m48s			
	KSP	Δ=12,9°		
		eP	09 48 52	
31.XII	NIE	eP	11 58 30	
31.XII	Grèce, BCIS: 38,5°N, 21,8°E, H=13h51m20s			
	NIE	Δ=10,8°		
		eP	13 54 00	
		Z: 1,3s; 0,044 μ		
		i	17,5	

Date	Station	Phase	T.U. h m s	
31.XII	Hokkaido, Japon, Moskva: 42,1°N, 141,9°E, H=14h12m37s, h=60 km, M=4,5; MPV=5,8(Kraków), 5,6(Niedzica)			
	KRA	Δ=75,3°		
	(SKM)	iP	14 24 15,3	
		Z: 0,9s; 0,079 μ		
		isP	35	
	NIE	Δ=75,6°		
		iP	14 24 16,2	
		Pm	19	
		Z: 0,9s; 0,046 μ		
		isP	35,7	
31.XII	Grèce, BCIS: 38,4°N, 21,8°E, H=14h53m38s			
	NIE	Δ=10,8°		
		iP	14 56 24	
		Z: 1,1s; 0,021 μ		
	KRA	Δ=11,4°. Traces		
	(SKM)	eP	14 56 31	
		Pm	35,6	
		Z: 0,8s; 0,032 μ		
		e	41.	
31.XII	Grèce, BCIS: 38,5°N, 21,8°E, H=17h07m17s			
	NIE	Δ=10,8°		
		eP	17 09 58	

International Seismological Centre

Date	Station	Phase	T.U. h m s
2.II	WAR	Δ=72,5°	
	(SKD)	e1P	07 36 30
2.II	WAR	Δ=72,5°	
	(SKD)	1P	08 55 13
		1PcP	29
		1S	09 04 37
		1PPS	05 25
		1	06 05
		Lm	20 45
		Z: 36^S; 120 μ	
		Lm	31 13
		NE: 16^S; 170 μ, 190 μ	
		Lm	32 39
		Z: 20^S; 114 μ	
4.II	WAR	Δ=65,3°	
	(SKD)	1P	11 46 51
		1PcP	47 21
		1PPP	51 05
		1S	55 33
7.II	WAR	Δ=118,5°	
	(SKD)	e1PP	05 11 47
		e1PS	21 37
		e1PPS	22 53
		Lm	54 09
		Z: 32^S; 40 μ	
		Lm	06 00 09
		NEZ: 24^S; 18 μ, 39 μ, 42 μ	
22.II	WAR	Δ=75,3°	
	(SKD)	1P	08 47 46
		e1S	57 33
		e1SKS	53
		Lm	09 23 10
		NE: 18^S; 35μ, 39 μ	
26.II	WAR	Δ=37,1°	
	(SKD)	e1P	04 56 02
		e1	57 06
		e1S	05 01 54
		e1	05 42
		Lm	11 10
		Z: 20^S; 13 μ	
5.III	WAR	Δ=101,0°	
	(SKD)	e1P	00 36 11
		1PP	40 26
		1SKS	46 50
		1S	47 50
		1	55 18
		Lm	01 29 30
		NEZ: 22^S; 22^S, 20^S ń 9 μ, 36 μ, 29 μ	
7.III	WAR	Δ=35,7°	
	(SKD)	e1P	07 11 40
		e1PP	13 13
		e1S	17 26
		e1	18 50
		e1SSS	20 22
		Lm	27 50
		E: 28^S; 25 μ	
		Lm	28 42
		Z: 20^S; 15 μ	
13.III	WAR	Δ=114,5°	
	(SKD)	e1(Pdif)	15 41 53
		e1PP	46 21
		e1	51 17
		1PS	55 57
		Lm	16 29 40
		NEZ: 24^S; 7 μ, 47 μ, 46 μ	
13.III	WAR	Δ=141,5°	
	(SKD)	e1PKHKP	19 04(42)
		e1PKIKP	54
		e1	07 54
		e1PKS	08 42
		e1PPP	10 50
		1	14 34
		e1PS	18 54
		Lm	20 00 40
		NEZ: 28^S; 22 μ, 75 μ, 83 μ	
14.III	WAR	Δ=22,4°	
	(SKD)	e1P	02 06 02
		e1	10 22
		eL	11,5
17.III	WAR	Δ=12,3°	
	(SKD)	e1S	05 16 31
		Lm	19 55
		NEZ: 12^S; 100 μ, 170 μ, 25 μ	
17.III	WAR	Δ=12,3°	
	(SKD)	e1P	05 38 15
		e1	42 21
		Lm	43 17
		NE: 12^S; 150 μ, 220 μ	
		Lm	44 31
		Z: 12^S; 55 μ	
23.III	WAR	Δ=79,1°	
	(SKD)	1P	07 44 44
		1S	54 40
		e1PS	55 16
		Lm	08 16 00
		NE: 20^S; 100 μ, 110 μ	
		Lm	26 24
		Z: 16^S; 60 μ	
27.III	WAR	Δ=12,3°	
	(SKD)	1P	05 18 08
		Lm	28 00
		NE: 10^S; 220 μ, 210 μ	
28.III	WAR	Δ=77,9°	
	(SKD)	e1P	02 43 04
		e1S	53(00)
		e1PS	41
29.III	WAR	Δ=45,5°	
	(SKD)	e1P	09 44 40
		e1PP	46 28
		e1PS	51 28
		e1ScS	55 04
4.IV	WAR	Δ=14,1°	
	(SKD)	e1P	05 19 42
		e1PP	44
		e1S	22 12
5.IV	WAR	Δ=70,4°	
	(SKD)	e1P	17 04 12
		e1S	13 24
		e1PS	32
		Lm	38 16
		Z: 18^S; 12 μ	
5.IV	WAR	Δ=70,4°	
	(GW)	e1P	18 01 12
5.IV	WAR	Lm	18 35 36
	(SKD)	Z: 20^S; 21,2 μ	
5.IV	WAR	Δ=86,2°	
	(SKD)	e1P	20 51 20
		e1SKS	21 01 40
		e1PS	03 12
6.IV	WAR	Δ=70,4°	
	(SKD)	1P	10 06 32
		1PcP	48
		e1PP	09 02
		e1S	15 40
		e1PPS	16 20
		e1SKS	32
		Lm	40 00
		NEZ: 18^S; 73 μ, 84 μ, 110 μ	
9.IV	WAR	Δ=117,5°	
	(SKD)	e1SKS	06 51 36
		e1PKKP	55 36
11.IV	WAR	Δ=142,4°	
	(SKD)	e1PKIKP	00 30(00)
		e1SKKS	40 02
		Lm	01 28 00
		Z: 28^S; 8,9 μ	
16.IV	WAR	Δ=72,3°	
	(SKD)	e1P	21 44 49
		e1S	54 01
		Lm	22 16 21
		Z: 24^S; 16 μ	
20.IV	WAR	Δ=76,2°	
	(SKD)	e1P	17 47 47
		e1S	57 15
		Lm	18 18 00
		NE: 18^S; 67μ, 65 μ	
		Lm	24 37
		NEZ: 16^S, 16^S, 18^S; 40 μ, 62 μ, 52 μ	
23.IV	WAR	Δ=94,2°	
	(SKD)	e1P	11 28 02
		e1PP	31 54
		e1PS	38 42
3.VI	WAR	Δ=90,5°	
	(SKD)	e1P	18 21 23
		1SKS	32 03

Date	Station	Phase	T.U. h m s
4.VI	WAR	Δ=43,9°	
	(SKD)	iP	02 32 44
		eiPP	34(24)
		eiS	39 16
		eiSS	42 24
		eiScS	32
		Lm	52 44
		Z: 20^{s}; 22 μ	
10.VI	WAR	Δ=74,0°	
	(SKD)	eP	13 58 54
		ei	59 06
		eiS	14 08 26
		Lm	42 18
		Z: 16^{s}; 130 μ	
12.VI	WAR	Δ=74,4°	
	(SKD)	eiP	23 32 52
		eiS	42 16
13.VI	WAR	Δ=88,9°	
	(SKD)	eiP	06 21 28
		eiS	32 12
		ei	24
		ei	30
		eiPS	33 26
13.VI	WAR	Δ=73,9°	
	(SKD)	iP	18 19 48
		iS	29 16
		Lm	54 40
		NEZ: 16^{s}; 140 μ, 150 μ, 120 μ	
14.VI	WAR	Δ=74,4°	
	(SKD)	iP	18 49 40
		eiS	59 08
14.VI	WAR	Δ=78,6°	
	(SKD)	eiP	23 48 33
		eiPP	51 33
		eiS	58 29
15.VI	WAR	Δ=73,0°	
	(SKD)	iP	00 31 11
		iS	40 41
		Lm	01 06 05
		Z: 20^{s}; 54 μ	
		Lm	09 35
		E: 16^{s}; 100 μ	
22.VI	WAR	Δ=83,2°	
	(SKD)	iP	02 36 19
		eiPcP	34
		eiSKS	46 35
		eiSS	51 51
22.VI	WAR	Δ=73,4°	
	(SKD)	eiP	22 55 45
		eiPcP	56 07
		ei	58 39
		eiS	23 05 33
		Lm	33 21
		NEZ: 16^{s}; 28 μ, 25 μ, 28 μ	
23.VI	WAR	Δ=74,4°	
	(SKD)	eiS	09 34 50
23.VI	WAR	Δ=70,1°	
	(SKD)	iP	10 48 01
		eiPcP	13
		eipP	49 57
		iS	56 31
30.VI	WAR	Δ=13,9°	
	(SKD)	iP	13 30 16
		eiS	33(00)
30.VI	WAR	Δ=73,0°	
	(SKD)	eP	19 06 08
		eiS	15 40

Cena zł 20,–

POLISH ACADEMY OF SCIENCES
PUBLICATIONS OF THE INSTITUTE OF GEOPHYSICS

B. SEISMOLOGY

The following volumes, which have been published previously in years 1963–1975, have been devoted to the problems of seismology:

2 Droste Z., Hordejuk J., Obsługa i wyznaczanie stałych sejsmografów polskiej sieci sejsmologicznej; PWN, Łódź–Warszawa 1964.
3 Wyniki rejestracji sejsmologicznych w polskich obserwatoriach 1959; PWN, Łódź–Warszawa 1964.
4 Wyniki rejestracji sejsmologicznych w polskich obserwatoriach 1960; PAN, Łódź–Warszawa 1964.
8 Wyniki rejestracji sejsmologicznych w polskich obserwatoriach 1961; PWN, Łódź–Warszawa 1965.
9 Wyniki rejestracji sejsmologicznych w polskich obserwatoriach 1962; PWN, Warszawa 1967.
15 Wyniki rejestracji sejsmologicznych w polskich obserwatoriach 1963; PWN, Warszawa 1967.
17 Hordejuk J., Application of electromechanical filters to low-frequency seismological investigations; PWN, Warszawa 1967.
21 Wyniki rejestracji sejsmologicznych w polskich obserwatoriach 1964; PWN, Warszawa 1968.
29 Résultats des enregistrements séismologiques dans les observatoires polonais 1965; PWN, Warszawa 1969.
40 Résultats des enregistrements séismologiques dans les observatoires polonais 1969. Bulletin séismologique préliminaire (parts 1–13); PWN, Warszawa 1974.
43 Résultats des enregistrements séismologiques dans les observatoires polonais 1966; PWN, Warszawa 1971.
45 Résultats des enregistrements séismologiques dans les observatoires polonais 1970. Bulletin séismologique préliminaire (parts 1–13); PWN, Warszawa 1971.
51 Catalogue of earthquake in Poland in 1000–1970 years; PWN, Warszawa 1972.
52 Résultats des enregistrements séismologiques dans les observatoires polonais 1967, PWN, Warszawa 1972.
59 Résultats des enregistrements séismologiques dans les observatoires polonais 1971. Bulletin séismologique (parts 1–13); PWN, Warszawa 1972.
61 Résultats des enregistrements sésimologiques dans les observatoires polonais 1968. Bulletin séismologique (parts 1–13); PWN, Warszawa 1972.
65 Wojtczak-Gadomska B., Distribution of the released seismic energy and the number of earthquakes in deep structures of the Pacific area; PWN, Warszawa 1973.
66 Résultats des enregistrements séismologiques dans les observatoires polonais 1972. Bulletin séismologique (parts 1–5); PWN, Warszawa 1973.
79 Bulletin séismologique 1973 (parts 1–5); PWN, Warszawa 1974.
84 Kijko A., Methods for determining positions of very near earthquakes; PWN, Warszawa 1975.
95 Bulletin séismologique 1974 (parts 1–5); PWN, Warszawa 1974 – 1976.

International Seismological Centre

POLISH ACADEMY OF SCIENCES

PUBLICATIONS OF THE INSTITUTE OF GEOPHYSICS

B–1 (113)

part 5

BULLETIN SÉISMOLOGIQUE

1975

LES SECOUSSES LOCALES ENREGISTRÉES PAR LES STATIONS SÉISMOLOGIQUES POLONAISES

PAŃSTWOWE WYDAWNICTWO NAUKOWE
WARSZAWA 1977

Beginning from 1976, the Publications of the Institute of Geophysics, Polish Academy of Sciences (previously Materiały i Prace) are divided into the following series:

A – Physics of the Earth interior
B – Seismology
C – Earth magnetism
D – Atmosphere physics
E – Ionosphere physics
F – Planetary geodesy
G – Numerical methods in geophysics
M – Miscellanea

Every volume has two indices: the first one describing the current number in the series and the second one, in brackets, denotes the general successive number.

International Seismological Centre

POLISH ACADEMY OF SCIENCES

PUBLICATIONS OF THE INSTITUTE OF GEOPHYSICS

B–1 (113)

part 5

BULLETIN SÉISMOLOGIQUE

1975

LES SECOUSSES LOCALES ENREGISTRÉES PAR LES STATIONS SÉISMOLOGIQUES POLONAISES

PAŃSTWOWE WYDAWNICTWO NAUKOWE
WARSZAWA 1977

Editorial Committee
Roman TEISSEYRE (Editor), Zdzisław MAŁKOWSKI (Deputy Editor),
Jan SŁOMKA, Jerzy JANKOWSKI, Maria WERNIK
(Managing Editor)

Editor of Series
Roman TEISSEYRE

Editorial Address
Instytut Geofizyki Polskiej Akademii Nauk
ul. Pasteura 3, 02-093 Warszawa, Poland

All inquiries regarding the subscription rate
and the price of each issue should be addressed to:
Export-Import Enterprise „Ruch"
ul. Wronia 23, 00-840 Warszawa, Poland

Printed in Poland

Państwowe Wydawnictwo Naukowe
Oddział w Łodzi 1977

Wydanie I. Nakład 370+85 egz. Ark. wyd. 4,50. Ark. druk. 3,25.
Papier offsetowy kl. V, 80 g, 70 x 100. Oddano do reprodukcji we wrześniu 1977 r.
Podpisano do druku we wrześniu 1977 r. Druk ukończono w październiku 1977 r.
Zamówienie 641/77. Cena zł 20,–

Zakład Graficzny Wydawnictw Naukowych
Łódź, ul. Żwirki 2

International Seismological Centre

INTRODUCTION

La publication que nous vous présentons ici se compose de deux parties: la première partie contient un recueil des plus fortes secousses de la région de Haute Silésie, la seconde, les secousses locales choisies pour la netteté de leur phases P et S, enrégistrées par le réseau séismologique polonais dont les foyers se situent sur le territoire de la Pologne ou bien à proximité ses frontières et dont les distances epicentrales ne dépassent pas 3^{o}.

Dans la première partie ont été élaborées les plus fortes secousses souterraines de la région de la Haute Silésie enregistrées par les stations séismologiques de l'Institut de Géophysique de l'Academie Polonaise des Sciences à Kraków (KRA), Niedźica (NIE), Racibórz (RAC), Rybnik (RBN) et Książ (KSP), par la Station Séismologique du Planetarium et de l'Observatoire Astronomique à Chorzów (CHZ), ainsi que par la station de l'Institut Central des Mines à Dąbrowa Górnicza (DGP).

Les premières phases des secousses silésiennes, enregistrées par l'observatoire de GIG, à Dąbrowa Górnicza ont été indiquées avant chaque secousse élaborée. Les phases mentionnées d'après les publications GIG sont marquées "(GIG)"

Dans les deux parties les coordonnées géographiques des épicentres des secousses les plus fortes, ainsi que le temps de l'apparition des secousses dans le foyer ont été calculées à base des temps d'arrivés ondes longitudinales et des intervalles des ondes S - P. Les valeurs des magnitudes des secousses silésiennes ont été calculées d'après la formule:

$$M = \log \frac{A}{T} + a \log \Delta + b$$

Les coefficients a et b ont été déterminés pour les séismographes SK - 58 à Chorzów et Racibórz, ainsi que pour les séismographes Charin et SKM à Kraków.

La première partie de la présente publication a été redigée par D. Draber, la seconde, par B. Guterch et H. Lewandowska-Marciniak.

CONSTANTES DES SÉISMOGRAPHES

Station	Type seismographe	Comp.	Ts [sec]	Tg [sec]	Ds	Dg	σ^2	V_o	Vm	Tm [sec]	Période de validité
Chorzów (CHZ) $\varphi = 50^o17'33''$ N $\lambda = 18^o59'30''$ E h = 316 m	SK-58	N-S E-W Z	1,74 1,82 1,70	0,21 0,21 0,21	0,50 0,50 0,50	4,0 3,0 2,2	0,022 0,034 0,034	1815 2470 3030	1850 2495 3060	0,06-1,4 0,07-1,05 0,09-0,68	I - XII
Kraków (KRA) $\varphi = 50^o03'22'$ N $\lambda = 19^o56'23'$ E h = 223 m	SKM-3	N-S E-W Z	1,28 1,30 1,45	0,580 0,575 0,580	0,50 0,50 0,60	0,49 0,47 0,49	0,013 0,012 0,014	21670 21440 24840	23670 23490 25790	0,47-0,78 0,48-0,77 0,47-0,75	I - XII
Książ (KSP) $\varphi = 50^o50,6'$ N $\lambda = 16^o17,6'$ E h = 380 m	SU-59	N-S E-W Z	1,19 1,22 1,00	0,250 0,240 0,208	0,50 0,62 0,50	1,37 1,44 1,53	0,089 0,142 0,171	87450 108700 106300	90000 110000 110000	0,14-0,67 0,16-0,75 0,13-0,57	I - XII
Niedzica (NIE) $\varphi = 49^o25'25''$ N $\lambda = 20^o19'19''$ E h = 555 m	SK-58	N-S E-W Z	1,82 2,01 1,77	0,366 0,312 0,426	3,63 3,44 2,34	4,5 4,1 4,8	0,813 0,904 0,950	39500 37800 40480	44450 66780 128000	0,56-0,91 0,68-0,88 0,99-1,16	I - XII
Racibórz (RAC) $\varphi = 50^o05'00''$ N $\lambda = 18^o11'39''$ E h = 209 m	SK-58	N-S E-W Z	1,18 1,18 1,11	1,00 1,00 1,05	0,61 0,50 0,50	0,5 0,5 0,5	0,011 0,015 0,015	3000 3000 3000	2900 3420 3300	0,75-1,1 0,77-1,14 0,78-1,13	I - XII
Rybnik (RBN) $\varphi = 50^o05'53''$ N $\lambda = 18^o32'01''$ E h = 250 m	SK-58	N-S E-W Z	2,02 2,01 1,91	0,425 0,425 0,360	0,70 0,70 0,70	3,0 3,0 3,0	0,012 0,010 0,019	1000 1000 1000	1000 1000 1000	0,14-1,15 0,14-1,15 0,11-1,0	I - XII
OBSERVATOIRE DE L'INSTITUT CENTRAL DES MINES											
Dąbrowa Górnicza (DGP) $\varphi = 50^o19'45''$ N $\lambda = 19^o13'40''$ E h = 275 m	SK-58	N-S E-W Z	1,70 1,70 1.50	0,30 0.40 0,50	0,55 0,56 0,52	2,47 2,54 3,24	0,085 0,059 0,029	1500 1800 1400	1530 1880 1570	0,12-1,17 0,16-1,33 0,3-1,35	I - XII

S y m b o l e s

Ts - période du pendule

Tg - période du galvanomètre

Ds - amortissement du pendule

Dg - amortissement du galvanomètre

σ^2 - coefficient du couplage

Vo - amplification statique $Vo = \frac{2A}{1o}\sqrt{\frac{Ks}{Kg}}\sqrt{\frac{Ds}{Dg}\frac{Tg}{Ts}\sigma^2}$

Vm - valeur de l'amplification maximalle de l'appareil séismique

Tm - intervalle des périodes pour lesquelles l'amplification est supérieure ou égale à 0,9 Vm

International Seismological Centre

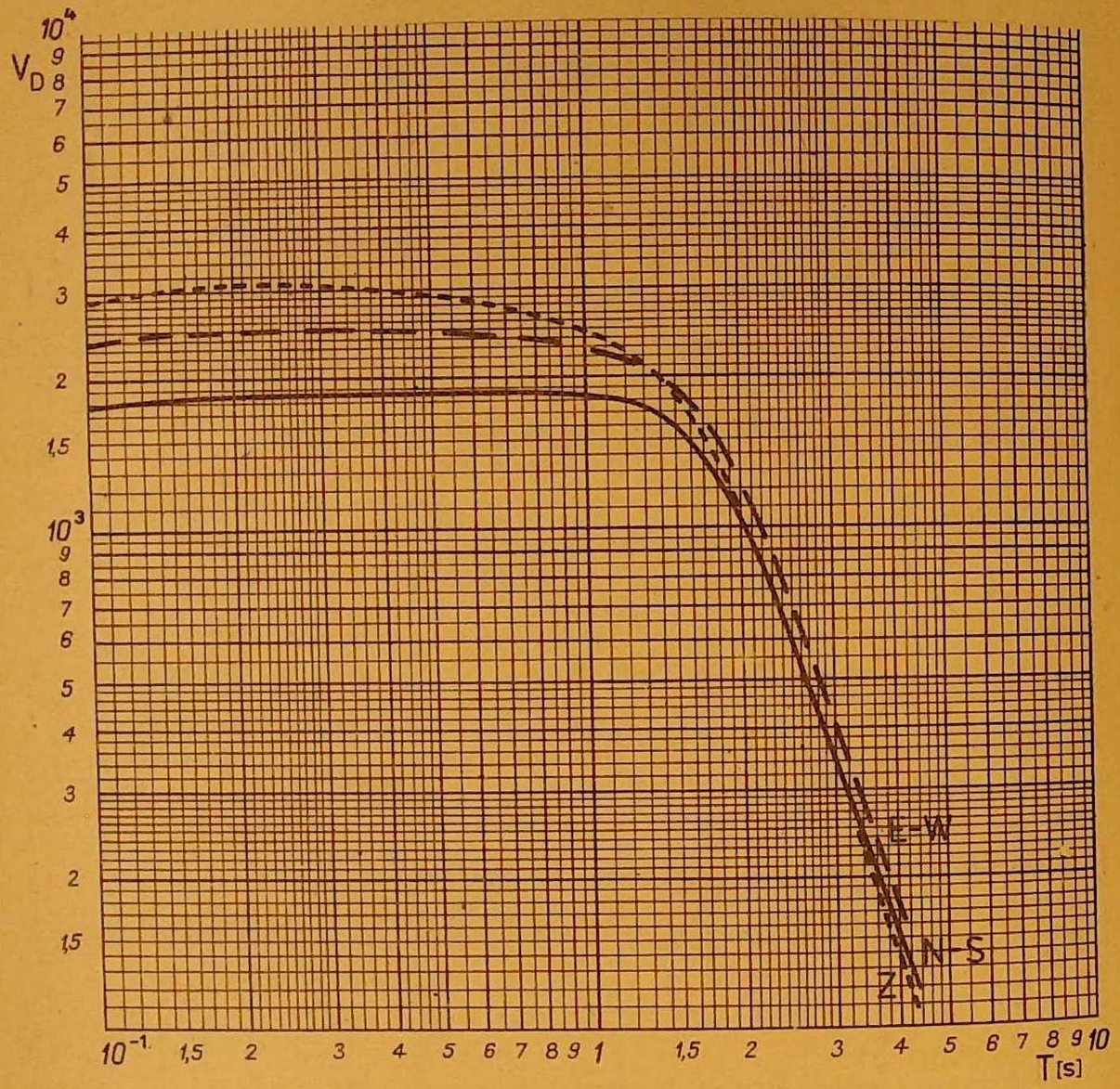

Fig. 1. L'amplification dynamique des séismographes type SK-58 à Chorzów.

International Seismological Centre

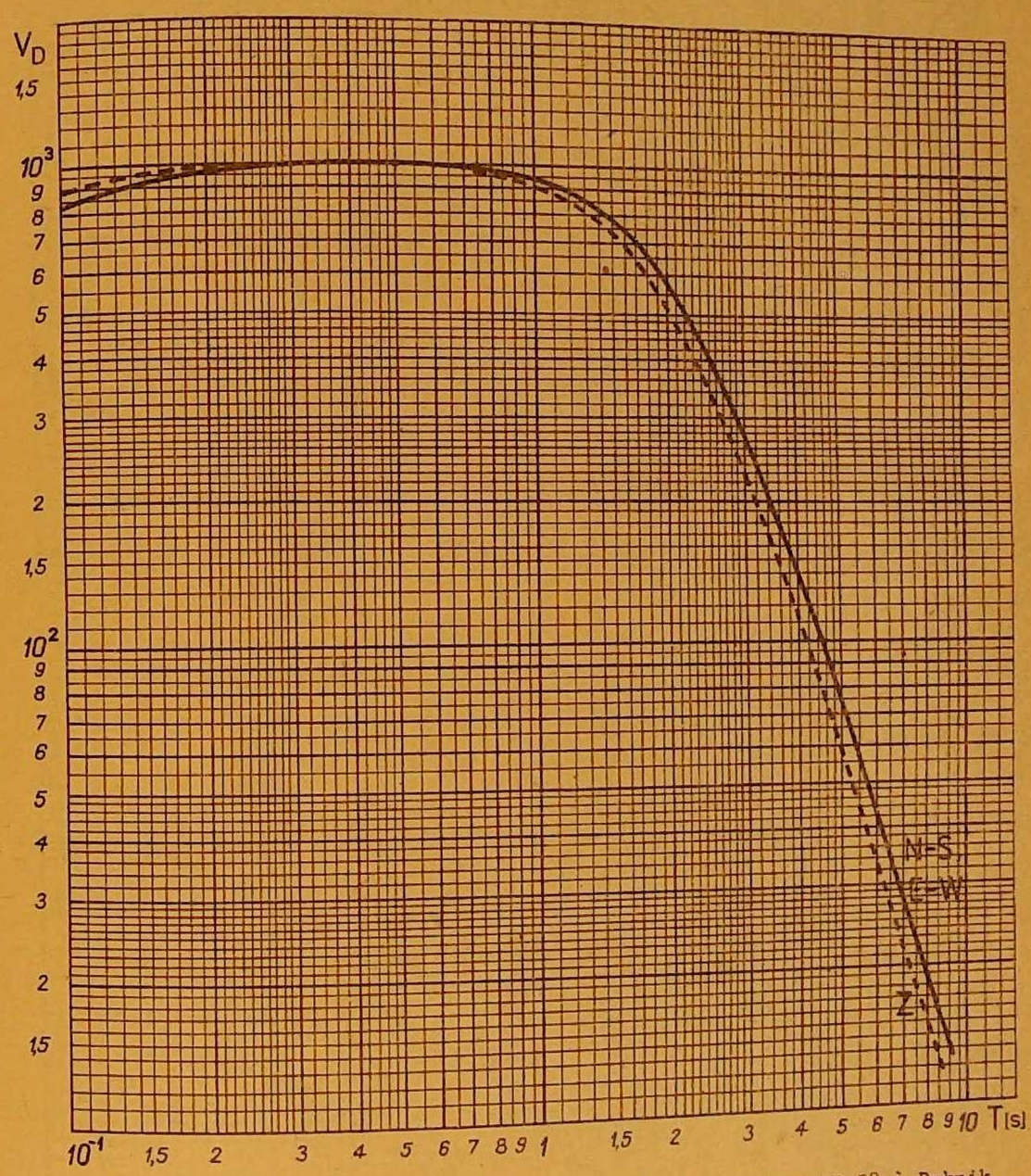

Fig. 2. L'amplification dynamique des séismographes type SK-58 à Rybnik.

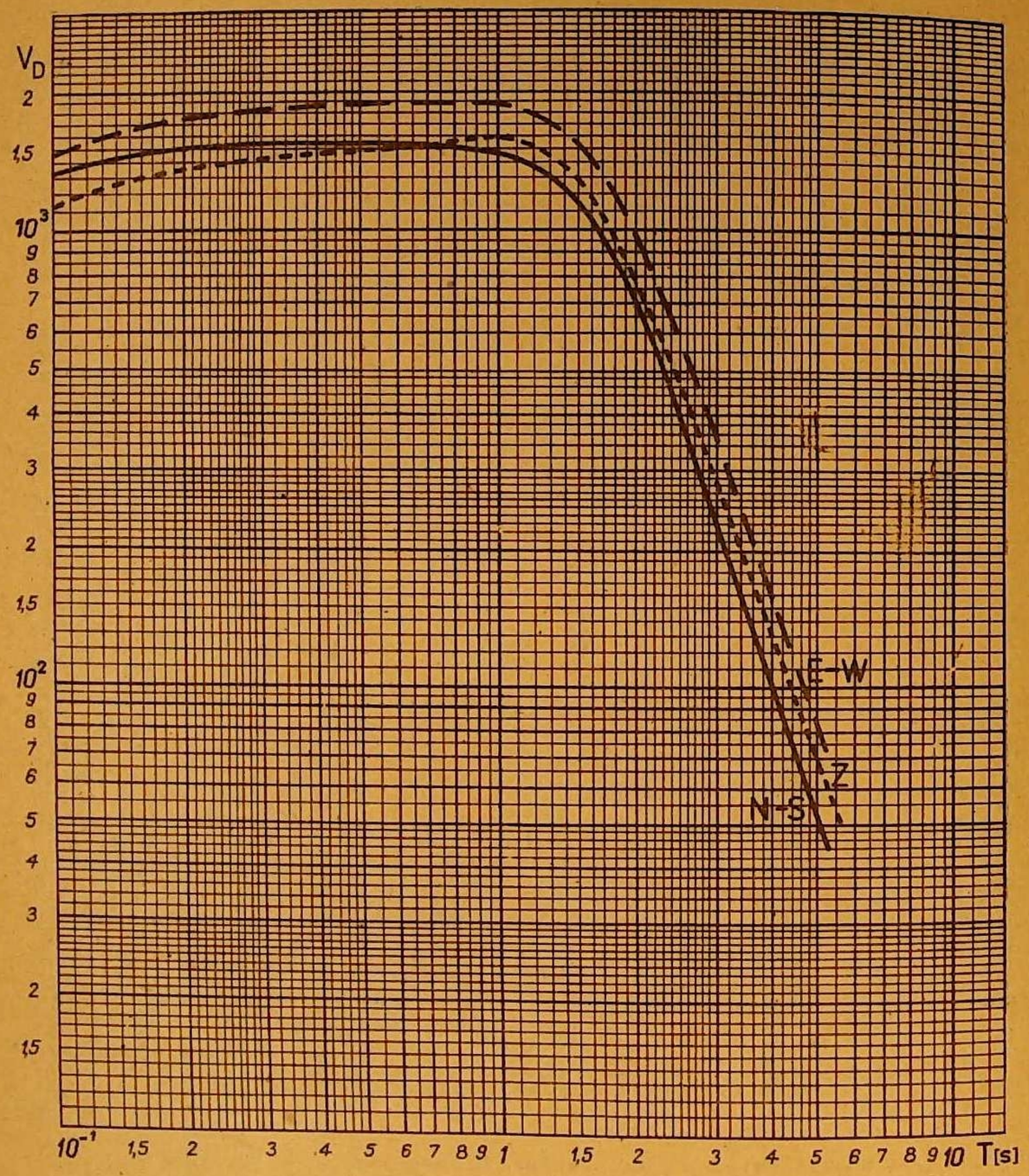

Fig. 3. L'amplification dynamique des séismographes type SK-58 à Dąbrowa Górnicza.

International Seismological Centre

RÉGION DE LA HAUTE SILÉSIE

Date	Station	Phase	T.U. h m s
1975		JANVIER	1975
2.I		H=11^{h}59^{m}54,2^s; M=2,7 (Kraków), 2,6 (Chorzów)	
	CHZ	Δ=13 km	
		ei_N, e_{EZ} P	11 59 57,2
		iS_{NZ}	59,6
		Lm_{EZ}	12 00 05
		1,0^s, 1,1^s; 3,3μ, 2,1μ	
		F	12 01 30
	KRA	Δ= 58 km	
		e_E, ei_Z Pg	12 00 04,9
		i_N, ei_E Sg	12,7
		Lm_Z	33
		1,0^s; 0,10μ	
		F	01 30
	NIE	Δ=125 km	
		ePg_Z	12 00 16,4
		Pgm	18,1
		0,8^s; 0,036μ	
		$eiSg_Z$	34,5
		F	02
	KSP	Faible	
		e_{NE}	12 00 30,5
		e_{NZ}	54,7
		F	02
	RBN	Traces	
		NE	12 00-02
	RAC	Traces	
		NEZ	12 00 00-02 30
14.I		H=20^{h}23^{m}35,5^s; M=3,1 (Kraków), 2,7 (Chorzów); DGP (GIG) : 20 23 41,5	
	CHZ	Δ=14 km	
		i_E, e_Z P	20 23 38,7
		i_Z	41,7
		Lm_Z	50
		1,0^s; 2,4μ	
		F	25

Date	Station	Phase	T.U. h m s
14.I	RBN		
		e_{NE}	20 23 48,9
		F	25 30
	KRA	Δ=83 km	
		$e_E ei_Z$ Pg	20 23 50,5
		eSg_{NEZ}	01,4
		Lm_{NZ}	39
		1,2^s; 0,13μ, 0,24μ	
		Lm_E	40
		1,2^s; 0,17μ	
		F	25 30
	KSP	Δ=185 km	
		ePn_Z	20 24 05,9
		e_{NE}, ei_Z Pg	07,3
		e_Z	26,0
		F	25 30
14.I		H=20^{h}34^{m}21,7^s; M=2,8 (Chorzów, Kraków) ; DGP(GIG) : 20 34 26,8	
	CHZ	Δ=10 km	
		iP_{NEZ}	20 34 24,1 C
		iS_{EZ}	25,7
		Lm_Z	31
		1,1^s; 6,0μ	
		F	36
	RBN		
		e_E	20 34 31,5
		F	36 30
	KRA	Δ=80 km	
		$eiPg_{NZ}$	20 34 36,2 D
		ei_E, e_Z	45,2
		e_N	45,7
		Lm_N	20 35 14
		1,3^s; 0,16μ	
		Lm_E	16
		1,2^s; 0,13μ	
		Lm_Z	18
		1,1^s; 0,12μ	
		F	36

Date	Station	Phase	T.U. h m s
14.I	KSP	Δ=193 km	
(suite)		ePg_E	20 34 54,0
		e_E, ei_Z	35 14,1
		i_N, ei_{EZ} Sg	17,3
		ei_Z	18,3
		F	36
15.I		H=21h08m18,0s; M=2,8 (Kraków), 2,6 (Chorzów) ; DGP (GIG) : 21 08 22,4	
	CHZ	Δ=8 km	
		e_{NE}, i_Z P	21 08 20,1 C
		iS_N	21,6
		i_{NEZ}	22,1
		Lm_Z	26
		1,0s; 4,3μ	
		F	09 30

Date	Station	Phase	T.U. h m s
15.I	KRA	Δ=81 km	
		ei_E, e_Z Pg	21 08 32,7
		ei_N, e_{EZ}	42,0
		Lm_Z	09 11
		1,2s; 0,13μ	
		F	10
	KSP	Δ=190 km. Faible	
		ePg_Z	21 08 49,5
		e_N	53,2
		eSg_{NEZ}	09 14,3
		F	10
	RBN	Traces	
		NE	21 08 30-10 00
	RAC	Traces	
		NEZ	21 08 30-10 30

1975 F É V R I E R 1975

4.II		DGP(GIG) : 20 50 27,7	
	CHZ		
		eP_{NEZ}	20 50 23,3
		i_{NZ}	24,9
		Lm_Z	27
		1,1s; 2,3μ	
		Lm_E	28
		1,1s; 5,6μ	
		F	51 30
	RBN		
		e_N	20 50 29,0
		F	52
	KRA		
		ePg_{EZ}	20 50 36,0
		e_{NZ}	45,3
		ei_E	46,5
		F	52
	NIE		
		ePg_Z	20 50 46,7
		e_Z	51 12,8
		F	52
	KSP		
		ei_N, e_{EZ} S	20 51 17,7
		F	52
	RAC	Traces	
		NEZ	20 50 30-52 30

5.II		DGP(GIG) : 19 26 32,3	
	CHZ		
		iP_{EZ}	19 26 29,4
		i_Z	32,5
		Lm_Z	37
		1,4s; 2,6μ	
		F	27 30
	KRA		
		ei_E, e_Z Pg	19 26 41,9
		i_N, ei_Z	54,2
		Lm_Z	27 25
		1,3s; 0,14μ	
		F	28
	RAC		
		e_N	19 26 49,3
		e_E	50,1
		F	29
	NIE		
		$eiPg_Z$	19 26 53,0
		eSg_Z	27 12,0
		F	28
	KSP		
		eP_Z	19 26 58,7
		e_Z	27 19,6
		i_N, ei_E S	21,5
		F	28
	RBN	Traces	
		NE	19 26 30-28 00

International Seismological Centre

Date	Station	Phase	T.U. h m s
15.II			
	CHZ		
		iP_{NEZ}	18 34 49,8 C
		F	37 30
	RBN		
		e_Z	18 34 57,6
		F	37 30
	RAC		
		ePg_N	18 34 59,5
		e_N	35 05,5
		Lm_{NE}	24
		1,1s, 1,0s; 1,7μ, 0,8μ	
		Lm_Z	27
		1,1s; 1,6μ	
		F	38
	KRA		
		Pg_{NEZ}	18 35(01)
		Pgm_Z	02,7
		0,8s; 0,26μ	
		i_N, ei_E Sg	11,2
		i_E, ei_Z	12,0
		Lm_{NEZ}	41
		1,2s; 0,47μ, 0,62μ, 0,55μ	
		F	37 30
	NIE		
		e_N, ei_Z Pg	18 35 12,2
		e_Z	25,0
		i_N	31,6
		F	38
	KSP		
		ePn_Z	18 35 21,2
		$eiPg_{NEZ}$	23,2
		Pgm_Z	24,3
		0,6s; 0,060μ	
		e_N, i_{EZ} Sg	46,6
		F	38
20.II		H=13h01m05,5s; M=2,1 (Chorzów); DGP(GIG): 13 01 09,3	
	CHZ	Δ=4 km	
		iP_{NEZ}	13 01 07,0 C
		iS_{NZ}	08,0
		Lm_Z	10
		1,2s; 4,3μ	
		F	02
	KRA	Δ=71 km	
		ePg_Z	13 01 18,4
		i_E, ei_Z	28,7
		F	02 30

Date	Station	Phase	T.U. h m s
20.II	NIE	Δ=136 km	
		ePg_Z	13 01 29,6
		Pgm_Z	30,8
		0,8s; 0,026μ	
		e_Z	49,1
		F	02 30
	KSP	Δ=202 km	
		e_{NE}, ei_Z Pg	13 01 39,2
		e_{NZ}, ei_E Sg	02 03,2
		F	30
	RBN	Traces	
		NE	13 01-03
	RAC	Traces	
		NEZ	13 01-03
21.II		φ=50°21,5'N; λ=18°54,0'E; H=23h00m08,0s; M=3,3 (Kraków), 2,8 (Chorzów); DGP: P_{NEZ} 23 00 12,6	
	CHZ	Δ=10 km	
		e_N, i_{EZ} P	23 00 10,1 C
		i_{NE}	12,2
		Lm_Z	17
		1,4s; 6,4μ	
		F	01 30
	RBN	Δ=39 km	
		e_{EZ}	23 00 16,7
		F	02 30
	RAC	Δ=59 km	
		ePg_Z	23 00 19,0
		e_N	27,3
		F	03 30
	KRA	Δ=81 km	
		e_N, i_E, ei_Z Pg	23 00 22,9 D
		i_N, ei_{EZ}	32,4
		iSg_{NZ}	34,0
		Lm_{NEZ}	01 05
		1,1s, 1,3s, 1,3s; 0,015μ 0,35μ, 0,41μ	
		F	02
	NIE	Δ=145 km	
		ei_E, i_Z Pg	23 00 34,2 D
		Pgm_Z	35,2
		0,9s; 0,080μ	

Date	Station	Phase	T.U. h m s
21.II (suite)	NIE	ei_{FZ}	23 00 52,1
		F	02 30
	KSP	Δ=190 km	
		e_{NZ}, ei_{E} Pg	23 00 39,5
		$eiSn_{N}$	01 01,5
		$eiSg_{Z}$	04,1
		F	02
22.II		H=$16^{h}05^{m}35,2^{s}$; M=2,6 (Kraków), 2,5 (Chorzów); DGP (GIG) : 16 05 40,0	
	CHZ	Δ=7 km	
		iP_{NEZ}	16 05 37,2 D
		iS_{NZ}	38,7
		Lm_{Z}	41
		$1,1^{s}$; 4,7μ	
		Lm_{NE}	42
		$1,0^{s}$, $1,2^{s}$; 7,0μ, 7,8μ	
		F	06 30
	RBN		
		e_{E}	16 05 44,4
		F	07 30
	RAC		
		e_{Z}	16 05 44,6
		e_{F}	51,5
		F	08
	KRA	Δ=79 km	
		ePg_{Z}	16 05 49,5
		ei_{N}, e_{EZ}	58,3
		Lm_{EZ}	06 30
		$1,2^{s}$, $1,1^{s}$; 0,10μ, 0,08μ	
		F	07
	KSP	Δ=195 km	
		ePg_{NEZ}	16 06 07,8
		$ei_{N}, i_{E}, e_{Z}Sg$	31,4
		F	08
28.II		H=$00^{h}53^{m}20,7^{s}$; M=3,2 (Kraków), 2,7 (Chorzów); DGP (GIG) : 00 53 25,8	
	CHZ	Δ=10 km	
		iP_{Z}	00 53 23,1 C
		i_{E}	26,3
		Lm_{EZ}	30
		$1,4^{s}$, $1,3^{s}$; 5,6μ, 5,1μ	
		F	54 30
	RAC		
		e_{FZ}	00 53 34,0
		F	56 30

Date	Station	Phase	T.U. h m s
28.II	KRA	Δ=83 km. E-inactive	
		$eiPg_{Z}$	00 53 35,7 D
		$eiSg_{NZ}$	46,7
		Lm_{NZ}	54 18
		$1,2^{s}$, $1,3^{s}$; 0,15μ, 0,33μ	
		F	55 30
	KSP	Δ=196 km	
		e_{NZ}, ei_{E} Pg	00 53 53,4
		e_{N}	54 16,0
		ei_{E}, e_{Z} Sg	17,4
		F	55
	RBN	Traces	
		NEZ	00 53 30-55 30
28.II		DGP(GIG) : 13 22 37,1	
	KRA		
		$eiPg_{EZ}$	13 22 45,7
		i_{E}, ei_{Z}	55,8
		Lm_{Z}	23 23
		$1,5^{s}$; 0,12μ	
		F	24
	NIE		
		ePg_{Z}	13 22 56,6
		Pgm_{Z}	57,7
		$0,9^{s}$; 0,024μ	
		F	24
	KSP		
		e_{N}, ei_{EZ} Pg	13 23 06,9
		eSg_{NEZ}	30,5
		F	24
	RBN	Traces	
		NE	13 22 30-24 00
	RAC	Traces	
		NEZ	13 22 30-24 30
28.II		H=$18^{h}23^{m}29,5^{s}$; M=2,7 (Kraków), 2,2 (Chorzów); DGP (GIG) 18 23 34,8	
	CHZ	Δ=9 km	
		e_{F}, i_{Z} P	18 23 31,8
		iS_{E}	33,7
		Lm_{Z}	38
		$1,4^{s}$; 1,8μ	
		F	24 30
	KRA	Δ=82 km	
		ePg_{EZ}	18 23 44,4
		eSg_{Z}	54,8
		Lm_{Z}	24 26
		$1,3^{s}$; 0,11μ	
		F	25

International Seismological Centre

Date	Station	Phase	T.U. h m s
28.II (suite)	NIE	Δ=146 km	
		ePg_{Z}	18 23 55,4
		Pgm_{Z}	56,3
		$1,0^{s}$; 0,017μ	
		eSg_{Z}	24 14,2
		F	30
	KSP	Δ=187 km	
		ePg_{Z}	18 24 00,6
		eSg_{NZ}	25,0
		F	25
	RBN	Traces	
		NE	18 23 30-25 00
	RAC	Traces	
		NEZ	18 23 30-25 30

1975 — M A R S — 1975

3.III		DGP(GIG) : 01 46 15,1	
	CHZ		
		eP_{Z}	01 46 10,0
		i_{Z}	12,5
		Lm_{Z}	18
		$1,2^{s}$; 1,4μ	
		F	47 30
	RAC		
		e_{Z}	01 46 19,2
		e_{Z}	22,4
		F	49
	KRA		
		ePg_{EZ}	01 46 22,0
		ei_{N}	32,4
		ei_{Z}	33,4
		Lm_{Z}	47 06
		$1,5^{s}$; 0,12μ	
		F	48
	NIE		
		$eiPg_{Z}$	01 46 32,5
		eSg_{Z}	51,5
		F	48
	KSP		
		e_{N}, ei_{EZ} Pg	01 46 39,1
		ei_{NZ}, i_{E} Sg	47 02,9
		F	48
	RBN	Traces	
		NEZ	01 46-48
III		φ=50°21,5′N; λ=18°53,5′E; H=$07^{h}47^{m}32,6^{s}$; M=3,4 (Kraków), 3,2 (Chorzów); DGP (GIG) : 07 47 37,7	
	CHZ	Δ=10 km. E-inactive	
		iP_{N}	07 47 34,9
		Lm_{N}	43

9.III	CHZ	$1,0^{s}$; 12,0μ	
		F	49 30
	RBN	Δ=38 km	
		e_{Z}	07 47 41,1
		e_{NE}	47,4
		F	50 30
	RAC	Δ=58 km	
		ePg_{Z}	07 47 43,7
		ei_{E}	53,3
		F	51
	KRA	Δ=81 km	
		e_{N}, ei_{E}, i_{Z}Pg	07 47 47,4 D
		e_{NZ}	56,6
		iSg_{NEZ}	58,3
		Lm_{NEZ}	48 29
		$1,1^{s}$, $1,4^{s}$, $1,2^{s}$; 0,24μ, 0,55μ, 0,52μ	
		F	49 30
	NIE	Δ=145 km	
		$eiPg_{Z}$	07 47 57,9 C
		Pgm_{Z}	59,3
		$0,9^{s}$; 0,122μ	
		$eiSg_{Z}$	48 17,5
		F	50
	KSP	Δ=189 km	
		e_{NE}, ei_{Z} Pg	07 48 04,0
		i_{NZ}, e_{E} Sg	27,2
		F	50
13.III		H=$05^{h}37^{m}07,5^{s}$; M=2,8 (Kraków); DGP(GIG) : 05 37 10,8	
	CHZ	Δ=12 km. Z-inactive	
		iP_{NE}	05 37 10,3
		iS_{NE}	12,3
		Lm_{E}	18
		$1,2^{s}$; 10,7μ	
		F	39

Date	Station	Phase	T.U. h m s	
13.III (suite)	KRA	Δ=58 km		
		$ei Pg_Z$	05 37 18,3	C
		i_{NZ}	27,3	
		Lm_{NZ}	59	
		1,1^s; 0,12μ, 0,14μ		
		F	39	
	RAC	Δ=68 km		
		e_N, ei_E Sg	05 37 28,6	
		F	40	
	NIE	Δ=122 km		
		ePg_Z	05 37 29,3	
		Pgm_Z	31,0	
		0,8^s; 0,054μ		
		e_Z	43,9	
		F	39 30	
	KSP	Δ=210 km		
		$ei Pg_{NEZ}$	05 37 42,5	
		e_E	38 05,9	
		ei_{NE}, e_Z Sg	07,5	
		F	39 30	
14.III		H=19^{h}52^{m}23,0^s; DGP(GIG) : 19 52 27,6		
	CHZ	Δ=5 km. Z-inactive		
		iP_{NE}	19 52 24,5	
		F	53 30	
	RAC			
		e_Z	19 52 34,2	
		F	54 30	
	KRA	Δ=72 km		
		ePg_{NZ}	19 52 36,2	
		$ei Sg_{EZ}$	45,9	
		F	54	
	NIE	Δ=135 km		
		ePg_Z	19 52 47,0	
		Pgm_Z	48,2	
		0,8^s; 0,036μ		
		eSg	53 05,8	
		F	54	
	KSP	Δ=202 km		
		ei_N, e_E, i_ZPg	19 52 56,5	C
		$ei_N e_{EZ}$ Sg	53 20,8	
		F	54	
	RBN	Traces		
		NEZ	19 52 30-54 00	

Date	Station	Phase	T.U. h m s	
15.III		H=06^{h}21^{m}48.0^s; M=2,8 (Kraków); DGP(GIG) : 06 21 53,1		
	CHZ	Δ=6 km. Z-inactive		
		iP_{NE}	06 21 49,7	
		F	23 30	
	RBN			
		e_{NE}	06 21 57,4	
		e_N	22 03,1	
		F	24	
	KRA	Δ=72 km		
		$ei Pg_{EZ}$	06 22 01,2	C
		Pgm_Z	01,9	
		0,9^s; 0,10μ		
		ei_E, e_Z	09,7	
		$ei Sg_Z$	10,8	
		Lm_{NE}	41	
		1,1^s; 0,16μ, 0,19μ		
		Lm_Z	45	
		1,1^s; 0,12μ		
		F	23 30	
	RAC			
		e_N	06 22 02,1	
		ei_Z	04,8	
		F	25	
	NIE	Δ=132 km		
		ePg_Z	06 22 11,4	
		Pgm_Z	13,2	
		0,8^s; 0,082μ		
		e_Z	27,1	
		e_Z	30,4	
		F	24	
	KSP	Δ=202 km		
		e_N, ei_{EZ} Pg	06 22 21,8	
		e_{NE}	44,4	
		i_{NE}, e_Z Sg	45,8	
		F	24	
16.III		H=06^{h}37^{m}26,6^s; M=3,1 (Kraków) 3,0 (Chorzów); DGP (GIG) : 06 37 32,6		
	CHZ	Δ=15 km		
		iP_{NE}	06 37 29,9	
		i_E	32,9	
		Lm_Z	39	
		1,3^s; 5,7μ		
		F	39 30	

International Seismological Centre

Date	Station	Phase	T.U. h m s	
16.III (suite)	RAC	Δ=54 km		
		ePg_{EZ}	06 37 36,6	
		e_N	43,1	
		F	40 30	
	KRA	Δ=84 km		
		ePg_{NZ}	06 37 41,7	
		Pgm_Z	42,6	
		0,7^s; 0,08μ		
		ei_N	51,8	
		$ei Sg_Z$	52,5	
		Lm_Z	38 28	
		1,4^s; 0,27μ		
		Lm_{NE}	29	
		1,1^s, 1,3^s; 0,13μ, 0,18μ		
		F	39 30	
	NIE	Δ=150 km		
		ePg_Z	06 37 52,1	
		Pgm_Z	53,5	
		0,9^s; 0,074μ		
		ei_Z	38 12,8	
		F	40	
	KSP	Δ=185 km		
		ePn_Z	06 37 56,3	
		ePg_{NEZ}	57,5	
		e_E	38 19,8	
		e_N, ei_Z Sg	20,6	
		F	40	
18.III		H=22^{h}54^{m}42,8^s; M=2,8 (Kraków); DGP (GIG): 22 54 47,3		
	CHZ	Δ=5 km. Z-inactive		
		iP_E	22 54 44,4	
		F	56 30	
	RBN			
		e_E	22 54 51,3	
		F	56 30	
	RAC			
		e_{EZ}	22 54 55,8	
		F	57 30	
	KRA	Δ=72 km		
		e_{NE}, ei_ZPg	22 54 55,8	C
		Pgm_Z	56,5	
		0,8^s; 0,07μ		
		e_N	55 04,0	
		ei_Z, i_E Sg	05,7	
		Lm_{NEZ}	35	

Date	Station	Phase	T.U. h m s	
18.III	KRA	1,1^s, 1,3^s, 1,3^s; 0,15μ, 0,21μ, 0,14μ		
		F	56 30	
	NIE	Δ=134 km		
		$ei Pg_Z$	22 55 06,7	
		Pgm_Z	07,9	
		0,8^s; 0,068μ		
		$ei Sg_Z$	25,3	
		F	57	
	KSP	Δ=200 km		
		$ei Pg_{NEZ}$	22 55 16,2	D
		e_N, ei_E	39,4	
		i_N, ei_Z Sg	40,3	
		F	57	
21.III		H=11^{h}11^{m}36.0^s; M=2,6 (Kraków); DGP(GIG): 11 11 50,5		
	KRA	Δ=72 km		
		$ei Pg_{EZ}$	11 11 49.2	D
		ei_E, i_Z Sg	59,0	
		Lm_Z	12 26	
		1,4^s; 0,10μ		
		F	13	
	NIE	Δ=132 km		
		ePg_Z	11 11 59,5	
		ei_Z	12 18,3	
		F	13 30	
22.III		H=03^{h}27^{m}11,0^s; M=3,5 (Kraków); DGP (GIG) : 03 27 16,7		
	CHZ	Δ=9 km. Z-inactive		
		iP_E	03 27 13,3	
		iS_E	14,9	
		F	29 30	
	RBN			
		e_{NEZ}	03 27 20,1	
		e_N	24,2	
		F	29 30	
	RAC	Δ=60 km		
		ePg_Z	03 27 22,1	
		e_N	29,7	
		F	31	
	KRA	Δ=84 km		
		$ei Pg_{NEZ}$	03 27 26,2	C
		i_N, ei_{EZ}	35,2	
		i_Z	36,1	

Date	Station	Phase	T.U. h m s
22.III (suite)	KRA	Lm_E	03 27 57,
		1,4^s; 0,37µ	
		Lm_N	58
		1,5^s; 0,95µ	
		Lm_Z	28 01
		1,5^s; 0,69µ	
		F	29 30
	NIE	Δ=142 km	
		ePg_Z	03 27 36,1
		Pgm_Z	37,9
		0,8^s; 0,104µ	
		ei_Z	53,6
		ei_Z	55,1
		F	30
	KSP	Δ=190 km	
		e_N,ei_{EZ} Pg	03 27 42,7 C
		i_E,e_Z	28 03,3
		ei_N,e_Z Sg	04,8
		F	30
23.III		H=00^{h}58^{m}39,0^s; M=2,8 (Kraków); DGP (GIG): 00 58 43,8	
	CHZ	Δ=5 km. Z-inactive	
		iP_{NE}	00 58 40,6
		i_E	41,3
		F	01 00
	RBN		
		e_E	00 58 48,3
		F	01 01 30
	KRA	Δ=71 km	
		ei_E,e_Z Pg	00 58 52,0
		ei_{NE},e_Z Sg	59 01,5
		i_Z	02,2
		Lm_{NEZ}	31
		1,2^s, 1,4^s, 1,3^s; 0,12µ 0,18µ, 0,13µ	
		F	01 00
	NIE	Δ=133 km	
		ePg_Z	00 59 02,6
		Pgm_Z	04,2
		0,8^s; 0,051µ	
		ei_Z	21,9
		F	01 01
	RAC	Traces	
		NEZ	00 58 30-01 01 30
24.III		H=14^{h}30^{m}31,7^s; M=2,7 (Kraków); DGP (GIG): 14 30 36,6	

Date	Station	Phase	T.U. h m s
24.III	CHZ	Δ=5 km. Z-inactive	
		iP_E	14 30 33,2
		F	31 30
	KRA	Δ=73 km	
		ei_E,e_Z Pg	14 30 45,0
		iSg_{EZ}	54,9
		Lm_Z	31 23
		1,5^s; 0,14µ	
		F	32
	NIE	Δ=134 km	
		ePg_Z	14 30 55,5
		Pgm_Z	56,8
		0,8^s; 0,039µ	
		ei Sg_Z	14,3
		F	32 30
	KSP	Δ=201 km	
		ei_N,e_{EZ} Pg	14 31 05,3
		e_N	28,8
		$eiSg_{NEZ}$	29,7
		F	32
	RBN	Traces	
		NE	14 30 30-32 30
	RAC	Traces	
		NEZ	14 30 30-32 30
24.III		H=21^{h}21^{m}12,5^s; M=2,6 (Chorzów, Kraków); DGP (GIG): 21 21 14,5	
	CHZ	Δ=14 km	
		e_E,ei_Z P	21 21 15,7
		Lm_{EZ}	24
		1,3^s, 1,2^s; 4,5µ, 2,5µ	
		F	22
	KRA	Δ=63 km	
		e_{NZ},ei_E Pg	21 21 24,1
		ei_N	31,6
		ei_E,e_Z Sg	32,7
		Lm_Z	52
		1,1^s; 0,08µ	
		F	22 30
	NIE	Δ=129 km	
		ePg_Z	21 21 35,4
		Pgm_Z	36,7
		0,8^s; 0,017µ	
		e_Z	51,1
		eSg_Z	52,3
		F	23

International Seismological Centre

Date	Station	Phase	T.U. h m s
24.III (suite)	KSP	Δ=214 km. Faible	
		ePg_E	21 21 48,3
		e_Z	22 17,7
		F	23
	RBN	Traces	
		NE	21 21 30-22 30
	RAC	Traces	
		NEZ	21 21-23
26.III		H=09^{h}31^{m}24,3^s; M=2,6 (Kraków), 2,4 (Chorzów); DGP (GIG) : 09 31 27,3	
	CHZ	Δ=4 km	
		iP_{NEZ}	09 31 25,6 C
		iS_{EZ}	26,4
		Lm_Z	29
		1,1^s; 7,7µ	
		F	32 30
	KRA	Δ=74 km	
		$eiPg_{EZ}$	09 31 37,8
26.III	KRA	$eiSg_{EZ}$	09 31 47,4
		Lm_Z	32 16
		1,3^s; 0,09µ	
		F	33
	NIE	Δ=133 km	
		ePg_Z	09 31 48,0
		Pgm_Z	49,6
		0,8^s; 0,038µ	
		eSg_N	32 06,0
		F	33
	KSP	Δ=202 km	
		ei_N,i_{EZ} Pg	09 31 58,1
		eSg_{NE}	32 22,1
		F	33
	RBN	Traces	
		NE	09 31 30-33 00
	RAC	Traces	
		NEZ	09 31 30-33 30

1975 — A V R I L — 1975

Date	Station	Phase	T.U. h m s
2.IV		H=03^{h}37^{m}53,3^s; M=3,3 (Kraków); DGP (GIG): 03 37 59,1	
	CHZ	Δ=10 km	
		iP_{NEZ}	03 37 55,7 D
		i_N	56,8
		iS_{EZ}	57,6
		F	40
	RBN		
		e_E	03 38 02,7
		e_N	07,0
		F	40 30
	KRA	Δ=82 km	
		e_E,ei_Z Pg	03 38 08,1 D
		ei_{EZ}	17,2
		ei_N	17,8
		Lm_Z	50
		1,2^s; 0,42µ	
		F	40 30
	RAC	Δ=59 km	
		$eiSg_{NE}$	03 38 11,6
		F	41 30
	NIE	Δ=144 km	
		ePg_Z	03 38 18,8
2.IV	NIE	Pgm_Z	03 38 20,6
		0,9^s; 0,088µ	
		ei_{EZ}	36,4
		iSg_N	37,0
		F	40 30
	KSP	Δ=191 km	
		ei_N, e_{EZ} Pg	03 38 25,2
		ei_{EZ}	45,4
		iSg_{NZ}	47,4
		F	41
12.IV		H=09^{h}12^{m}00,8^s; M=2,7 (Kraków), 2,3 (Chorzów); DGP (GIG) : 09 12 08,8	
	CHZ	Δ=10 km	
		ei_E,i_Z P	09 12 03,3 D
		i_E	04,2
		iS_E	05,2
		Lm_{EZ}	10
		1,5^s, 1,4^s; 2,9µ, 2,4µ	
		F	13
	KRA	Δ=84 km	
		e_E,ei_Z Pg	09 12 16,0 C

Date	Station	Phase	T.U. h m s
12.IV (suite)	KRA	e_{NZ}	09 12 26,3
		Lm_Z	58
		1,2^s; 0,10µ	
		F	13 30
	NIE	Δ=146 km	
		ePg_Z	09 12 26,8
		Pgm_Z	27,8
		0,8^s; 0,034µ	
		eSg_Z	46,2
		F	13 30
	KSP	Δ=186 km	
		ePg_{NEZ}	09 12 31,9
		eSg_{NEZ}	56,5
		F	13 30
	RBN	Traces	
		NE	09 12 00-13 30
	RAC	Traces	
		NEZ	09 12 00-13 30
15.IV		H= 22^{h}02^{m}06,7^s; M=2,6 (Kraków), 2,5 (Chorzów); DGP (GIG): 22 02 12,8	
	CHZ	Δ=7 km	
		e_N,ei_{FZ} P	22 02 08,6 C
		iS_{NEZ}	10,0
		Lm_N	12
		1,0^s; 5,2µ	
		Lm_{FZ}	13
		1,1^s, 1,3^s; 9,0µ, 5,0µ	
		F	03 30
	RBN		
		e_E	22 02 15,0
		e_N	19,0
		F	04
	RAC		
		e_E	22 02 15,9
		e_{NE}	21,9
		F	05
	KRA	Δ=78 km	
		ei_F,e_Z Pg	22 02 20,9
		ei_N,e_{FZ}	30,3
		Lm_Z	03 00
		1,3^s; 0,09µ	
		F	04
	NIE	Δ=137 km	
		e_F,ei_Z Pg	22 02 31,0 D
15.IV	NIE	Pgm_Z	22 02 32,4
		1,0^s; 0,026µ	
		i_E,e_Z Sg	48,9
		F	04
	KSP	Δ=195 km	
		e_N,ei_{EZ} Pg	22 02 39,2 D
		Z: 0,5^s; 0,028µ	
		i_N,ei_{EZ} Sg	03 02,5
		F	04
25.IV		DGP (GIG) : 22 34 01,7	
	CHZ		
		P_{NEZ}	22 33(59)
		i_{NEZ}	34 02,2
		Lm_Z	06
		1,1^s; 2,7µ	
		F	35
	KRA		
		ePg_Z	22 34 13,5
		ei_{NZ},e_E	23,4
		Lm_Z	52
		1,3^s; 0,09µ	
		F	35 30
	NIE		
		ePg_Z	22 34 24,0
		Pgm_Z	25,1
		0,9^s; 0,024µ	
		F	35 30
	KSP		
		ei_{NZ},e_E Pg	22 34 31,1
		eSg_{NE}	53,9
		e_Z	54,9
		F	35 30
	RBN	Traces	
		NE	22 34 00-35 30
	RAC	Traces	
		NEZ	22 34-35
30.IV		H=19^{h}26^{m}12,0^s; M=2,8 (Chorzów), 2,7 (Kraków); DGP (GIG) : 19 26 16,1	
	CHZ	Δ=12 km	
		iP_{NEZ}	19 26 14,6 C
		i_N	15,9
		iS_Z	16,6
		Lm_Z	21
		0,9^s; 3,1µ	
		F	27

International Seismological Centre

Date	Station	Phase	T.U. h m s
30.IV (suite)	KRA	Δ=84 km	
		e_Z Pg	19 26 26,9
		e_{NZ}	36,9
		e_N,ei_{EZ} Sg	37,9
		Lm_Z	27 08
		1,4^s; 0,12µ	
		F	30
	NIE	Δ=146 km	
		ePg_Z	19 26 38,3
		F	28
30.IV	KSP		
		e_{NZ},ei_E Pg	19 26(44,9)
		e_N	27(07,3)
		i_E,ei_Z Sg	(08,2)
		F	30
	RBN	Traces	
		NE	19 26 00-27 30
	RAC	Traces	
		NEZ	19 26 00-28 00

1975 — M A I — 1975

4.V		H=20^{h}23^{m}15,2^s; M=2,7 (Chorzów); DGP (GIG): 20 23 18,6	
	CHZ	Δ=10 km	
		iP_{NEZ}	20 23 17,7 C
		iS_Z	19,8
		Lm_{EZ}	23
		1,0^s, 1,3^s; 7,0µ, 4,6µ	
		F	24 30
	RBN		
		e_E	20 23 23,0
		F	25
	KRA	Δ=78 km	
		ePg_{EZ}	20 23 29,3
		Pgm_Z	30,2
		0,8^s; 0,06µ	
		eSg_{NZ}	39,6
		e_E	40,0
		F	25
	NIE	Δ=139 km	
		ePg_Z	20 23 39,9
		F	25
	KSP	Δ=195 km	
		$eiPg_{NEZ}$	20 23 47,8
		ei_N,e_Z Sg	24 11,5
		F	25 30
	RAC	Traces	
		NEZ	20 23 30-25 30
5.V		H=23^{h}22^{m}30,4^s; M=2,9 (Kraków), 2,6 (Chorzów); DGP (GIG) : 23 22 34,6	
	CHZ	Δ=14 km	
		eP_Z	23 22 33,6
5.V	CHZ	ei_Z	23 22 36,4
		Lm_Z	45
		1,0^s; 1,7µ	
		F	24
	RAC		
		e_Z	23 22 39,8
		ei_E	47,4
		F	25 30
	KRA	Δ=85 km	
		$eiPg_{EZ}$	23 22 45,7 D
		eSg_Z	57,2
		ei_{NZ}	58,4
		Lm_Z	33
		1,2^s; 0,19µ	
		Lm_{NE}	34
		1,1^s, 1,2^s; 0,11µ, 0,15µ	
		F	24 30
	KSP	Δ=187 km.. E-inactive	
		ei_N,e_Z Pg	23 23 01,6
		eSn_N	21,8
		$eiSg_{NZ}$	23,2
		F	24
	RBN	Traces	
		NEZ	23 22 30-24 30
7.V		H=20^{h}50^{m}23,2^s; M=2,9 (Kraków), 2,7 (Chorzów); DGP (GIG) : 20 50 31,1	
	CHZ	Δ=14 km	
		iP_{EZ}	20 50 26,3
		iS_{NEZ}	28,3
		Lm_Z	34
		1,0^s; 2,2µ	
		F	52

Date	Station	Phase	T.U. h m s	
7.V (suite)	RBN			
		e_E	20 50 31,2	
		F	52 30	
	KRA	Δ=84 km		
		$ei Pg_{EZ}$	20 50 38,4	D
		i_N, ei_Z	48,4	
		e_E	49,9	
		Lm_{NZ}	51 18	
		1,3s, 1,4s; 0,15μ, 0,17μ		
		Lm_E	19	
		1,4s; 0,17μ		
		F	52 30	
	KSP	E-inactive		
		e_N, ei_Z Pg	20 50(55,6)	C
		e_N, ei_Z Sg	51(17,6)	
		F	52 30	
	RAC	Traces		
		NEZ	20 50 30-53 30	
9.V		H=12h22m14,5s; M=2,5 (Kraków), 2,1 (Chorzów); DGP (GIG) : 12 22 20,4		
	CHZ	Δ=3 km		
		i_{NZ}, ei_E P	12 22 15,7	C
		iS_E	16,6	
		Lm_Z	19	
		1,0s; 5,0μ		
		F	23 30	
	KRA	Δ=73 km		
		ePg_Z	12 22 27,8	
		e_N	36,0	
		eSg_{EZ}	37,4	
		Lm_Z	23 12	
		1,1s; 0,06μ		
		F	24	
	KSP	Δ=202 km		
		ei_{NE}, e_Z Pg	12 22 48,3	
		e_N	23 11,7	
		$ei Sg_Z$	13,1	
		F	24	
	RBN	Traces		
		NE	12 22-24	
	RAC	Traces		
		NEZ	12 22 00-24 30	
13.V		H=13h40m46,7s; M=2,7 (Chorzów, Kraków); DGP (GIG) : 13 40 51,2		

Date	Station	Phase	T.U. h m s	
13.V	CHZ	Δ=6 km		
		iP_{NEZ}	13 40 48,4	C
		Lm_Z	52	
		1,1s; 8,9μ		
		F	42	
	RBN			
		e_E	13 40 56,6	
		F	43	
	KRA	Δ=70 km		
		$ei Pg_Z$	13 40 59,5	C
		Pgm_Z	41 00,4	
		0,8s; 0,06μ		
		$eiSg_Z$	08,9	
		i_{NEZ}	09,6	
		Lm_Z	38	
		1,3s; 0,14μ		
		F	42 30	
	KSP	Δ=208 km		
		$ei Pg_{NEZ}$	13 41 21,4	
		ei_{NE}, e_Z Sg	45,9	
		F	43	
	RAC	Traces		
		NEZ	13 41 00-43 30	
14.V		DGP (GIG) : 12 46 53,8		
	CHZ			
		i_E, ei_Z P	12 46 50,3	
		F	48 30	
	RBN			
		e_E	12 46 56,2	
		e_N	47 05,4	
		F	49	
	KRA			
		$ei Pg_{EZ}$	12 47 03,3	D
		Pgm_Z	03,9	
		0,7s; 0,07μ		
		ei_N, i_Z(Sg)	13,7	
		ei_E	14,5	
		Lm_{NZ}	50	
		1,3s, 1,2s; 0,20μ, 0,28μ		
		Lm_E	51	
		1,3s; 0,21μ		
		F	49	
	KSP			
		ePn_{EZ}	12 47 17,3	
		$ei Pg_{EZ}$	19,1	
		$eiSg_{NEZ}$	41,5	
		F	49	

International Seismological Centre

Date	Station	Phase	T.U. h m s	
14.V (suite)	RAC	Traces		
		NEZ	12 47-50	
15.V		φ=50°13'N; λ=19°07'E; H=10h48m17,5s; M=2,9 (Chorzów), 2,7 (Kraków); DGP : P_Z 10 48 20,9		
	CHZ	Δ=12 km		
		ei_{NE}, i_Z P	10 48 20,2	C
		iS_{NE}	22,4	
		Lm_N	27	
		1,0s; 4,6μ		
		Lm_{EZ}	28	
		1,0s; 7,3μ, 4,6μ		
		F	50	
	KRA	Δ=61 km		
		ePg_{EZ}	10 48 28,7	C
		i_N, e_E Sg	36,9	
		i_N, ei_{EZ}	37,8	
		Lm_{NZ}	49 09	
		1,0s; 0,09μ, 0,10μ		
		Lm_F	10	
		1,1s; 0,09μ		
		F	50	
	NIE	Δ=123 km		
		ePg_Z	10 48 39,6	
		Pgm_Z	41,2	
		0,8s; 0,032μ		
		e_Z	58,5	
		F	50 30	
	RBN	Traces		
		NE	10 48 30-50 30	
	RAC	Traces		
		NEZ	10 48 30-51 00	
16.V		DGP (GIG): 03 11 25,2		
	CHZ			
		ePg_{EZ}	03 11 27,7	
		Lm_{EZ}	38	
		1,1s, 1,3s; 2,7μ, 1,9μ		
		F	13	
	KRA			
		ePg_{EZ}	03 11 33,8	
		Pgm_Z	35,2	
		0,8s; 0,03μ		
		ei_{NZ}, e_E	41,1	
		Lm_Z	12 04	
		1,2s; 0,11μ		
		F	13	

Date	Station	Phase	T.U. h m s	
16.V	NIE			
		ePg_Z	03 11 46,5	
		Pgm_Z	47,9	
		0,8s; 0,038μ		
		ei_Z	12 05,1	
		F	13 30	
	KSP			
		ePg_E	03 12 00,7	
		$eiSg_{NE}$	26,2	
		F	13	
	RBN	Traces		
		NE	03 11 30-13 00	
	RAC	Traces		
		NEZ	03 11 30-13 30	
22.V		φ=50°20'N; λ=18°53'E; H=07h24m53,0s; M=3,0 (Kraków), 2,4 (Chorzów); DGP (GIG): 07 24 58,8		
	CHZ	Δ=9 km		
		eP_{EZ}	07 24 55,2	
		Lm_Z	25 02	
		1,2s; 2,5μ		
		Lm_E	04	
		1,2s; 8,2μ		
		F	27 30	
	RBN	Δ=36 km		
		eS_{NE}	07 25 05,0	
		e_{NE}	09,1	
		F	27	
	KRA	Δ=81 km		
		e_N, ei_Z Pg	07 25 07,9	D
		ei_{NE}	18,2	
		ei_E, e_Z Sg	18,9	
		i_N	19,3	
		Lm_Z	55	
		1,3s; 0,21μ		
		F	27	
	RAC	Δ=56 km		
		e_N	07 25 08,0	
		$eiSg_E$	10,5	
		F	28	
	NIE	Δ=144 km		
		ePg_Z	07 25 18,3	
		eSg_Z	37,0	
		F	27	
	KSP	Δ=190 km		

Date	Station	Phase	T.U. h m s	
22.V (suite)	KSP	$e(Pg)_Z$	07 25 23,5	
		ei_{NZ}	46,1	
		F	27	
22.V		H=12h35m18,0s; M=3,1 (Kraków), 2,7 (Chorzów)		
	CHZ	Δ=10 km		
		iP_{NEZ}	12 35 20,4	D
		i_{NE}	21,7	
		Lm_Z	27	
		1,1s; 4,0μ		
		F	36 30	
	RBN			
		e_E	12 35 28,0	
		F	37 30	
	RAC			
		e_E	12 35 30,0	
		e_N,ei_E	36,9	
		F	38 30	
	KRA	Δ=78 km		
		ei_E,e_Z Pg	12 35 32,1	
		i_N,ei_E Sg	42,3	
		ei_Z	44,8	
		Lm_E	36 06	
		1,5s; 0,44μ		
		Lm_{NZ}	08	
		1,4s, 1,3s; 0,30μ, 0,30μ		
		F	37 30	
	NIE	Δ=145 km		
		iPg_Z	12 35 43,8	C
		Pgm_Z	45,4	
		0,8s; 0,089μ		
		F	38	
	KSP	Δ=193 km		
		ePg_{NZ}	12 35 50,3	
		e_{NZ},i_E	36 11,0	
		iSg_{NZ}	12,9	
		F	37 30	
23.V		DGP (GIG): 19 43 12,6		
	CHZ	Z-inactive		
		eP_E	19 43 14,2	
		Lm_E	23	
		1,1s; 2,4μ		
		F	44 30	
	KRA			
		$eiPg_{EZ}$	19 43 21,6	
		ei_N	29,0	

Date	Station	Phase	T.U. h m s	
23.V	KRA	ei_{EZ}	19 43 29,9	
		Lm_Z	56	
		1,1s; 0,07μ		
		F	45	
	NIE			
		$eiPg_Z$	19 43 34,3	C
		Pgm_Z	34,8	
		0,8s; 0,038μ		
		eSg_Z	52,6	
		F	45	
	KSP			
		ePg_{NEZ}	19 43 47,3	
		e_N	13,5	
		e_Z	14,4	
		F	45	
	RAC	Traces		
		NZ	19 43 00-45 30	
25.V		DGP (GIG): 11 46 23,5		
	CHZ	Z-inactive		
		e_N,i_EP	11 46 17,9	
		F	48	
	RBN			
		e_E	11 46 23,3	
		F	48 30	
	KRA			
		e_E,ei_Z Pg	11 46 29,8	D
		ei_N,e_{EZ}	39,0	
		Lm_Z	47 10	
		1,3s; 0,13μ		
		F	48	
	NIF			
		ePg_Z	11 46 40,3	
		Pgm_Z	41,7	
		1,0s; 0,012μ		
		i_Z	55,5	
		F	48 30	
	KSP			
		e_{NZ},ei_E Pg	11 46 48,0	
		e_N	47 10,4	
		$eiSg_{NE}$	11,3	
		F	48	
	RAC	Traces		
		NZ	11 46 30-49 30	
31.V		H=15h20m28,8s; M=2,4 (Chorzów); DGP (GIG): 15 20 33,4		
	CHZ	Δ=7 km		

International Seismological Centre

Date	Station	Phase	T.U. h m s	
31.V (suite)	CHZ	e_N,i_Z P	15 20 30,8	
		Lm_Z	34	
		1.2s; 3,4μ		
		Lm_E	35	
		1,1s; 5,5μ		
		F	21 30	
	KRA	Δ=77 km		
		ePg_{EZ}	15 20 42,7	
		ei_N,e_Z	52,4	
		eSg_Z	53,0	
		F	22	
	NIE	Δ=138 km		
		$eiPg_Z$	15 20 53,4	D
31.V	NIE	Pgm_Z	15 20 54,3	
		0,9s; 0,023μ		
		eSg_Z	11,8	
		F	22	
	KSP	Δ=192 km		
		ei_{NZ},e_E Pg	15 21 00,9	
		$eiSg_{NE}$	24,8	
		F	22	
	RBN	Traces		
		NE	15 20 30-22 00	
	RAC	Traces		
		NEZ	15 20 30-22 30	

1975 J U I N 1975

6.VI		H=13h20m13,4s; M=3,0 (Kraków), 2,8 (Chorzów); DGP (GIG): 13 20 18,2		
	CHZ	Δ=5 km		
		iP_{NZ}	13 20 15,0	C
		Lm_Z	18	
		1,1s; 13,3μ		
		Lm_{NE}	19	
		1,0s, 0,9s; 16,0μ, 9,6μ		
		F	21 30	
	RBN			
		e_E	13 20 23,7	
		F	22 30	
	KRA	Δ=69 km		
		$eiPg_{EZ}$	13 20 26,0	C
		Pgm_Z	26,8	
		1,0s; 0,08μ		
		ei_{NE},e_Z Sg	35,2	
		i_Z	36,0	
		Lm_Z	21 04	
		1,3s; 0,22μ		
		F	22	
	NIE	Δ=132 km		
		ePg_Z	13 20 36,9	
		Pgm_Z	38,9	
		0,9s; 0,035μ		
		e_Z	56,6	
		F	22 30	
	KSP	Δ=204 km		
6.VI	KSP	e_N,ei_{FZ} Pg	13 20 47,5	
		$eiSg_{NE}$	21 11,8	
		i_E	13,0	
		F	22 30	
	RAC	Traces		
		NEZ	13 20-23	
13.VI		H=03h00m57,3s; M=3,0 (Kraków), 2,9 (Chorzów); DGP (GIG): 03 01 02,8		
	CHZ	Δ=7 km		
		iP_{NEZ}	03 00 59,2	C
		Lm_Z	01 03	
		1,3s; 14,0μ		
		Lm_N	05	
		1,2s; 21,4μ		
		F	02 30	
	RBN			
		e_E	03 01 05,0	
		e_N,ei_E	06,0	
		F	03 30	
	RAC			
		e_Z	03 01 07,9	
		F	04	
	KRA	Δ=78 km		
		i_E,ei_Z Pg	03 01 11,4	
		Pgm_Z	12,3	
		0,9s; 0,18μ		
		ei_E,i_Z Sg	22,0	

Date	Station	Phase	T.U. h m s	
13.VI (suite)	KRA	Lm_Z	03 01 48	
		1,2^s; 0,21μ		
		F	03	
	NIE	Δ=138 km		
		ePg_Z	03 01 21,8	
		Pgm_Z	23,9	
		1,0^s; 0,069μ		
		i_Z	41,2	
		F	03 30	
	KSP	Δ=188 km		
		ei_N, i_{EZ}	03 01 28,7	D
		0,4^s; 0,056μ		
		ei_{NZ}, i_E Sg	51,5	
		F	03 30	
17.VI		DGP (GIG): 10 10 32,9		
	CHZ	E-inactive		
		iP_{NZ}	10 10 29,2	C
		i_N	30,4	
		i_Z	31,1	
		Lm_{NZ}	35	
		1,1^s, 1,0^s; 10,5μ, 6,1μ		
		F	11 30	
	KRA			
		ei_F, e_Z Pg	10 10 42,0	
		ei_{NZ}, e_E	51,1	
		i_Z	53,4	
		Lm_{NEZ}	11 21	
		1,3^s, 1,1^s, 1,1^s; 0,13μ, 0,09μ, 0,11μ		
		F	12	
	RBN	Traces		
		NE	10 10 30-12 30	
	RAC	Traces		
		NEZ	10 10 30-12 30	
19.VI		DGP (GIG): 19 43 13,1		
	CHZ			
		iP_{NEZ}	19 43 09,0	C
		Lm_Z	13	
		1,4^s; 5,1μ		
		F	44 30	
	RBN	e_E	19 43 17,0	
		F	45	
	KRA			
		e_N, ei_{EZ} Pg	19 43 21,9	D
		e_E, i_Z (Sg)	32,0	
		F	45	

Date	Station	Phase	T.U. h m s	
19.VI	NIE			
		$eiPg_Z$	19 43 32,8	D
		Pgm_Z	34,0	
		0,8^s; 0,045μ		
		e_Z	54,0	
		F	45	
	KSP			
		ei_{NE}, i_Z Pg	19 43 40,7	C
		i_N, ei_E, e_Z Sg	44 04.2	
		F	45	
	RAC	Traces		
		NEZ	19 43 00-45 30	
22.VI		DGP(GIG): 00 57 34,3		
	CHZ			
		iP_{NZ}	00 57 29,9	C
		Lm_Z	30	
		1,1^s; 6,4μ		
		F	58 30	
	KRA			
		ePg_{EZ}	00 57 41,5	
		$ei(Sg)_{EZ}$	51,9	
		Lm_Z	21	
		1.2^s; 0,08μ		
		F	59	
	NIE			
		ePg_Z	00 57 52,2	
		Pgm_Z	54,2	
		0,8^s; 0,030μ		
		F	59 30	
	KSP			
		ei_N, e_{EZ} Pg	00 58 02,1	
		ei_N, e_{EZ} Sg	26,8	
		F	59 30	
	RBN	Traces		
		NE	00 57 30-59 00	
	RAC	Traces		
		NEZ	00 57 30-59 30	
24.VI		H=10^{h}06^{m}02,5^s; M=2,6 (Kraków); DGP(GIG): 10 06 08,3		
	CHZ			
		iP_{EZ}	10 06(07,0)	C
		Lm_{EZ}	10	
		1,0^s, 1,3^s; 10,4μ, 7,1μ		
		F	07 30	
	RBN			
		e_E	10 06 12,2	

International Seismological Centre

Date	Station	Phase	T.U. h m s	
24.VI (suite)	RBN	e_N	10 06 14,6	
		F	08	
	KRA	Δ=75 km		
		ePg_{EZ}	10 06 16,2	
		Pgm_Z	17,0	
		0,6^s; 0,043μ		
		eiSg	26,0	
		Lm_Z	55	
		1,3^s; 0,09μ		
		F	07 30	
	KSP	Δ= 197 km		
		ei_{NE}, i_Z Pg	10 06 35,5	
		ei_{NE}, e_Z Sg	58,7	
		F	08	
	RAC	Traces		
		NEZ	10 06 00-08 30	
28.VI		H=03^{h}18^{m}28,7^s; M=2,8 (Kraków), 2,5 (Chorzów); DGP (GIG): 03 18 34.4		
	CHZ	Δ=9 km		
		iP_Z	03 18 31,0	C
		Lm_{EZ}	38	
		1,3^s; 3,4μ, 3,5μ		

Date	Station	Phase	T.U. h m s	
28.VI	CHZ	Lm_N	03 18 39	
		1,1^s; 3,0μ		
		F	20	
	KRA	Δ=82 km		
		ePg_{EZ}	03 18 43,6	
		e_{NZ}	52,9	
		i_E, ei_Z Sg	54,5	
		Lm_{NEZ}	19 25	
		1,2^s, 1,4^s, 1,3^s; 0,09μ, 0,16μ, 0,13μ		
		F	20	
	NIE	Δ=148 km		
		$eiPg_Z$	03 18 55,0	D
		Pgm_Z	56,0	
		0,9^s; 0,035μ		
		e_Z	19 13,5	
		F	20 30	
	KSP	Δ=189 km		
		e_{NZ}, ei_E Pg	03 19 00,2	
		e_N, ei_Z Sg	24,0	
		e_Z	26,0	
		F	20 30	
	RBN	Traces		
		NE	13 18 30-20 30	

02.VII		H=05^{h}47^{m}19,2^s; M=2,7 (Chorzów), 2,6 (Kraków); DGP (GIG): 05 47 25,9		
	CHZ	Δ=13 km		
		eP_{EZ}	05 47 22,2	
		i_Z	25,2	
		Lm_{EZ}	30	
		1,3^s; 5,2μ, 3,3μ		
		F	48 30	
	RAC	Δ=52 km		
		e_E	05 47 30,4	
		eSg_N	35,6	
		F	50	
	KRA	Δ=82 km		
		ePg_Z	05 47 34,0	
		$eiSg_{EZ}$	45,0	
		Lm_Z	48 24	
		1,3^s; 0,09μ		
		F	49	

2.VII	KSP	Δ=190 km		
		$eiPg_{NEZ}$	05 47 50,9	
		i_N, ei_{EZ} Sg	48 13,2	
		F	49 30	
	RBN	Traces		
		NE	05 47-49	
2.VII		H=09^{h}18^{m}06,0^s; M=2,5 (Kraków), 2,4 (Chorzów); DGP(GIG): 09 18 09,0		
	CHZ	Δ=6 km. E-illisible		
		iP_{NZ}	09 18 07,8	C
		i_{NZ}	08,5	
		Lm_Z	11	
		1,0^s; 3,6μ		
		F	19	
	KRA	Δ=73 km		
		ePg_{EZ}	09 18 19,5	
		$eiSg_{EZ}$	29,5	
		Lm_Z	59	
		1,2^s; 0,06μ		
		F	19 30	

Date	Station	Phase	T.U. h m s	
2.VII (suite)	KSP	Δ=206 km		
		ePg_{NEZ}	09 18 40,5	
		eSg_{NE}	19 04,4	
		e_Z	05,4	
		F	30	
	RBN	Traces		
		NE	09 18-20	
	RAC	Traces		
		NE	09 18-20	
5.VII		H=$13^h15^m25,7^s$; M=2,7 (Kraków); DGP(GIG): 13 15 31,3		
	KRA	Δ=81 km		
		$ei_{F'}e_Z$ Pg	13 15 40,3	
		e_Z	49,4	
		ei_{NE},i_Z Sg	50,8	
		Lm_{NEZ}	16 22	
		$1,1^s$, $1,3^s$, $1,3^s$; 0,07μ, 0,12μ, 0,11μ		
		F	17	
	KSP	Δ=188 km		
		ei_E,e_Z Pg	13 15 57,1	
		e_{NZ}	16 21,2	
		F	17	
	RBN	Traces		
		NE	13 15 30-17 00	
	RAC	Traces		
		NEZ	13 15 30-18 30	
10.VII		H=$20^h15^m35,5^s$; M=2,7 (Chorzów), 2,6 (Kraków); DGP (GIG): 20 15 38,5		
	CHZ	Δ=11 km		
		iP_{NZ}	20 15 38,1	C
		iS_{NZ}	40,1	
		Lm_Z	44	
		$1,1^s$; 4,0μ		
		F	16 30	
	KRA	Δ=66km		
		e_N,ei_Z Pg	20 15 47,6	
		ei_N,e_{EZ}	55,5	
		eSg_E	56,5.	
		Lm_Z	16 23	
		$1,1^s$; 0,08μ		
		F	17 30	
	RBN			
		e_F	20 15 49,0	

Date	Station	Phase	T.U. h m s	
10.VII	RBN	e_F	20 15 51,4	
		F	17 30	
	KSP	Δ=208 km		
		ePg_{NEZ}	20 16 10,2	
		e_E	31,3	
		ei_Z	35,1	
		F	17 30	
	RAC	Traces		
		NEZ	20 15 30-18 30	
15.VII		φ=50°15,0'N; λ=18°58,5'E; H=$03^h49^m17,5^s$; M=3,3 (Kraków), 3,1 (Chorzów); DGP: P_{NEZ} 03 49		
	CHZ	Δ=5 km		
		$1P_{NEZ}$	03 49 19,0	C
		Lm_Z	23	
		$1,3^s$; 32,4μ		
		F	51 30	
	RBN	Δ=35 km		
		e_{EZ}	03 49 27,2	
		eS_N	29,0	
		F	52	
	RAC	Δ=58 km		
		$ei Pg_Z$	03 49 28,3	
		e_N	36,0	
		F	53	
	KRA	Δ=71 km		
		iPg_{EZ}	03 49 30,4	C
		Pgm_Z	31,3	
		$0,8^s$; 0,171μ		
		i_{NZ},ei_E Sg	39,6	
		i_Z	40,5	
		Lm_E	50 08	
		$1,3^s$; 0,47μ		
		Lm_{NZ}	09	
		$1,1^s$, $1,4^s$; 0,38μ, 0,50μ		
		F	52	
	KSP	Δ=199 km		
		ePn_{EZ}	03 49 48,1	
		ei_{NE},i_Z Pg	50,8	
		Pgm	51,8	
		$0,5^s$; 0,069μ		
		i_E,ei_Z Sg	50 14,6	
		F	52	

International Seismological Centre

Date	Station	Phase	T.U. h m s	
15.VII		H=$09^h36^m31,5^s$; M=2,6 (Kraków), 2,3 (Chorzów); DGP (GIG): 09 36 35,5		
	CHZ	Δ=5 km		
		$1P_{NEZ}$	09 36 33,1	C
		$1S_Z$	34,2	
		Lm_Z	36	
		$1,1^s$; 4,7μ		
		F	37 30	
	KRA	Δ=68 km		
		ePg_Z	09 36 43,9	
		ei_E,i_Z	53,9	
		Lm_Z	37 22	
		$1,2^s$; 0,08μ		
		F	38	
	KSP	Δ=204 km		
		$ei Pg_{NEZ}$	09 37 05,5	
		ei_{NEZ}	31,5	
		F	38	
	RBN	Traces		
		NE	09 36 30-38 00	
	RAC	Traces		
		NZ	09 36 30-38 30	
16.VII		H=$23^h16^m17,0^s$; M=2,0 (Chorzów); DGP(GIG): 23 16 21,8		
	CHZ	Δ=3 km		
		iP_{NEZ}	23 16 18,2	C
		Lm_Z	21	
		$1,0^s$; 3,4μ		
		F	17	
	KRA	Δ=73 km		
		ePg_{EZ}	23 16 30,3	
		i_E,ei_Z Sg	40,0	
		F	18	
	KSP	Δ=200 km		
		ePg_{NEZ}	23 16 50,3	
		eSg_E	13,9	
		e_Z	14,8	
		F	18	
	RBN	Traces		
		NE	23 16 30-18 00	
	RAC	Traces		
		NZ	23 16 30-18 00	
20.VII		H=$08^h35^m51,2^s$; M=2,5 (Kraków), 2,2 (Chorzów); DGP		

Date	Station	Phase	T.U. h m s	
20.VII		(GIG): 08 35 55,7		
	CHZ	Δ=4 km		
		$1P_Z$	08 35 52,5	
		Lm_Z	56	
		$1,2^s$; 5,1μ		
		F	36 30	
	KRA	Δ=72 km		
		$ei Pg_{EZ}$	08 36 04,4	D
		i_F,ei_Z Sg	14,2	
		Lm_Z	44	
		$1,2^s$; 0,06μ		
		F	37 30	
	RBN	Traces		
		NE	08 36 00-37 30	
29.VII		H=$08^h07^m08,3^s$; M=2,3 (Chorzów); DGP(GIG): 08 07 11,8		
	CHZ	Δ=4 km		
		$1P_Z$	08 07 09,7	
		Lm_Z	13	
		$1,1^s$; 6,0μ		
		F	08	
	KRA	Δ=67 km		
		i_E,e_Z Pg	08 07 20,5	
		i_N	28,7	
		ei_E,e_Z Sg	29,4	
		F	09	
	KSP	Δ=200 km		
		e_{NE},ei_Z Pg	08 07 41,6	
		ei_E,e_{NZ} Sg	08 06,3	
		F	09	
	RBN	Traces		
		NE	08 00-09 30	
	RAC	Traces		
		NEZ	08 07-09	
30.VII				
	CHZ		19 58 13,1	C
		eiP_Z	15,5	
		ei_Z	21	
		Lm_Z		
		$1,2^s$; 3,9μ		
		F	59 30	
	RAC		19 58 21,7	
		e_Z	23,0	
		e_E	20 01 30	
		F		

Date	Station	Phase	T.U. h m s	
30.VII (suite)	KRA			
		e_N, ei_{EZ} Pg	19 58 25,2	C
		Pgm_Z	26,0	
		0,6^s; 0,058μ		
		i_{NZ}, e_E (Sg)	36,5	
		Lm_Z	59 10	
		1,5^s; 0,19μ		
		F	20 00 30	
	KSP			
		ePg_{NEZ}	19 58 42,2	
		i_E, ei_Z Sg	59 05,8	
		F	20 00 30	
	RBN	Traces		
		F	19 59-20 01	
31.VII		H=19^{h}42^{m}05,5^s; M=2,3 (Chorzów); DGP(GIG): 19 42 11,0		

Date	Station	Phase	T.U. h m s	
31.VII	CHZ	Δ=6 km		
		eP_Z	19 42 07,2	
		iS_Z	08,6	
		Lm_Z	12	
		1.3^s; 4,0μ		
		F	43	
	KRA	Δ=78 km		
		$eiPg_{EZ}$	19 42 19,6	
		i_N, e_{EZ}	28,6	
		F	44	
	KSP	Δ=195 km		
		e_{NZ}, ei_E Pg	19.42 38,1	
		e_N	43 00,3	
		i_N, ei_{EZ} Sg	01,2	
		F	44	
	RBN	Traces		
		NE	19 42-44	

Date	Station	Phase	T.U. h m s	
9.VIII		φ=50°21,5′N; λ=18°53,0′E; H=10^{h}57^{m}32,5^s; M=3,2 (Kraków), 3,1 (Chorzów); DGP: P_Z 10 57 37,4		
	CHZ	Δ=11 km		
		iP_{NEZ}	10 57 34,8	C
		iS_{NE}	36,6	
		i_Z	37,8	
		Lm_Z	42	
		1,4^s; 11,1μ		
		F	59 30	
	RBN	Δ=38 km		
		e_N	10 57 42,5	
		F	11 00 30	
	KRA	Δ=82 km		
		ei_E, i_Z	10 57 47,4	D
		i_N, ei_{EZ}	56,6	
		i_{NZ}, ei_E Sg	58,2	
		Lm_{NEZ}	58 29	
		1,1^s, 1,3^s, 1,2^s; 0,10μ, 0,38μ, 0,32μ		
		F	59 30	
	RAC	Δ=58 km		
		e_N	10 57 50,0	
		F	11 01 30	

Date	Station	Phase	T.U. h m s	
9.VIII	NIE	Δ=146 km		
		ePg_Z	10 57 57,8	
		Pgm_Z	59,3	
		0,9^s; 0,091μ		
		$ei Sg_Z$	58 16,5	
		F	11 00 30	
	KSP	Δ=189 km		
		ePn_{EZ}	10 58 02,2	
		ePg_{NZ}	03,5	
		$ei Sn_E$	25,0	
		i_{NE}, e_Z Sg	27,6	
		F	11 00	
9.VIII		H=23^{h}00^{m}13,8^s; M=3,1 (Chorzów), 2,8 (Kraków); DGP(GIG): 23 00 28,9		
	CHZ	Δ=12 km		
		iP_{NEZ}	23 00 16,5	
		iS_Z	18,5	
		Lm_Z	23	
		1,3^s; 10,4μ		
		Lm_E	24	
		1,4^s; 17,6μ		
		Lm_N	25	
		1,0^s; 8,8μ		
		F	02 30	

International Seismological Centre

Date	Station	Phase	T.U. h m s	
9.VIII (suite)	RBN	Δ=39 km		
		eP_{NEZ}	23 00 21,2	
		ei_E	26,2	
		F	03	
	RAC			
		e_Z	23 00 25,0	
		ei_N	33,9	
		F	04	
	KRA	Δ=81 km		
		ePg_{NEZ}	23 00 28,5	
		i_N	38,8	
		$ei Sg_{EZ}$	39,4	
		i_{NZ}	40,5	
		Lm_{NE}	01 07	
		1,7^s, 1,4^s; 0,34μ, 0,22μ		
		Lm_Z	14	
		1,1^1; 0,12μ		
		F	02 30	
	KSP			
		iPg_Z	23 00(44,0)	
		ei_N	01(07,2)	
		i_E, ei_Z	(08,3)	
		F	03	
12.VIII		H=09^{h}26^{m}23,4^s; M=2,3 (Chorzów); DGP(GIG): 09 26 27,4		
	CHZ	Δ=4 km		
		i_{NZ}, ei_E P	09 26 24,7	C
		i_E	26,3	
		Lm_Z	28	
		1,1^s; 5,8μ		
		F	27 30	
	KRA	Δ=69 km		
		$ei Pg_{EZ}$	09 26 36,0	
		e_N, ei_{EZ} Sg	45,2	
		F	28	
	KSP	Δ=201 km		
		e_{NE}, ei_Z Pg	09 26 56,9	
		eSg_{NEZ}	27 21,1	
		F	28 30	
	RBN	Traces		
		NE	09 26 30-28 00	
	RAC	Traces		
		NEZ	09 26 30-28 30	
19.VIII		DGP(GIG): 15 52 17,1		

Date	Station	Phase	T.U. h m s	
19.VIII	RBN			
		e_E	15 52 20,2	
		e_{NZ}	25,0	
		F	54	
	RAC			
		e_N	15 52 25,6	
		F	55 30	
	KRA			
		Pg_{NEZ}	15 52(25)	
		ei_N	34,7	
		ei_E, i_Z Sg	35,3	
		Lm_{EZ}	53 08	
		1,4^s; 0,33μ, 0,22μ		
		F	54 30	
	NIE			
		iPg_Z	15 52 35,7	
		e_Z	52,5	
		i_Z	58,1	
		F	55	
	KSP			
		i_N, ei_{EZ} Pg	15 52 43,8	D
		ei_E	53 05,7	
		ei_{NZ}, e_E Sg	07,1	
		F	54 30	
19.VIII		φ=50°21,5′N; λ=18°54,5′E; H=16^{h}21^{m}44,0^s; M=3,2 (Kraków), 3,0 (Chorzów); DGP (GIG): 16 21 49,6		
	CHZ	Δ=10 km. E-illisible		
		iP_{NZ}	16 21 46,1	C
		iS_Z	47,6	
		i_{NZ}	48,1	
		Lm_Z	52	
		1,4^s; 10,0μ		
		F	23	
	RAC	Δ=59 km		
		e_Z	16 21 55,8	
		eSg_N	22 02,4	
		F	25	
	KRA	Δ=80 km		
		Pg_{NEZ}	16 21(59)	
		e_N, ei_Z	22 07,9	
		$ei Sg_{NE}$	08,8	
		Lm_{NEZ}	40	
		1,4^s, 1,3^s, 1,4^s; 0,26μ, 0,20μ, 0,38μ		
		F	24	

Date	Station	Phase	T.U. h m s
19.VIII (suite)	NIE	Δ=145 km	
		ePg_Z	16 22 09,4
		Pgm_Z	x10,7
		1,0^s; 0,046μ	
		e_Z	27,8
		F	24
	KSP	Δ=191 km	
		e_{NE},ei_Z Pg	16 22 15,9
		e_E	36,8
		eSg_N	38,5
		e_E	39,1
		F	24
	RBN	Traces	
		NE	16 21 30-23 30
23.VIII		DGP(GIG) :	21 57 17,7
	CHZ		
		e_N,i_Z P	21 57 15,0
		Lm_Z	20
		1,4^s; 5,0μ	
		F	58 30
	KRA	$eiPg_{EZ}$	21 57 27,4
		ei_N,e_E	36,6
		ei_{EZ}	37,9
		Lm_{NEZ}	58 10
		1,4^s, 1,5^s, 1,4^s; 0,15μ, 0,18μ, 0,21μ	
		F	59
	RAC		
		e_Z	21 57 28,2
		e_Z	31,5
		F	22 00 30
	NIE		
		ePg_Z	21 57 38,7

Date	Station	Phase	T.U. h m s
23.VIII	NIE	Pgm_Z	21 57 39,6
		0,9^s; 0,041μ	
		$eiSg_Z$	57,2
		F	59 30
	KSP	e_{NE},ei_ZPg	21 57 43,9
		e_{NEZ}	58 05,0
		ei_N,i_{EZ} Sg	07,2
		F	59 30
	RBN	Traces	
		NE	21 57 00-59 30
27.VIII		H=22^{h}01^{m}21,3^s; M=2,7 (Kraków), 2,4 (Chorzów); DGP (GIG): 22 01 25,8	
	CHZ	Δ=10 km	
		e_N,i_Z P	22 01 23,5 C
		Lm_Z	30
		1,4^s; 2,9μ	
		F	02
	KRA	Δ=83 km	
		ePg_{NEZ}	22 01 36,0
		ei_N	45,5
		iSg_{EZ}	46,8
		Lm_Z	02 22
		1,2^s; 0,10μ	
		F	03
	KSP	Δ=186 km	
		ePg_{NEZ}	22 01 52,0
		ei_N,e_{EZ} Sg	02 15,0
		F	03 30
	RBN	Traces	
		NE	22 01 30-03 30
	RAC	Traces	
		NZ	22 01 30-04 30

1975 S E P T E M B R E 1975

Date	Station	Phase	T.U. h m s
1.IX		H=19^{h}33^{m}23,5^s; M=2,3 (Chorzów); DGP(GIG): 19 33 27,8	
	CHZ	Δ=9 km	
		$1P_Z$	19 33 25,7 C
		Lm_Z	32
		1,5^s; 2,9μ	
		F	34
	KRA	Δ=81 km	
1.IX	KRA	ePg_E	19 33 38,2
		e_Z	48,2
		ei_{NE},e_Z Sg	49,2
		Lm_Z	34 21
		1,5^s; 0,17μ	
		F	35
	NIE	Δ=142 km	
		$eiPg_Z$	19 33 48,7

International Seismological Centre

Date	Station	Phase	T.U. h m s
1.IX (suite)	NIE	Pgm_Z	19 33 49,6
		0,8^s; 0,033μ	
		e_Z	34 06,5
		F	35 30
	KSP	Δ=190 km	
		ePg_{NEZ}	19 33 55,2
		e_N,ei_E Sg	34 18,5
		F	35
	RBN	Traces	
		NE	19 33-35
	RAC	Traces	
		N	19 33 00-35 30
3.IX		H=19^{h}29^{m}35,3^s; M=2,6 (Chorzów); DGP(GIG): 19 29 42,2	
	CHZ	Δ=5 km	
		$1P_{NEZ}$	19 29 36,9 C
		iS_{NZ}	38,5
		Lm_Z	42
		1,1^s; 9,4μ	
		F	31
	RBN		
		e_E	19 29 47,1
		F	32
	KRA		
		e_{NZ},ei_E Pg	19 29(50,5)
		eSg_{NE}	(59,4)
		Lm_N	30 30
		1,4^s; 0,13μ	
		Lm_{EZ}	31
		1,3^s, 1,5^s; 0,13μ, 0,15μ	
		F	31 30
	NIE	Δ=132 km	
		ePg_Z	19 29 58,7
		eSg_Z	30 16,7
		F	31 30
	KSP		
		ei_N,e_{EZ} Pg	19 30(11,3)
		ei_N,i_E	(34,8)
		F	31 30
	RAC	Traces	
		NEZ	19 29 30-32 30
4.IX		DGP(GIG): 20 53 01,4	
	CHZ		
		ei_N,i_Z P	20 52 58,7 C

Date	Station	Phase	T.U. h m s
4.IX	CHZ	Lm_{NZ}	20 53 06
		1,0^s, 1,3^s; 5,0μ, 3,2μ	
		F	54
	KRA		
		e_E,ei_Z Pg	20 53 10,7
		e_{NZ}	20,0
		ei_Z	21,9
		ei_N,i_E	22,8
		Lm_Z	53
		1,3^s; 0,13μ	
		F	54 30
	NIE		
		$eiPg_Z$	20 53 22,1 D
		Pgm_Z	22,5
		0,8^s; 0,030μ	
		eSg_Z	41,7
		F	54 30
	KSP		
		ePg_{NE}	20 53 27,9
		ei_N,i_ESg	51,2
		F	54 30
	RBN	Traces	
		NE	20 53-55
	RAC	Traces	
		NZ	20 53 00-55 30
11.IX		H=17^{h}46^{m}32,5^s; M=2,6 (Kraków), 2,5 (Chorzów); DGP(GIG): 17 46 38,1	
	CHZ	Δ=10 km	
		ei_E,i_Z P	17 46 34,9 D
		iS_E	36,6
		Lm_{EZ}	42
		1,3^s; 4,3μ, 2,9μ	
		F	47 30
	RAC		
		e_Z	17 46 42,8
		F	49 30
	RBN		
		e_N	17 46 43,9
		F	48 30
	KRA	Δ=80 km	
		$eiPg_{EZ}$	17 46 46,9 D
		Pgm_Z	47,7
		0,7^s; 0,06μ	
		ei_{NZ}	56,5

Date	Station	Phase	T.U. h m s	
11.IX (suite)	KRA	Lm_Z	17 47 36	
		1,2^s; 0,07µ		
		F	48 30	
	KSP			
		Pg_{NEZ}	17 47(03)	
		eSg_{NZ}	26,6	
		F	48 30	
15.IX		DGP(GIG) : 16 30 09,0		
	CHZ			
		iP_{NEZ}	16 30 04,9	D
		i_Z	05,9	
		Lm_Z	09	
		1,2^s; 7,0µ		
		F	31	
	RBN			
		e_E	16 30 11,1	
		F	32	
	KRA			
		$ei Pg_Z$	16 30 18,2	
		ei_N, e_Z	26,6	
		Lm_Z	58	
		1,4^s; 0,10µ		
		F	32	
	NIE	ePg_Z	16 30 28,3	
		eSg_Z	46,1	
		F	32	
	KSP			
		$ei_{NZ}, e_E Pg$	16 30 36,0	
		e_N	58,7	
		ei_E, e_Z Sg	59,5	
		F	32	
	RAC	Traces		
		NEZ	16 30 00-32 30	
15.IX		H=17^{h}48^{m}09,4^s; M=2,8 (Kraków) ; DGP(GIG) : 17 48 18,0		
	CHZ	Δ=10 km		
		ePe_{EZ}	17 48 11,8	
		i_N, ei_Z S	13,7	
		F	49 30	
	RBN			
		e_E	17 48 16,2	
		F	50 30	
	RAC			
		e_Z	17 48 18,8	
		F	51 30	

Date	Station	Phase	T.U. h m s	
15.IX	KRA	Δ=82 km		
		$ei Pg_{EZ}$	17 48 24,2	D
		i_{NZ}, ei_E	33,8	
		Lm_Z	49 07	
		1,6^s; 0,15µ		
		F	50	
	NIE	Δ=139 km		
		ePg_Z	17 48 34,0	C
		Pgm_Z	35,0	
		0,9^s; 0,028µ		
		F	50	
	KSP	Δ=191 km		
		ePn_Z	17 48 40,3	
		i_{NE}, ei_Z Pg	41,2	
		eSn_N	49 02,8	
		i_N, ei_{EZ} Sg	03,7	
		F	50	
17.IX		H=08^{h}34^{m}21,6^s; M=3,0 (Kraków), 2,6 (Chorzów) ; DGP(GIG) : 08 34 27,3		
	CHZ	Δ=8 km		
		$ei P_Z$	08 34 23,7	
		$ei S_Z$	25,0	
		Lm_Z	30	
		1,2^s; 3,3µ		
		F	36 30	
	KRA	Δ=82 km		
		$ei Pg_{EZ}$	08 34 36,5	
		ei_N, e_Z	45,6	
		e_E	46,1	
		Lm_{NE}	35 19	
		1,4^s; 0,19µ, 0,18µ		
		Lm_Z	20	
		1,4^s; 0,23µ		
		F	36	
	NIE	Δ=146 km		
		ePg_Z	08 34 47,6	
		$eiSg_Z$	35 06,2	
		F	36 30	
	KSP	Δ=189 km		
		e_N, ei_{EZ} Pg	08 34 53,1	C
		ei_N, e_E Sg	35 15,7	
		F	36	
17.IX		H=08^{h}44^{m}06,0^s; M=2,6 (Chorzów, Kraków) ; DGP(GIG) : 08 44 10,4		
	CHZ	Δ=6km		
		i_{NZ}, ei_E P	08 44 07,3	C
		iS_Z	08,5	

International Seismological Centre

Date	Station	Phase	T.U. h m s	
17.IX (suite)	CHZ	Lm_Z	08 44 11	
		1,0^s; 6,6µ		
		F	45 30	
	KRA	Δ=70 km		
		$ei Pg_E$	08 44 18,7	
		ei_N, e_E	27,5	
		ei_E, e_Z Sg	28,4	
		Lm_Z	58	
		1,5^s; 0,11µ		
		F	45 30	
	NIE	Δ=134 km		
		$ei Pg_Z$	08 44 29,8	
		Pgm_Z	31	
		0,8^s; 0,033µ		
		eSg_Z	49,6	
		F	45 30	
	KSP	Δ=199 km		
		ei_{NE}, e_Z Pg	08 44 39,2	
		e_N	45 02,4	
		ei_E, e_Z Sg	03,5	
		F	30	
	RBN	Traces		
		NE	08 44-46	
	RAC	Traces		
		NEZ	08 44-46	
22.IX		H=09^{h}55^{m}24,5^s; M=2,6 (Chorzów, Kraków) ; DGP (GIG) : 09 55 30,1		

Date	Station	Phase	T.U. h m s	
22.IX	CHZ	Δ=9 km		
		e_N, i_{EZ} P	09 55 26,8	C
		$ei S_Z$	28,7	
		Lm_{EZ}	32	
		1,1^s, 1,2^s; 6,3µ, 4,0µ		
		F	56 30	
	KRA	Δ=75 km		
		ei_E, e_Z Pg	09 55 38,8	
		Pgm_Z	39,5	
		0,7^s; 0,04µ		
		eSg_{EZ}	49,3	
		Lm_Z	56 19	
		1,5^s; 0,09µ		
		F	57	
	NIE	Δ=147 km		
		iPg_Z	09 55 50,5	D
		Pgm_Z	51,5	
		0,9^s; 0,033µ		
		eSg_Z	56 09,8	
		F	57	
	KSP	Δ=197 km		
		e_{NE}, ei_Z Pg	09 55 57,4	
		eSg_{NEZ}	56 20,4	
		F	57	
	RBN	Traces		
		NE	09 55 30-57 30	
	RAC	Traces		
		NEZ	09 55 30-57 30	

1975 — O C T O B R E — 1975

1.X		DGP(GIG) : 22 06 40,4		
	CHZ	Z-inactive		
		ei_N, i_E P	22 06 37,0	
		Lm_{NE}	43	
		1,1^s; 10,6µ, 7,7µ		
		F	08	
	RBN			
		e_N	22 06 48,9	
		e_E	49,5	
		F	09	
	KRA			
		ePg_{NEZ}	22 06 49,4	
		Lm_N	07 30	
		1,4^s; 0,32µ		

1.X	KRA	Lm_{EZ}	22 07 31	
		1,4^s; 0,21µ, 0,39µ		
		F	08 30	
	NIE			
		Pg_Z	22 07(00)	
		ei_Z	18,5	
		F	08 30	
	KSP			
		e_{NE}, ei_Z Pg	22 07 07,2	
		e_N	26,8	
		e_{NE}, ei_Z Sg	30,4	
		F	08 30	
	RAC	Traces		
		NZ	22 06 30-09 30	

Date	Station	Phase	T.U. h m s	
2.X		H=18h47m04,3s; M=2,9 (Kraków); DGP(GIG): 18 47 06,3		
	CHZ	Z-inactive		
		P_{EZ}	18 47(07)	
		i_{NE}	10,9	
		Lm_E	17	
		1,2s; 7,0μ		
		Lm_N	18	
		1,0s; 5,8μ		
		F	49	
	KRA	Δ=55 km		
		i_{NZ}, e_E Pg	18 47 14,5	D
		Pgm_Z	16,2	
		0,9s; 0,18μ		
		i_{NE}, ei_Z Sg	22,1	
		Lm_{NE}	48	
		1,0s, 1,3s; 0,11μ, 0,14μ		
		Lm_Z	50	
		1,1s; 0,19μ		
		F	49	
	NIE	Δ=125 km		
		ePg_Z	18 47 26,6	
		Pgm_Z	28,5	
		0,7s; 0,134μ		
		i_Z	46,4	
		F	49 30	
	KSP	Δ=215 km		
		ePg_{NE}	18 47 40,3	
		ei_{NZ}, e_E Sg	48 05,7	
		F	49 30	
	RAC	Traces		
		NEZ	18 47-50	
4.X		H=09h45m42,5s; M=3,4 (Kraków); DGP(GIG): 09 45 49,0		
	CHZ	Δ=13 km, Z-inactive		
		iP_E	09 45 45,4	
		iS_{NE}	47,7	
		F	48	
	RBN			
		e_Z	09 45 50,0	
		e_{NE}	54,9	
		F	48 30	
	RAC			
		e_Z	09 45 53,1	
4.X	RAC	e_N	09 45 58,2	
		F	49	
	KRA	Δ=83 km		
		$eiPg_{EZ}$	09 45 57,5	D
		ei_{NE}	46 07,2	
		ei_Z	08,2	
		Lm_{EZ}	45	
		1,4s; 0,60μ, 0,50μ		
		F	48 30	
	NIE	Δ=144 km		
		ePg_Z	09 46 08,0	
		Pgm_Z	09,8	
		1,1s; 0,060μ		
		iSg_Z	27,0	
		F	48 30	
	KSP	Δ=184 km		
		ei_{NZ}, e_E Pg	09 46 13,3	
		ei_E	33,4	
		ei_E	35,8	
		i_{NZ}	36,4	
		F	48 30	
4.X		H=16h30m51,8s; M=3,3 (Kraków); DGP(GIG); DGP(GIG): 16 30 57,8		
	CHZ	Δ=14 km, Z-inactive		
		e_N, ei_E P	16 30 54,9	
		iS_{NE}	56,8	
		Lm_E	31 03	
		1,4s; 8,7μ		
		F	33	
	RAC			
		e_Z	16 31 02,9	
		e_N	07,0	
		F	34	
	RBN	Δ=35 km		
		eS_E	16 31 03,1	
		e_N	04,0	
		F	33 30	
	KRA	Δ=85 km		
		iPg_{EZ}	16 31 07,2	D
		i_Z	17,3	
		ei_N, i_E Sg	18,1	
		Lm_Z	54	
		1,5s; 0,45μ		
		F	33	

International Seismological Centre

Date	Station	Phase	T.U. h m s	
7.X (suite)	NIE	Δ=145 km		
		$ei Pg_Z$	16 31 17,4	C
		Pgm_Z	19,2	
		1,0s; 0,060μ		
		e_Z	35,8	
		F	33 30	
	KSP	Δ=187 km		
		$ei Pg_{NEZ}$	16 31 23,0	
		e_Z	44,0	
		e_{NE}, ei_Z Sg	45,8	
		F	33 30	
19.X		H=15h50m53,2s; M=2,9 (Kraków), 2,8 (Chorzów);		
	CHZ	Δ=6 km		
		iP_{EZ}	15 50 55,0	D
		Lm_{EZ}	51 00	
		1,0s, 1,1s; 16,5μ, 9,6μ		
		F	53	
	RAC	Δ=53 km		
		ePg_Z	15 51 03,1	
		e_N	07,8	
		F	54	
	KRA	Δ=74 km		
		e_E, ei_Z Pg	15 51 06,7	
		ei_Z	15,1	
		iSg_{NZ}	16,4	
		Lm_Z	47	
		1,5s; 0,19μ		
		F	53	
	RBN			
		e_N	15 51 07,0	
		F	53 30	
	NIE	Δ=136 km		
		$ei Pg_Z$	15 51 17,3	
		Pgm_Z	18,9	
		0,9s; 0,042μ		
		$ei Sg_Z$	34,9	
		F	53 30	
	KSP	Δ=192 km		
		i_N, ei_{EZ} Pg	15 51 25,3	D
		ei_N	48,1	
		ei_E, e_Z Sg	49,0	
		F	52 30	
21.X		DGP(GIG): 21 41(19,4)		
	CHZ			
		iP_{NEZ}	21 41 23,7	C
21.X	CHZ	Lm_Z	21 41 27	
		1,4s; 11,3μ		
		F	43	
	KRA			
		ei_E, i_Z Pg	21 41 35,7	C
		Pgm_Z	36,4	
		0,8s; 0,10μ		
		ei_{NE}, i_Z	46,2	
		Lm_{NZ}	42 15	
		1,3s; 0,20μ, 0,21μ		
		Lm_E	16	
		1,4s; 0,22μ		
		F	43 30	
	NIE			
		ePg_Z	21 41 46,5	
		Pgm_Z	48,4	
		0,8s; 0,076μ		
		e_Z	42 02,6	
		F	43 30	
	KSP			
		e_E, ei_Z Pn	21 41 56,3	
		iPg_{NEZ}	57,0	
		e_N, ei_{EZ} Sg	42 20,9	
		F	44	
	RAC	Traces		
		NZ	21 41 30-44 00	
23.X		H=04h35m44.1s; M=3,1 (Kraków), 2.6 (Chorzów); DGP(GIG): 04 35 49,0		
	CHZ	Δ=8 km		
		iP_Z	04 35 46,1	D
		iS_Z	47,7	
		Lm_Z	52	
		1,3s; 5,6μ		
		F	37	
	KRA	Δ=82 km		
		e_N, i_{EZ} Pg	04 35 59,0	D
		ei_N	36 08,2	
		e_E	09,2	
		iSg_{NE}	09,8	
		Lm_{NEZ}	40	
		1,3s; 0,15μ, 0,16μ, 0,24μ		
		F	38	

Date	Station	Phase	T.U. h m s
23.X (suite)	KSP	Δ=191 km	
		ePg_{NEZ}	04 36 16,0
		$ei_N.e_E$ Sg	39,0
		F	37 30
	RBN	Traces	
		NE	04 36-38
	RAC	Traces	
		NZ	04 35 30-38 00
24.X		H=01h16m16,2s; M=2,7 (Chorzów), 2,6 (Kraków); DGP (GIG): 01 16 20,6	
	CHZ	Δ=8 km	
		$ei P_{EZ}$	01 16 18,3 C
		Lm_{EZ}	24
		1,2s, 1,3s; 8,0μ, 6,2μ	
		F	17 30
	RBN		
		e_E	01 16 25,0
		F	18 30
	KRA	Δ=76 km	
		$ei_E.e_Z$ Pg	01 16 30,0
		Pgm_Z	31,1
		0,8s; 0,06μ	
		eSg_Z	40,5
		ei_F	42,5
		Lm_Z	17 20
		1,2s; 0,08μ	
		F	18
	NIE		
		$eiPg_Z$	01 16(42,2) C
		Pgm_Z	(43,7)
		1,0s; 0,034μ	
		F	18
	KSP	Δ=195 km	
		ei_N, i_{EZ} Pg	01 16 48,8 C
		eSg_N	17 11,9
		e_Z	12,8
		F	18 30
	RAC	Traces	
		NZ	01 16 00-18 30
27.X		H=06h12m32,3s; M=2,5 (Kraków); DGP(GIG): 06 12 36,1	
	CHZ	Δ=5 km	

Date	Station	Phase	T.U. h m s
27.X	CHZ	$ei_N, i_Z P$	06 12 33,8 C
		iS_Z	35,2
		F	13 30
	KRA	Δ=70 km	
		ePg_{EZ}	06 12 45,1
		e_N	54,1
		eSg_{FZ}	54,7
		Lm_{FZ}	13 26
		1,3s, 1,1s; 0,12μ, 0,06μ	
		F	14
	NIE		
		ePg_Z	06 12(58,0)
		eSg_Z	13(16,9)
		F	14
	KSP	Δ=203 km	
		e_N, ei_{EZ} Pg	06 13 06,2
		e_N	29,5
		ei_N, e_{EZ} Sg	30,4
		F	14
	RBN	Traces	
		NE	06 12 30-14 00
	RAC	Traces	
		Z	06 12 30-14 30
30.X		φ=50°16,5'N; λ=18°52,5'E; H=20h11m39,7s; M=3.4 (Kraków); DGP: P_Z 20 11 44,4	
	CHZ	Δ=8 km	
		iP_{NEZ}	20 11 42,2 C
		F	14 30
	RBN	Δ=31 km	
		ei_Z	20 11 46,9
		$i_E.ei_Z$	51,7
		F	15
	RAC	Δ=53 km	
		e_Z	20 11 50,3
		ei_N	55,2
		F	16 30
	KRA	Δ=79 km	
		ei_N, i_{EZ} Pg	20 11 54,0 C
		Pgm_Z	55,0
		0,9s; 0,39μ	
		i_Z	12 02,7
		ei_N, i_Z	03,4
		i_N, ei_E Sg	04,2
		Lm_N	43
		1,2s; 0,40μ	

International Seismological Centre

Date	Station	Phase	T.U. h m s
30.X (suite)	KRA	Lm_{FZ}	20 12 44
		1,2s; 0,47μ. 0,44μ	
		F	15
	NIE	Δ=139 km	
		ePg_{NEZ}	20 12 04,2
		iSg_E	21,8
		F	15

Date	Station	Phase	T.U. h m s
30.X	KSP	Δ=191 km	
		ePn_{NEZ}	20 12 10,0
		$eiPg_{EZ}$	11,2
		ei_N	33,6
		iSg_{NE}	34,9
		ei_Z	35,9
		F	15

1975 — NOVEMBRE — 1975

Date	Station	Phase	T.U. h m s
6.XI		H=08h30m53,0s; DGP(GIG): 08 30 58,9	
	NIE		
		eiP_{NEZ}	08 30(54,6) C
		$ei_N.i_E$	(56,4)
		F	32 30
	RAC		
		e_E	08 31 04,0
		F	34
	RBN	e_{NE}	08 31 07,1
		F	33
	KRA	Δ=83 km	
		e_N, ei_{EZ} Pg	08 31 08,0 D
		i_E, ei_Z Sg	19,0
		F	33
	KSP	Δ=187 km	
		e_N, ei_{EZ} Pg	08 31 24,3 D
		ei_N, e_{EZ} Sg	47,0
		F	33
7.XI		H=19h38m37,5s; M=2,7 (Chorzów), 2,6 (Kraków); DGP (GIG): 19 38 38,8	
	CHZ	Δ=16 km	
		eiP_Z	19 38 41,0
		ei_Z	45,1
		Lm_Z	51
		1,4s; 3,0μ	
		F	39 30
	KRA	Δ=56 km	
		$eiPg_{EZ}$	19 38 47,8
		$eiSg_{NEZ}$	55,3
		Lm_Z	39 18
		1,1s; 0,10μ	
		F	40

Date	Station	Phase	T.U. h m s
7.XI	KSP	Δ=219 km	
		ePg_{EZ}	19 39 14,0
		$eiSg_{NZ}$	40,0
		F	40
	RBN	Traces	
		NE	19 39 00-40 30
	RAC	Traces	
		NEZ	19 38 30-41 30
13.XI		DGP(GIG): 04 53 41,5	
	RAC		
		e_{NEZ}	04 53 46,5
		ei_E	53
		ei_{NE}	56
		F	57
	KRA		
		ei_N, i_{EZ} Pg	04 53 48,8 C
		Pgm_Z	50,3
		0,8s; 0,13μ	
		i_{NEZ}	58,8
		Lm_{NEZ}	54 30
		1,4s; 0,22μ, 0,29μ, 0,27μ	
		F	55
	KSP		
		iPg_{NEZ}	04 54 09,9
		iSg_{NEZ}	34,4
		F	55
18.XI		H=03h41m09,2s; M=2,9 (Kraków), 2,7 (Chorzów); DGP(GIG): 03 41 16,8	
	CHZ	Δ=10 km	
		eiP_{NEZ}	03 41 11,6
		Lm_Z 1,2s; 5,0μ	19 43
		F	

Date	Station	Phase	T.U. h m s	
18.XI (suite)	RBN			
		e_N, ei_E	03 41 21,9	
		F	44	
	KRA	Δ=82 km		
		ePg_{EZ}	03 41 23,8	
		Pgm_Z	25,3	
		0,7s; 0,06μ		
		$eiSg_{NZ}$	34,4	
		i_{EZ}	35,8	
		Lm_Z	42 09	
		1,5s; 0,19μ		
		F	43 30	
	RAC			
		e_N	03 41 26,0	
		F	44 30	
	NIE	Δ=145 km		
		$eiPg_Z$	03 41 35,0	D
		Pgm_Z	36,9	
		0,9s; 0,056μ		
		ei_Z	57,0	
		F	43 30	
	KSP	Δ=191 km		
		e_{NE}, i_Z Pg	03 41 41,0	D
		Pgm	41,7	
		0,5s; 0,037μ		
		i_N, e_Z Sg	42 04,0	
		F	43 30	
23.XI		DGP(GIG): 03 30 54,7		
	CHZ			
		eP_{EZ}	03 30 51,2	
		i_{EZ}	53,2	
		F	32	
	KRA			
		Pg_{NEZ}	03 31 (02)	
		ei_N, e_Z	12,9	
		Lm_Z	48	
		1,5s; 0,18μ		
		F	32 30	
	KSP			
		$eiPg_{NEZ}$	03 31 21,6	
		ei_N	42,1	
		$eiSg_{NE}$	43,4	
		ei_Z	44,5	
		F	33	
	RBN	Traces		
		NE	03 31-33	

Date	Station	Phase	T.U. h m s	
23.XI	RAC	Traces		
		NEZ	03 31-34	
24.XI		DGP(GIG): 07 35 35,9		
	CHZ			
		i_E, ei_Z P	07 35 32,1	
		Lm_Z	37	
		1,3s; 8,0μ		
		F	36 30	
	RBN			
		e_E	07 35 39,2	
		F	37 30	
	RAC			
		e_Z	07 35 43,3	
		e_N	45,1	
		F	38	
	KRA			
		$eiPg_Z$	07 35 44,7	
		ei_N, e_Z	53,5	
		F	37 30	
	KSP			
		ei_N, i_{EZ} Pg	07 36 03,6	C
		$eiSg_{NEZ}$	27,0	
		F	37 30	
30.XI		H=05h18m49,8s; M=2,8 (Kraków); DGP(GIG): 05 18 54,3		
	CHZ	Δ=11 km		
		e_E, ei_Z P	05 18 52,4	C
		iS_{NEZ}	54,3	
		F	19 30	
	KRA	Δ=80 km		
		ePg_{EZ}	05 19 04,3	
		ei_N, i_Z Sg	14,6	
		Lm_Z	49	
		1,4s; 0,14μ		
		F	20 30	
	KSP	Δ=189 km		
		ePg_{NE}	05 19 21,3	
		eSg_{NE}	43,4	
		F	20 30	
	RBN	Traces		
		NE	05 19-21	
	RAC	Traces		
		NEZ	05 19-22	

International Seismological Centre

Date	Station	Phase	T.U. h m s	
1975		DÉCEMBRE		1975
6.XII		H=12h01m29,5s; M=2,5 (Chorzów); DGP(GIG): 12 01 36,7		
	CHZ	Δ=7 km		
		iP_{EZ}	12 01 31,4	D
		iS_N	32,8	
		Lm_Z	36	
		1,2s; 4,9μ		
		F	02 30	
	RBN			
		e_E	12 01 37,4	
		e_N	38,3	
		F	03	
	KRA	Δ=76 km		
		ePg_{EZ}	12 01 43,3	
		e_N	52,8	
		$eiSg_Z$	53,4	
		F	03	
	NIE			
		ePg_Z	12 01 54,7	
		Pgm_Z	56,1	
		1,0s; 0,017μ		
		eSg_Z	02 12,6	
		F	03	
	KSP	Δ=191 km		
		e_N, ei_{EZ} Pg	12 02 01,4	D
		Pgm	02,0	
		0,4s; 0,029μ		
		e_N, ei_{EZ} Sg	25,5	
		F	03	
	RAC	Traces		
		NEZ	12 01 30-03 30	
7.XII		DGP(GIG): 04 09 46,6		
	CHZ			
		e_E, ei_Z P	04 09 39,4	C
		i_E	41,8	
		Lm_Z	45	
		1,2s; 5,6μ		
		F	10 30	
	RBN			
		e_{EZ}	04 09 46,4	
		F	12	

Date	Station	Phase	T.U. h m s	
7.XII	KRA			
		$e(Pg)_Z$	04 09 52,4	
		ei_N, e_Z	10 01,3	
		Lm_{EZ}	33	
		1,2s; 0,09μ, 0,07μ		
		F	11 30	
	NIE			
		$eiPg_Z$	04 10 03,6	
		Pgm_Z	04,6	
		1,0s; 0,013μ		
		$eiSg_Z$	22,2	
		F	11	
	KSP			
		e_N, ei_{EZ} Pg	04 10 11,5	D
		Z: 0,5s; 0,031μ		
		ei_E, e_Z	34,8	
		ei_N, e_Z	35,9	
		F	11 30	
	RAC	Traces		
		NEZ	04 09 30-12 30	
13.XII		DGP(GIG): 17 48 50,4		
	CHZ	i_E, ei_Z P	17 48 47,1	C
		i_E	48,9	
		Lm_Z	51	
		1,1s; 4,0μ		
		F	50	
	KRA			
		ei_E, e_Z Pg	17 48 59,7	
		e_Z	49 09,3	
		e_E	10,0	
		Lm_Z	41	
		1,2s; 0,07μ		
		F	50 30	
	NIE			
		$eiPg_Z$	17 49 10,6	D
		Pgm_Z	11,6	
		1,0s; 0,022μ		
		eSg_Z	27,4	
		F	50 30	
	KSP			
		ei_{NZ}, e_E Pg	17 49 18,6	C
		F	50 30	

Date	Station	Phase	T.U. h m s	
13.XII (suite)	RBN	Traces		
		NE	17 48 30-50 30	
	RAC	Traces		
		NEZ	17 48 30-51 00	
14.XII		H=11^{h}20^{m}07,7^s; M=3,0 (Kraków); DGP(GIG): 11 20 12,8		
	CHZ	Δ=9 km		
		$1P_{EZ}$	11 20 09,9	
		$1S_{EZ}$	11,8	
		F	2- 30	
	RAC			
		e_Z	11 20 20,4	
		e_N	33,5	
		F	22 30	
	KRA	Δ=84 km		
		ePg_{EZ}	11 20 22,9	
		e_N,ei_E	31,9	
		ei_Z	32,8	
		Lm_Z	58	
		1,6^s; 0,24μ		
		F	22	
	NIE	Δ=148 km		
		iPg_Z	11 20 34,1	D
		Pgm_Z	35,1	
		0,9^s; 0,034μ		
		$eiSg_Z$	52,8	
		F	22	
	KSP	Δ=189 km		
		ePg_{NZ}	11 20 39,3	
		e_N	21 00,7	
		ei_N,e_{EZ} Sg	02,4	
		F	22	
	RBN	Traces		
		NE	11 20 - 22	
15.XII		H=03^{h}55^{m}05,5^s; M=2,6(Kraków), 2,1 (Chorzów); DGP (GIG): 03 55 09,2		
	CHZ	Δ=3 km		
		ei_{NE},i_Z P	03 55 06,7	C
		Lm_Z	10	
		1,1^s; 5,9μ		
		F	56	
	KRA	Δ=71 km		
		ePg_{EZ}	03 55 18,5	

Date	Station	Phase	T.U. h m s	
15.XII	KRA	ei_N,e_Z	03 55 27,0	
		ei_E,i_Z Sg	28,0	
		Lm_Z	56	
		1,3^s; 0,09μ		
		F	56 30	
	RBN			
		e_N	03 55 22,3	
		F	56 30	
	NIE	Δ=140 km		
		ePg_Z	03 55 30,3	
		eSg_Z	49,3	
		F	56 30	
	RAC	Traces		
		NEZ	03 55 00-57 30	
18.XII		DGP(GIG): 13 14 28,7		
	CHZ			
		e_E,ei_Z P	13 14 33,0	
		Lm_Z	41	
		1,2^s; 4,7μ		
		F	16	
	KRA			
		$eiPg_{EZ}$	13 14 39,8	
		Pgm_Z	41,8	
		0,9^s; 0,13μ		
		ei_{NZ}	47,8	
		ei_{EZ}	48,7	
		Lm_Z	15 08	
		1,0^s; 0,16μ		
		Lm_{NE}	09	
		1,2^s, 1,0^s; 0,18μ, 0,13μ		
		F	16 30	
	NIE			
		ePg_Z	13 14 51,7	
		Pgm_Z	53,0	
		0,8^s; 0,074μ		
		$eiSg_Z$	15 07,5	
		F	16 30	
	KSP			
		ePg_{NEZ}	13 15 05,0	
		eSg_{NEZ}	30,5	
		F	16 30	
	RBN	Traces		
		NE	13 14 30-16 30	
	RAC	Traces		
		NEZ	13 14 30-17 00	

Date	Station	Phase	T.U. h m s	
19.XII		H=14 52 02,3; M=2,6 (Chorzów); DGP(GIG): 14 52 06,2		
	CHZ	Δ=6 km. E-illisible		
		ei_N,i_Z P	14 52 04,1	C
		iS_Z	05,2	
		Lm_Z	07	
		1,1^s; 6,0μ		
		F	53	
	KRA	Δ=68 km		
		ePg_{EZ}	14 52 14,8	
		e_N	24,3	
		e_{EZ}	24,8	
		F	53 30	
	NIE			
		ePg_Z	14 52 25,6	
		Pgm_Z	26,8	
		0,8^s; 0,029μ		
		e_Z	45,0	
		F	53 30	
	KSP			
		ePg_{NEZ}	14 52 35,4	
		eSg_{NE}	59,0	
		F	53 30	
	RBN	Traces		
		NE	14 52 00-53 30	
	RAC	Traces		
		NEZ	14 52-54	
24.XII		DGP(GIG): 16 22 07,2		
	CHZ			
		eiP_Z	16 22 05,3	
		Lm_Z	11	
		1,1^s; 4,8μ		
		F	23 30	
	RBN			
		e_E	16 22 11,5	
		F	24	
	RAC			
		e_Z	16 22 13,9	
		e_E	18,0	
		F	25	
	KRA			
		ePg_{EZ}	16 22 17,2	
		ei_N,e_Z	26,8	
		e_E	27,5	
		Lm_Z	56	
		1,5^s; 0,12μ		
		F	24	

Date	Station	Phase	T.U. h m s	
24.XII	NIE	$eiPg_Z$	16 22 27,8	D
		Pgm_Z	28,6	
		0,9^s; 0,025μ		
		eSg_Z	45,6	
		F	24	
	KSP			
		$eiPg_{NEZ}$	16 22 35,7	D
		Pgm_Z	36,4	
		0,5^s; 0,033μ		
		eSg_{NEZ}	59,0	
		F	24	
25.XII		DGP(GIG): 01 28 15,0		
	CHZ			
		$1P_{EZ}$	01 28 12,7	C
		Lm_Z	20	
		1,4^s; 7,1μ		
		F	30	
	RAC			
		e_Z	01 28 22,0	
		e_N	31,1	
		F	31 30	
	KRA			
		e_E,ei_Z Pg	01 28 24,9	D
		e_N	34,2	
		$ei(Sg)_{EZ}$	34,7	
		Lm_{NZ}	58	
		1,5^s, 1,3^s; 0,26μ, 0,14μ		
		F	30	
	NIE			
		$eiPg_Z$	01 28 35,2	C
		Pgm_Z	36,1	
		0,9^s; 0,030μ		
		e_Z	52,0	
		F	30 30	
	KSP			
		ePg_{EZ}	01 28 42,8	
		$eiSg_{NE}$	29 05,3	
		ei_Z	06,5	
		F	30	
	RBN	Traces		
		NE	01 28 30-30 30	

International Seismological Centre

TOUTES LES AUTRES RÉGIONS

Date	Station	Phase	T.U. h m s
9.I		Pologne, mine Polkowice, $E=3,7 \times 10^5$	
	KSP	Δ = 71 km	
		$eiPg_Z$	17 33 57,4
		$eiSg_{NEZ}$	34 06,9
		F	34,5
11.I		Pologne, mine Lubin. $E=3,4 \times 10^5$	
	KSP	$\Delta \approx 60$ km	
		ePg_{NEZ}	01 14 14
		$eiSg_{NEZ}$	22,5
		F	14,8
24.I		Tchécoslovaquie, région de Cieszyn? PRU: ePg 13 59 46, eiSg 14 00 17	
	KSP	$\Delta \approx 175$ km	
		iPg_{NEZ}	13 59 34,9
		$0,4^s$; -0,035µ, (+)0,015µ, -0,054µ	
		iSg_{NEZ}	55,9
		Rgm_{NEZ}	57,4
		$0,5^s$; 0,040µ, 0,082µ, 0,056µ	
		F	14 00,5
	KRA	Traces	
		$ei(Pg)_Z$	13 59 34,9
		$0,6^s$; 0,039µ	
25.I			
	KSP	Δ=40 km	
		iPg_{NEZ}	02 13 03,4
		$0,25^s$; 0,028µ, 0,010µ, 0,015µ	
		iSg_{NEZ}	07,4
		Lm_{NEZ}	13
		$0,7^s$; 0,024µ 0,035µ, 0,035µ	
26.I		Pologne, $E=1,6 \times 10^5$	
	KSP	Δ=63 km	
		$eiPg_{NZ}$	16 32 10,6
		$eiSg_{NEZ}$	19,1
		F	32,9
8.II		Tchécoslovaquie, région de Cieszyn. φ =49,6°N, λ =18,3°E	
	RAC	$\Delta \approx 50$ km	
		ePg_{NEZ}	18 21 15
		e_{NEZ}	23
		F	24
	RBN	$\Delta \approx 50$ km. Traces	
		e_{NE}	18 21 18
		F	23
	NIE	$\Delta \approx 140$ km	
		ePg_Z	18 21 30
		$0,8^s$; 0,008µ	
		$e(Sg)_E$	48
	KSP	$\Delta \approx 200$ km	
		$eiPg_{NZ}$	18 21 39,3
		$eiSg_{NEZ}$	22 00,3
		F	22,6
12.II		Pologne, région de Lubin?	
	KSP	$\Delta \approx 65$ km	
		$eiPg_Z$	20 57 02,5
		$eiSg_{NEZ}$	10,0
		F	40
15.II		Pologne, explosion de 1760 kg. φ =50°37'N, λ =16°24'E	
	KSP	Δ=7 km	
		iPg_{NEZ}	08 59 16,1
		$0,3^s$; +0,082µ, +0,033µ, +0,082µ	
		i_{NEZ}	20,1
		$0,3^s$; 0,029µ, 0,080µ, 0,093µ	
		F	59,9
15.II		Pologne, H=$13^h47^m37^s$	
	KRA	$\Delta \approx 30$ km	
		iPg_{NEZ}	13 47 43,2
		$0,6^s$; +0,075µ, (+)0,05µ, +0,038µ	
		iSg_{NEZ}	47,7
		F	48,7
20.II		Pologne, Basse Silésie	
	KSP	$\Delta \approx 35$ km	
		iPg_{NEZ}	22 47 21,5
		NEZ: -, +, -	
		iSg_{NEZ}	26,5
		iL_{NEZ}	30
		$0,9^s$; 0,01µ, 0,04µ, 0,033µ	
		F	48,8
8.III		Région frontière Pologne--Tchécoslovaquie; Tatra ?	
	NIE	$\Delta \approx 40$ km	
		iPg_Z	05 02 23,0
		i_{NEZ}	24,2
		iSg_{NEZ}	29,0
		iRg_{NEZ}	33,0
		Rgm_{NZ}	35
		$0,5^s$; 0,74µ, 0,19µ	
		F	04,5
	KRA	$\Delta \approx 85$ km	
		$i(Pg)_{NZ}$	05 02 30,1
		iSg_{NZ}	41,6
		F	03,9
	RAC		
		ePg_{NEZ}	05 02 34
		F	05
	KSP	$\Delta \approx 245$ km	
		$eiPg_{NEZ}$	05 03 00,7
		$eiSg_{NEZ}$	32,2
		F	04,8
18.III		Région frontière Pologne--Tchecoslovaquie	
	RBN	$\Delta \approx 20$ km	
		ePg_{NE}	00 28 11
		eSg_{NE}	14
		eL_{NE}	18
		F	29,0
	RAC		
		$i_E, e_Z(Pg)$	00 28 13,5
		eL	38
		F	30,0
	NIE	$\Delta \approx 150$ km	
		ePg_Z	00 28 32
		ei_Z	36
		$ei(Sg)_Z$	52,5
18.III	KSP	Traces	
		e_Z	00 28 56
		F	29,3
20.III		Tchécoslovaquie, Carpathes ?	
	NIE	$\Delta \approx 70$ km	
		iPg_Z	15 00 39,5 C
		$0,8^s$; 0,041µ	
		iSg_Z	49,0
		i_Z	53,8
		Lm_Z	01 03
		$1,0^s$; 0,15µ	
	KRA	$\Delta \approx 140$ km	
		iPg_{NEZ}	15 00 52,7
		NEZ: -; -; + $0,8^s$, 0,051µ	
		iSg_{NEZ}	01 10,5
		Rgm_{NEZ}	12
		$0,8^s$; 0,17µ, 0,22µ, 0,076µ	
22.III		Tchécoslovaquie, Carpathes ? PRU: iPg 12 00 31,0, iSg 00 43,0	
	NIE	$\Delta \approx 110$ km	
		iPg_Z	11 59 37.0 D
		$0,9^s$; 0,022µ	
		i_Z	40,4
		$i(Sg)_Z$	51,0
		Lm_Z	12 00 07
		$1,1^s$; 0,075µ	
		F	02,0
	KRA	$\Delta \approx 155$ km	
		iPg_{NEZ}	11 59 50.2
		+, (+), $+0,6^s$; 0,039µ	
		iSg_{NEZ}	12 00 10,2
		F	01,0
	KSP	Δ=290 km	
		ePg_{EZ}	12 00 43,5
		iSg_{NEZ}	01 06,0
		F	02,1
25.III		Pologne, mine Polkowice, $E=2,3 \times 10^6$, PRU:eiPg 09 28 20,2, eiSg 28 44, KHC: ePg 09 28 41, eiSg 29 21,5	

International Seismological Centre

Date	Station	Phase	T.U. h m s
25.III (suite)	KSP	Δ ≈ 50 km	
		iPg_{NEZ}	09 28 00,6
		FZ: +, -	
		iSg_{NEZ}	07,6
		i_{NEZ}	23,1
		Rgm_{NEZ}	24,6
		$0,3^s$; 0,075μ, 0,070μ, 0,11μ	
		F	29,7
26.III		Tchécoslovaquie, Carpathes ?	
	NIE		
		$eiPg_Z$	10 00 33
		i_Z	43,5
		i_Z	49,5
	KSP		
		iPg_{NEZ}	10 01 11,7
		F	01,6
12.IV		Pologne, carrière Słupiec, $\varphi = 50^o34'N$, $\lambda = 16^o32'N$, explosion de 15 tonnes, PRU: iPg 09 00 14,5, eiSg 00 34,5; KHC: eiSg 09 01 04	
	KSP	Δ=6 km	
		iPg_{NEZ}	08 59 54,4
		$0,2^s$; +0,11μ, -0,035μ, +0,083μ	
		Lm_{NE}	09 00 04
		1^s; 0,25μ, 0,25μ	
		F	01,3
14.IV			
	KSP	Δ ≈ 210 km	
		iPg_{NEZ}	09 35 00,3
		$0,5^s$; 0,022μ, 0,022μ, 0,036μ	
		iSg_{NEZ}	27,3
		F	35,7
17.IV		Tchécoslovaquie, PRU: explosion de 15,6 tonnes; $\varphi = 50,76^oN$, $\lambda = 14,42^oE$; ePg 09 00 16,0, eiSg 00 25,6 E; KHC: eiSg 09 00 55	
	KSP	Δ=134 km	
		Pg_{NEZ}	09 00 23,7
		$0,5^s$; 0,015μ, 0,056μ, 0,061μ	

Date	Station	Phase	T.U. h m s
17.IV	KSP	$1Sg_{NEZ}$	09 00 39,2
		Rgm_{NEZ}	42,2
		$0,5^s$; 0,099μ, 0,096μ, 0,20μ	
		F	04,6
20.IV		Pologne, région de Lubin, mine Polkowice, E=7,7 x 10^6; PRU: eiPg 22 31 44, eiSg 32 08	
	KSP	Δ ≈ 50 km	
		iPg_{NEZ}	22 31 22,6
		NZ: + -	
		$eiSg_{NEZ}$	29,6
		F	32,8
26.IV		Pologne, Basse Silésie, H=$10^h36^m37^s$; PRU: iPg 10 37 03,2, iSg 37 23,5; KHC: eiPn 10 37 18, eiPg 37 24, eiSg 37 58	
	KSP	Δ ≈ 35 km	
		iPg_{NEZ}	10 36 43,3
		$0,5^s$; 0,054μ, 0,053μ, 0,071μ	
		iSg_{NEZ}	47,8
		Lm_{NE}	49,8
		$0,5^s$; 0,44μ, 0,48μ	
		Lm_Z	54,8
		$0,5^s$; 0,65μ	
		F	40,1
	NIE		
		$e(Pg)_Z$	10 37 28
24.V		Pologne, région de Lubin, mine	
	KSP	Δ ≈ 65 km	
		iPg_{NEZ}	05 22 40,9
		NZ: $0,2^s$; +0,015μ, -0,015μ	
		iSg_{NEZ}	49,5
		$0,2^s$; 0,027μ, 0,029μ, 0,029μ	
		F	24,0
25.V		Carpathes ?	
	NIE	Δ ≈ 58 km	
		iPg_{NEZ}	02 05 12,1

Date	Station	Phase	T.U. h m s
25.V (suite)	NIE	i_{NE}	02 05 13,6
		iSg_{NEZ}	20,0
		Lm_{NEZ}	24
		$0,8^s$; 0,4μ, 0,15μ, 0,13μ	
		F	07,0
	KRA	Δ ≈ 140 km	
		iPg_{NZ}	02 05 21,1 C
		e_{NZ}, i_F Sg	39,6
28.V		Pologne, région de Lubin, mine Polkowice; E=5,0 x 10^5	
	KSP	Δ ≈ 65 km	
		$eiPg_{NEZ}$	02 31 05,3
		$eiSg_{NEZ}$	13,8
		F	32,0
1.VI		Pologne, région de Lubin, mine Polkowice; E=7,0 x 10^5; PRU: ePg 21 16 23	
	KSP	Δ ≈ 60 km	
		$eiPg_{NEZ}$	21 15 42,3
		NZ: $0,4^s$; +0,013μ, -0,013μ	
		$eiSg_{NEZ}$	50,3
		$0,5^s$; 0,025μ, 0,030μ, 0,025μ	
		F	17,0
5.VI		Pologne, région de Wałbrzych PRU: eiPg 09 33 01, eiSg 33 21,5	
	KSP	Δ ≈ 25 km	
		iPg_{NEZ}	09 32 38,1
		NZ: $0,5^s$; 0,030μ, 0,030μ	
		iSg_{NEZ}	42,1
		$0,6^s$; 0,060μ, 0,040μ, 0,040μ	
		F	33,7
6.VI		Pologne, région de Lubin; mine Polkowice, E=4,2 x 10^6; PRU: iPg 06 15 23, eiSg 16 46	
	KSP	Δ ≈ 65 km	
		i_{NZ}, ei_E Pg	06 16 02,7
		iSg_{NEZ}	11,2
		F	17,5

Date	Station	Phase	T.U. h m s
7.VI		Pologne, mine Lubin, E=5,4 x 10^7 PRU: ePg 09 20 30, iSg 20 57	
	KSP	Δ ≈ 65 km	
		iPg_{NEZ}	09 20 04,0
		$0,2^s$; +0,015μ, +0,015μ, -0,018μ	
		iSg_{NEZ}	13,0
		$0,2^s$; 0,039μ, 0,060μ, 0,039μ	
		F	22,3
21.VI		Région frontière Pologne--Tchécoslovaquie; PRU: iPg 07 55 10,5, iSg 55 25; KHC: eiPn 07 55 32, eiPg 55 36, eiSn 55 56, eiSg 56 00	
	KSP	Δ ≈ 67 km	
		iPg_{NEZ}	07 54 59,5
		iSg_{NEZ}	55 08,5
		Lm_{NEZ}	18,0
		$0,7^s$; 0,10μ, 0,065μ, 0,10μ	
		F	56,6
7.VII		Pologne, région de Lubin ? PRU: eiPn 00 37 56,5, eiSn 38 17,5, eiSg 38 26,5	
	KSP	Δ ≈ 60 km	
		i_{NE}, ei_Z Pg	00 37 36,4
		-, ?, +	
		iSg_{NEZ}	44,4
		iRg_{NEZ}	50,4
		$0,3^s$; 0,072μ, 0,092μ, 0,054μ	
		F	38,4
11.VII		Pologne, région de Lubin, mine Polkowice.	
	KSP	Δ ≈ 55 km	
		$eiPg_{NEZ}$	19 59 23,3
		$ei_{NZ}Sg$	30,8
		i_{EZ}	32,8
		F	20 00,1
1.VIII		Slovaquie, PRU: ePg 12 35 03, eiSg 35 44,5	
	RAC	Δ ≈ 120 km	
		eP_{NEZ}	12 34 28

International Seismological Centre

Date	Station	Phase	T.U. h m s
1.VIII (suite)	RAC	e_Z	12 34 31
		$ei(S)_{NE}$	44
		F	36,0
	KRA	Δ ≈ 125 km	
		ei_{NE}, i_Z Pg	12 34 29,2 D
		Z: 0,7^s; 0,062μ	
		i_{NEZ}	31,5
		iSg_{NEZ}	45,5
		F	35,8
	KSP	Δ ≈ 255 km	
		ePn_{NEZ}	12 34 48,0
		iPg_{NEZ}	53,5
		Z: 0,6^s; 0,034μ	
		$eiSg_{NEZ}$	35 20,5
		F	36,4
7.VIII		Pologne, région de Lubin, mine Polkowice, E=2,7 x 10^6; PRU: eiPg 20 21 51, eiSg 22 21,5	
	KSP	Δ ≈ 60 km	
		i_{NZ}, ei_E Pg	20 21 30,0
		$eiSg_{NEZ}$	38,0
		F	22,5
16.VIII		Pologne, mine Lubin, E=3,0 x 10^6; PRU: eiPn 23 50 41,5, eiPg 50 43,5 eiSn 51 00,5, eiSg 51 07,5; KHC: eiPg 23 51 02,5	
	KSP	Δ ≈ 55 km	
		i_{NZ}, ei_E Pg	23 50 21,5
		iSg_{NEZ}	29,0
		Rgm_{NEZ}	30
		0,4^s, 0,4^s, 0,3^s; 0,039μ, 0,054μ, 0,036μ	
		F	52,5
	RAC		
		e(P)	23 50 48
17.VIII		Pologne, mine Lubin, E=1,2 x 10^8; PRU: iPn 11 41 30,0, iPg 41 32, eiSn 41 40, iSg 41 55, KHC: eiPn 11 41 45,4, eiPg 41 51, eiSn 42 22, eiS_g 42 32; MOX: ePn 11 41 47, iPg 41 54,7	

Date	Station	Phase	T.U. h m s
17.VIII	KSP	Δ≈55 km	
		iPg_{NEZ}	11 41 10,6
		0,1^s; +0,10μ, +0,040μ, -0,074μ	
		iSg_{NEZ}	17,7
		Rgm_{NE}	20
		0,5^s; 0,14μ, 0,24μ	
		Rgm_Z	22,5
		0,6^s; 0,19μ	
		F	45,0
	RAC	Δ ≈ 200 km	
		iPg_Z	11 41 35 C
		eRg_{NE}	42 05
		F	44,5
	KRA	Δ ≈ 280 km	
		ePn_{NEZ}	11 41 50
		$eiPg_{NEZ}$	52,6
		$eiSg_{NEZ}$	42 28
		F	44,0
	NIF	Δ ≈ 360 km	
		ePn_Z	11 42(00)
		iPg_Z	06,6
		1^s; 0,032μ	
		ei_Z	37,1
		iSg_Z	52,6
		F	44,5
17.VIII		Pologne, mine Lubin, E=1,0 x 10^6; PRU: ePn 23 23 19,5, iPg 23 21,5, iSn 23 38,5, iSg 23 46,5; MOX: ePg 23 23 44,5,	
	KSP	Δ ≈ 60 km	
		iPg_{NEZ}	23 22 53,5
		+, ?, -	
		iSg_{NEZ}	23 01,5
		Rgm_{NEZ}	03
		0,2^s; 0,17μ, 0,041μ, 0,027μ	
		F	24,5
19.VIII		Pologne, région de Lubin, (mine Lubin), E=4,2 x 10^5	
	KSP	Δ ≈ 60 km	
		$eiPg_{NZ}$	01 23 51,3
		iSg_{NEZ}	59,3
		F	24,6
3.IX		Pologne, S de Rybnik, φ=50,0°N, λ=18,5°E,	

Date	Station	Phase	T.U. h m s
3.IX		PRU: ePg 22 00 45,0, eiSg 01 16,5; KHC: ePn 22 00 58,5, eSn 01 30,3	
	RBN	Δ ≈ 15 km	
		iPg_{NEZ}	22 00 01
		-, -, (+)	
		i_{NEZ}	03
		F	03,0
	RAC	Δ≈20 km	
		e_{NE}, ei_Z Pg	22 00 03 C
		iSg_{NEZ}	07
		Lm_{NE}	17
		1^s; 3,2μ, 1,7μ	
		F	03,0
	KSP	Δ≈180 km	
		$eiPn_{NEZ}$	22 00 26,6
		?, -, +	
		$eiPg_{NEZ}$	29,0
		iSg_{NEZ}	50
		F	03,0
	KRA	Δ≈105 km	
		iPg_{ZE}	22 00 18
		iSg_{NEZ}	31,5
	NIE	Δ≈150 km	
		iPg_Z	22 00 24,8 C
		Z: 0,7^s; 0,109μ	
		i_Z	28,5
		iSg_{NE}	45
		F	02,0
6.IX		Tchécoslovaquie, PRU: explosion de 20 tonnes, φ=50,03°N, λ=16,58°E, PRU: iPg 12 00 13 KHC: eiPg 12 00 29,2, eiSg 00 57	
	KSP	Δ=49 km	
		$eiPg_{NEZ}$	12 00 20,3
		0,5^s; 0,017μ, 0,07μ, 0,09μ	
		iSg_{NEZ}	36,7
		Rgm_{NEZ}	38,3
		0,7^s, 0,9^s, 0,7^s; 0,15μ, 0,18μ, 0,21μ	
		F	02,7
13.IX		Pologne, région de Lubin,	
	KSP	Δ ≈ 65 km	

Date	Station	Phase	T.U. h m s
13.IX	KSP	i_{NZ}, ei_E Pg	16 28 09,5
		+, ?, -	
		$eiSg_{NEZ}$	18,0
		F	29,1
18.IX		Pologne, S de Rybnik, φ≈50,0°N, λ≈18,5°E,	
	RBN	Δ ≈ 15 km	
		iP_{NEZ}	17 45 27
		i_{NEZ}	30
		i_{EZ}	34
		F	47,0
	RAC	Δ ≈ 20 km	
		iPg_{NEZ}	17 45 29,5
		NZ: -, (+)	
		i_{NZ}	35
		F	48,0
	NIE	Δ ≈ 150 km	
		$eiPg_Z$	17 45 49
	KSP	Δ ≈ 180 km	
		ePg_Z	17 45 53
		$eiSg_{NEZ}$	46 12,7
		F	46,5
25.IX		Pologne, région de Lubin, PRU: iPg 09 34 31,5, eiSg 34 41,5; KHC: eiPg 09 34 50,5, eiSg 35 16,5	
	KSP	Δ ≈ 65 km	
		$eiPg_{NEZ}$	09 34 28,9
		iSg_{NEZ}	37,4
		F	35,6
26.IX		Slovaquie, PRU: ePg 13 35 54,5, eiSg 36 33	
	NIE		13 35 19
		iPg_Z	
		0,7^s; 0,039μ	
			38
		i_Z	44
		Lm_Z	
		0,7^s; 0,22μ	
		F	37,5
	RAC		13 35 21
		$eiPg_{NEZ}$	33
		e_{NEZ}	37
		ei_{NEZ}	37,0
		F	

International Seismological Centre

Date	Station	Phase	T.U. h m s
26.IX (suite)	KRA	Δ ≈ 120 km	
		iPg_{NEZ}	13 35 22,3
		+, -, -	
		0,6^s; 0,083μ, 0,042μ, 0,078μ	
		iSg_{NE}	37,7
		F	37,2
	RBN	Traces	
		$ei(S)_{NE}$	13 35 36
		F	37,3
28.IX		Pologne, région de Lubin, PRU: ePn 04 46 46, eiPg 46 50,5, e(Sg) 47 10	
	KSP	Δ ≈ 55 km	
		i_{NZ},ei_E Pg	04 46 24,5
		+, (+), -	
		iSg_{NEZ}	32,0
		F	46,7
3.X		Pologne, région de Lubin ? PRU: eiPn 15 45 37, ei(Sn) 45 55,5; KHC: e 15 45 51, ei 46 35	
	KSP	Δ ≈ 50 km. Az = 13°	
		iPg_{NEZ}	15 45 17,3
		+, +, -	
		i_{NE}	19,3
		iSg_{NEZ}	23,8
		F	47,0
3.X		Pologne, région de Lubin mine; PRU: ePn 20 30 25,5	
	KSP	Δ ≈ 55 km	
		iPg_{NEZ}	20 30 03,5
		+, ?, -	
		iSg_{NEZ}	11,0
		F	31,3
8.X		Pologne, région de Wałbrzych. H=13 01 16	
	KSP	Δ=28 km. Az=320°	
		iPg_{NEZ}	13 01 21,8
		0,6^s; -0,012μ, +0,020μ, +0,024μ	
		iSg_{NEZ}	25,8
		Rgm_{NEZ}	27,8
		0,7^s; 0,19μ, 0,18μ, 0,26μ	
		F	02,2

Date	Station	Phase	T.U. h m s
14.X		Pologne, région de Wałbrzych	
	KSP	Δ ≈ 25 km	
		iPg_{NEZ}	02 27 50,7
		iSg_{NEZ}	54,2
		Rgm_{NEZ}	55
		0,5^s; 0,011μ, 0,027μ, 0,027μ	
		F	28,3
22.X		Pologne, région de Wałbrzych carrière Rybnica Leśna; φ=50°43´N, λ=16°16,5´E	
	KSP	Δ=20 km	
		iP_{NEZ}	13 20 25,0
		0,3^s; -0,072μ, +0,021μ, +0,045μ	
		iS_{NEZ}	27,3
		Rg_{NEZ}	29,5
		0,3^s; 0,050μ, 0,036μ, 0,066μ	
		F	21,0
26.X		Pologne, région de Lubin	
	KSP	Δ ≈ 60 km	
		ei_F,i_Z Pg	09 19 19,1
		iSg_{EZ}	27,1
		F	20,7
28.X		Pologne, région de Lubin	
	KSP	Δ ≈ 65 km	
		i_{NZ},ei_E Pg	12 08 04,2
		-, ?, +	
		iSg_{NEZ}	13,2
		F	08,8
5.XI			
	NIE		
		iPg_Z	08 33 53,8 C
		F	35,5
	KRA		
		$e(P)_N$	08 34 10
		i_E,e_{NZ}	19,5
		F	35,3
8.XI		Pologne, région de Lubin; PRU: eiPg 21 10 08, eiSg 10 31; KHC: e 21 11 05	
	KSP	Δ ≈ 60 km	

Date	Station	Phase	T.U. h m s
8.XI (suite)	KSP	iPg_{NZ}	21 09 48,5
		-, ?, +	
		iSg_{NEZ}	56,5
		Rgm_{NEZ}	10 01,5
		0,5^s; 0,070μ, 0,097μ, 0,045μ	
		F	10,6
20.XI		Pologne, région de Lubin	
	KSP		
		$eiPg_{NZ}$	01 55 33,2
		iSg_{NEZ}	42,2
		F	56,2
24.XI		PRU: ePg 22 32 34, eiSn 32 58, iSg 33 01	
	KSP	Δ=110 km	
		i_{NZ},ei_EPg	22 32 13,9
		NEZ: +, ?, -	
		iSg_{NEZ}	27,9
		Rgm_{NEZ}	28,9
		0,5^s; 0,058μ, 0,10μ, 0,065μ	
		F	34,3
26.XI		Tchécoslovaquie, PRU: φ=50,59°N, λ=14,05°E, explosion de 29 tonnes	
	KSP	Δ=158 km	
		iPg_{NEZ}	11 25(22,6)
		iSg_{NEZ}	42,1
		Rgm_{NE}	43,6
		0,6^s; 0,15μ, 0,16μ	
		Rgm_Z	44,6
		0,6^s; 0,20μ	
		F	27,4
28.XI		Pologne, région de Wałbrzych H=11^{h}21^{m}33^s	
	KSP	Δ=20 km	
		iPg_{NEZ}	11 21 37,4
		0,3^s; +0,028μ, +0,081μ, +0,068μ	
		iSg_{NEZ}	40,4
		Rgm_{NEZ}	42,9
		0,8^s; 0,23μ, 0,20μ, 0,17μ	
		F	22,3

Date	Station	Phase	T.U. h m s
29.XI		Pologne, région de Wałbrzych, explosion? H=09^{h}12^{m}53,5^s; PRU: iPg 09 13 18, iSg 13 36,5	
	KSP	Δ ≈ 28 km	
		iPg_{NEZ}	09 12 59,0
		0,3^s; -0,21μ, +0,13μ, +0,15μ	
		iSg_{NEZ}	13 03,0
		Rgm_{NE}	08,5
		1^s; 0,49μ, 0,34μ	
		Rgm_Z	10,0
		1^s; 0,45μ	
		F	15,5
4.XII		Tchécoslovaquie, PRU: eiPg 11 44 19,5; KHC: ePg 11 44 33,8, eiSg 44 54	
	KSP	Δ ≈ 160 km	
		$e_N i_{EZ}$ Pg	11 44 32,7
		iSg_{NEZ}	53,7
		Rgm_{NEZ}	59,2
		0,5^s; 0,064μ, 0,11μ, 0,16 μ	
		F	46,2
4.XII		Tchécoslovaquie, PRU: e(Pg) 14 01 14 eiSg 01 45; KHC: ePn 14 01 49	
	KRA	Δ ≈ 160 km	
		iPg_{EZ}	14 01 01,1 C
		$eiSg_{NEZ}$	22,0
		F	02,0
	KSP	Δ ≈ 165 km	
		ePn_{NEZ}	14 01 02,5
		iPg_{NEZ}	03,2
		iSg_{NEZ}	23,7
		Rgm_{NEZ}	26,0
		0,4^s; 0,040μ, 0,060μ, 0,046μ	
		F	01,7
	NIE	Δ ≈ 190 km	
		iPg_Z	14 01 07,5
		iSg_Z	31,5
		F	02,0
8.XII		Pologne, région de Lubin, PRU: ePg 10 35 27, eiSg 35 39	

International Seismological Centre

Date	Station	Phase	T.U. h m s
8.XII	KSP	Δ ≈ 60 km	
		iPg_{NEZ}	10 35 37,2
		?, -, -	
		iSg_{NEZ}	55,2
		Rgm_{NEZ}	56
		$0,4^s$; 0,076μ, 0,019μ	
		0,035μ	
10.XII		Pologne, région de Wałbrzych, PRU: eiPg 13 00 20, eiSg 00 39	
	KSP	Δ ≈ 26 km	
		$eiPg_{NEZ}$	13 00 01,0
		iSg_{NEZ}	04,8
		Lm_{NEZ}	08,3
		$0,7^s$; 0,22μ, 0,18μ,0,28μ	
		F	01,0
	NIE		
		iPg_Z	13 01 28
18.XII		Pologne, région de Lubin, PRU: ePg 05 23 39, KHC: eiPn 05 23 59, eiSn 24 40	
	KSP	Δ ≈ 65 km	
		iPg_{NEZ}	05 23 17,9
		iSg_{NEZ}	26,4
		F	24,9
18.XII		Tchécoslovaquie,	
	NIE	Δ ≈ 130 km	
		ePn_Z	12 39 54
		iPg_Z	57
		iSg_Z	40 13,6
		F	41,0
	KRA		
		$e(P)_{NZ}$	12 40 07
		e_{NEZ}	27
19.XII			
	KSP		
		$eiPg_Z$	04 18 18,5
		$eiSg_{NEZ}$	26,5
		F	18,9
19.XII			
	NIE		
		ePn_Z	11 07 43,1
19.XII	NIE	iPg_Z	11 07 43,5
		1^s; 0,026μ	
		F	09,0
20.XII		Région frontière Pologne--Tchécoslovaquie, PRU: ePg 13 58 47,5, eiSg 58 23	
	RBN	Traces	
		$e(P)_{NE}$	13 58 14
		F	14 00,0
	RAC	Δ ≈ 45 km	
		$eiPg_{NE}$	13 58 15
		$ei_N.i_Z$ Sg	21
		F	14 00,0
	KRA	Δ ≈ 105 km	
		$e(P)_{EZ}$	13 58 22,3
		$i_N.e_{EZ}(S)$	35,8
		F	59,5
	NIE	Δ ≈ 160 km	
		iPg_Z	13 58 27,5 C
		iSg_Z	48,5
23.XII		Pologne, région de Lubin PRU: eiSg 00 45 08,	
	KSP	Δ ≈ 65 km	
		iPg_{NZ}	00 44 21,2
		-, ?, +	
		iSg_{NEZ}	30,2
		F	45,4
23.XII		Pologne, région de Lubin, PRU: iPn 18 22 51,0, i(Sn) 23 14,5	
	KSP	Δ ≈ 55 km	
		iPg_{NEZ}	18 22 31,2
		NZ: $0,3^s$; +0,027μ, -0,027μ	
		iSg_{NEZ}	38,7
		Rgm_{NEZ}	40,7
		$0,4^s$; 0,051μ, 0,083μ, 0,064μ	
		F	24,4
	NIE		
		ei_Z	18 23 26

International Seismological Centre

TABLE DES MATIÈRES

Bulletin Séismologique Janvier, Février, Mars 1

Bulletin Séismologique Avril, Mai, Juin 47

Bulletin Séismologique Juillet, Août, Septembre 101

Bulletin Séismologique Octobre, Novembre, Décembre 137

Les secousses locales enregistrées par les stations séismologiques polonaises 175

Première partie: Région de la Haute Silésie 183

Deuxième partie: Toutes les autres régions 216

Cena zł 20,–

POLISH ACADEMY OF SCIENCES
PUBLICATIONS OF THE INSTITUTE OF GEOPHYSICS

B. SEISMOLOGY

The following volumes, which have been published previously in years 1963–1976, have been devoted to the problems of seismology:

2 Droste Z., Hordejuk J., Obsługa i wyznaczanie stałych sejsmografów polskiej sieci sejsmologicznej; PWN, Łódź-Warszawa 1964.

3 Wyniki rejestracji sejsmologicznych w polskich obserwatoriach 1959; PWN, Łódź-Warszawa 1964.

4 Wyniki rejestracji sejsmologicznych w polskich obserwatoriach 1960; PWN, Łódź-Warszawa 1964.

8 Wyniki rejestracji sejsmologicznych w polskich obserwatoriach 1961; PWN, Łódź-Warszawa 1965.

9 Wyniki rejestracji sejsmologicznych w polskich obserwatoriach 1962; PWN, Warszawa 1967.

15 Wyniki rejestracji sejsmologicznych w polskich obserwatoriach 1963; PWN, Warszawa 1967.

17 Hordejuk J., Application of electromechanical filters to low-frequency seismological investigations; PWN, Warszawa 1967.

21 Wyniki rejestracji sejsmologicznych w polskich obserwatoriach 1964; PWN, Warszawa 1968.

29 Résultats des enregistrements séismologiques dans les observatoires polonais 1965; PWN, Warszawa 1969.

40 Résultats des enregistrements séismologiques dans les observatoires polonais 1969. Bulletin séismologique préliminaire (parts 1–13); PWN, Warszawa 1974.

43 Résultats des enregistrements séismologiques dans les observatoires polonais 1966; PWN, Warszawa 1971.

45 Résultats des enregistrements séismologiques dans les observatoires polonais 1970. Bulletin séismologique preliminaire (parts 1–13); PWN, Warszawa 1971.

51 Catalogue of earthquake in Poland in 1000–1970 years; PWN, Warszawa 1972.

52 Résultats des enregistrements séismologiques dans les observatoires polonais 1967, PWN, Warszawa 1972.

59 Résultats des enregistrements séismologiques dans les observatoires polonais 1971, Bulletin séismologique (parts 1–13); PWN, Warszawa 1972.

61 Résultats des enregistrements séismologiques dans les observatoires polonais 1968. Bulletin seismologique (parts 1–13); PWN, Warszawa 1972.

65 Wojtczak-Gadomska B., Distribution of the released seismic energy and the number of earthquakes in deep structures of the Pacific area; PWN, Warszawa 1973.

66 Resultats des enregistrements séismologiques dans les observatoires polonais 1972. Bulletin séismologique (parts 1–5); PWN, Warszawa 1973.

79 Bulletin séismologique 1973 (parts 1–5); PWN, Warszawa 1974.

84 Kijko A., Methods for determining positions of very near earthquakes; PWN, Warszawa 1975.

95 Bulletin séismologique 1974 (parts 1–5); PWN, Warszawa 1974–1976.

International Seismological Centre